

# Kasvuhoonegaaside ja välisõhu saasteainete aruandluse arendus

2022 a. halduslepingu Lisa 6

Tallinn 2023



# Õhuvaliteedi- ja kliimaosakond Kasvuhoonegaaside ja välisõhu saasteainete aruandluse arendus

Vahearuanne 2022 a.

Tallinn 2023

Kinnitas:

Erik Teinemaa

Õhu- ja kliimaosakonna juhataja

Aruande koostajad:

Marek Maasikmets

Cris-Tiina Pärn

Hanna-Lii Kupri

Stanislav Štökov

Kristin Puusepp

Keio Vainumäe

Allan Kaasik

Aser Sikk

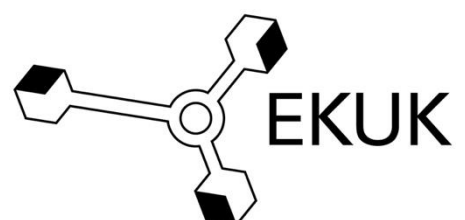
Hannes Keernik

Sirly-Ann Meriküll

Reelika Mägi

Magnar Vainumäe

Eva-Maria Veermäe





**Töö nimetus:** Kasvuhuonegaaside ja välisõhu saasteainete aruandluse arendus, 2022 a. aruanne

**Töö autorid:**

Erik Teinemaa  
Marek Maasikmets  
Cris-Tiina Pärn  
Hanna-Lii Kupri  
Stanislav Štökov  
Kristin Puusepp  
Keio Vainumäe  
Allan Kaasik  
Aser Sikk  
Hannes Keernik  
Sirly-Ann Meriküll  
Reelika Mägi  
Magnar Vainumäe  
Eva-Maria Veermäe

**Töö tellija:**

Keskkonnaministeerium  
Paldiski mnt 96,  
Tallinn  
Eesti

**Töö teostaja:**

**Eesti Keskkonnauuringute Keskus OÜ**

Marja 4D  
Tallinn, 10617  
Tel. 6112 900  
Fax. 6112 901  
[info@klab.ee](mailto:info@klab.ee)  
[www.klab.ee](http://www.klab.ee)  
EAK poolt akrediteeritud katselabor registreerimisnumbriga L008.

**Tellimuse nr:** **HL Lisa 6**

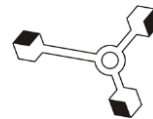
**Töö valmimisaeg:** **31.01.2023**

Käesolev töö on koostatud ja esitatud kasutamiseks tervikuna. Töös ja selle lisades esitatum kaandid, joonised, arvutused on autoriõiguse objekt ning selle kasutamisel tuleb järgida autoriõiguse seaduses sätestatud korda. Töö omandamine, trükkimine ja/või levitamine ärialistel eesmärkidel on ilma Eesti Keskkonnauuringute Keskus OÜ kirjaliku nõusolekuta keelatud. Töös toodud info kasutamine õppe- ja mitteärialistel eesmärkidel on lubatud, kui viidatakse algallikale. Andmete kasutamisel tuleb viidata nende loojale. Labor ei vastuta kliendi esitatud teabe õigsuse eest.



## Sisukord

1	Sissejuhatus.....	14
2	Energeetika valdkonna televused .....	15
2.1	Kasvuhoonegaaside ja õhusaasteainete riigispetsiifiliste eriheitetegurite ajakohastamiseks kasutatavate mõõtesüsteemide täiendamine, sealhulgas mõõtevõimekuse suurendamine (lõpp 2021) .....	15
2.1.1	2020 a. televused .....	15
2.1.2	2021 a. televused .....	16
2.2	Energeetikasektori KHG ja õhusaasteainete inventuuri kohtkütte sektori ruumilise paiknemise ja sektoris kasutatavate kütteseadmete inventuur (lõpp 2021).....	17
2.2.1	2020 a. televused .....	17
2.2.2	2021 a. televused .....	23
2.2.2.1	Uuendatud kohtkütte heitkoguste andmebaasi kasutamine toetusskeemide vähendamismeetmete planeerimisel .....	23
2.2.2.2	Kondenseeruvad peenosakesed .....	24
2.3	Energeetikasektori kodumajapidamiste ning suурte ja keskmiste põletusseadmete eriheitetegurite kontrollmõõtmised ja andmestike uuendamine KHG ja õhusaasteainete aruandluseks (lõpp 2023) .....	26
2.3.1	Esialgsete mõõtmistulemuste eriheidete mõju KHG riiklikele heitkogustele....	33
2.3.2	Emissioonigaaside mõõteseadmed ja metoodikad .....	33
2.3.2.1	Suitsugaaside koostis .....	33
2.3.2.2	Summaarsed tahked osakesed ( $PM_{sum}$ ) .....	33
2.3.2.3	Peenosakesed ( $PM_{10}$ , $PM_{2.5}$ ) .....	33
2.3.2.4	Lenduvad orgaanilised ühendid ( $CH_4$ ja $THC$ ).....	33
2.3.2.5	Suitsugaaside füüsikalised parameetrid.....	34
2.3.2.6	BC analüüs .....	34
2.3.3	Välisõhu mõõtmised.....	34
2.3.3.1	Seadmed ja metoodika.....	36
2.3.3.2	Välisõhu mõõtetulemused .....	36
2.3.3.3	Meteoroloogilised tingimused mõõtepunktis.....	36
2.3.3.4	Mõõtetulemused.....	38
2.3.4	Välisõhu mõõtetulemuste kokkuvõte .....	42
2.3.5	Mõõdetud eriheidete valideerimine välisõhu mõõtmiste ja modellerimise kaudu	
	42	
2.3.6	Eriheidete arvutused .....	46
3	Kasvuhoonegaaside inventuuri andmetöötluskeskkonna arendamine (lõpp 2023).....	58
4	Transpordi valdkonna televused .....	64



4.1	Transpordisektori KHG inventuuri Exceli arvutuste üleminek COPERTi mudelile arvutustele (lõpp 2021) .....	64
4.2	Teiste liikuvate heiteallikate heitkoguste arvutuspõhimõtete ülevaatamine (lõpp 2021) 64	
4.3	Transpordisektori KHG ja õhusaasteainete eriheitetegurite uuendamine (lõpp 2021) 86	
4.3.1	Sissejuhatus .....	86
4.3.2	Andmebaasid.....	88
4.3.3	Metoodika .....	90
4.3.4	Eriheitetegurid.....	90
4.3.5	Välisõhutingimused .....	94
4.3.6	Eriheitetegurite valik .....	94
4.3.7	Kontollarvutused.....	95
4.3.8	Transpordisektori KHG ja õhusaasteainete eriheitetegurite uuendamise kokkuvõte.....	98
4.4	Transpordisektori biokütuste analüüs (lõpp 2022) .....	99
4.5	Integreeritud KHG ja õhusaasteainete transpordiprognoside süsteem (lõpp 2023) 117	
4.6	Maanteetranspordi heitkoguste arvutuspõhimõtete ülevaatamine (lõpp 2023)... 117	
4.6.1	Uute sõidukitüübide lisamine arvutustesse ja senise sõidupargi detailsem klassifitseerimine .....	117
4.6.2	Veoautode statistika .....	122
4.6.3	Busside statistika .....	129
5	Tööstuse valdkonna tegevused.....	130
5.1	Tööstusprotsesside sektori õhusaasteainete eriheitetegurite uuendamine (lõpp 2021) 130	
5.1.1	Asfaltsegud ja nende laotamine .....	130
5.1.2	Heited asfaldi laotmisest .....	132
5.1.3	Kirjanduse ülevaade - saasteainete kontsentratsioonid ja eriheited .....	133
5.1.4	Kasutatud mõõtemetoodikad .....	138
5.1.5	Heitkoguste ja heitetegurite määramise metodika .....	140
5.1.6	Heitetegurite leidmine .....	141
5.1.7	Teostatud mõõtmised ja asfaltsegud .....	141
5.1.8	Tulemused .....	145
6	Põllumajanduse valdkonna tegevused .....	148
6.1	Eesti lauda- ja sõnnikukätlustehnoloogiate ja nende mõju kaardistamine (lõpp 2021) 148	
6.1.1	2020 a. tegevused .....	148
6.1.2	2021 a. tegevused .....	159



6.1.3	2022 a. tegevused .....	166
6.2	Kariloomade söödaplaanide uuring (lõpp 2022) .....	170
6.3	Biogaasi pöllumajanduslikest ressurssidest tootmise KHG heite hindamise mudeli arendamine, algandmete kogumine, riigispetsiifilise eriheite väljatöötamine (lõpp 2023) .....	172
6.4	Pöllumajanduses kasutatavate anorgaaniliste väetiste algandmete väljaselgitamine (lõpp 2021) .....	180
6.4.1	2020 ja 2021 a. tegevused .....	180
6.5	Eesti lämmastikubilansi süsteemi loomise analüüs (lõpp 2023) .....	182
6.6	Pöllumajandusliku maakasutuse muutuse analüüs sõltuvalt tulevikustsenariumitest (lõpp 2022) .....	189
7.	LULUCF valdkonna tegevused .....	191
7.1	Eesti pöllumajandusmuldade süsinikuvaru dünaamika täpsem hindamine riiklikus kasvuhoonegaaside inventuuris (lõpp 2023) .....	191
7.2	Eesti kuivendatud metsamaa turvasmuldade (drained organic forest soils) heite ja süsinikuvaru dünaamika täpsem hindamine riiklikus kasvuhoonegaaside inventuuris ....	193
8	KHG aruandluse arendustegevuste potentsiaalsed möjud Eesti kasvuhoonegaaside heitkogustele 2022 a. seisuga .....	194
8.1	Energeetikasektori kodumajapidamiste ning suurte ja keskmiste põletusseadmete eriheitetegurite kontrollmõõtmised ja andmestike uuendamine KHG ja õhusaasteainete aruandluseks .....	194
8.2	Teiste liikuvate heiteallikate heitkoguste arvutuspõhimõttete ülevaatamine .....	196
8.3	Kariloomade söödaplaanide uuring .....	197
8.4	Biogaasi pöllumajanduslikest ressurssidest tootmise KHG heite hindamise mudeli arendamine, algandmete kogumine, riigispetsiifilise eriheite väljatöötamine .....	199
9	Üldkoordineerimine .....	200
10	Kasutatud kirjandus .....	201
11	Lisad .....	204

## Tabelid

Tabel 1	Näidis esitatud EHR väljavõtttest .....	21
Tabel 2.	Mõõteseadmed .....	36
Tabel 3.	Õhukvaliteedi piir- ja sihtväärtsused .....	36
Tabel 4.	Meteoroloogilised parameetrid mõõteperioodil .....	37
Tabel 5.	Välisõhu kvaliteedi mõõtekampaania tulemused .....	42
Tabel 6	Hakkepuidu katelde eriheeted .....	46
Tabel 7	Põlevkiviöli katelde eriheeted .....	47
Tabel 8	Maagaasi katelde eriheeted .....	48
Tabel 9	Jäätmepõletuskatla eriheeted .....	49
Tabel 10	Turbakatelde eriheeted .....	50
Tabel 11	Pelletikatelde eriheeted .....	50
Tabel 12	Maagaasil töötava asfalditehase eriheeted .....	51
Tabel 13	Põlevkiviölit töötava asfalditehase eriheeted .....	51
Tabel 14	Ahja moodulahju eriheeted .....	51



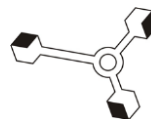
Tabel 15	Pilukoldega ahju eriheited .....	52
Tabel 16	Restkoldega ahju eriheited .....	52
Tabel 17	Umbkoldega ahju eriheited .....	53
Tabel 18	Pilukoldega pliidi eriheited .....	53
Tabel 19	Restkoldega pliidi eriheited .....	54
Tabel 20	Ahja moodulahju kondenseeruvate osakeste eriheited.....	55
Tabel 21	Pilukoldega ahju kondenseeruvate osakeste eriheited.....	55
Tabel 22	Restkoldega ahju kondenseeruvate osakeste eriheited.....	56
Tabel 23	Umbkoldega ahju kondenseeruvate osakeste eriheited .....	56
Tabel 24	Pilukoldega pliidi kondenseeruvate osakeste eriheited .....	57
Tabel 25	Restkoldega pliidi kondenseeruvate osakeste eriheited .....	57
Tabel 26	Liikuvate heiteallikate arv sõidukitüüpide lõikes 1990 – 2020, tk.....	66
Tabel 27	Traktorite jagunemine heitmestandardite kaupa, diisel tk .....	67
Tabel 28	Traktorite jagunemine heitmestandardite kaupa, bensiin tk.....	69
Tabel 29	Traktorite heitkogused ja kütuse tarbimine 1990-2020, diisel kilotonni .....	71
Tabel 30	Traktorite heitkogused ja kütuse tarbimine 1990-2020, bensiin kilotonni .....	71
Tabel 31	Eskavaatorite jagunemine heitmestandardite kaupa, diisel tk .....	72
Tabel 32	Eksavaatorite heitkogused ja kütuse tarbimine 1990-2020, diisel kilotonni.....	73
Tabel 33	Kombainide jagunemine heitmestandardite kaupa, diisel tk.....	74
Tabel 34	Kombainide heitkogused ja kütuse tarbimine 1990-2020, diisel kilotonni .....	75
Tabel 35	Laadurite jagunemine heitmestandardite kaupa, diisel tk .....	76
Tabel 36	Laadurite heitkogused ja kütuse tarbimine 1990-2020, diisel kilotonni .....	77
Tabel 37	Metsatöömasinate jagunemine heitmestandardite kaupa, diisel tk.....	78
Tabel 38	Metsatöömasinate heitkogused ja kütuse tarbimine 1990-2020, diisel kilotonni	79
Tabel 39	Sihtotstarbelise jagunemine heitmestandardite kaupa, diisel tk .....	80
Tabel 40	Sihtotstarbelise jagunemine heitmestandardite kaupa, bensiin tk.....	80
Tabel 41	Sihtotstarbelise heitkogused ja kütuse tarbimine 1990-2020, diisel kilotonni .....	82
Tabel 42	Sihtotstarbelise heitkogused ja kütuse tarbimine 1990-2020, bensiin kilotonni..	83
Tabel 43	Teetöömasinate jagunemine heitmestandardite kaupa, diisel tk .....	83
Tabel 44	Teetöömasinate heitkogused ja kütuse tarbimine 1990-2020, diisel kilotonni ....	84
Tabel 45	Olemasolevad eriheitetegurid 2010 - 2019 .....	88
Tabel 46	Olemasolevad eriheitetegurid 2010-2019 .....	88
Tabel 47	Rootsi ja Saksamaa eriheitetegurid sõiduautodele, g/km .....	91
Tabel 48	Lipasto ja EMEP/EEA 2019 eriheitetegurid sõiduautodele, g/km .....	91
Tabel 49	Eesti eriheitetegurid sõiduautodele, g/km .....	91
Tabel 50	Rootsi, Saksamaa, Norra eriheitetegurid linnaliinibussidele, g/km.....	91
Tabel 51	Lipasto ja EMEP/EEA 2019 eriheitetegurid sõiduautodele, g/km .....	93
Tabel 52	Eesti eriheitetegurid linnaliinibussidele, g/km .....	93
Tabel 53	Rootsi eriheitetegurid kergeveokitele, g/km .....	93
Tabel 54	Saksamaa eriheitetegurid kergeveokitele, g/km .....	93
Tabel 55	Eriheitetegurid raskeveokitele .....	94
Tabel 56	Keskmised välisõhutemperatuurid .....	94
Tabel 57	Olemasolevad andmed vedelate biokütuste kohta.....	102
Tabel 58	Arvutuste teel leitud eriheitetegurid biodiislikütusele ja bioetanoolile.....	103
Tabel 59	Biodiisli ja bioetanooli jaotus 2005-2021.....	104
Tabel 60	Fossiilse süsiniku osakaal FAME proovides.....	105



---

Tabel 61	Elementide osakaal FAME-s.....	107
Tabel 62	Metüülestrite kütteväärtsused.....	108
Tabel 63	FAME proovide ülemised ja alumised kütteväärtsused .....	109
Tabel 64	FAME süsinikusaldus, CO <sub>2</sub> eriheitetegur ja kütteväärthus .....	110
Tabel 65	HVO kütteväärthus, süsinikusaldus ja CO <sub>2</sub> eriheitetegur .....	111
Tabel 66	Bioetanooli kütteväärthus, süsinikusaldus ja CO <sub>2</sub> eriheitetegur .....	112
Tabel 67	ETBE kütteväärthus, süsinikusaldus ja CO <sub>2</sub> eriheitetegur.....	112
Tabel 68	Söiduautode jaotus suurusklassi.....	118
Tabel 69	EURO-klasside rakendusaastad.....	118
Tabel 70	Bensiini-hübriid söiduautode jaotus suurusklassi, EURO-klassi ning registreerimisaasta järgi.....	119
Tabel 71	Diisel-hübriid söiduautode jaotus suurusklassi, EURO-klassi ning registreerimisaasta järgi.....	120
Tabel 72	Välismaal sõitvate raske veokite läbisöidud sõltuvalt vanuse, EURO-klassi, kütuse tüübi ja täismassist, miljon kilomeetrit .....	124
Tabel 73	TSP mõõtmistega seotud kirjandusallikad, määratud kontsentratsioonid ja meetodid	135
Tabel 74	PM <sub>10</sub> mõõtmistega seotud kirjandusallikad, määratud kontsentratsioonid ja meetodid	135
Tabel 75	PM <sub>2.5</sub> mõõtmistega seotud kirjandusallikad, määratud kontsentratsioonid ja meetodid	137
Tabel 76	NM VOC mõõtmistega seotud kirjandusallikad, määratud kontsentratsioonid ja meetodid	137
Tabel 77	BC mõõtmistega seotud kirjandusallikad, määratud kontsentratsioonid ja meetodid	137
Tabel 78	VOC ja TOC mõõtmistega seotud kirjandusallikad, määratud kontsentratsioonid ja meetodid	137
Tabel 79	Proovivõtu kohad ja parameetrid .....	142
Tabel 80	Pidevmõõtmiste tulemused asfaldi laoturil.....	145
Tabel 81	Mõõdetud taustakontsentratsioonid .....	146
Tabel 82	Heitevood kastimeetodi põhjal I.....	146
Tabel 83	Heitevood kastimeetodi põhjal II.....	146
Tabel 84	NM VOC heitevood .....	146
Tabel 85	Heitetegurid I .....	147
Tabel 86	Heitetegurid II .....	147
Tabel 87	EMEP/EAA Guidebook eriited .....	152
Tabel 88	PMsum eriited (kg/looma või linnu kohta aastas).....	157
Tabel 89	Mõõdetud veisekasvatuste hoidlatüübhid ning loomade andmed.....	165
Tabel 90	Mõõdetud seakasvatuste hoidlatüübhid ning loomade andmed.....	165
Tabel 91	Kasutatud substraatide jaotus ja substraatide keskmne kuivaine sisaldus Koksvere biogaasijaamas .....	173
Tabel 92	Biogaasijaamades kasutatud sõnniku kogus loomaliikide lõikes.....	173
Tabel 93.	Biogaasijaamade tootmisprotsessi iseloomustavad üldandmed 2020.a .....	177
Tabel 94.	Loomade arv ja sellest lähtuv biogaasijaamades kasutatud arvutuslik sõnniku orgaanilise kuivaine kogus 2020.a. ....	178
Tabel 95.	Looma- ja linnusõnnikust sünteesitud biogaasi maht ning kogus 2020.a.....	178

---



---

Tabel 96. Kääritamata sõnniku vs. digestaadi KHG heide 2020.a.....	179
Tabel 97 Lämmastiku kogubilansi koostamiseks vajalik üldandmestik ja selle allikad .....	185
Tabel 98 2018. aasta CH <sub>4</sub> heitkogused kodumajapidamiste alamsektoris.....	194
Tabel 99 Näiteid Euroopa Liidu riikide riigispetsiifilistest biomassi CH <sub>4</sub> eriheiteteguritest ning nende potentsiaalsest mõjust Eesti heitkogustele .....	194
Tabel 100 Kodumajapidamiste KHG heitkogus 2020.aastal, kt CO <sub>2</sub> ekv.....	195
Tabel 101 Keskmiste põletusseadmete KHG heitkogus 2019 aastal, kt CO <sub>2</sub> ekv.....	195
Tabel 100 2018. aasta CH <sub>4</sub> ja N <sub>2</sub> O heitkogused liikuvatest heiteallikastest (va maanteetransport, siseriiklik lennundus ja laevandus ning raudteetransport) .....	196
Tabel 101 Näiteid Euroopa Liidu riikide riigispetsiifilistest bensiini ja diisli CH <sub>4</sub> ja N <sub>2</sub> O eriheiteteguritest ning nende potentsiaalsest mõjust Eesti heitkogustele .....	196
Tabel 102 Piimalehmade sööda kuivaine seeduvus Eestis .....	197
Tabel 103 Piimalehmade sööda kuivaine seeduvus teistes riikides .....	197
Tabel 104 Piimalehmade seedeprotsessidest pärieva CH <sub>4</sub> heide .....	198
Tabel 105 Eesti potentsiaalne heitkogus Taani näitel .....	199
Tabel 109 Muudatused võrreldes esialgse kooskõlastatud katelde nimekirjaga .....	205
Tabel 110 Adven Eesti AS Kose katlamaja üldandmed .....	207
Tabel 111 Katel 1 parameetrid mõõtmiste ajal .....	207
Tabel 112 Katel 2 parameetrid mõõtmiste ajal .....	208
Tabel 113 AS Viru-Nigula Saeveski üldandmed .....	209
Tabel 114 Katel Lin-Ka parameetrid mõõtmiste ajal .....	209
Tabel 115 Katel Justsen parameetrid mõõtmiste ajal .....	209
Tabel 116 Utilitas Eesti AS Keila katlamaja üldandmed .....	210
Tabel 117 Hakkepuidu katla parameetrid mõõtmiste ajal .....	210
Tabel 118 11,2 MW Põlevkiviõlikatla parameetrid mõõtmiste ajal .....	211
Tabel 119 Utilitas Eesti AS Haapsalu katlamaja üldandmed .....	211
Tabel 120 5,68 MWth põlevkiviõli katla parameetrid mõõtmiste ajal .....	212
Tabel 121 11,36 MWth põlevkiviõli katla parameetrid mõõtmiste ajal .....	212
Tabel 122 MO-Puit Jõgeva AS üldandmed .....	213
Tabel 123 Katel AK1000S parameetrid mõõtmiste ajal .....	213
Tabel 124 Elering Kiili GRJ üldandmed .....	214
Tabel 125 Gaasiküttekatel A parameetrid mõõtmiste ajal .....	214
Tabel 126 Gaasiküttekatel B parameetrid mõõtmiste ajal .....	215
Tabel 127 Toftan AS üldandmed .....	215
Tabel 128 8 MW eelkoldega puidukatla parameetrid mõõtmiste ajal .....	215
Tabel 129 5MW eelkoldega puidukatla parameetrid mõõtmiste ajal .....	216
Tabel 130 Valio Eesti AS üldandmed .....	217
Tabel 131 Katel TTK-70 parameetrid mõõtmiste ajal .....	217
Tabel 132 Katel BOSCH parameetrid mõõtmiste ajal .....	217
Tabel 133 Tariston Harku ABT üldandmed .....	218
Tabel 134 Harku ABT parameetrid mõõtmiste ajal .....	218
Tabel 135 Tariston Raadi ABT üldandmed .....	219
Tabel 136 Tariston Raadi ABT parameetrid mõõtmiste ajal .....	219
Tabel 137 UPM-Kymmene Otepää OÜ üldandmed .....	220
Tabel 138 Kihtkoldega katla parameetrid mõõtmiste ajal .....	220
Tabel 139 Enefit Green AS Iru elektrijaama üldandmed .....	221

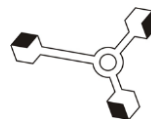
---



Tabel 140	Jäätmepõletusploki parameetrid mõõtmiste ajal .....	221
Tabel 141	Anne Soojus AS üldandmed .....	222
Tabel 142	Katel WA02 parameetrid mõõtmiste ajal .....	222
Tabel 143	SW Energia leektorukatla parameetrid mõõtmiste ajal.....	222
Tabel 144	Tamsalu kalor AS üldandmed .....	223
Tabel 145	Tamsalu kalor AS biokatla parameetrid mõõtmiste ajal.....	224
Tabel 146	Adven Eesti AS Viruvere katlamaja üldandmed .....	224
Tabel 147	Adven Eesti AS Viruvere aurukatla parameetrid mõõtmiste ajal .....	224
Tabel 148	Adven Eesti AS Kose-Uuemõisa katlamaja üldandmed .....	225
Tabel 149	Veekatla K-1 parameetrid mõõtmiste ajal .....	225
Tabel 150	Veekatla K-2 parameetrid mõõtmiste ajal .....	226
Tabel 151	Adven Eesti AS Viljandi Ekseko seafarmi üldandmed .....	227
Tabel 152	Biokatla parameetrid mõõtmiste ajal .....	227
Tabel 153	Katel Vitoplex 200, SA-20 parameetrid mõõtmiste ajal.....	227
Tabel 154	Adven Eesti AS Viru-Nigula katlamaja üldandmed .....	228
Tabel 155	Veekatel nr.2 parameetrid mõõtmiste ajal.....	228
Tabel 156	Anne Soojus AS Anne katlamaja üldandmed .....	229
Tabel 157	Veekatel W01 parameetrid mõõtmiste ajal.....	229
Tabel 158	Veekatel W02 parameetrid mõõtmiste ajal.....	230
Tabel 159	Veekatelde W01 ja W02 peale pesurit parameetrid mõõtmiste ajal .....	230
Tabel 160	Anne Soojus AS Puiestee katlamaja üldandmed.....	231
Tabel 161	100% koormusega gaasikatla parameetrid mõõtmiste ajal.....	231
Tabel 162	30% koormusega gaasikatla parameetrid mõõtmiste ajal.....	232
Tabel 163	Anne Soojus AS Aardla katlamaja üldandmed .....	232
Tabel 164	Veekatla parameetrid mõõtmiste ajal .....	233
Tabel 165	Anne Soojus AS Ropka katlamaja üldandmed.....	233
Tabel 166	Katel K-1 parameetrid mõõtmiste ajal .....	234
Tabel 167	Katel K-2 parameetrid mõõtmiste ajal .....	234
Tabel 168	Tootsi Turvas AS Lavassaare katlamaja üldandmed .....	235
Tabel 169	Tootsi Turvas AS Lavassaare katlamaja andmed mõõtmiste ajal .....	235
Tabel 170	Tootsi Turvas AS Mooste katlamaja üldandmed.....	236
Tabel 171	Hakkepuidu katla parameetrid mõõtmiste ajal .....	236
Tabel 172	Utilitas Eesti AS Jõgeva katlamaja üldandmed.....	237
Tabel 173	Biokütuse katla parameetrid mõõtmiste ajal.....	237
Tabel 174	Enefit Green AS Paide Elektrijaama üldandmed .....	238
Tabel 175	HA-40 parameetrid mõõtmiste ajal .....	238
Tabel 176	Katel Wärtsila Biograde parameetrid mõõtmiste ajal .....	238
Tabel 177	Jeld-Wen Eesti AS üldandmed.....	239
Tabel 178	Katel LAKA parameetrid mõõtmiste ajal .....	239

## Joonised

Joonis 1	Prognoositav primaarennergia hulk (MJ/m <sup>2</sup> /aastas) aastani 2050 .....	18
Joonis 2	Prognoositav PM2.5 heide (g/m <sup>2</sup> /aastas) aastani 2050 .....	18
Joonis 3	PM2.5 kuupõhine eriheide asulatüüpide lõikes .....	19



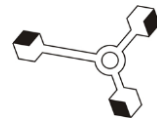
Joonis 4	Väljavõte katastriüksuse kaardikihist, kus on eristatud kohtkütte katastriüksused (1:750 000) .....	22
Joonis 5	Väljavõte Tallinna piirkonna kohtkütte andmebaasist .....	22
Joonis 6	PM <sub>2.5</sub> aastakeskmised kontsentratsioonid ( $\mu\text{g}/\text{m}^3$ ) kohtkütte sektorist .....	24
Joonis 7	Ahja pilukoldega moodulahi .....	27
Joonis 8	Pilukoldega ahi .....	28
Joonis 9	Sooome tüüpi restkoldega ahi .....	29
Joonis 10	Umbkoldega ahi .....	30
Joonis 11	Pilukoldega pliit .....	31
Joonis 12	Restkoldega pliit .....	32
Joonis 13	Mõõtepunkti asukoht, Valdeku 15, Nõmme, Tallinn .....	35
Joonis 14.	Tuulteroos mõõteperioodil .....	37
Joonis 15.	PM <sub>2,5</sub> 1h kontsentratsioon .....	38
Joonis 16.	PM <sub>10</sub> 1h kontsentratsioon .....	38
Joonis 17.	PM <sub>10</sub> 24h kontsentratsioon .....	39
Joonis 18.	PM <sub>10</sub> 24h kontsentratsioon gravimeetrilisel meetodil .....	39
Joonis 19.	CO 8h keskmistatud kontsentratsioon .....	40
Joonis 20.	NOx kontsentratsioon .....	40
Joonis 21.	NH <sub>3</sub> kontsentratsioon .....	41
Joonis 22.	BC kontsentratsioon .....	41
Joonis 23	Kohtkütte sektori heite eraldumise ajaline dünaamika kuude lõikes .....	43
Joonis 24	Kohtkütte sektori heite eraldumise ajaline dünaamika ööpäeva lõikes .....	43
Joonis 25	PM <sub>2.5</sub> keskmine modelleerimistulemus ( $\mu\text{g}/\text{m}^3$ ) mõõteperioodi (16.11.2021–15.12.2021) kohta .....	44
Joonis 26	Mõõdetud ja modelleeritud (PM <sub>2.5</sub> EF = 249.94 mg/MJ) PM <sub>2.5</sub> tulemused, $\mu\text{g}/\text{m}^3$ .....	45
Joonis 27	Mõõdetud ja modelleeritud (PM <sub>2.5</sub> EF = 42,06 mg/MJ) PM <sub>2.5</sub> tulemused, $\mu\text{g}/\text{m}^3$ .....	45
Joonis 28	Energeetika (sh transpordi) (1/2) sektori andmetöötluskeskkonna ülesehitus .....	59
Joonis 29	Energeetika (sh transpordi) (2/2) sektori andmetöötluskeskkonna ülesehitus .....	59
Joonis 30	Tööstuslike protsesside ja toodete kasutamise (IPPU) andmetöötluskeskkonna ülesehitus .....	60
Joonis 31	Pöllumajanduse sektori (1/2) andmetöötluskeskkonna ülesehitus .....	60
Joonis 32	Pöllumajanduse sektori (2/2) andmetöötluskeskkonna ülesehitus .....	61
Joonis 33	Maakasutuse, maakasutuse muutuse ja metsanduse (LULUCF) sektori (1/3) andmetöötluskeskkonna ülesehitus .....	61
Joonis 34	Maakasutuse, maakasutuse muutuse ja metsanduse (LULUCF) sektori (2/3) andmetöötluskeskkonna ülesehitus .....	62
Joonis 35	Jäätmesektori andmetöötluskeskkonna ülesehitus .....	62
Joonis 36	Liikuvate heiteallikate arv sõidukitüüpide lõikes 1990 – 2020, tk .....	67
Joonis 37	Traktorite jagunemine heitmestandardite kaupa, diisel tk .....	68
Joonis 38	Traktorite jagunemine heitmestandardite kaupa, bensiin tk .....	70
Joonis 39	Ekskavaatorite jagunemine heitmestandardite kaupa, diisel tk .....	73
Joonis 40	Kombainide jagunemine heitmestandardite kaupa, diisel tk .....	75
Joonis 41	Laadurite jagunemine heitmestandardite kaupa, diisel tk .....	77
Joonis 42	Metsatöömasinate jagunemine heitmestandardite kaupa, diisel tk .....	79



---

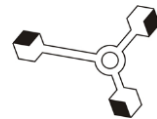
Joonis 43	Sihtotstarbelise jagunemine heitmestandardite kaupa, diisel tk .....	81
Joonis 44	Sihtotstarbelise jagunemine heitmestandardite kaupa, bensiin tk .....	82
Joonis 45	Teetöömasinate jagunemine heitmestandardite kaupa, diisel tk .....	84
Joonis 46	CH <sub>4</sub> heitkoguste võrdlus 2010-2019.....	95
Joonis 47	N <sub>2</sub> O heitkoguste võrdlus 2010-2019 .....	96
Joonis 48	NO <sub>x</sub> heitkoguste võrdlus 2010-2019 .....	96
Joonis 49	NMVOC heitkoguste võrdlus 2010-2019.....	97
Joonis 50	Kasvuhootegaaside heitkoguste võrdlus 2010-2019 .....	97
Joonis 51	FAME toomise keemiline reaktsioon .....	101
Joonis 52	HVO toomise keemiline reaktsioon .....	102
Joonis 53	Bioetanooli toomise keemiline protsess.....	102
Joonis 54	Biogeenset päritolu CO <sub>2</sub> heitkoguste võrdlus 2005-2021 .....	114
Joonis 55	Fossiilset päritolu CO <sub>2</sub> heitkoguste võrdlus 2005-2021 .....	115
Joonis 56	Hübriid sõiduautode jaotus EURO-klasside lõikes 2021. aasta seisuga, tk.....	118
Joonis 57	Raske veokite summaarne ja rahvusvahelistel vedude veosekäive ning läbisöidu osakaal	122
Joonis 58	Busside summaarne ja linnaliinide läbisöit 1990-2020, km .....	129
Joonis 59	Kasutatava tehnika põhimõtteskeem .....	132
Joonis 60	Asfaltsegu laotusprotsess.....	132
Joonis 61	Kastimeetodi põhimõte (Ortolando, 1985).....	140
Joonis 62	Laotusprotsess ja heite mõõtepunktid .....	143
Joonis 63	Laoturi tasanduslaud ja heide .....	143
Joonis 64	Mõõtmisprotsess ja analüsaatorid laoturil .....	144
Joonis 65	Mõõtmine dünaamilise vookambriga .....	144
Joonis 66	Märja katselaudas olevad mõõteseadmed .....	149
Joonis 67	ACSM, SMPS (15-673 nm) ja Picarro mõõtmistulemustel põhinevad esialgsed korrelatsioonid Märja katselaudas.....	150
Joonis 68	ACSM ja Picarro poolt mõõdetud parameetrite esialgsed kvantiilid ning keskmised, miinimum- ja maksimumväärused Märja katselaudas.....	151
Joonis 69	Keskmine osakeste suurusjaotus kasutades ruumilist- ja numbrilist kontsentratsiooni .....	151
Joonis 70	Näide SMPS mõõdetud osakeste numbrilise kontsentratsiooni ajalisest evolutsionist vahemikus 22.12.2020 18:00 kuni 25.12.2020 00:00 .....	152
Joonis 71	Picarro mõõdetud parameetrite ööpäevane muutlikkus .....	159
Joonis 72	Laudas mõõdetud tuule kiiruse, suhtelise õhuniiskuse ja temperatuuri ööpäevane käik.....	160
Joonis 73	ACSM mõõdetud parameetrite ööpäevane muutlikkus .....	160
Joonis 74	ACSM mõõdetud parameetrite muutlikkus nädala lõikes .....	161
Joonis 75	Picarro mõõdetud parameetrite muutlikkus nädala lõikes .....	161
Joonis 76	ACSM, SMPS (14-673 nm) ja Picarro mõõtmistulemustel põhinevad korrelatsioonid Märja katselaudas perioodil 22.12.2020 – 01.04.2021 .....	162
Joonis 77	NH <sub>3</sub> ja NH <sub>4</sub> <sup>+</sup> vaheline sõltuvus Märja katselaudas perioodil 22.12.2020 – 01.04.2021	163
Joonis 78	Näide SMPS mõõdetud osakeste numbrilise kontsentratsiooni ajalisest evolutsionist Märja katselaudas vahemikus 15.01.2021 12:00 - 18.01.2021.....	163

---



---

Joonis 79	Näide SMPS mõõdetud osakeste numbrilise kontsentratsiooni ajalisest evolutsionist (võimalik nukleatsioonipuhang) vahemikus 07.10.2021 - 10.10.2021 .....	164
Joonis 80	Keskmise osakeste suurusjaotus Märja katselaudas kasutades normaliseeritud numbrilist- ja ruumilist kontsentratsiooni .....	164
Joonis 81	Mõõdetud hoidlate asukohad .....	166
Joonis 828	ACSM mõõdetud PM1 komponentide kontsentratsiooni muutlikkus kellaaja lõikes. Joonisel on antud keskmise (tume joon) ning standardhälve .....	168
Joonis 83	SMPS mõõdetud massi- ja numbrilise kontsentratsiooni muutlikkus nädala lõikes. Joonisel on antud keskmise (valge täpp), mediaan (must horisontaalne joon), ülemine ja alumine kvartii (värvitud ala) .....	169
Joonis 84	Lämmastiku, fosfori, kaalumi taluvärava bilanss toetustüübidi ja Eesti keskmisena aastatel 2015-2018 .....	183



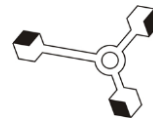
## 1 Sissejuhatus

KHG heitkoguste vähendamise eesmärgi saavutamise hinnangud tehakse lähtuvalt iga-aastasest KHG inventuurist, mille Eesti esitab nii Euroopa Komisjonile kui ÜRO kliimamuutuste raamkonventsiooni sekretariaadile. KHG inventuuri eesmärgiks on saada ülevaadet õhku paisatud KHG kogustest minevikus ja võetud kohustuste täitmisest. Euroopa puhta õhu paketi eesmärk on tagada olukord, kus aastaks 2030 vähendatakse kavandatud meetmete abil õhusaaste kahjulikku mõju inimesele tervisele 40% võrreldes aastaga 2005.

Riiklikel KHG ja õhusaasteainete inventuuril on oluline roll ülalmainitud eesmärkide saavutamisel, kuna inventuuri abil hinnatakse riiklike heitkoguseid, mille juures on määrama tähtsusega inventuuri sisendandmete kvaliteet ning kasutatud eriheidete riigispetsiifilisus. KHG ja õhusaasteainete inventuurist saadud infomatsioon ja selle kvaliteet muutuvad aasta aastalt järjest olulisemaks, mis tähendab, et inventuuri koostamissüsteemi ja algandmete kvaliteet peavad olema väga head ning järjest enam peab tegelema riigispetsiifiliste metoodikate arendamisega. Riikidel on KHG ja õhusaasteainete inventuuri koostamisel võimalik kasutada erineva täpsusastemega metoodikaid (nn Tier 1, Tier 2, Tier 3 metoodikad) ja arvutamisel kasutatavaid eriheitetegureid, mis on kas vaikeväärtsed, riigispetsiifilised, või ka ettevõtte spetsiifilised.

Käesoleva ülesandega antavad tegevused panustavad Eesti riikliku KHG ja õhusaasteainete aruandluse edasiarendusse kui ka riigispetsiifiliste metoodikate arendamisse, et saada võimalikult täpseid KHG ja õhusaasteainete heitkoguste hinnanguid, mille põhjal saavad ministeeriumid kujundada efektiivset keskkonna- ja kliimapoliitikat.

Alljärgnevalt on toodud 2022 a. tegevuste kirjeldused ning tulemused. 2022 a. lõppenud tegevuste juurde on lisatud ka 2020 ja 2021 a. tulemused.



## 2 Energeetika valdkonna tegevused

### 2.1 Kasvuhoonegaaside ja õhusaasteainete riigispetsiifiliste eriheitetegurite ajakohastamiseks kasutatavate mõõtesüsteemide täiendamine, sealhulgas mõõtevõimekuse suurendamine (lõpp 2021)

Vastutav täitja: Erik Teinemaa

Kaastäitjad: Aivo Heinsoo, Keio Vainumäe

#### 2.1.1 2020 a. tegevused

Käesoleva tegevuse raames kuulutati välja avalikud mõõteseadmete ja heitgaaside mõõtelabori ajakohastamise ehitamise hanked, mis toimusid ajavahemikul juuni kuni september 2020. 31.12.2020 seisuga on kõik 2020 a. tegevustesse plaanitud hanked läbi viidud, seadmed soetatud ja mõõtelabor ettenähtud mahus ajakohastatud. Avalike hangete läbiviimisel ega täitmisel olulisi törkeid ei esinenud. Viibib vaid ühe ahju paigaldus (Ahja Moodulahi), kuna tootjal esines tootmisprotsessis törkeid. Ahju paigaldus toimub kokkulekke kohaselt hiljemalt 14.01.2021.

2021 a. hanked on ettevalmistamisel ning need kuulutatakse välja esimesel võimalusel, et vältida ajalist surveid nagu seda esines kohati 2020 a. hangete läbiviimisel. KHG ja saasteainete heitkoguste mõõtmiste seadmepark täienes järgmiste seadmetega:

1. FID analüsaator - võimaldab mõõta suitsugaasidest CH<sub>4</sub> ja THC
2. Portatiivne kalibreerimisgaasi generaator/lahjendusseade – võimaldab kalibreerida heitgaaside mõõteseadmeid ka laborist eemal olles ning vajadusel heitgaase lahjendada
3. Muud laboritarvikud (heitgaasi filtre kaalud ja kaaluruum, kuivatusahi, tömbkapp) – võimaldab eel- ja järelkaaluda heitgaaside mõõtmistel kasutatavaid filtroid ning seda saab teha heitgaaside mõõtmiste laborimajas
4. Mobiilne eriotstarbeline heitgaaside mõõtelabor – võimaldab teostada pikemaajalisi heitkoguste mõõtmisi
5. Paul Gothe PM (PMsum, PM10, PM2.5) proovivõtuseadmed – võimaldavad koguda peenosakeste heiteproove erineva kontsentratsiooniga heiteallikatest
6. Tahkekütuse heitgaaside mõõtelabori ajakohastamine.

Ühe olulise tegevusena ajakohastati tahkekütuse heitgaaside mõõtelaborit, mis asub aadressil Marja 4d, Tallinn. Tööd hõlmasid endas uue ruumi väljaehitamist, mis võimaldab hoida ja hooldada, sh kalibreerida heitgaaside mõõtmistel kasutatavaid mõõteseadmeid ühes ruumis. Varasemalt oli selle tarbeks jagatud pind ahjulaboris, kuid ruumipuudusel ei olnud sealsetes tingimustes võimalik teostada seadmete hooldust, hoiustamist ja kalibreerimist ühes ruumis.



Koostöös MTÜ-ga Eesti Pottsepäd valitud vastavat kvalifikatsiooni omavate pottseppade poolt toimus kohtküttes kasutatavate ahjude ja pliidide ehitamine, mille tulemusena valmisid järgmised küttekolded:

1. EVS-EN 15544 nõuetele vastav pilukoldega ahi, vastutav täitja Sleppe OÜ
2. ÖNORM B8310 nõuetele vastav pilukoldega pliit, vastutav täitja Sleppe OÜ
3. Tüüpiline soemüüriga Eesti pliit, vastutav täitja Rakvere Küttesalong OÜ
4. Soome tüüpi kamin-ahi, vastutav täitja Koltsi Kaminad OÜ
5. Ahja moodulahi (seoses tootjapoolse tarneraskustega toimus ahju paigaldus 14.01.2021), vastutav täitja Ahja Moodulahi OÜ
6. Umbkoldega ahi (ehitus toimus jaanuris 2021), vastutav täitja Koltsi Kaminad OÜ. Kuigi hetkel on ahjulaboris olemas toimiv umbkoldega ahi, siis otsustati see lammutada, kuna olemasolev ahi ei ole teisaldatav ning jääb järgnevatele ehitustöödele (lahjendustunneli ehitus) ette.

Kõik ehitatud/ehitatavad ahjud/pliidid on teisaldatavad, mis võimaldab ahjulabori pinda ning valmivat lahjendustunnelit koos mõõtesüsteemidega kõige optimaalsemalt kasutada.

### 2.1.2 2021 a. tegevused

Käesoleva tegevuse raames kuulutati välja mõõteseadmete hanked ning 31.12.2021 seisuga on kõik planeeritud seadmed soetatud ning mobiilne eriotstarbeline heitgaaside mõõtelabor vajalikus mahus täiendatud. Avalike hangete läbiviimisel olid mõned viivitused seadmete tarnetes seoses seadme komponentide tarneraskustega, mistõttu esines tootjal tootmisprotsessis törkeid, kuid sellele vaatamata jõudsid kõik edaspidiseks tööks vajalikud seadmed 2021 a. aasta lõpuks kohale.

Emissioonimõõtmiste seadmepark täienes järgmiste seadmetega

1. Mobiilse eriotstarbelise heitgaaside mõõtelabori soojustamine, varustamine konditsioneeriga ning sundventilatsiooniga, - proovivõtuliinide läbiviikudega, - elektriühendustega ja sondikanduritega – täiendused võimaldavad teostada pikemaajalisi emissioonimõõtmisi;
2. Mobiilne referentsmeetoditel põhinev emissioonigaaside pidevseire süsteem-täiendused võimaldavad teostada pikamaajalisi emissioonimõõtmisi referents meetoditel ( $O_2$ ,  $SO_2$ ,  $NO_x$ ,  $CO$ ,  $CO_2$ ,  $N_2O$ );
3. Heitgaaside lahjendustunneli ehitus kondenseeruvate peenosakeste proovivõtuks;
4.  $NH_3$  emissioonigaaside analüsaator;
5. PM välisõhu proovivõtuseade – Seadmega saab täpselt mõõta peenosakeste sisaldust välisõhus eesmärgiga valideerida koduhjude mõõtmiste käigus saadavaid eriheitetegureid;
6. Ahjude kaal – Võimaldab hinnata reaalaajas kütusekulut;
7.  $CO_2$  analüsaator – võimaldab hinnata suitsugaaside lahjendustegurit taustataseme määramise seisukohast.



## 2.2 Energeetikasektori KHG ja õhusaasteainete inventuuri kohtkütte sektori ruumilise paiknemise ja sektoris kasutatavate kütteseadmete inventuur (lõpp 2021)

Vastutav täitja: Marek Maasikmets

Kaastäitjad: Stanislav Štökov, Marko Kaasik (TÜ Füüsika Instituut)

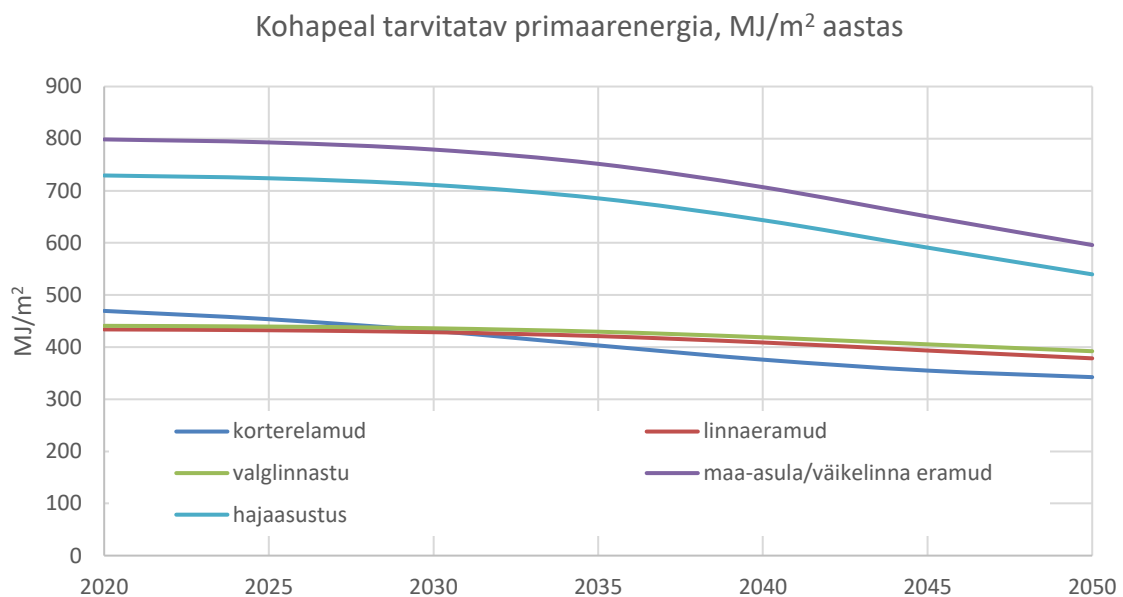
### 2.2.1 2020 a. tegevused

Tegevuse raames hinnati kohtkütte sektoris kasutatavate kütteseadmete paiknemist ja nende seisukorda ning inimeste kütmisharjumusi. Teostati küsitleused 136-s majapidamises. Töö tulemusel saadi uuendatud ülevaade Eesti kohtküttesektori kütteseadmetest, täpsustati varasemaid hinnanguid, hinnati olemasolevat olukorda ja teostati prognoos kuni aastani 2050. Esitati heitmete prognoos elamispinna ruutmeetri kohta kuni 2050. aastani. Heitmete prognoosimisel lähtuti ettevaatlikust stsenaariumist, et renoveerimisel väheneb majapidamiste energiatarve proporsionaalselt kõigis primaarennergia liikides, sh. elektri osas, mille tarvet (nii küte, kui boilerid kui muud majapidamisriistad) hinnati Statistikaameti andmete põhjal. Küsitleusest ilmnes, et paljud soovivad soetada soojuspumpasid. Siiski säilitatakse enamasti soojuspumba kõrval ka puuküte. Palju pööratakse tähelepanu ahjude ja pliitide uuendamisele, seega massilik loobumissoovi küsitleusest ei ilmne. Leidub neidki majapidamisi, kus tahetakse üle minna gaasile. Kaugkütttest on huvitatud vähesed majapidamised.

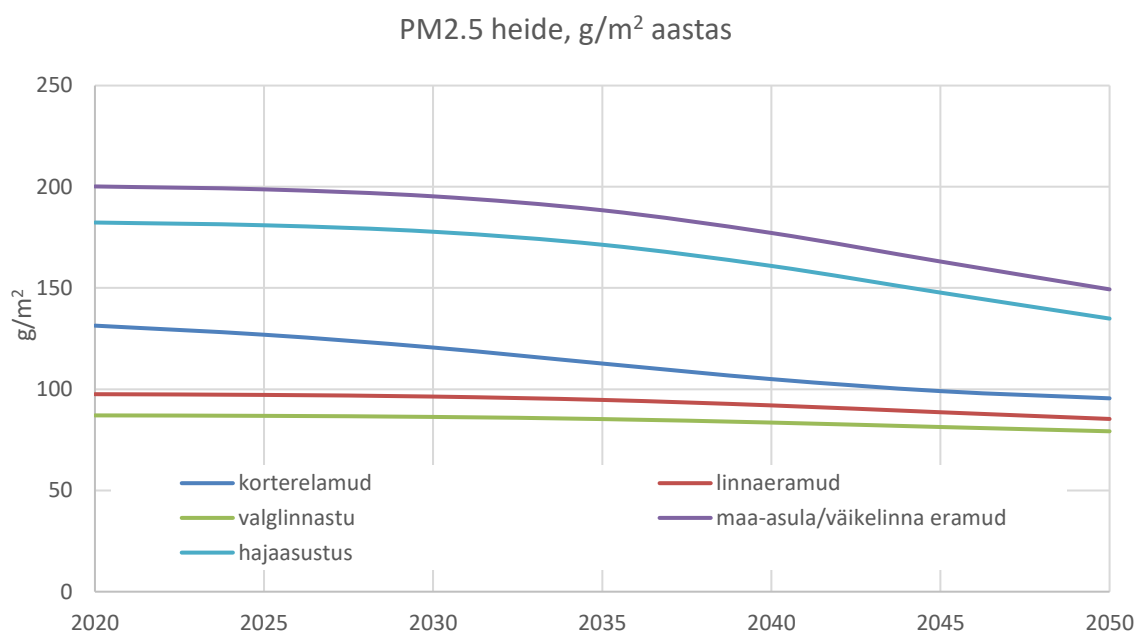
Küsitleuse põhjal koostatud metoodika on väga detailiderohke, kuid üldine lähenemine põhines energiamärgise C lävendil 160 kWh aastas eramutele ja 150 kWh aastas kortermajadele, mis teisendati arvutustes SI ühikutesse. Energiatarve, mis on üle selle lävendi, väheneb ajas vastavalt renoveeritud elamispinna osakaalule, mis on saadud Tallinna Tehnikaülikooli koostatud arengukavast<sup>1</sup>. Antud töös pakutud stsenaariumi, et pool eramutest läheb keskküttele ja pool soojuspumpadele, ei ole arvestades Eesti hajusat asustust ning hetkeolukorda arvesse võttes, maapiirkondades kuigi töenäoline. Arengukavas toodud eluruumide tühjenemise prognoosidega hetkel ei ole arvestatud, kuna see vajab GIS-i põhist analüüsi ning seda saaks teostada peale ehitisregistri põhjal valmiva uuendatud kohtkütte andmebaasi kasutuselevõttu. TalTech-i poolt koostatud arengukavas konstanteeritakse, et 2050.a. võib ääremaadel tühjeneda 80% eluruumidest, samal ajal kui keskustes praktiliselt olukord ei muudu. Kuna aga õhusaaste probleem on just tihedamalt asustatud kohtades, siis praktilises mõttes on tegemist olulise detailiga, mis vajab edasist analüüsi.

Valminud töö põhjal uuendati kohapeal tarvitatava primaarennergia hulka aastas pinnaühiku kohta (Joonis 1) ning selle põhjal tuletatud PM2.5 heidet (Joonis 2). Saadud tulemuste põhjal on võimalik laiendada heitmete hinnangut ka KHG-le ja õhusaasteainetele ning hinnata KHG ja õhusaasteainete aasta, nädala ja ööpäevakeskmist dünaamikat (Joonis 3).

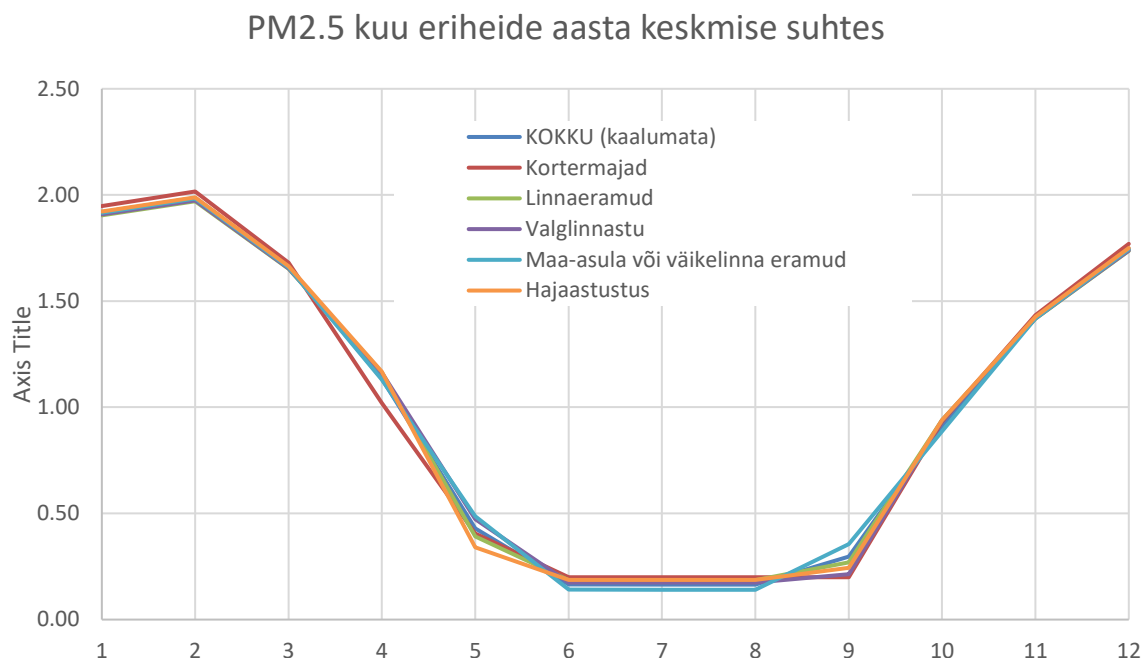
<sup>1</sup> Hoonete rekonstruktsioonide pikaajaline strateegia. Tallinna Tehnikaülikool, 2020



Joonis 1 Prognoositav primaarenergia hulk (MJ/m<sup>2</sup>/aastas) aastani 2050



Joonis 2 Prognoositav PM2.5 heide (g/m<sup>2</sup>/aastas) aastani 2050



**Joonis 3 PM2.5 kuupõhine eriheide asulatüüpide lõikes**

Kohtkütte sektoris kasutatavate kütteseadmete osas kasutati MKM-i poolt hallatavat digitaalset ehitisregistrit (<https://www.ehr.ee/>) ning töö raames loodi esmased võimalused ehitisregistrist vajalike andmete operatiivseks ülekandmiseks inventuuri ja õhusaasteainete modelleerimissüsteemi töötabelitesse. 27.09.2019 toimus MKM-i, KKM ja EKUKi vaheline koosolek, kus täpsustati ehitisregistri hetkeseisu ning osapoolte huvisid. KHG ja õhusaasteainete inventuuri ja prognooside seisukohast on olulised järgmised sisendandmed: köetava pinna suurus, energiamärgis, kasutatavad kütteseadmed ning need seotakse katastriüksuse kaardikihiga, et oleks võimalik saada kütteseadmete ruumiline jaotus. MKM-i poolt (Taavi Jakobson) toodi välja järgmised arendustööd:

Ehitisregistrisse auditite andmed lisada, E-ehituse platvorm hakkab tulevikus käitlema kogu ehitise elukaart (e-ehituse roadmap), tehtud E-ehituse teemaveeb ja 3D kaksiku uuring, 3D kaksik programmis ruumiliselt hooned, nt sobivad katused PV-le jm ruumianalüüs võimekus. Ehitisregister lubade menetlemise süsteem ehk pärast ehitusluba jääb info seisma. Heal juhul pooled soojuspumbad sisse kantud. Päästeametiga korstnapühkimise aktide andmebaasiga sidumine ja selle põhjal ehitusregistrit uuendada. TTJA-ga gaasiseadmete andmebaasi uuendamine arutlusel. Poole aasta jooksul loome võimalused. Korstnapühkjatel 5a välp, gaasiseadmetel 4a välp, see aasta peaks suur osa saama sisse kantud. Soojuspumpasid ei kontrolli keegi. Uusarendustes pangalaenudega seoses inimestel endal huvi andmete sisestamisega. Ehitisregistri ehitame ümber, see aasta (st 2019) lõpp andmete elektroniline esitamisteatis viiakse sisse KOV-dega ja siis kampaaniad, et inimesed sisestaks andmed. Eestil 1000 erinevat andmekogu, ei peaks juurde neid tegema. Teeme ümber menetluskeskkonda nii, et saab lisada menetlusi, hetkel ehitisregistris ei saa täiendusi teha, kõik jupid saavad



olema sõltumatud. E-ehituse platvormi eesmärk ehituse elukaarega seotud standardiseeritud ja usaldusväärne info liigub kõigi osapoolte pool kadudeta. Halvimal juhul täna ehitusettevõtja ja KOV ametnik suhtleb täna 32 erineva registriga. PWC tegi analüüs iue menetluskeskkonna jaoks, kvantititseeris ülemineku võitu, so 90 000 tundi aastas. 3D kaksik on ehitiste tasandil ja hetkel maa alla ja kõrgustesse ei lähe, kuid edaspidi on võimalik arendada. Mikroteenused avatud koodiga ja taaskasutatav. BIM põhine lubade menetluse arendus. Võrgurajatiste andmebaasi funktsionaalsuse arendamine. REGRELII rahvastikupõhine andmeloendus ja andmete parandus 2021. Ehitisregister riiklik, kuid KOV menetluskeskkond, andmed KOV-de omad. Ülelennul saadud andmed 300 000 objekti, sh mõnikümmend tuhat elamut on KOV töö. Paljud objektid ei pruugi olla hooned, hoopis kaetud puuriidad, 25% neist objektidest sees. Arenduste rahastus struktuurifondidest. Päästeameti arendused põhiliselt riigieelarvest leiame. Arendustepipelinesse saame veel lisada teemasid, aga 2021 alguseks lõppevad kõige intensiivsemad arendused. Põhiprobleem andmekorje ja kvaliteet. Oluline, et Päästeamet hakkaks õiget infot koguma. Andmete ajakohastamiseks tuleb leida eraldi raha. 1/3 elamutest puudub ehitusaasta, vaja ajalooliste ortofotode võrdlus saamaks teada ehitusvahemiku. Ehitusregistri andmed praegu ei valideeru ülelendudega, vaid olemasoleva dokumentatsiooni baasil. Nt Tallinnas kord aastas vähemalt ülelend, neil korralik 3D kaksik ja võimalik teha visuaalne võrdlus ehk poolautomaatne järelevalve. Tahaks minna reaalajas andmeseiresse, et jälgida andmeid reaalajas. Järgmine aasta lõpuks kogu Eesti kuubikutena kaardistatud, all maa-ameti 3D kaart.

06.10.2020 seisuga on MKM-i andmetel ehitisregistri arendustööd järgmises faasis:

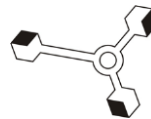
2020. lõpus/2021. alguses muudetakse tehniliste andmete koosseisu ja energiamärgis(t)e andmekoosseisud samaks. Muuhulgas tuuakse sisse primaarse/sekundaarse kütteallika möiste (või täpsema jaotuse – hetkel otsustamisel). Muuhulgas võimaldab see automatiserida mitmed energiamärgiste koostamise tegevused ja uuendada EHRI andmekoosseisu;

Hetkel on muu hulgas arendamisel projekt, mille tulemusena hakkab EHR koguma ka dünaamilisi andmeid: elektrienergia ja kaugküte. Selle tulemusena võiks 2021. aasta jooksul tekkida hea ülevaade suure osa Eesti ehitiste realsest energiatarbimisest („täisautomaatsed reaalaja energiamärgised“). Kohalikud kütteseadmed valikus ei ole.

Päästeametist ettekirjutuste ja korstnapühkija aktide põhjal informatsiooni ehitisregistrisse kopeerimine info uuendamiseks on plaanis, kuid ajakava ei ole Päästeameti/SMITiga lukus. Ilmselt algavad tegevused aastast 2021 või hiljem. Kahjuks on Päästeameti arendustes võetud objekti identititseerimiseks aluseks aadressiandmete identifaator (ADS-OID), mis ei identititseeri hoonet üheselt – erinevalt EHR koodist ja pole selge kuidas andmevahetuse lahendatud saadakse.

Seejärel teostati päring MKM-i hallatavast ehitisregistrist järgmiste näitajate osas:

1. Väljavõte olemasolevast ehitisregistrist kõikide kodumajapidamiste kohta kus on kasutusel lokaalkütte allikas.
2. Päritavad andmeväljad:



a. EHR kood	Nimetus	Staatus	Tase1_ID	Maakond
	Tase2_ID	Linn/vald	Tase3_ID	Linnaosa/alev/küla
	Katastritunnus	Suletud_kp	Kasulik pind ehitises	Köetav pind
	Põhilise kasutusotstarbe kood		Põhiline	kasutusotstarve
	Esmane kasutusaasta Tehnilise näitaja Kood		Tehnilise	näitaja
	nimetus			

Päringu tulemusena esitas MKM ligikaudu 800 000 infokirjega väljavõtte, mis edastati EKUKi 5 Exceli tabeli näol (Tabel 1).

**Tabel 1 Näidis esitatud EHR väljavõttest**

A	B	C	D	E	F	G	H	I	J	K	L	M	N
ehr_kood	nimetus	seisund	taisaadress	katastritunnus	suletud_neteppind	koetav_pind	peamise_kasutusotstarbe_nimetus	esmane_kasutus	kl_kood	teh_nait_kood	teh_nait_nimetus		
1	120197016	elamu	EHITIS_SEISUND_EHTIMAM_LUI	Harju maakond, Saue vald, Vatsla küla, 772702:007:0010	165.9	148.5_11101	Üksikelamu	null	TEHNO_SOOUUSA	2503	katel		
3	120197016	elamu	EHITIS_SEISUND_EHTIMAM_LUI	Harju maakond, Saue vald, Vatsla küla, 772702:007:0010	165.9	148.5_11101	Üksikelamu	null	TEHNO_ENERGIA	2603	vedekütus		
4	120197016	elamu	EHITIS_SEISUND_EHTIMAM_LUI	Harju maakond, Saue vald, Vatsla küla, 772702:007:0010	165.9	148.5_11101	Üksikelamu	null	TEHNO_SOOAVLIK	2404	lokaalite		
5	120197019	erakordne elamu	EHITIS_SEISUND_EHTIMAM_LUT	Harju maakond, Saue vald, Vatsla küla, 772702:007:0010	182.9	182.9_11101	Üksikelamu	null	TEHNO_SOOUUSA	2405	elektrooskute		
6	120197019	eramu ja era EHITIS_SEISUND_KASUTUSEL	Tartu maakond, Tartu linn, Tartu linn, 779517:078:0007	182.9	182.9_11101	Üksikelamu	null	TEHNO_SOOAVLIK	2405	kohkute			
7	120197019	eramu ja era EHITIS_SEISUND_KASUTUSEL	Tartu maakond, Tartu linn, Tartu linn, 779517:078:0007	182.9	182.9_11101	Üksikelamu	null	TEHNO_ENERGIA	2607	elekter			
8	12013322	väikeelamu	EHITIS_SEISUND_KASUTUSEL	Harju maakond, Lääne-Harju vald, Laek 29501:009:0210	211.5	172.9_11101	Üksikelamu	2019 TEHNO_ENERGIA	2609	ühisoojus + elekter			
9	12013322	väikeelamu	EHITIS_SEISUND_KASUTUSEL	Harju maakond, Lääne-Harju vald, Laek 29501:009:0210	211.5	172.9_11101	Üksikelamu	2019 TEHNO_SOOUUSA	2504	sooivuspump			
10	12013322	väikeelamu	EHITIS_SEISUND_KASUTUSEL	Harju maakond, Lääne-Harju vald, Laek 29501:009:0210	211.5	172.9_11101	Üksikelamu	2019 TEHNO_SOOUUSA	2507	ahi, kamrin, plitt			
11	12013322	väikeelamu	EHITIS_SEISUND_KASUTUSEL	Harju maakond, Lääne-Harju vald, Laek 29501:009:0210	211.5	172.9_11101	Üksikelamu	2019 TEHNO_SOOUUSA	2508	elektrooskute			
12	12013322	väikeelamu	EHITIS_SEISUND_KASUTUSEL	Harju maakond, Lääne-Harju vald, Laek 29501:009:0210	211.5	172.9_11101	Üksikelamu	2019 TEHNO_SOOAVLIK	2405	kohkute			
13	12013322	väikeelamu	EHITIS_SEISUND_KASUTUSEL	Harju maakond, Lääne-Harju vald, Laek 29501:009:0210	211.5	172.9_11101	Üksikelamu	2019 TEHNO_ENERGIA	2607	elekter			
14	12013322	väikeelamu	EHITIS_SEISUND_KASUTUSEL	Harju maakond, Lääne-Harju vald, Laek 29501:009:0210	211.5	172.9_11101	Üksikelamu	2019 TEHNO_ENERGIA	2606	talke (puit, turvas, bri			
15	12013325	suivila	EHITIS_SEISUND_KASUTUSEL	Harju maakond, Lääne-Harju vald, Laul 29501:007:2720	129.8	129.8_11103	Suvila, alamaja	2003 TEHNO_SOOUUSA	2507	ahi, kamrin, plitt			
16	12013325	suivila	EHITIS_SEISUND_KASUTUSEL	Harju maakond, Lääne-Harju vald, Laul 29501:007:2720	129.8	129.8_11103	Suvila, alamaja	2003 TEHNO_SOOUUSA	2508	elektrooskute			
17	12013325	suivila	EHITIS_SEISUND_KASUTUSEL	Harju maakond, Lääne-Harju vald, Laul 29501:007:2720	129.8	129.8_11103	Suvila, alamaja	2003 TEHNO_SOOAVLIK	2405	kohkute			
18	12013325	suivila	EHITIS_SEISUND_KASUTUSEL	Harju maakond, Lääne-Harju vald, Laul 29501:007:2720	129.8	129.8_11103	Suvila, alamaja	2003 TEHNO_ENERGIA	2607	elekter			
19	12013325	suivila	EHITIS_SEISUND_KASUTUSEL	Harju maakond, Lääne-Harju vald, Laul 29501:007:2720	129.8	129.8_11103	Suvila, alamaja	2003 TEHNO_ENERGIA	2606	talke (puuit, turvas, bri			
20	12013336	alamaja	EHITIS_SEISUND_KASUTUSEL	Harju maakond, Saku vald, Metsanurm 71808:001:0140	65.7	29.8_11103	Suvila, alamaja	1989 TEHNO_SOOUUSA	2507	ahi, kamrin, plitt			
21	12013336	alamaja	EHITIS_SEISUND_KASUTUSEL	Harju maakond, Saku vald, Metsanurm 71808:001:0140	65.7	29.8_11103	Suvila, alamaja	1989 TEHNO_SOOAVLIK	2405	kohkute			

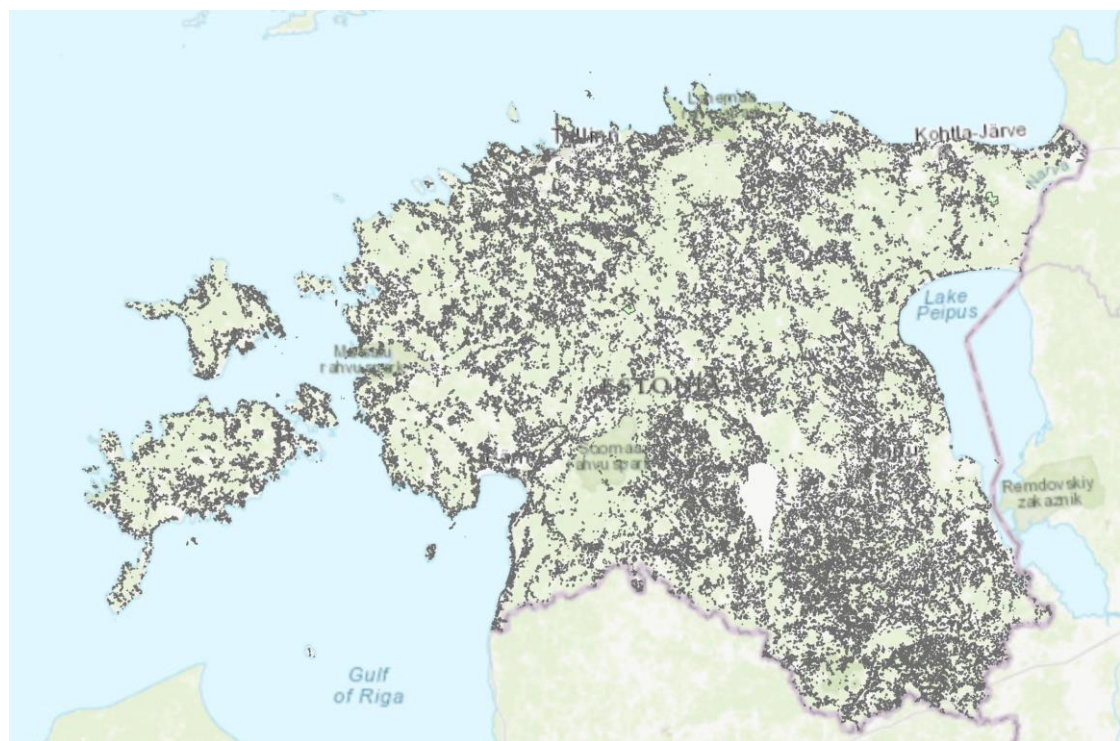
Seejärel tulemused konsolideeriti, valiti välja lokaalkütet ja tahkekütust kasutavad majapidamised (ca 215 000 kirjet), arvutati välja iga konkreetse majapidamise peenosakeste heitkogus vastavalt köetava pinna suurusele, kasutades pinnaühikule kuluvat keskmist energiakulu ( $242,35 \text{ kWh/m}^2$ ), leiti energiakogus MJ ning peenosakeste heitkoguste arvutamisel kasutati järgmisi (vana ahjutüüp) eriheiteid:

PM10 257,63 mg/MJ

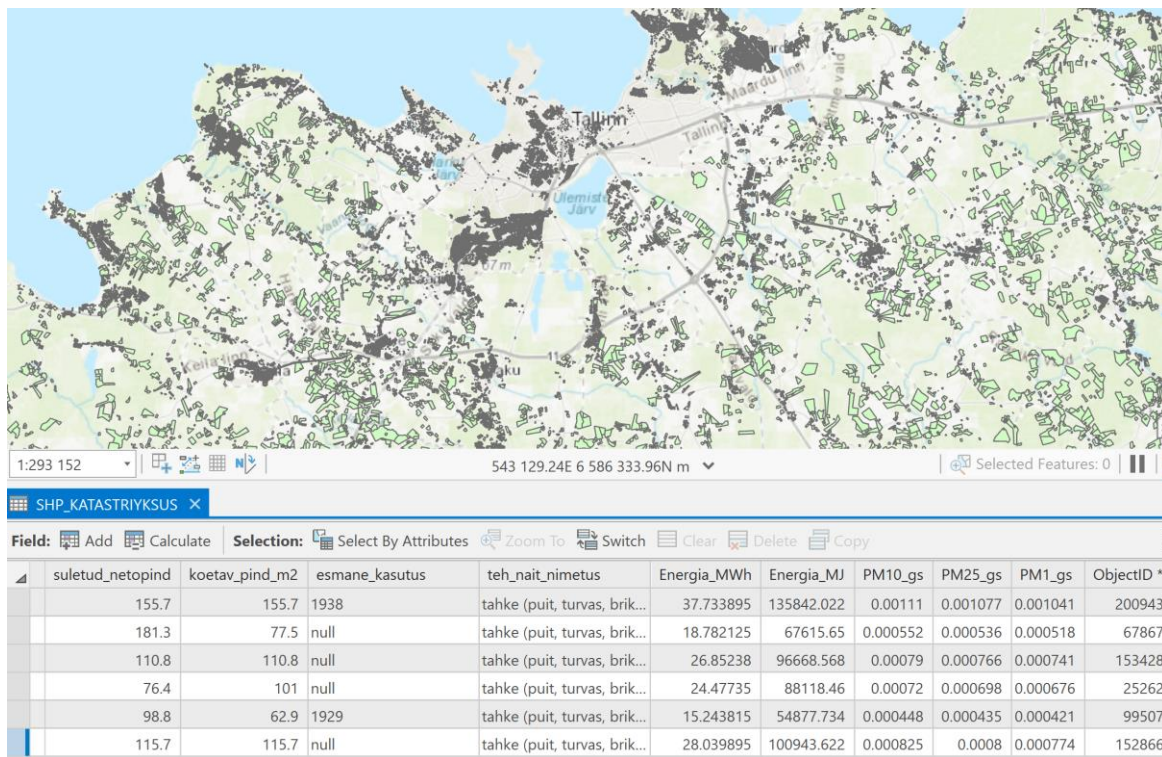
PM2.5 249,94 mg/MJ

PM1.0 241,77 mg/MJ

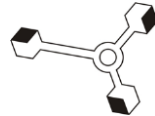
Seejärel ühendati andmed Maaameti avaliku katastriüksuse kaardikihiga ning selekteeriti katastriüksused millel asub EHR-i andmetel lokaalne tahket kütust kasutav kütteseade (Joonis 4, Joonis 5). Tahkeküttel seadmete paiknemise andmestik on GIS formaadis ning prognoosandmed kütteseadmete võimaliku jaotumuse osas (TÜ uuring) Exceli formaadis.



**Joonis 4 Väljavõte katastriüksuse kaardikihist, kus on eristatud kohtkütte katastriüksused (1:750 000)**



**Joonis 5 Väljavõte Tallinna piirkonna kohtkütte andmebaasist**



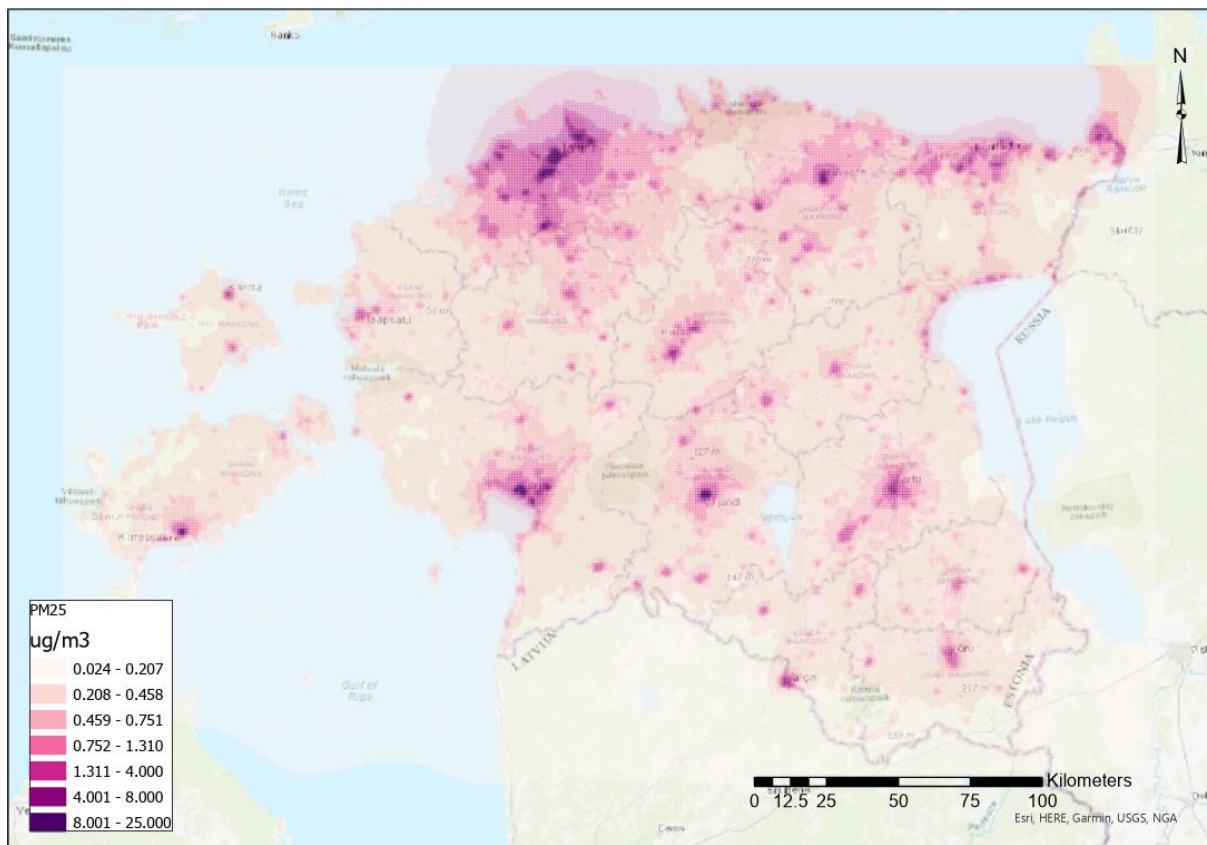
## 2.2.2 2021 a. tegevused

2021 a. jätkati 2020 a. alustatud tegevustega ning põhirõhk oli ehitusregistrist (EHR) saadud andmete üleviimine Airviro heitkoguste andmekogusse, mis võimaldab teostada antud töö kontekstis kohtküttesektori õhukvaliteedi hajumisarvutusi ja ka analüüsida kohtküttesektoris kasutatavate küttekollete ruumilist paiknemist.

2020 a. tegevuse tulemusena saadi uuendatud ülevaade Eesti kohtküttesektori kütteseadmetest kuni aastani 2050 ning 2021 a. alustatakse saadud alusandmete kasutuselevõttu kasvuhoonegaaside ja välisõhu saasteainete prognooside koostamisel ja samuti saab antud andmeid kasutada valdkondlike poliitikate kujundamisel kütteseadmete uuendamiseks, sh võimalike toetusskeemide või vähendamismeetmete väljatöötamisel lokaalsel tasemel. Uuendatud andmete põhjal saab täpsustada KHG ja välisõhu saasteainete inventuuris CH<sub>4</sub> ja PM-ide kondenseeruvate osakeste osakaaluga heitkoguseid, mis aitaks oluliselt kaasa vastava jõupingutuste jagamise määrusega kaetud alamsektori heitkoguste täpsustumisele ning Eesti õhusaasteainete vähendamise kohustuste täitmisele.

### 2.2.2.1 Uuendatud kohtkütte heitkoguste andmebaasi kasutamine toetusskeemide vähendamismeetmete planeerimisel

2021 a. teostati Keskkonnaministeeriumi tellimusel töö „Kohtkütte piirkondade ja kütteseadmete kaardistamine“, mida kasutati SF21+ meetme „Elamute liitumine kaugküttevõrkudega või tahkel kütusel põhineva kütteseadme uuendamine“ väljatöötamiseks. Meetmega on plaanis hakata toetama tahkel kütusel põhineva kütteseadme uuendamist/väljavahetamist, kaugküttevõrkudega liitumist ning kaugkütte väljaarendamist uutes elamupiirkondades. Nimetatud meede on planeeritud eesmärgiga aidata kaasa õhukvaliteedi parendamisele probleemsetes piirkondades, kus võib esineda õhukvaliteedi piir- ja/või sihtväärustute ületamisi ning lisaks panustab meede ka KHG heitkoguste vähendamisse, kuna uuemad ahjutüübhid, tänu paremale põlemistingimustele, emiteerivad näiteks vähem CH<sub>4</sub>-e. Meetme rakendamiseks kasutati antud arendustöö raames loodud kohtkütte andmebaasi ning teostati üle-Eestilised PM2.5 hajumisarvutused (Joonis 6), mille põhjal valiti õhukvaliteedi seisukohast probleemsed piirkonnad kus võiks ülalmainitud needet rakendada. Arenduse raames loodud andmebaasi on võimalik rakendada ka teiste analoogsete hinnangute koostamisel.



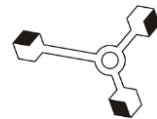
**Joonis 6 PM2.5 aastakeskmised kontsentratsioonid ( $\mu\text{g}/\text{m}^3$ ) kohtkütte sektorist**

### 2.2.2.2 Kondenseeruvad peenosakesed

Teatavasti on heitgaaside proovivõtumeetodil suur mõju mõõdetud kontsentratsioonidele ning sealtkaudu arvutatavatele eriheidetele (EF). Heitgaasidest tahkete osakeste proovide võtmiseks kasutatakse erinevaid proovivõtumeetodeid, milles võib eristada kaks peamiselt kasutusel olevat:

- Filtrimõõtmised, kus mõõdetakse ainult tahkeid osakesi (solid particles - SP);
- Lahjendustunneli (dilution tunnel – DT) mõõtmised, toimub tahkete osakeste ja kondenseeruvate orgaaniliste ainete (või poolenduvate orgaaniliste ainete) mõõtmine.

Olenevalt SP- või DT-põhise EF-i kasutamise valikust võib esineda kuni viiekordne erinevus tahkete osakeste heitkoguste vahel (Denier van der Gon et al., 2015). Seljeskog jt. (2017) on hinnanud, et keskmiselt võib eriheide olla DT meetodi puhul olla kuni 6,5 korda kõrgem võrrelduna SP-meetodiga. Peamine erinevus nende kahe meetodi vahel seisneb selles, et SP-meetodil mõõdetakse enamasti tahkeid osakesi ning DT-meetodiga püütakse kinni ka kondenseeruvat orgaanilist ainet, mis võib viia kogumassi kontsentratsioonide alahindamiseni SP-meetodil. DT-meetodi raames püütakse kaasata ja simuleerida korstnast väljuvate osakeste protsessi, kus osakeste saatust mõjutavad kaks olulist protsessi: jahutamine ja lahjendamine (Maasikmets, M, 2019). Korstnast väljuvad suitsugaasid ei ole kunagi ainult jahutatud, vaid suitsugaaside jahutamine ja lahjendamine toimuvad alati koos (Denier van der



Gon et al., 2015). Üldjuhul on kondenseeruvad osakesed olulised kehvades põlemistingimustes, kus nende mass võib ületada tahkete osakeste massi (Nussbaumer et al., 2008).

Euroopa riigid kasutavad EF arvutamiseks mõlemat meetodit, kuna mõlemad meetodid on standardiseeritud ning omavad mõõtmiste seiskohast „võrdset staatust“. Lisaks koosneb EMEP/EEA juhend kas SP või DT meetodil mõõdetud EF-st (EEA, 2016), samas pole antud juhendis selgelt välja toodud, millist meetodit EMEP/EEA EF arvutamisel kasutati.

Seni on Eestis riigispetsiifiliste PM eriheidete mõõtmistel koduahjudest ja – pliiditest kasutatud vaid SP meetodit ning lähtudes ülalmainitud kirjandusallikatest, võib see kaasa tuua orgaanilise osa mõõdetud tulemuste alahindamise ning seetõttu on vaja SP ja DT meetodite võrdlusmõõtmisi, millega on plaanis Eesti Keskkonnauuringute Keskuse ahjulaboris alustada 2022 aastal. Siiski võib seni teostatud EF mõõtmiste ja nii antud töös kui ka varasemate töödes (Maasikmets, M, 2019) modelleeritud välisõhu PM<sub>2.5</sub> kontsentratsioonide põhjal eeldada, et SP- ja DT-meetodite erinevus ei saa olla viis korda suurem, kui varem viidatud kirjanduses välja pakutud. Seda eelkõige seetõttu, et juba olemasoleva arendustöö raames on näha, et varasem kohtkütte PM<sub>2.5</sub> eriheide (249,94 mg/MJ) põhjustab tugeva ülehindamise kui teostada antud eriheidet kasutades modelleerimised ning võrrelda tulemusi reaalsete välisõhu mõõtmistega. Uuem, kaalutud keskmene eriheide, mis võtab arvesse erinevate ahju- ja pliiditüüpide osakaalusid (42,06 mg/MJ) andis võrdluses reaalsete välisõhu mõõtmistega võrreldava tulemuse. Näiteks Saksamaal kasutatakse kohtkütte sektoris biomassi puhul eriheitena 105 mg/MJ (Struschka et al., 2008), mis on sarnane Eesti tulemusega. Sellele vaatamata tuleb teostada Eestis enimlevinud ja perspektiivsetest ahjudest ja pliiditest eriheidete mõõtmised kasutades selleks lahjendustunneli (DT) meetodit, milleks on arendustööde käigus ka vastavad võimalused Eesti Keskkonnauuringute Keskuse ahjulaboris loodud.



## 2.3 Energeetikasektori kodumajapidamiste ning suurte ja keskmiste põletusseadmete eriheitetegurite kontrollmõõtmised ja andmestike uuendamine KHG ja õhusaasteainete aruandluseks (lõpp 2023)

Vastutav täitja: Keio Vainumäe

Kaastäitjad: Aser Sikk, Peeter Priks, Riina Titova, Jelena Tsurkan, Arkadi Ebber, Oliver Järvik (TalTech), Tõnu Pihu (TalTech)

Projekti raames teostati 2021 a. suurte (üle 50 MW<sub>th</sub>), keskmiste (1–50 MW<sub>th</sub>) ja kuni 1 MW<sub>th</sub> põletusseadme mõõtmised eesmärgiga energiatektika sektori KHG ja õhusaasteainete inventuuride ühtlustamiseks ning täpsuse parandamiseks CH<sub>4</sub>, N<sub>2</sub>O, NH<sub>3</sub>, PM<sub>2.5</sub>, PM<sub>10</sub>, PM<sub>sum</sub> ja BC eriheidete osas. Lisaks esialgsele katelde nimekirjale kaasati koostöös TalTech spetsialistidega projekti teisi ettevõtete poolt tellitud katelde mõõtmiste andmeid, mille osas andsid ettevõtted nõusoleku ning kus vajadusel ja võimalusel võeti täiendavaid proove, et saada kõikide ühendite eriheidete arvutamiseks vajalikud andmed. Kokku koos 2020 a. teostatud töödega arvutati 43 katla CH<sub>4</sub>, N<sub>2</sub>O, NH<sub>3</sub>, PM<sub>2.5</sub>, PM<sub>10</sub>, PM<sub>sum</sub> ja BC eriheeted, mis on toodud Tabel 6 kuni Tabel 13. Mõõtmiste ajad koos mõõdetud katlamajadega on toodud aruande lisas 1.

2021 a. alustati koduahjudest kuumadest suitsugaaside katsetega. Kohtküttekolletest eristati 6 eri tüüpi Eestis enamlevinud ja/või perspektiivse lahendusega koduahju/pliiti, mis ehitati 2020 a. jooksul Eesti Keskkonnauuringute Keskuse ahjulaborisse koostöös MTÜ-ga Eesti Pottsepad, kelle kaudu teostati küttekollete ehitajate valik.

1. Ahja pilukoldega moodulahi, ehitatud vastavalt EVS-EN 15544 nõuetele (Joonis 7). Ehitaja: Ahja Moodulahi OÜ;
2. Pilukoldega ahi, ehitatud vastavalt EVS-EN 15544 nõuetele (Joonis 8). Ehitaja: Slepe OÜ;
3. Soome tüüpi restkoldega ahi (Joonis 9). Ehitaja: Koltsi Kaminad OÜ;
4. Umbkoldega ahi (Joonis 10). Ehitaja: Koltsi Kaminad OÜ;
5. Pilukoldega pliit (Joonis 11), ehitatud vastavalt ÖNORM B8310. Ehitaja: Slepe OÜ;
6. Restkoldega pliit (Joonis 12). Ehitaja: Rakvere Küttesalong OÜ.

Saadud mõõtetulemuste põhjal arvutati riigispetsiifilised eriheeted CH<sub>4</sub>, N<sub>2</sub>O, NH<sub>3</sub>, PM<sub>2.5</sub>, PM<sub>10</sub>, PM<sub>sum</sub> ja BC osas, mis on toodud Tabel 14 kuni Tabel 19

2022 a. alustati koduahjudest lajhendustunneliga suitsugaaside katsetega, mille eesmärgiks oli hinnata kuumade suitsugaaside välisõhu sattumisel tekkivate kondenseeruvate osakeste osakaalu. Kohtküttekolletest teostati mõõtmised kõigi 6 eri tüüpi Eestis enamlevinud ja/või perspektiivse lahendusega koduahju/pliidiga.



Joonis 7 Ahja pilukoldega moodulahi



Joonis 8 Pilukoldega ahi



Joonis 9 Soome tütüpi restkoldega ahi



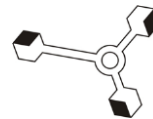
Joonis 10 Umbkoldega ahi



Joonis 11 Pilukoldega pliit



**Joonis 12 Restkoldega pliit**



### 2.3.1 Esialgsete mõõtmistulemuste eriheidete mõju KHG riiklikele heitkogustele

Esialgsete mõõtmistulemuste (seni teostatud mõõtmised) põhjal väheneb kodumajapidamises CH<sub>4</sub> eriheide 94.3% (17.23 kg/TJ) ja N<sub>2</sub>O 41.5% (2.34 kg/TJ) võrreldes praegu kasutatavate IPCC vaikeväärustega Eesti KHG inventuuris (CH<sub>4</sub> 300 kg/TJ ja N<sub>2</sub>O 4 kg/TJ). Tulemusena näiteks väheneks KHG inventuuris kodumajapidamise kategooria KHG heitkogus ligikaudu 125 ktCO<sub>2</sub> ekv 2018.aastal. Kodumajapidamised kuuluvad Effort Sharing Decision'i (ESR) ehk Jagatud jõupingutuste otsuse alla.

Esialgsete arvutustulemuste põhjal väheneb keskmise võimsuse biomassi katelde CH<sub>4</sub> eriheide 99.1% (0.27 kg/TJ) ja N<sub>2</sub>O 93.7% (2.34 kg/TJ) võrreldes praegu kasutatavate eriheidetega Eesti KHG inventuuris (CH<sub>4</sub> 30 kg/TJ ja N<sub>2</sub>O 4 kg/TJ), keskmise võimsuse maagaasi katelde CH<sub>4</sub> eriheide väheneb 98.9% (0.27 kg/TJ) ja N<sub>2</sub>O suureneks 26.1% (0.13 kg/TJ) võrreldes praegu kasutatavate eriheidetega Eesti KHG inventuuris (CH<sub>4</sub> 1 kg/TJ ja N<sub>2</sub>O 0.1 kg/TJ), keskmise võimsuse kütteölide katelde CH<sub>4</sub> eriheide väheneb 99.9% (0.004 kg/TJ) ja N<sub>2</sub>O 67.9% (0.19 kg/TJ) võrreldes praegu kasutatavate eriheidetega Eesti KHG inventuuris (CH<sub>4</sub> 3 kg/TJ ja N<sub>2</sub>O 0.6 kg/TJ) ja segaolmejäätmete põletuse CH<sub>4</sub> eriheide väheneb 99.99% (0.004 kg/TJ) ja N<sub>2</sub>O 95.6% (0.18 kg/TJ) võrreldes praegu kasutatavate eriheidetega Eesti KHG inventuuris (CH<sub>4</sub> 30 kg/TJ ja N<sub>2</sub>O 4 kg/TJ). Tulemusena näiteks väheneks KHG inventuuris soojustootmisse KHG heitkogus ligikaudu 6.5 ktCO<sub>2</sub> ekv 2018.aastal.

### 2.3.2 Emissioonigaaside mõõteseadmed ja metoodikad

#### 2.3.2.1 Suitsugaaside koostis

Suitsugaaside koostise sh. O<sub>2</sub>, H<sub>2</sub>O, CO, CO<sub>2</sub>, NO<sub>x</sub>, SO<sub>2</sub>, N<sub>2</sub>O, NH<sub>3</sub> määramiseks kasutati FT-IR (Fourieri teisendusega infrapuna spektroskoop) spektroskoopi Gasmet DX-4000. Mõõtmistel lähtuti standardtööjuhendist STJnrÖ153.

#### 2.3.2.2 Summaarsed tahked osakesed (PM<sub>sum</sub>)

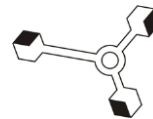
Tahkete osakeste (PM<sub>sum</sub>) kontsentratsioon määritati gravimeetriselt 45 mm ja 50 mm kvarts-fiber filtritelt, kasutades proovide kogumiseks Paul Gothe GmbH isokineetilist proovivõtuseadmistikku. Seadme mõõtepiirkond on 0.1 mg/m<sup>3</sup> kuni 10 g/m<sup>3</sup>. Mõõtmistel lähtuti standardist ISO 9096 (EVS-EN 15259) ja VDI 2066 osa 1.

#### 2.3.2.3 Peenosakesed (PM<sub>10</sub>, PM<sub>2.5</sub>)

Mõõtmiseks kasutati Paul Gothe GmbH PM<sub>2.5</sub> ja PM<sub>10</sub> kaskaadimpaktorit Johnas II, mis põhineb isokineetilisel proovivõtul. Filtritele (QMA) sadestunud osakeste kontsentratsioon määratatakse gravimeetriselt. Mõõtmistel lähtuti standardist VDI 2066 osa 10.

#### 2.3.2.4 Lenduvad orgaanilised ühendid (CH<sub>4</sub> ja THC)

Analüüsitarvitusi juhitakse eelnevalt kalibreeritud leekionisatsioondetektoriga analüsaatorisse (Enviroment S.A. seade Graphite 52M-D). Tulemuseks saadakse gaasi- või aurufaasis olev summaarne orgaaniline süsinik ja metaan milligrammides kuupmeetri kohta.



Seadme mõõtepiirkond on 0–10000 ppm. Summaarse orgaanilise süsiniku määramisel lähtuti standardtööjuhendist STJnrÖ126 ning standardist EVS-EN 12619:2013.

### 2.3.2.5 Suitsugaaside füüsikalised parameetrid

Gaasi kiirus määratati dünaamilise rõhu kaudu kasutades nii S- kui ka L Pitot-toru ja digitaalset diferentsiaalrõhu manomeetrit Testo 521–2 ning alates 2021 a. Testo 400 Dünaamiline rõhk määratatakse täpsusega  $\pm 5$  Pa. Temperatuuri mõõtmiseks kasutati termopaari mõõtepiirkonnaga 0–1200 °C. Gaaside joonkiiruse, staatilise rõhu ja temperatuuri määramisel lähtuti standardtööjuhendist STJmÖ104.

### 2.3.2.6 BC analüüs

BC analüüs teostati PMsum filtriteilt kasutades termooptilist ja optilist meetodit.

### 2.3.3 Välisõhu mõõtmised

Kodumajapidamistes kasutatavate eriheidete valideerimiseks viidi läbi välisõhu mõõtekampaania perioodil 16.11 – 15.12.2021 (30 päeva) Nõmmel aadressil Valdeku 15 mobiilse mõõtelaboriga Mobair-2. Mõõdetavateks näitajateks olid: PM<sub>10</sub>, PM<sub>2,5</sub>, NOx, CO, BC, NH<sub>3</sub> ja meteoroloogilised tingimused.

Mõõtepunkt :

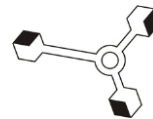
X: 6583082; Y: 539389 – Valdeku 15, Nõmme, Tallinn

Mõõtepunkti asukoht on toodud Joonis 13.

Lisaks üldistele õhukvaliteeti iseloomustavatele parameetritele mõõdeti samaaegselt ka meteoroloogilisi parameetreid nagu tuule suund ja -kiirus ning välisõhu temperatuur ja suhteline õhuniiskus.



Joonis 13 Mõõtepunkti asukoht, Valdeku 15, Nõmme, Tallinn



### 2.3.3.1 Seadmed ja metoodika

Mõõtebussis Mobair-2 kasutati mõõtmisel järgmiseid mõõteseadmeid erinevate parameetrite määramiseks:

**Tabel 2. Mõõteseadmed**

Parameeter	Mõõteseade
NOx	APNA 360
CO	APNA 360
PM10	BAM 1020
PM <sub>2,5</sub>	BAM 1020
BC	Aethalometer AE33
Tolmu proovid filtritele	Digitel DHA 80
Metoroloogilised parameetrid	Vaisala

### 2.3.3.2 Välisõhu mõõtetulemused

Alljärgnevates punktides on kajastatud meteoroloogilised tingimuste ülevaade mõõteperioodil ning mõõtmistulemused PM<sub>10</sub>, PM<sub>2,5</sub>, NOx, CO, BC, PAH kontsentratsioonide osas. Lisaks on mõõdetud saasteainete õhukvaliteedi piir- ja sihtväärtsed on toodud ära Tabel 3.

**Tabel 3. Õhukvaliteedi piir- ja sihtväärtsed**

Saasteaine	Keskmistamisaeg	Piir- või sihtväärthus ( $\mu\text{g}/\text{m}^3$ )	Lubatud ületamiste arv aastas
NO <sub>x</sub>	1 aasta <sup>2</sup>	30	-
NH <sub>3</sub> <sup>3</sup>	1 tund	500	$\mu\text{g}/\text{m}^3$
	1 aasta	8	
CO	8 tundi	10 mg/m <sup>3</sup>	-
PM <sub>2,5</sub>	1 aasta	25	-
PM <sub>10</sub>	24 tundi	50	35 päeva
	1 aasta	40	-

### 2.3.3.3 Meteoroloogilised tingimused mõõtepunktis

Meteoroloogilised tingimused nagu õhutemperatuur, tuule suund ja -kiirus määrvavad ära saasteainete püsimise ja levimise õhus. Tuulise ilmaga on saasteainete kontsentratsioonid reeglina madalamad olles tingitud parematest hajumistingimustest. Meteoroloogilised tingimused mõõteperioodi jooksul on ära toodud Tabel 4.

<sup>2</sup> Kriitiline häiretase

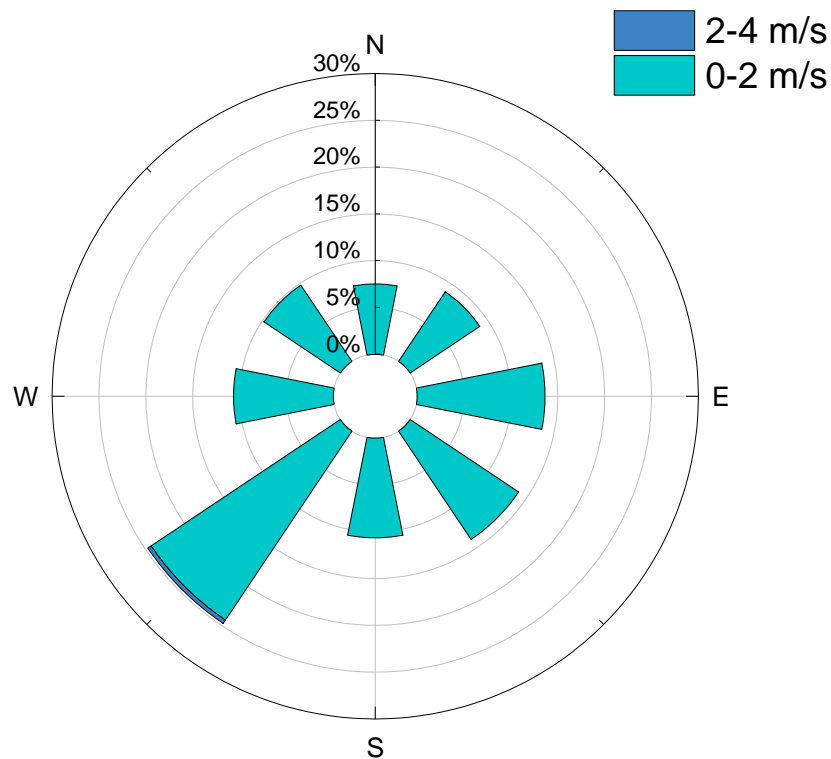
<sup>3</sup> Õkosüsteemi kaitse

**Tabel 4. Meteoroloogilised parameetrid mõõteperioodil**

Parameeter	Väärtus
Välisõhu temperatuur	-2,0 °C
sh maksimaalne välisõhu temperatuur	7,2 °C (02.11)
sh minimaalne välisõhu temperatuur	-18,6 °C
Tuule kiirus	0,81 m/s
sh maksimaalne tuule kiirus	4,2 m/s (15.12)
sh minimaalne tuule kiirus	0,1 m/s
Tuule suund	Valdavalt ida-, kagu- ja edela tuul
Suheline õhuniiskus	80,6 %
sh maksimaalne suhteline õhuniiskus	91,6 %
sh minimaalne suhteline õhuniiskus	52,8 %

Tuulesuundade jaotus mõõtmisperioodi jooksul on ära toodud alljärgneval Joonis 14.

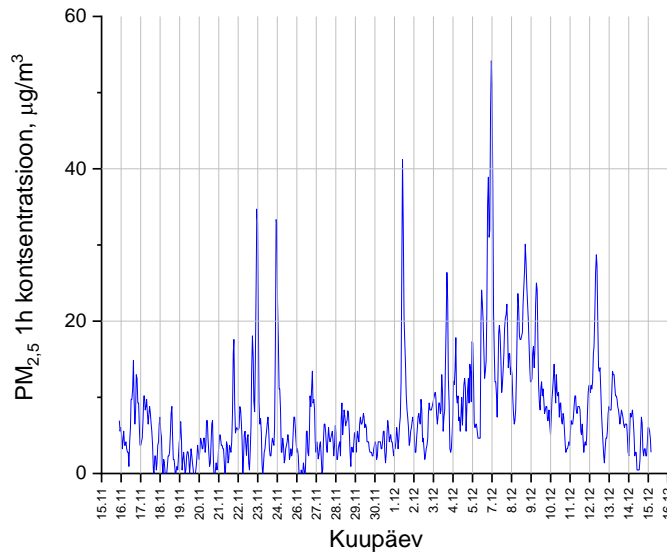
Mõõteperioodi jooksul puhus valdavalt edela tuul kiirusega 0-2 m/s.



**Joonis 14. Tuultereoos mõõteperioodil**

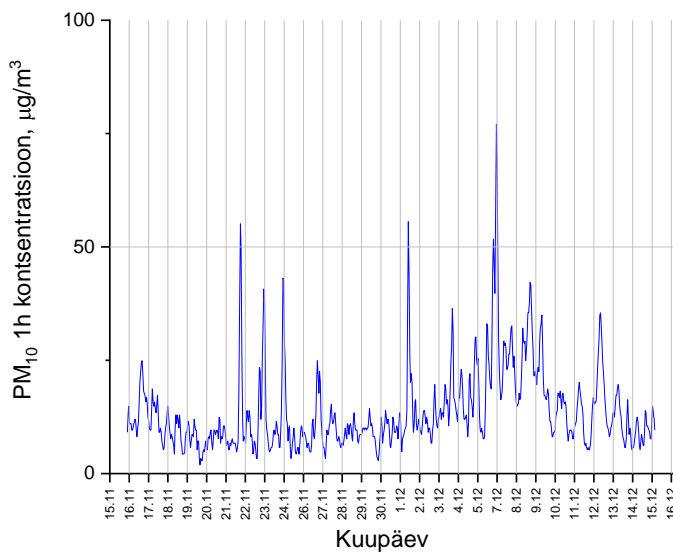
### 2.3.3.4 Mõõtetulemused

PM<sub>2,5</sub> 1h mõõteperioodi keskmise kontsentraatsioon oli 7,8 µg/m<sup>3</sup> ning kõige kõrgem 1h väärthus oli 54,2 µg/m<sup>3</sup> (06.12.2021).



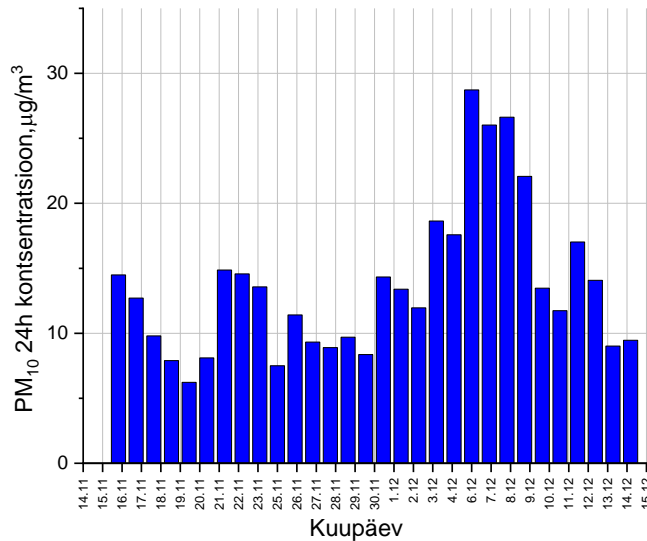
Joonis 15. PM<sub>2,5</sub> 1h kontsentraatsioon

PM<sub>10</sub> 1h mõõteperioodi keskmise kontsentraatsioon oli 13,7 µg/m<sup>3</sup> ning kõige kõrgem väärthus oli 77,1 µg/m<sup>3</sup> (06.12.2021 23:00).



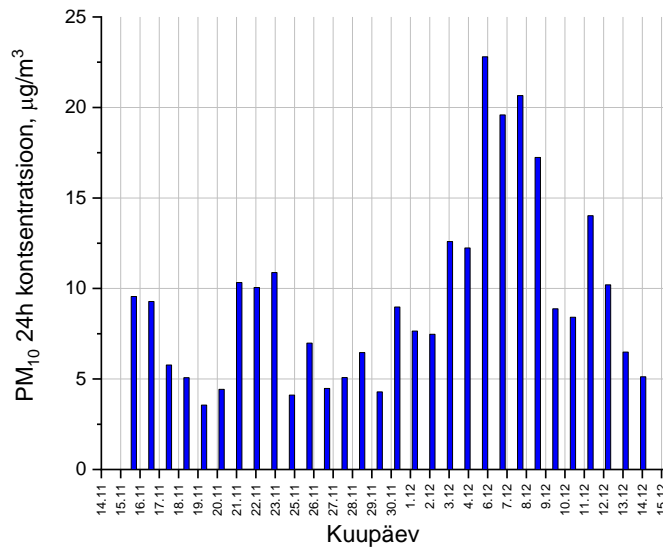
Joonis 16. PM<sub>10</sub> 1h kontsentraatsioon

PM<sub>10</sub> 24h kontsentraatsioone mõõdeti 30 päeva ning kõige kõrgem 24 h väärthus oli 28,72 µg/m<sup>3</sup> (07.12.2021).



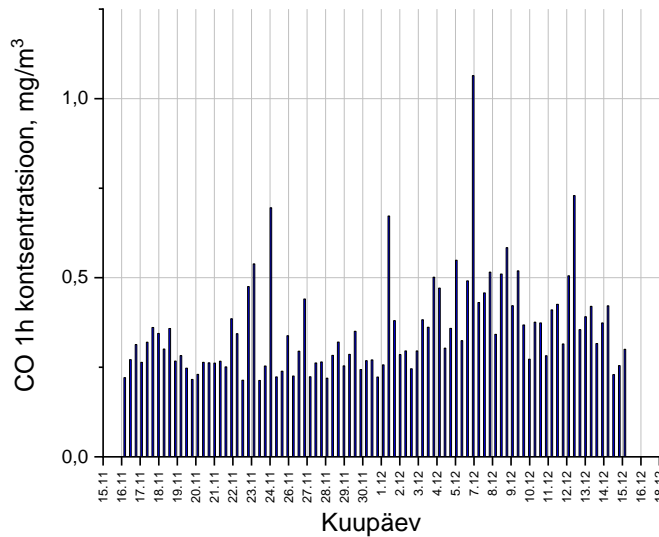
Joonis 17. PM<sub>10</sub> 24h kontsentratsioon

PM<sub>10</sub> 24h kontsentratsioone mõõdeti 30 päeva ning keskmiseks 24h kontsentratsiooniks oli 9,4 µg/m<sup>3</sup>. Kõige kõrgem 24h väärustus oli 20,7 µg/m<sup>3</sup> (08.12.2021).



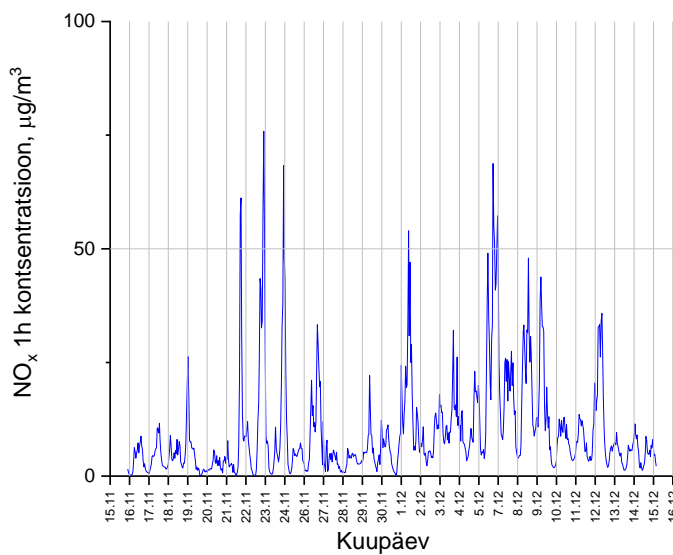
Joonis 18. PM<sub>10</sub> 24h kontsentratsioon gravimeetrilisel meetodil

CO mõõteperioodi keskmine kontsentratsioon oli 0,35 mg/m<sup>3</sup> ning maksimaalne 1h väärustus oli 1,75 mg/m<sup>3</sup> (06.12.2020 23:00) ning maksimaalne 8h keskmistatud kontsentratsioon oli 1,06 mg/m<sup>3</sup> (07.12.2021).



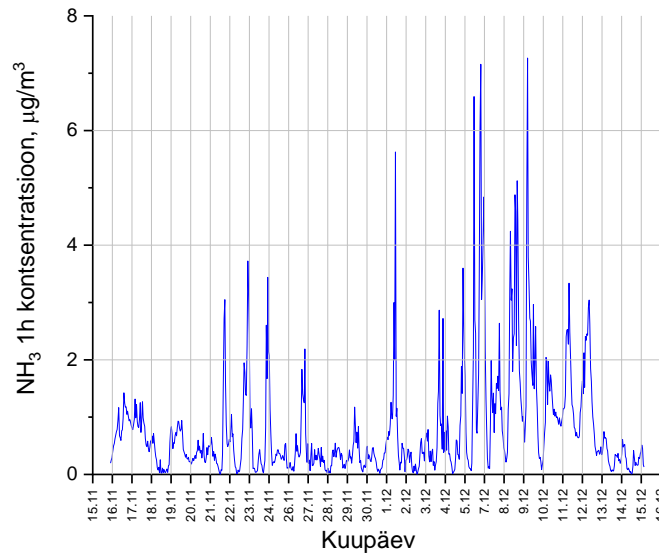
**Joonis 19. CO 8h keskmistatud kontsentratsioon**

Mõõteperioodi keskmine NOx kontsentratsioon oli  $9,9 \mu\text{g}/\text{m}^3$  ning maksimaalne väärus  $75,9 \mu\text{g}/\text{m}^3$ . (23.11.2021 17:00)



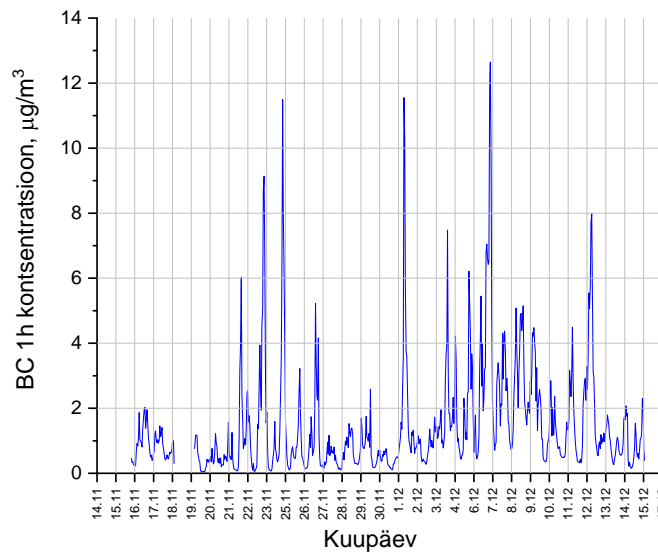
**Joonis 20. NOx kontsentratsioon**

Mõõteperioodi keskmine NH<sub>3</sub> kontsentratsioon oli  $0,80 \mu\text{g}/\text{m}^3$  ning maksimaalne väärus  $7,26 \mu\text{g}/\text{m}^3$  (09.12.2021 10:00).

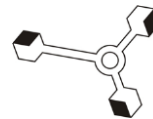


**Joonis 21. NH<sub>3</sub> kontsentratsioon**

Mõõteperioodi BC keskmise kontsentraatsiooni oli  $1,48 \mu\text{g}/\text{m}^3$  ning maksimaalne 1h kontsentraatsioon oli  $12,65 \mu\text{g}/\text{m}^3$  (06.12.2021 23:00)



**Joonis 22. BC kontsentratsioon**



### 2.3.4 Välisõhu mõõtetulemuste kokkuvõte

Mõõteperioodi keskmised ning maksimaalsed kontsentratsioonid on kokkuvõtvalt toodud ära Tabel 5.

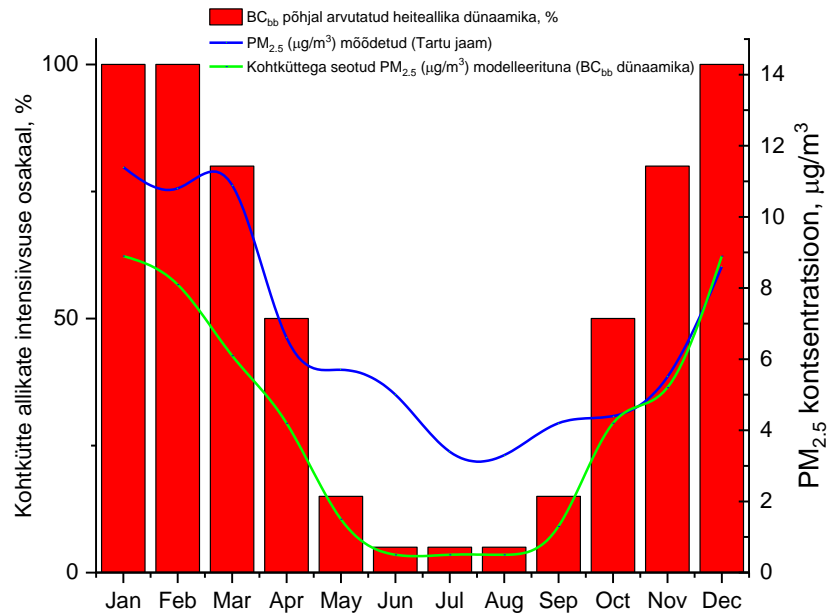
**Tabel 5. Välisõhu kvaliteedi mõõtekampaania tulemused**

Mõõtmise lähteandmed ja keskmised tulemused		Maksimaalsed saasteainete väärused mõõteperioodil	Piirväärtused/sihtväärtused
Asukoht	Valdeku 15		
Mõõtmiste kestvus	16.11.2021–15.12.2021 (1 kuu)		
Mõõdetud parameetrid	PM <sub>10</sub> , PM <sub>2,5</sub> , CO, NOx, NH <sub>3</sub> , BC, PAH		
PM <sub>2,5</sub>	7,8 µg/m <sup>3</sup>	54,2 µg/m <sup>3</sup> (1h)	1a - 25 µg/m <sup>3</sup>
PM <sub>10</sub>	13,7 µg/m <sup>3</sup>	77,1 µg/m <sup>3</sup> (1h) 20,7 µg/m <sup>3</sup> (24h)	1a – 40 µg/m <sup>3</sup> 24h – 50 µg/m <sup>3</sup>
CO	0,35 mg/m <sup>3</sup>	1,06 mg/m <sup>3</sup> (8h)	8h - 10 mg/m <sup>3</sup>
NO <sub>x</sub>	9,90 µg/m <sup>3</sup>	75,9 µg/m <sup>3</sup> (1h)	1a - 30 µg/m <sup>3</sup>
NH <sub>3</sub>	0,80 µg/m <sup>3</sup>	7,26 µg/m <sup>3</sup> (1h)	Kriitiline tase: 1h – 500 µg/m <sup>3</sup> 1a – 8 µg/m <sup>3</sup>
BC	1,48 µg/m <sup>3</sup>	12,65 µg/m <sup>3</sup> (1h)	-

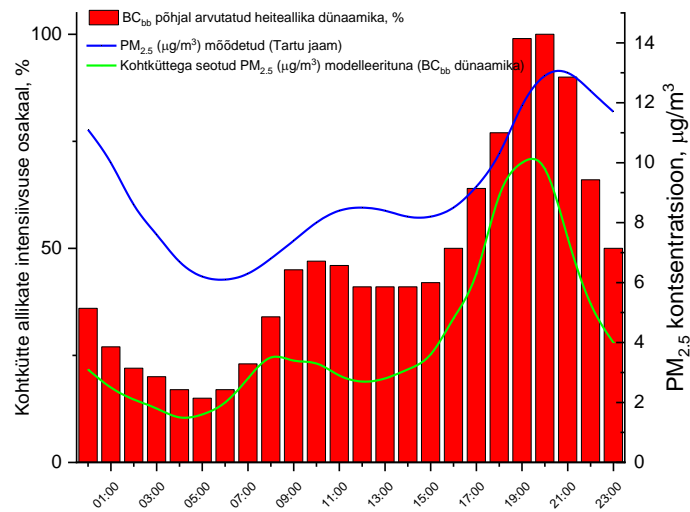
### 2.3.5 Mõõdetud eriheidete valideerimine välisõhu mõõtmiste ja modellerimise kaudu

Välisõhu mõõtetulemusi kasutati seejärel mõõdetud kohtkütte PM<sub>2,5</sub> eriheite valideerimisel ning eeldataks, et PM<sub>2,5</sub> eriheite kasutamine valideerimisel annab hinnangu ka teiste mõõdetud saasteainete eriheidete sobivuse kohta. Selle tarvis teostati mõõdetud piirkonnas PM<sub>2,5</sub> hajumisarvutused Airviro keskkonnas. kasutades selleks arendustöö raames leitud eriheiteid ning uuendatud kohtkütte andmebaasi. PM<sub>2,5</sub> välisõhu modelleerimised teostati kahe erineva PM<sub>2,5</sub> eriheitega, millest esimene (249,94 mg/MJ) pärineb varasematest (2013–2014) EKUKi ahjulabori ainult vanemat tüüpi ahju mõõtmistest ning teine eriheide (42,06 mg/MJ) on antud arendustööde raames mõõdetud kõikide ahjutüüpide kaalutud keskmine tulemus. Õhukvaliteedi modellerimisel kasutati Airviro keskkonnas asuvat Euleri võrgustikmuudlit modelleerimissammuga 50x50 m ning modelleerimisperioodiks võeti analoogne ajaaken välisõhu mõõtmistega. Modelleerimise taustakontsentratsioonina kasutati mõlemas arvutuses Õismäe seirejaama PM<sub>2,5</sub> mõõtetulemusi. Vanema eriheitega (249,94 mg/MJ) modelleeritud ajaperiodi keskmine tulemus on toodud Joonis 25. Analoogne modelleerimine teostati ka uuema (42,06 mg/MJ) eriheitega. Heiteallikate heite eraldumise

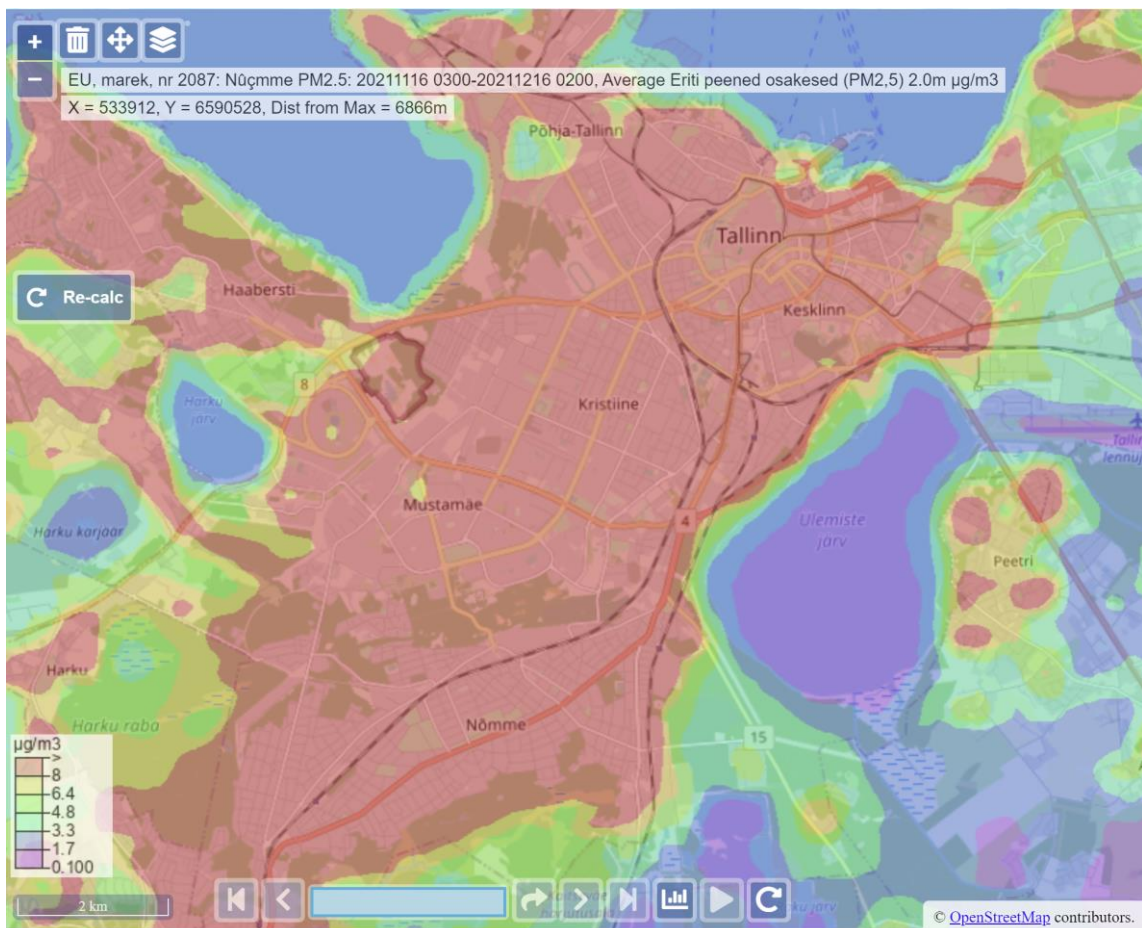
dünaamika (aasta ja ööpäeva lõikes) määratigi varasemate Tartu seirejaama  $BC_{bb}$  ja  $PM_{2.5}$  mõõtetulemuste põhjal (Joonis 23, Joonis 24)



Joonis 23 Kohtkütte sektori heite eraldumise ajaline dünaamika kuude lõikes



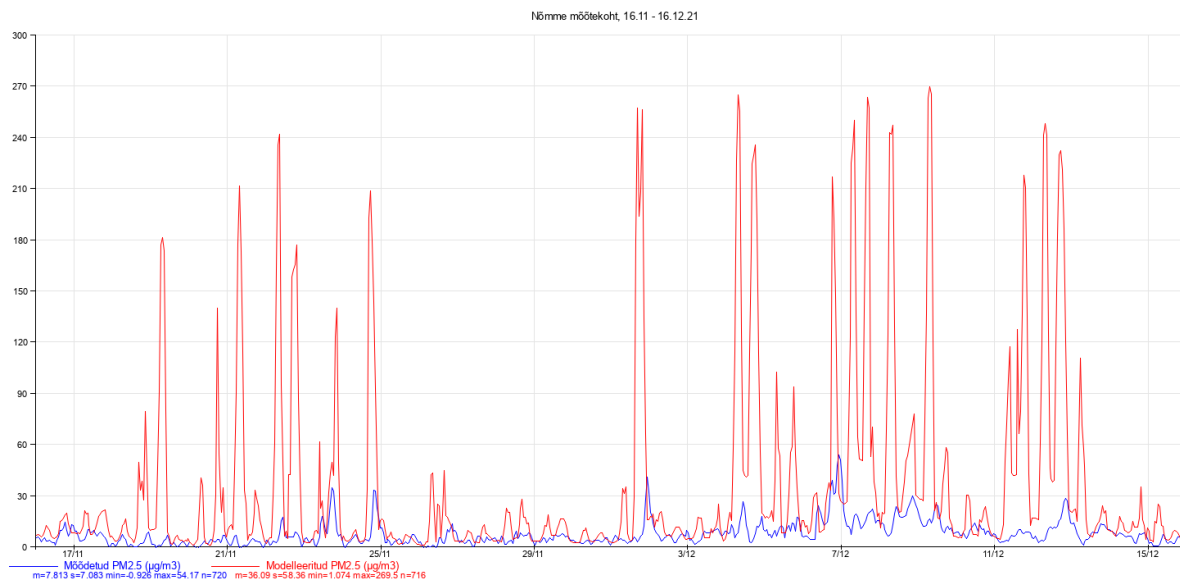
Joonis 24 Kohtkütte sektori heite eraldumise ajaline dünaamika ööpäeva lõikes



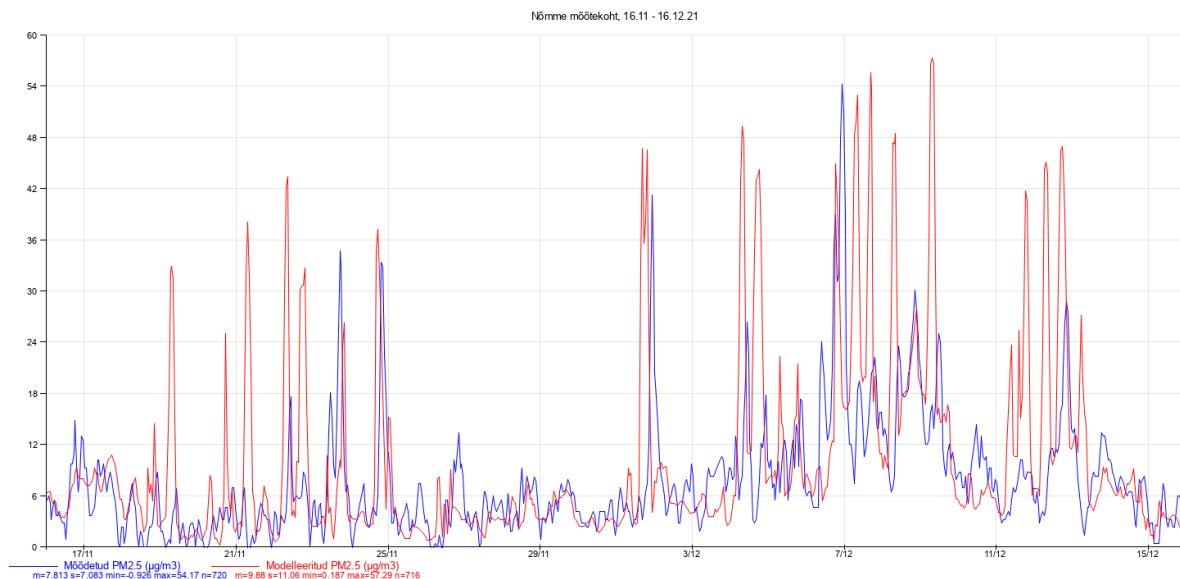
**Joonis 25 PM<sub>2.5</sub> keskmise modelleerimistulemus ( $\mu\text{g}/\text{m}^3$ ) mõõteperioodi (16.11.2021–15.12.2021) kohta**

Joonis 26 on toodud modelleeritud (punasega) ja mõõdetud (sinisega) PM<sub>2.5</sub> kontsentraatsioonid ( $\mu\text{g}/\text{m}^3$ ) ning jooniselt nähtub, et modelleeritud tulemused (keskmise 36,09  $\mu\text{g}/\text{m}^3$ ) on oluliselt kõrgemad kui mõõdetud (keskmise 7,81  $\mu\text{g}/\text{m}^3$ ) PM<sub>2.5</sub> kontsentraatsioonid, mille põhjal võib järeldada, et kohtkütte modelleerimisel kasutatud PM<sub>2.5</sub> vanem eriheide (249,94 mg/MJ) on ülehinnatud ning ei ole vähemalt antud piirkonnas esinduslik.

Joonis 27 on toodud PM<sub>2.5</sub> modelleerimistulemused, milles nähtub, et keskmiste kontsentraatsioonide kokkulangevus on hea – 7,81 (mõõdetud) vs 9,88 (modelleeritud)  $\mu\text{g}/\text{m}^3$ . Samuti on modelleeritud ja mõõdetud tulemuste vahel hea korrelatsioon ( $r=0,4$ ) ning peamine tulemuste lahknevus tuleneb kõrgemate piikide osas, kus modelleerimistulemus on enamasti ülehinnatud. Antud tulemust saaks parandada heite dünaamika (st kui intensiivne heide konkreetses ajalürikus tekib) täpsustamisega, mille tarvis saaks kasutada näiteks välisõhu temperatuuri ja BC<sub>bb</sub> andmeid, et selle kaudu täpsustada reaalset kütmisvajadust.



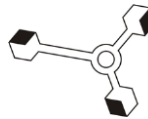
**Joonis 26 Mõõdetud ja modelleeritud (PM<sub>2.5</sub> EF = 249.94 mg/MJ) PM<sub>2.5</sub> tulemused,  $\mu\text{g}/\text{m}^3$**



**Joonis 27 Mõõdetud ja modelleeritud (PM<sub>2.5</sub> EF = 42,06 mg/MJ) PM<sub>2.5</sub> tulemused,  $\mu\text{g}/\text{m}^3$**

#### Edasised tegevused 2023 a. :

- 2023 a. korratakse vajadusel koduahjude katseid tuuletunneliga, et täpsustada lahjendusteguri mõju saadud eriheidetele;
- Mõõtmistulemuste põhjal arvutatakse riigispetsiifilised eriheitid CH<sub>4</sub>, N<sub>2</sub>O, NH<sub>3</sub>, PM<sub>2.5</sub>, PM<sub>10</sub>, PM<sub>sum</sub> ja BC osas. Lisaks antakse reaalsete mõõtmistulemuste põhjal hinnang kondenseeruvate peenosakeste osakaalu ja eriheidete kohta.

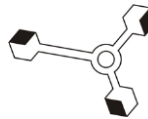


### 2.3.6 Eriheidete arvutused

Alljärgnevates tabelites on toodud mõõtetulemuste põhjal leitud eriheitetegurid kütuste ja ahjutüüpide kaupa.

**Tabel 6 Hakkepuidu katelde eriheeted**

Ettevõte	Katla nimi	Võimsus, MW	Puhastusseade	O <sub>2</sub> , %	CO <sub>2</sub> , %	H <sub>2</sub> O, %	q <sub>NOx</sub> , g/GJ	q <sub>CO</sub> , g/GJ	q <sub>SO2</sub> , g/GJ	q <sub>CH4</sub> , g/GJ	q <sub>N2O</sub> , g/GJ	q <sub>NH3</sub> , g/GJ	q <sub>PMsum</sub> , g/GJ	q <sub>PM10</sub> , g/GJ	q <sub>PM2,5</sub> , g/GJ	q <sub>b,c</sub> , mg/GJ
AS Viru-Nigula Saeveski	K-1 Justsen	1.7	Multitsüklon	10.58	9.41	13.71	114.11	140.36	5.02	0.00	0.21	0.22	54.06	38.54	23.13	1541.09
AS Viru-Nigula Saeveski	K-2 Lin-Ka	2.5	Multitsüklon	12.71	7.48	11.82	67.56	139.60	8.24	1.11	0.27	0.10	107.18	72.66	41.84	1842.75
Utilitas Eesti AS, Keila katlamaja	Veekatel Danstoker	8.24	Multitsüklon + pesur	4.85	13.69	10.64	107.22	10.97	3.10	0.00	0.13	0.14				
Utilitas Eesti AS, Haapsalu katlamaja	Vertikaalne leek-suitsutorukatel (VP 14.06)	8.24	Multitsüklon + pesur	3.44	11.05	7.62	122.97	8706.15	20.24	225.00	1.79	9.98	84.34	76.17	71.10	0.00
Mo-Puit Jõgeva As	Veekatel AK1000S	1	Multitsüklon	15.48	4.24	4.76	86.71	1041.58	2.93	9.49	0.38	1.11	298.44	131.50	93.52	18589.64
Toftan AS	Puidukatel eelkoldega, Katel 1	8	Multitsüklon	5.22	13.15	21.86	120.18	2.05	5.25	0.00	0.15	0.06	78.94	60.98	48.82	536.49
Toftan AS	Puidukatel eelkoldega, Katel 2	5	Multitsüklon	7.05	11.24	17.75	72.22	383.30	4.22	4.42	0.37	0.40	49.77	44.43	34.77	6677.30
UPM-Kymmene Otepää OÜ	Kihtkoldega katel	10	Multitsüklon	10.76	8.86	9.34	123.53	115.70	0.30	0.00	0.21	0.36	597.98	358.52	275.86	13289.82
SW Energia OÜ	Justsen Argus Flex 25 Ceramic 4,0	4	Pesur	8.62	10.86	4.99	146.88	149.52	0.26		0.66	0.16	3.02			
Tamsalu Kalor AS	Biokatel BIO-2,5	2.5	Multitsüklon ja suitsugaaside pesur	7.27	10.72	10.41	151.15	269.74	0.25	10.35	0.17	0.07	30.53	15.27	15.13	
Enefit Green AS Paide Elektrijaam	Koostootmisjaam, HA-40	8	ESP filter	5.03	13.67	21.68	102.79	24.93	7.77	0.00	0.15	0.64	53.03	29.64	10.79	
Adven Eesti AS, Viruvere	Aurukatel, K-1	17.65	Multitsüklon, elektrifilter	12.71	6.60	11.08	133.61	21.15	5.45	0.01	0.26	0.10	48.93	27.22	21.87	



## Eesti Keskkonnauuringute Keskus OÜ

Ettevõte	Katla nimi	Võimsus, MW	Puhastusseade	O <sub>2</sub> , %	CO <sub>2</sub> , %	H <sub>2</sub> O, %	q <sub>NOx</sub> , g/GJ	q <sub>CO</sub> , g/GJ	q <sub>SO2</sub> , g/GJ	q <sub>CH4</sub> , g/GJ	q <sub>N2O</sub> , g/GJ	q <sub>NH3</sub> , g/GJ	q <sub>PMsum</sub> , g/GJ	q <sub>PM10</sub> , g/GJ	q <sub>PM2,5</sub> , g/GJ	q <sub>b,c</sub> , mg/GJ
AS Utilitas Eesti, Jõgeva katlamaja	Biokütuse katel Danstoker VHS 25-900	7.06	Multitsüklon, elektrifilter ja suitsugaaside pesur	4.76	12.28	8.72	78.85	1228.10	5.95	23.48	0.52	0.89	2.28	1.09	1.06	
Adven Eesti AS, Viljandi Ekseko seafarm	biokatel	2.5	Multitsüklon	8.68	10.09	17.98	117.24	606.63	5.78	9.58	0.19	4.52	119.50	103.14	88.45	
JELD-WEN EESTI AS	LAKA, PS4000	4	Multitsüklon	12.81	6.75	6.27	92.10	632.23	0.74	1.16	0.51	0.42	239.25	183.01	138.53	
Adven Eesti AS, Viru-Nigula	Veekatel, nr 2	1.23	Tsüklon	11.43	7.93	8.02	56.12	644.07	6.53	1.24	0.23	1.20	104.03	58.51	35.21	
AS Tootsi Turvas, Mooste	Hakkepuidu katel	0	Tsüklon	9.53	9.88	14.29	173.02	74.28	11.66	0.29	0.19	0.38	52.83	40.83	33.74	
Enefit Green AS Paide Elektrijaam	Katel Wärtsilä Biograte	8	Multitsüklon	7.92	10.97	8.88	153.78	0.88	2.10	0.00	0.19	0.16	56.69	50.44	40.60	
AS Anne Soojus, Aardla	Katel K2, veekatel Danstoker	8.2	Suitsugaaside pesur ja multitsüklon	8.64	10.64	10.13	125.51	52.74	1.22	0.00	0.18	0.32	28.33	28.91	26.81	
OÜ Utilitas Tallinna Elektrijaam OÜ	Restkoldega katel	29	ESP filter	4.39	13.99	12.10	77.30	3.86	2.90	0.00	0.13	0.11	0.16	0.22	0.21	
<b>Keskmine</b>				<b>8.59</b>	<b>10.17</b>	<b>11.60</b>	<b>111.14</b>	<b>712.39</b>	<b>5.00</b>	<b>15.06</b>	<b>0.35</b>	<b>1.07</b>	<b>105.75</b>	<b>73.39</b>	<b>55.64</b>	<b>6068.16</b>
<b>Mediaan</b>				<b>8.63</b>	<b>10.68</b>	<b>10.52</b>	<b>115.68</b>	<b>139.98</b>	<b>4.62</b>	<b>0.29</b>	<b>0.21</b>	<b>0.34</b>	<b>54.06</b>	<b>47.43</b>	<b>34.99</b>	<b>1842.75</b>
<b>Standardhälve</b>				<b>3.39</b>	<b>2.62</b>	<b>4.98</b>	<b>31.90</b>	<b>1915.68</b>	<b>4.70</b>	<b>51.20</b>	<b>0.37</b>	<b>2.32</b>	<b>141.36</b>	<b>84.57</b>	<b>65.37</b>	<b>7246.62</b>

**Tabel 7 Põlevkiviõli katelde eriheited**

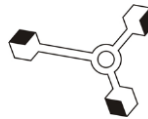
Ettevõte	Katla nimi	Võimsus, MW	Puhastusseade	O <sub>2</sub> , %	CO <sub>2</sub> , %	H <sub>2</sub> O, %	q <sub>NOx</sub> , g/GJ	q <sub>CO</sub> , g/GJ	q <sub>SO2</sub> , g/GJ	q <sub>CH4</sub> , g/GJ	q <sub>N2O</sub> , g/GJ	q <sub>NH3</sub> , g/GJ	q <sub>PMsum</sub> , g/GJ	q <sub>PM10</sub> , g/GJ	q <sub>PM2,5</sub> , g/GJ	q <sub>b,c</sub> , mg/GJ
Utilitas Eesti AS, Keila katlamaja	Vitomax 200	10	Puudub	11.12	7.53	5.81	166.16	0.52	576.04	0.0040	0.212	0.505	32.66	13.80	12.07	97.52
Utilitas Eesti AS, Haapsalu katlamaja	Vapor	5.68	Puudub	11.12	7.53	5.81	166.16	0.516	400.28	0.0040	0.212	0.505	10.76	4.17	2.79	666.82



Ettevõte	Katla nimi	Võimsus, MW	Puhastus-seade	O <sub>2</sub> , %	CO <sub>2</sub> , %	H <sub>2</sub> O, %	q <sub>NOx</sub> , g/GJ	q <sub>CO</sub> , g/GJ	q <sub>SO2</sub> , g/GJ	q <sub>CH4</sub> , g/GJ	q <sub>N2O</sub> , g/GJ	q <sub>NH3</sub> , g/GJ	q <sub>PMsum</sub> , g/GJ	q <sub>PM10</sub> , g/GJ	q <sub>PM2,5</sub> , g/GJ	q <sub>b,c</sub> , mg/GJ
Utilitas Eesti AS, Haapsalu katlamaja	Vapor	10	Puudub	8.92	8.96	6.79	141.52	1.47	396.23	0.0033	0.173	0.0669	3.60	2.95	2.28	44.97
Valio Eesti AS, Laeva meierei	Kerge kütteölikatel, põletiga (TTK-70)	1.9	puudub	4.00	12.01	9.50	157.80	0.0781	408.96	0.00242	0.123	0.167	2.96	3.41	2.60	21.51
Valio Eesti AS, Laeva meierei	Kerge kütteölikatel, põletiga (Bosch)	2.1	Puudub	4.00	11.83	9.51	160.84	0.597	417.83	0.00242	0.123	0.0475	4.22	2.32	1.74	3.19
<b>Keskmine</b>				<b>7.83</b>	<b>9.57</b>	<b>7.48</b>	<b>158.50</b>	<b>0.64</b>	<b>439.87</b>	<b>0.00</b>	<b>0.17</b>	<b>0.26</b>	<b>10.84</b>	<b>5.33</b>	<b>4.30</b>	<b>166.80</b>
<b>Mediaan</b>				<b>8.92</b>	<b>8.96</b>	<b>6.79</b>	<b>160.84</b>	<b>0.52</b>	<b>408.96</b>	<b>0.00</b>	<b>0.17</b>	<b>0.17</b>	<b>4.22</b>	<b>3.41</b>	<b>2.60</b>	<b>44.97</b>
<b>Standardhälve</b>				<b>3.61</b>	<b>2.22</b>	<b>1.89</b>	<b>10.15</b>	<b>0.51</b>	<b>76.58</b>	<b>0.00</b>	<b>0.04</b>	<b>0.23</b>	<b>12.59</b>	<b>4.79</b>	<b>4.36</b>	<b>281.75</b>

**Tabel 8 Maagaasi katelde eriheitused**

Ettevõte	Katla nimi	Võimsus, MW	Puhastus-seade	O <sub>2</sub> , %	CO <sub>2</sub> , %	H <sub>2</sub> O, %	q <sub>NOx</sub> , g/GJ	q <sub>CO</sub> , g/GJ	q <sub>SO2</sub> , g/GJ	q <sub>CH4</sub> , g/GJ	q <sub>N2O</sub> , g/GJ	q <sub>NH3</sub> , g/GJ	q <sub>PMsum</sub> , g/GJ	q <sub>PM10</sub> , g/GJ	q <sub>PM2,5</sub> , g/GJ	q <sub>b,c</sub> , mg/GJ
Elering AS, Kiili GRJ	Vitoplex 200 Katel A	1.1	Puudub	5.10	7.89	14.95	35.99	0.08	0.52	0.0027	0.13	0.17	0.017	0.067	0.050	0.27
Elering AS, Kiili GRJ	Vitoplex 200 Katel B	1.1	puudub	3.77	8.04	13.54	31.95	0.08	0.18	0.0025	0.12	0.084	0.015	0.062	0.046	0.12
AS Anne Soojus, Ropka	Katel K1, Noviter WTW40	39,36	Puudub	2.36	8.83	16.05	27.98	0.07	2.61	0.0024	0.11	0.51	-	-	-	-
AS Anne Soojus, Ropka	Katel K2, Noviter WTW40	39,36	Puudub	2.55	8.82	15.96	30.63	0.07	2.59	0.0024	0.11	0.24	-	-	-	-
Adven Eesti AS, Viljandi Ekseko seafarm	Katel, Vitplex 200, SA-20	1.7	Puudub	3.51	8.16	15.67	37.95	0.08	1.83	0.072	0.12	0.56	-	-	-	-
AS Anne Soojus	Gaasikatel, Bosch UT-M 60	16	suitsugaaside retsirkulatsioon	3.54	8.28	15.77	27.35	0.08	1.95	0.0025	0.12	0.27	-	-	-	-
AS Anne Soojus	Gaasikatel, Bosch UT-M 60	16	suitsugaaside retsirkulatsioon	5.35	7.61	14.34	23.72	0.08	1.94	0.0028	0.13	0.25	-	-	-	-
<b>Keskmine</b>				<b>3.74</b>	<b>8.23</b>	<b>15.18</b>	<b>30.80</b>	<b>0.08</b>	<b>1.66</b>	<b>0.01</b>	<b>0.12</b>	<b>0.30</b>	<b>0.02</b>	<b>0.06</b>	<b>0.05</b>	<b>0.20</b>
<b>Mediaan</b>				<b>3.54</b>	<b>8.16</b>	<b>15.67</b>	<b>30.63</b>	<b>0.08</b>	<b>1.94</b>	<b>0.00</b>	<b>0.12</b>	<b>0.25</b>	<b>0.02</b>	<b>0.06</b>	<b>0.05</b>	<b>0.20</b>
<b>Standardhälve</b>				<b>1.14</b>	<b>0.46</b>	<b>0.95</b>	<b>4.99</b>	<b>0.01</b>	<b>0.95</b>	<b>0.03</b>	<b>0.01</b>	<b>0.17</b>	<b>0.00</b>	<b>0.00</b>	<b>0.00</b>	<b>0.11</b>

**Tabel 9 Jäätmepõletuskatla eriheited**

Ettevõte	Katla nimi	Võimsus, MW	Puhastus-seade	O <sub>2</sub> , %	CO <sub>2</sub> , %	H <sub>2</sub> O, %	q <sub>NOx</sub> , g/GJ	q <sub>CO</sub> , g/GJ	q <sub>SO2</sub> , g/GJ	q <sub>CH4</sub> , g/GJ	q <sub>N2O</sub> , g/GJ	q <sub>NH3</sub> , g/GJ	q <sub>PMsum</sub> , g/GJ	q <sub>PM10</sub> , g/GJ	q <sub>PM2,5</sub> , g/GJ	q <sub>b,c</sub> , mg/GJ
AS Enefit Green Iru elektrijaam	Jäätmepõletusplokk	80	Aktiivsüsi, lubjapiim, kustutatud lubi, kottfiltrid	8.61	9.72	19.80	162.34	1.54	6.45	0.00390	0.18	0.150	0.152	0.196	0.120	0.615

**Tabel 10 Turbakatelde eriheitete**

Ettevõte	Katla nimi	Võimsus, MW	Puhastus-seade	O <sub>2</sub> , %	CO <sub>2</sub> , %	H <sub>2</sub> O, %	q <sub>NOx</sub> , g/GJ	q <sub>CO</sub> , g/GJ	q <sub>SO2</sub> , g/GJ	q <sub>CH4</sub> , g/GJ	q <sub>N2O</sub> , g/GJ	q <sub>NH3</sub> , g/GJ	q <sub>PMsum</sub> , g/GJ	q <sub>PM10</sub> , g/GJ	q <sub>PM2,5</sub> , g/GJ	q <sub>b,c</sub> , mg/GJ
Anne Soojus AS	Anne katlamaja veekatel WA02	20.9	Elektrifilter ja pesur	9.13	10.14	9.75	206.19	80.32	88.66	1.72	2.45	0.17	1.57	0.82	0.67	7.21
AS Tootsi Turvas	Turba restkoldega katel ,JU-MMV-15	1.667	Tsüklon	10.04	8.61	11.11	233.13	610.46	319.51	11.05	15.09	4.04	846.64	504.99	160.27	
AS Anne Soojus	Katel W01, Veekatel, KB-M-35-150M/TF03	20.9	Elektrifilter ja suitsugaaside pesur	10.74	8.94	15.56	150.71	38.08	7.86	0.00	0.22	2.54	121.53	44.38	22.72	
AS Anne Soojus	Katel W02, Veekatel, KB-M-35-150M/TF03	20.9	Elektrifilter ja suitsugaaside pesur	11.14	7.96	13.79	161.79	364.58	65.78	17.35	2.75	5.11	49.14	8.82	4.36	
AS Anne Soojus	Katel W01 ja katel W02 peale pesurit	41.8	Elektrifilter ja suitsugaaside pesur	9.44	9.79	11.35	111.22	138.68	4.03	1.30	0.19	1.25	10.77	5.78	3.48	
<b>Keskmine</b>				<b>10.10</b>	<b>9.09</b>	<b>12.31</b>	<b>172.61</b>	<b>246.42</b>	<b>97.17</b>	<b>6.29</b>	<b>4.14</b>	<b>2.62</b>	<b>205.93</b>	<b>112.96</b>	<b>38.30</b>	<b>7.21</b>
<b>Mediaan</b>				<b>10.04</b>	<b>8.94</b>	<b>11.35</b>	<b>161.79</b>	<b>138.68</b>	<b>65.78</b>	<b>1.72</b>	<b>2.45</b>	<b>2.54</b>	<b>49.14</b>	<b>8.82</b>	<b>4.36</b>	<b>7.21</b>
<b>Standardhälve</b>				<b>0.85</b>	<b>0.88</b>	<b>2.33</b>	<b>47.84</b>	<b>239.31</b>	<b>129.56</b>	<b>7.59</b>	<b>6.24</b>	<b>2.01</b>	<b>361.27</b>	<b>219.83</b>	<b>68.74</b>	

**Tabel 11 Pelletikatelde eriheitete**

Ettevõte	Katla nimi	Võimsus, MW	Puhastus-seade	O <sub>2</sub> , %	CO <sub>2</sub> , %	H <sub>2</sub> O, %	q <sub>NOx</sub> , g/GJ	q <sub>CO</sub> , g/GJ	q <sub>SO2</sub> , g/GJ	q <sub>CH4</sub> , g/GJ	q <sub>N2O</sub> , g/GJ	q <sub>NH3</sub> , g/GJ	q <sub>PMsum</sub> , g/GJ	q <sub>PM10</sub> , g/GJ	q <sub>PM2,5</sub> , g/GJ	q <sub>b,c</sub> , mg/GJ
Adven Eesti AS, Kose katlamaja	Pelletikatel K1	1.5	Multitsüklon	12.61	7.59	6.76	103.96	81.53	0.364	0.0048	0.250	0.272	77.78	48.21	40.65	478.662
Adven Eesti AS, Kose katlamaja	Pelletikatel K2	1.5	Multitsüklon	12.28	7.84	7.04	108.80	25.72	0.350	0.0046	0.240	0.207	50.67	39.83	37.56	161.481
Adven Eesti AS, Kose-Uuemõisa	Veekatel, K1	1.111	Tsüklon	14.77	4.96	4.86	88.5	673.5	4.75	0.45	0.34	1.07	45.42	46.20	44.00	
Adven Eesti AS, Kose-Uuemõisa	Veekatel, K2	1.111	Tsüklon	14.83	4.90	4.81	88.3	738.8	5.03	0.30	0.34	0.90	83.43	56.88	47.50	
<b>Keskmine</b>				<b>13.62</b>	<b>6.32</b>	<b>5.87</b>	<b>97.37</b>	<b>379.88</b>	<b>2.62</b>	<b>0.19</b>	<b>0.29</b>	<b>0.61</b>	<b>64.33</b>	<b>47.78</b>	<b>42.43</b>	<b>320.07</b>
<b>Mediaan</b>				<b>13.69</b>	<b>6.27</b>	<b>5.81</b>	<b>96.21</b>	<b>377.50</b>	<b>2.56</b>	<b>0.15</b>	<b>0.29</b>	<b>0.59</b>	<b>64.22</b>	<b>47.21</b>	<b>42.33</b>	<b>320.07</b>



Ettevõte	Katla nimi	Võimsus, MW	Puhastus-seade	O <sub>2</sub> , %	CO <sub>2</sub> , %	H <sub>2</sub> O, %	q <sub>NOx</sub> , g/GJ	q <sub>CO</sub> , g/GJ	q <sub>SO2</sub> , g/GJ	q <sub>CH4</sub> , g/GJ	q <sub>N2O</sub> , g/GJ	q <sub>NH3</sub> , g/GJ	q <sub>PMsum</sub> , g/GJ	q <sub>PM10</sub> , g/GJ	q <sub>PM2,5</sub> , g/GJ	q <sub>b,c</sub> , mg/GJ
	Standardhälve			1.37	1.61	1.20	10.58	378.36	2.62	0.22	0.05	0.44	19.06	7.04	4.28	224.28

**Tabel 12 Maagaasil töötava asfalditehase eriheited**

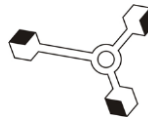
Ettevõte	Katla nimi	Võimsus, MW	Puhastus-seade	O <sub>2</sub> , %	CO <sub>2</sub> , %	H <sub>2</sub> O, %	q <sub>NOx</sub> , g/GJ	q <sub>CO</sub> , g/GJ	q <sub>SO2</sub> , g/GJ	q <sub>CH4</sub> , g/GJ	q <sub>N2O</sub> , g/GJ	q <sub>NH3</sub> , g/GJ	q <sub>PMsum</sub> , g/GJ	q <sub>PM10</sub> , g/GJ	q <sub>PM2,5</sub> , g/GJ	q <sub>b,c</sub> , mg/GJ
Tariston AS, Harku ABT	Kuivatustrummel	18.4	Kottfilter	15.02	2.12	14.67	59.95	503.13	10.17	14.98	0.90	0.77	122.81	43.49	19.48	1047.63

**Tabel 13 Põlevkiviõlil töötava asfalditehase eriheited**

Ettevõte	Katla nimi	Võimsus, MW	Puhastus-seade	O <sub>2</sub> , %	CO <sub>2</sub> , %	H <sub>2</sub> O, %	q <sub>NOx</sub> , g/GJ	q <sub>CO</sub> , g/GJ	q <sub>SO2</sub> , g/GJ	q <sub>CH4</sub> , g/GJ	q <sub>N2O</sub> , g/GJ	q <sub>NH3</sub> , g/GJ	q <sub>PMsum</sub> , g/GJ	q <sub>PM10</sub> , g/GJ	q <sub>PM2,5</sub> , g/GJ	q <sub>b,c</sub> , mg/GJ
Tariston AS, Raadi ABT	Kuivatustrummel	15	Kottfilter	16.24	1.46	11.57	150.64	1903.61	154.81	9.86	3.11	0.172	2103.81	1037.31	536.53	47763.44

**Tabel 14 Ahja moodulahju eriheited**

Kuupäev	Ahja tüüp	Kütus	O <sub>2</sub> , %	CO <sub>2</sub> , %	H <sub>2</sub> O, %	q <sub>NOx</sub> , g/GJ	q <sub>CO</sub> , g/GJ	q <sub>SO2</sub> , g/GJ	q <sub>CH4</sub> , g/GJ	q <sub>N2O</sub> , g/GJ	q <sub>NH3</sub> , g/GJ	q <sub>PMsum</sub> , g/GJ	q <sub>PM10</sub> , g/GJ	q <sub>PM2,5</sub> , g/GJ	q <sub>b,c</sub> , mg/GJ
16.07.2021	Ahja moodulahi	Halupuit	17.20	3.17	4.99	139.63	2198.52	1.96	6.62	1.74	6.99	60.95	30.61	29.81	
20.07.2021	Ahja moodulahi	Halupuit	17.27	2.98	4.74	135.00	1625.63	0.85	8.78	1.90	5.59	44.51	35.83	34.97	
21.07.2021	Ahja moodulahi	Halupuit	17.21	3.15	4.76	139.66	1727.01	2.08	5.49	1.47	6.09	41.80	21.02	20.25	
23.07.2021	Ahja moodulahi	Halupuit	17.66	2.68	4.18	138.50	1910.77	0.95	14.92	2.38	6.14	30.81	25.36	24.69	
3.08.2021	Ahja moodulahi	Halupuit	17.94	2.70	4.57	129.49	2138.93	7.55	19.66	2.11	7.20	99.09	78.35	75.82	
4.08.2021	Ahja moodulahi	Halupuit	18.76	2.14	3.50	147.52	2583.57	8.82	12.96	2.37	9.25	88.89	88.17	86.84	
<b>Keskmine</b>			<b>17.67</b>	<b>2.80</b>	<b>4.46</b>	<b>138.30</b>	<b>2030.74</b>	<b>3.70</b>	<b>11.41</b>	<b>2.00</b>	<b>6.88</b>	<b>61.01</b>	<b>46.56</b>	<b>45.40</b>	
<b>Mediaan</b>			<b>17.46</b>	<b>2.84</b>	<b>4.66</b>	<b>139.06</b>	<b>2024.85</b>	<b>2.02</b>	<b>10.87</b>	<b>2.01</b>	<b>6.57</b>	<b>52.73</b>	<b>33.22</b>	<b>32.39</b>	



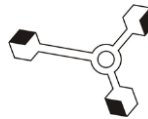
Standardhälve	0.61	0.39	0.54	5.95	351.07	3.53	5.44	0.36	1.31	27.50	29.03	28.48	
---------------	------	------	------	------	--------	------	------	------	------	-------	-------	-------	--

**Tabel 15 Pilukoldega ahju eriheited**

Kuupäev	Ahju tüüp	Kütus	O <sub>2</sub> , %	CO <sub>2</sub> , %	H <sub>2</sub> O, %	q <sub>NOx</sub> , g/GJ	q <sub>CO</sub> , g/GJ	q <sub>SO2</sub> , g/GJ	q <sub>CH4</sub> , g/GJ	q <sub>N2O</sub> , g/GJ	q <sub>NH3</sub> , g/GJ	q <sub>PMsum</sub> , g/GJ	q <sub>PM10</sub> , g/GJ	q <sub>PM2.5</sub> , g/GJ	q <sub>b,c</sub> , mg/GJ
23.08.2021	Pilukoldega ahi	Halupuit	18.19	2.57	4.09	154.28	2231.39	5.49	36.25	2.74	6.07	39.23	19.53	19.15	
20.09.2021	Pilukoldega ahi	Halupuit	16.87	4.33	4.63	127.39	1769.70	0.76	10.18	1.26	4.36	-	28.93	27.87	
1.10.2021	Pilukoldega ahi	Halupuit	17.98	3.32	3.86	150.04	2167.13	1.05	14.13	0.35	5.28	35.04	17.66	17.14	
4.10.2021	Pilukoldega ahi	Halupuit	18.06	3.14	3.66	138.37	1926.07	1.08	16.63	0.55	5.03	63.06	49.29	47.81	
5.10.2021	Pilukoldega ahi	Halupuit	17.56	3.58	4.01	148.86	1997.92	0.92	25.73	0.83	4.76	59.40	39.34	38.12	
6.10.2021	Pilukoldega ahi	Halupuit	17.64	3.64	3.91	134.71	1802.04	0.94	11.80	1.30	4.14	52.22	26.41	25.41	
<b>Keskmine</b>			<b>17.72</b>	<b>3.43</b>	<b>4.03</b>	<b>142.27</b>	<b>1982.37</b>	<b>1.71</b>	<b>19.12</b>	<b>1.17</b>	<b>4.94</b>	<b>49.79</b>	<b>30.19</b>	<b>29.25</b>	
<b>Mediaan</b>			<b>17.81</b>	<b>3.45</b>	<b>3.96</b>	<b>143.61</b>	<b>1961.99</b>	<b>1.00</b>	<b>15.38</b>	<b>1.05</b>	<b>4.90</b>	<b>52.22</b>	<b>27.67</b>	<b>26.64</b>	
<b>Standardhälve</b>			<b>0.48</b>	<b>0.59</b>	<b>0.33</b>	<b>10.41</b>	<b>188.31</b>	<b>1.86</b>	<b>10.02</b>	<b>0.86</b>	<b>0.70</b>	<b>12.28</b>	<b>12.13</b>	<b>11.73</b>	

**Tabel 16 Restkoldega ahju eriheited**

Kuupäev	Ahju tüüp	Kütus	O <sub>2</sub> , %	CO <sub>2</sub> , %	H <sub>2</sub> O, %	q <sub>NOx</sub> , g/GJ	q <sub>CO</sub> , g/GJ	q <sub>SO2</sub> , g/GJ	q <sub>CH4</sub> , g/GJ	q <sub>N2O</sub> , g/GJ	q <sub>NH3</sub> , g/GJ	q <sub>PMsum</sub> , g/GJ	q <sub>PM10</sub> , g/GJ	q <sub>PM2.5</sub> , g/GJ	q <sub>b,c</sub> , mg/GJ
10.12.2021	Restkoldega ahi	Halupuit	13.21	6.25	6.32	107.75	2525.92	0.40	25.03	1.96	4.93	61.91	55.30	53.92	
13.12.2021	Restkoldega ahi	Halupuit	13.39	6.32	5.67	113.79	2584.47	0.41	31.45	1.65	3.70	51.77	26.05	25.51	
16.12.2021	Restkoldega ahi	Halupuit	13.50	6.05	5.90	108.95	2331.75	0.42	16.95	2.17	3.03	80.11	40.22	39.52	
17.12.2021	Restkoldega ahi	Halupuit	14.41	5.58	5.46	119.95	1939.84	0.47	5.67	2.21	3.10	52.67	26.42	25.96	
20.12.2021	Restkoldega ahi	Halupuit	12.82	6.55	5.81	108.75	2597.00	0.38	23.29	2.82	2.63	132.37	66.93	64.50	
21.12.2021	Restkoldega ahi	Halupuit	11.97	6.54	5.48	121.16	3997.80	0.71	105.99	1.75	3.30	136.89	125.11	121.54	
<b>Keskmine</b>			<b>13.22</b>	<b>6.22</b>	<b>5.77</b>	<b>113.39</b>	<b>2662.80</b>	<b>0.47</b>	<b>34.73</b>	<b>2.09</b>	<b>3.45</b>	<b>85.95</b>	<b>56.67</b>	<b>55.16</b>	



Kuupäev	Ahju tüüp	Kütus	O <sub>2</sub> , %	CO <sub>2</sub> , %	H <sub>2</sub> O, %	q <sub>NOx</sub> , g/GJ	q <sub>CO</sub> , g/GJ	q <sub>SO2</sub> , g/GJ	q <sub>CH4</sub> , g/GJ	q <sub>N2O</sub> , g/GJ	q <sub>NH3</sub> , g/GJ	q <sub>PMsum</sub> , g/GJ	q <sub>PM10</sub> , g/GJ	q <sub>PM2.5</sub> , g/GJ	q <sub>b,c</sub> , mg/GJ
	Mediaan		13.30	6.29	5.74	111.37	2555.19	0.41	24.16	2.06	3.20	71.01	47.76	46.72	
	Standardhälve		0.81	0.36	0.32	5.94	699.10	0.12	35.99	0.42	0.81	39.09	37.19	35.98	

**Tabel 17 Umbkoldega ahju eriheited**

Kuupäev	Ahju tüüp	Kütus	O <sub>2</sub> , %	CO <sub>2</sub> , %	H <sub>2</sub> O, %	q <sub>NOx</sub> , g/GJ	q <sub>CO</sub> , g/GJ	q <sub>SO2</sub> , g/GJ	q <sub>CH4</sub> , g/GJ	q <sub>N2O</sub> , g/GJ	q <sub>NH3</sub> , g/GJ	q <sub>PMsum</sub> , g/GJ	q <sub>PM10</sub> , g/GJ	q <sub>PM2.5</sub> , g/GJ	q <sub>b,c</sub> , mg/GJ
29.11.2021	Umbkoldega ahi	Halupuit	14.05	4.56	7.36	207.85	4437.74	0.45	122.73	10.32	26.16	52.52	38.73	37.76	
30.11.2021	Umbkoldega ahi	Halupuit	15.46	4.21	4.44	98.13	2183.49	0.57	42.97	2.39	6.81	67.75	34.01	33.35	
2.12.2021	Umbkoldega ahi	Halupuit	15.57	4.11	4.29	101.50	1952.16	0.58	28.26	2.40	5.58	59.27	29.75	28.97	
3.12.2021	Umbkoldega ahi	Halupuit	15.05	4.31	4.34	105.81	2749.64	0.53	57.11	2.51	5.00	129.65	64.97	64.22	
6.12.2021	Umbkoldega ahi	Halupuit	15.59	4.22	4.28	95.65	2773.61	0.58	55.51	2.71	6.66	71.70	46.74	45.03	
7.12.2021	Umbkoldega ahi	Halupuit	16.03	3.69	3.58	104.91	2986.64	0.63	50.80	2.72	6.53	174.92	87.84	86.56	
Keskmine			15.29	4.18	4.72	118.97	2847.21	0.56	59.56	3.84	9.46	92.63	50.34	49.32	
Mediaan			15.52	4.21	4.32	103.21	2761.62	0.57	53.15	2.61	6.60	69.72	42.73	41.39	
Standardhälve			0.69	0.29	1.33	43.71	872.44	0.06	32.70	3.18	8.21	48.83	22.17	22.05	

**Tabel 18 Pilukoldega pliidi eriheited**

Kuupäev	Ahju tüüp	Kütus	O <sub>2</sub> , %	CO <sub>2</sub> , %	H <sub>2</sub> O, %	q <sub>NOx</sub> , g/GJ	q <sub>CO</sub> , g/GJ	q <sub>SO2</sub> , g/GJ	q <sub>CH4</sub> , g/GJ	q <sub>N2O</sub> , g/GJ	q <sub>NH3</sub> , g/GJ	q <sub>PMsum</sub> , g/GJ	q <sub>PM10</sub> , g/GJ	q <sub>PM2.5</sub> , g/GJ	q <sub>b,c</sub> , mg/GJ
11.10.2021	Pilukoldega pliit	Halupuit	16.80	4.31	4.99	158.30	2355.59	0.75	35.49	1.61	5.56	28.21	14.23	13.76	
12.10.2021	Pilukoldega pliit	Halupuit	17.09	3.67	4.00	146.57	2748.45	0.81	18.63	0.55	8.69	59.28	46.09	45.22	
2.11.2021	Pilukoldega pliit	Halupuit	16.75	3.30	4.31	132.85	1694.16	0.74	10.84	1.31	6.18	31.76	16.13	15.50	



## Eesti Keskkonnauuringute Keskus OÜ

3.11.2021	Pilukoldega pliit	Halupuit	16.60	3.36	4.09	130.10	1646.36	6.91	10.90	0.96	5.38	40.33	20.32	19.55	
4.11.2021	Pilukoldega pliit	Halupuit	16.95	3.30	4.05	146.73	1444.63	0.78	5.14	1.37	4.51	25.23	12.78	12.35	
5.11.2021	Pilukoldega pliit	Halupuit	16.61	3.37	4.02	122.47	1610.25	3.00	12.24	0.49	5.66	34.34	33.07	32.41	
<b>Keskmine</b>			<b>16.80</b>	<b>3.55</b>	<b>4.24</b>	<b>139.50</b>	<b>1916.57</b>	<b>2.17</b>	<b>15.54</b>	<b>1.05</b>	<b>6.00</b>	<b>36.53</b>	<b>23.77</b>	<b>23.13</b>	
<b>Mediaan</b>			<b>16.78</b>	<b>3.36</b>	<b>4.07</b>	<b>139.71</b>	<b>1670.26</b>	<b>0.79</b>	<b>11.57</b>	<b>1.14</b>	<b>5.61</b>	<b>33.05</b>	<b>18.22</b>	<b>17.53</b>	
<b>Standardhälve</b>			<b>0.19</b>	<b>0.40</b>	<b>0.38</b>	<b>13.25</b>	<b>514.55</b>	<b>2.49</b>	<b>10.68</b>	<b>0.46</b>	<b>1.43</b>	<b>12.30</b>	<b>13.17</b>	<b>13.03</b>	

**Tabel 19 Restkoldega pliidi eriheited**

Kuupäev	Ahuju tüüp	Kütus	O <sub>2</sub> , %	CO <sub>2</sub> , %	H <sub>2</sub> O, %	q <sub>NOx</sub> , g/GJ	q <sub>CO</sub> , g/GJ	q <sub>SO2</sub> , g/GJ	q <sub>CH4</sub> , g/GJ	q <sub>N2O</sub> , g/GJ	q <sub>NH3</sub> , g/GJ	q <sub>PMsum</sub> , g/GJ	q <sub>PM10</sub> , g/GJ	q <sub>PM2.5</sub> , g/GJ	q <sub>b,c</sub> , mg/GJ
11.11.2021	Restkoldega pliit	Halupuit	17.60	2.03	3.01	148.47	2225.27	0.93	45.65	0.64	2.50	54.00	48.07	45.56	
17.11.2021	Restkoldega pliit	Halupuit	17.55	2.03	2.80	115.46	2516.67	0.92	54.30	0.63	2.50	60.33	30.71	28.96	
18.11.2021	Restkoldega pliit	Halupuit	17.44	1.96	2.81	130.75	1944.36	0.89	46.62	0.61	1.47	99.93	50.43	48.48	
23.11.2021	Restkoldega pliit	Halupuit	17.20	2.21	2.89	114.23	1908.11	0.83	41.96	0.57	3.02	70.67	59.33	56.41	
24.11.2021	Restkoldega pliit	Halupuit	16.99	2.28	2.85	125.39	1885.50	0.79	40.31	0.54	2.33	63.62	49.78	46.91	
25.11.2021	Restkoldega pliit	Halupuit	16.50	2.58	3.27	113.29	1850.01	0.70	43.96	0.48	1.39	65.23	32.92	31.86	
<b>Keskmine</b>			<b>17.21</b>	<b>2.18</b>	<b>2.94</b>	<b>124.60</b>	<b>2054.99</b>	<b>0.84</b>	<b>45.47</b>	<b>0.58</b>	<b>2.20</b>	<b>68.96</b>	<b>45.20</b>	<b>43.03</b>	
<b>Mediaan</b>			<b>17.32</b>	<b>2.12</b>	<b>2.87</b>	<b>120.43</b>	<b>1926.23</b>	<b>0.86</b>	<b>44.80</b>	<b>0.59</b>	<b>2.41</b>	<b>64.42</b>	<b>48.92</b>	<b>46.23</b>	
<b>Standardhälve</b>			<b>0.42</b>	<b>0.23</b>	<b>0.18</b>	<b>13.62</b>	<b>263.32</b>	<b>0.09</b>	<b>4.91</b>	<b>0.06</b>	<b>0.64</b>	<b>16.14</b>	<b>11.11</b>	<b>10.52</b>	



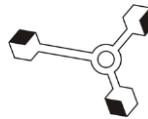
2022 ja 2023 a. teostatud kondenseeruvate osakeste mõõtmistulemused on esitatud alljärgnevates tabelites.

**Tabel 20 Ahja moodulahju kondenseeruvate osakeste eriheited**

Kuupäev	Ahju tüüp	Kütus	$q_{PMsum}$ , g/GJ	$q_{PM10}$ , g/GJ	$q_{PM2.5}$ , g/GJ
02.11.2022	Ahja moodulahi	Halupuit	29.53	28.22	26.83
03.11.2022	Ahja moodulahi	Halupuit	35.00	32.68	30.18
09.11.2022	Ahja moodulahi	Halupuit	34.55	31.27	30.83
14.12.2022	Ahja moodulahi	Halupuit	19.45	18.22	16.99
15.12.2022	Ahja moodulahi	Halupuit	26.26	24.82	22.39
19.12.2022	Ahja moodulahi	Halupuit	23.20	22.66	21.91
Keskmine			28.00	26.31	24.86
Mediaan			27.90	26.52	24.61
Standardhälve			6.22	5.48	5.38

**Tabel 21 Pilukoldega ahju kondenseeruvate osakeste eriheited**

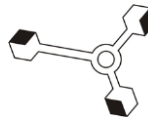
Kuupäev	Ahju tüüp	Kütus	$q_{PMsum}$ , g/GJ	$q_{PM10}$ , g/GJ	$q_{PM2.5}$ , g/GJ
04.01.2023	Pilukoldega ahi	Halupuit	58.42	56.39	54.36
05.01.2023	Pilukoldega ahi	Halupuit	38.75	37.64	36.43
06.01.2023	Pilukoldega ahi	Halupuit	32.80	32.16	31.48
Keskmine			43.32	42.06	40.76
Mediaan			38.75	37.64	36.43
Standardhälve			13.40	12.71	12.04

**Tabel 22 Restkoldega ahju kondenseeruvate osakeste eriheited**

Kuupäev	Ahju tüüp	Kütus	$q_{PMsum}$ , g/GJ	$q_{PM10}$ , g/GJ	$q_{PM2.5}$ , g/GJ
23.11.2022	Restkoldega ahi	Halupuit	84.22	83.94	82.47
01.12.2022	Restkoldega ahi	Halupuit	83.18	82.47	80.81
05.12.2022	Restkoldega ahi	Halupuit	120.18	119.38	115.72
12.12.2022	Restkoldega ahi	Halupuit	44.00	39.75	38.71
Keskmine			<b>82.89</b>	<b>81.38</b>	<b>79.43</b>
Mediaan			<b>83.70</b>	<b>83.20</b>	<b>81.64</b>
Standardhälve			<b>31.12</b>	<b>32.58</b>	<b>31.55</b>

**Tabel 23 Umbkoldega ahju kondenseeruvate osakeste eriheited**

Kuupäev	Ahju tüüp	Kütus	$q_{PMsum}$ , g/GJ	$q_{PM10}$ , g/GJ	$q_{PM2.5}$ , g/GJ
21.12.2022	Umbkoldega ahi	Halupuit	114.19	114.02	112.64
22.12.2022	Umbkoldega ahi	Halupuit	143.91	143.49	141.86
23.12.2022	Umbkoldega ahi	Halupuit	168.26	166.23	164.31
Keskmine			<b>142.12</b>	<b>141.25</b>	<b>139.60</b>
Mediaan			<b>143.91</b>	<b>143.49</b>	<b>141.86</b>
Standardhälve			<b>27.08</b>	<b>26.18</b>	<b>25.91</b>

**Tabel 24** Pilukoldega pliidi kondenseeruvate osakeste eriheited

Kuupäev	Ahju tüüp	Kütus	$q_{PMsum}$ , g/GJ	$q_{PM10}$ , g/GJ	$q_{PM2.5}$ , g/GJ
11.11.2022	Pilukoldega pliit	Halupuit	32.06	30.85	28.32
16.11.2022	Pilukoldega pliit	Halupuit	37.14	32.52	31.79
30.12.2022	Pilukoldega pliit	Halupuit	19.17	18.26	17.21
02.01.2023	Pilukoldega pliit	Halupuit	33.34	32.63	31.27
03.01.2023	Pilukoldega pliit	Halupuit	27.05	26.18	25.11
Keskmine			29.75	28.09	26.74
Mediaan			32.06	30.85	28.32
Standardhälve			6.93	6.09	5.96

**Tabel 25** Restkoldega pliidi kondenseeruvate osakeste eriheited

Kuupäev	Ahju tüüp	Kütus	$q_{PMsum}$ , g/GJ	$q_{PM10}$ , g/GJ	$q_{PM2.5}$ , g/GJ
27.12.2022	Restkoldega pliit	Halupuit	94.04	83.81	81.70
28.12.2022	Restkoldega pliit	Halupuit	91.95	90.70	88.19
29.12.2022	Restkoldega pliit	Halupuit	86.58	84.46	80.37
Keskmine			90.86	86.32	83.42
Mediaan			91.95	84.46	81.70
Standardhälve			3.85	3.80	4.18



### 3 Kasvuhoonegaaside inventuuri andmetöötluskeskkonna arendamine (lõpp 2023)

Vastutav täitja: Hanna-Lii Kupri

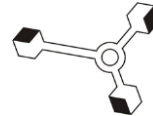
Kaastäitjad: Stanislav Štõkov, Kelly Joa, Sirly-Ann Meriküll, Anette Iital, Reelika Mägi, Kristin Puusepp, Kadi Meltz, Helen Karu (KAUR), Eve Suursild (KAUR)

Eesti KHG andmetöötluskeskkonna loomisel kasutatakse universaalset lahendust eesmärgiga parandada andmete läbipaistvust, usaldusvärsust ja järjepidevust. Andmetöötluskeskkonna loomine võimaldab hallata arvukaid töötabeleid, erinevas formaadis koondatud taustandmeid ja kvaliteedikontrolli tabeleid. Andmetöötluskeskkonna arendus katab kõiki KHG inventuuri sektoreid- energeetika (sh transport), tööstuslikud protsessid ja toodete kasutamine (IPPU), põllumajandus, maakasutus, muutus ja metsandus (LULUCF) ja jäätmed.

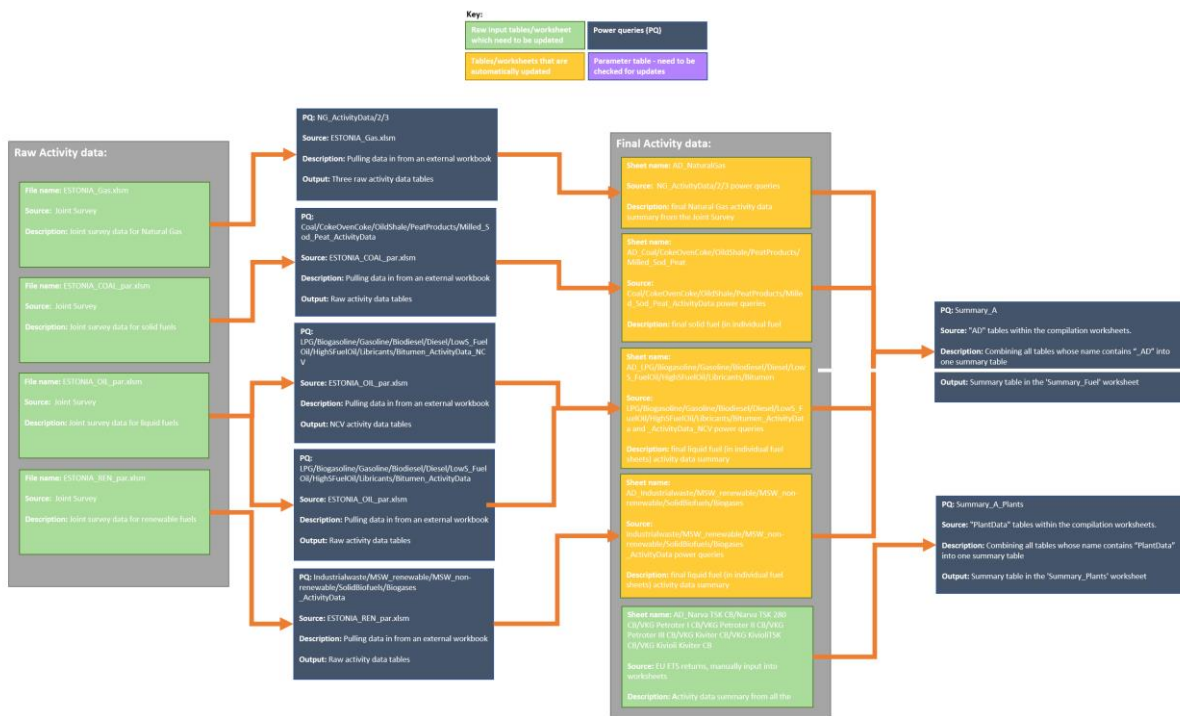
2020 a. korraldatud KHG andmetöötluskeskkonna arendamise hanke võitis inglise firma Aether - <https://www.aether-uk.com/>, kus tegeletakse muuhulgas KHG ja õhusaasteainete inventuuri ja prognoose puudutavate projektidega. Igapäevaseks suhtluseks on loodud eraldi keskkond Microsoft Teamsis, kus Eesti KHG inventuuri eksperdid saavad Aetheri meeskonnaga andmetöötluskeskkonna teemadel suhelda. 2021 ja 2022 aasta tööd toimusid vastavalt kokkulepitud ajakavale. Kõik sektoriaalsed andmetöötluskeskkonna vormid koos 2021. aasta inventuuri algandmetega (erandina kasutati IPPU andmetöötluskeskkonna põhjade loomiseks 2020 aasta inventuuri algandmeid) edastati EKUKile ja KAURile 2022 aastal. Lisaks edastati võtmekategooria analüüsiga tegemiseks vajalikud vormid. Sektori ekspertidel oli võimalus vormidega tutvuda, teha valdkonna spetsiifilisi täiendusettepanekuid.

5 kuni 7 septembril 2022 a. toimus Eesti Keskkonnauuringute Keskuses andmetöötluskeskkonna kasutamise kõigi sektorite väljaõpe koos Aetheri vanemkonsultantide Rosie Brook ja Lucy Garlandiga.

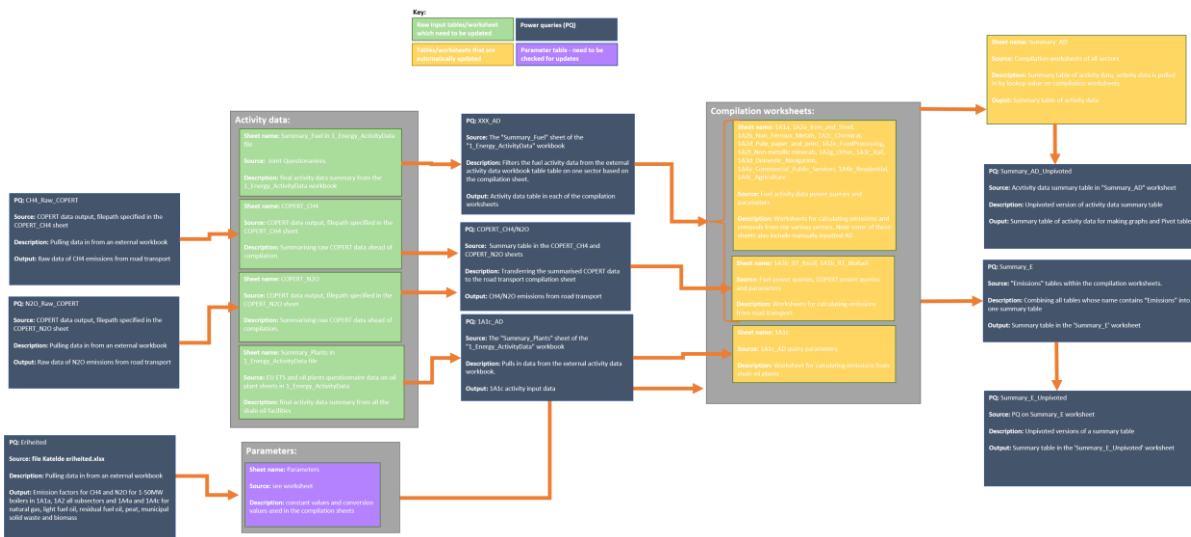
Põllumajanduse andmetöötluskeskkonna vormidega on töö olnud intensiivsem ning 2022 ja 2023 aasta inventuuri arvutused on tehtud täielikult uute vormidega. Teistes sektorites toimub etapiline üleminek uutele vormidele – eksperdid kasutavad paralleelselt vana arvutuskeskkonda ning uut andmetöötluskeskkonna vormi, et kontrollida uues andmetöötluskeskkonnas arvutatud tulemusi. Valminud sektoriaalsete andmetöötluskeskkonna andmevoog on toodud Joonis 28 -Joonis 35



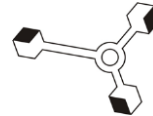
## Eesti Keskkonnauuringute Keskus OÜ



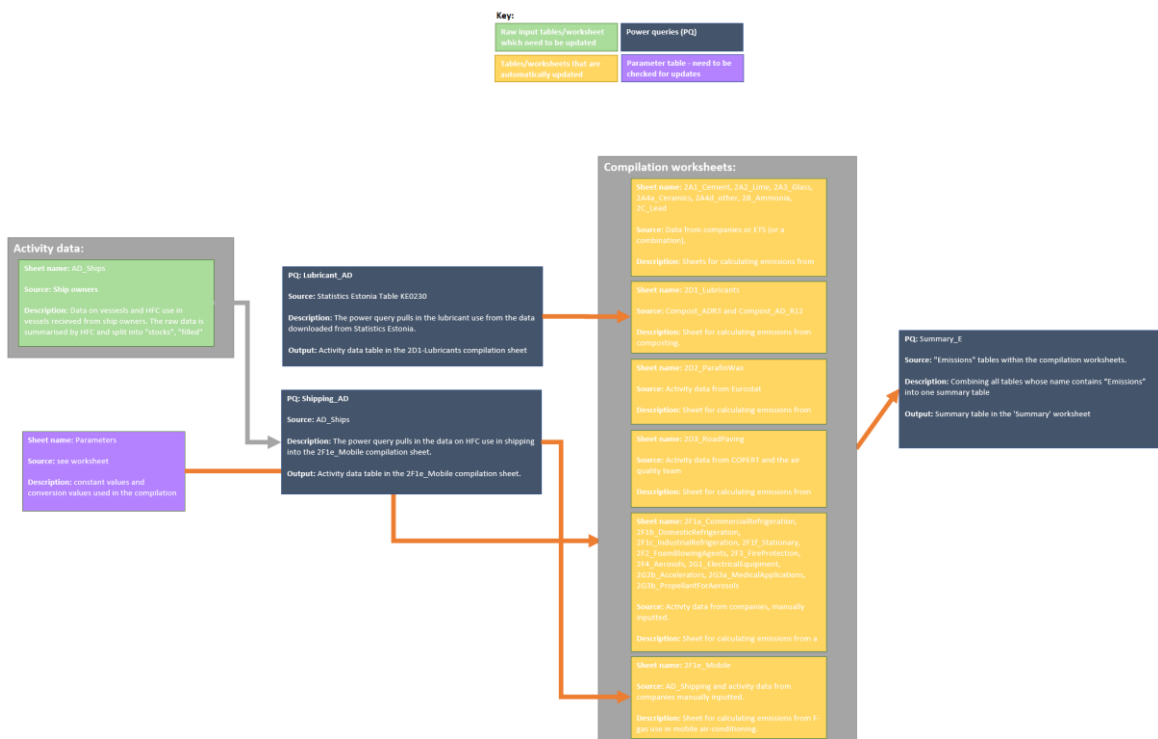
Joonis 28 Energeetika (sh transpordi) (1/2) sektori andmetööluskeskkonna ülesehitus



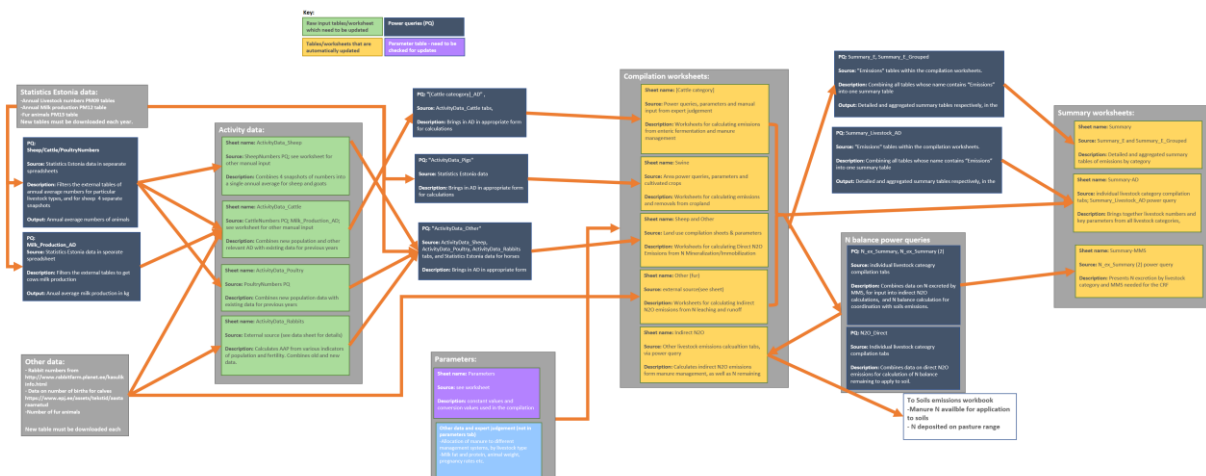
Joonis 29 Energeetika (sh transpordi) (2/2) sektori andmetööluskeskkonna ülesehitus



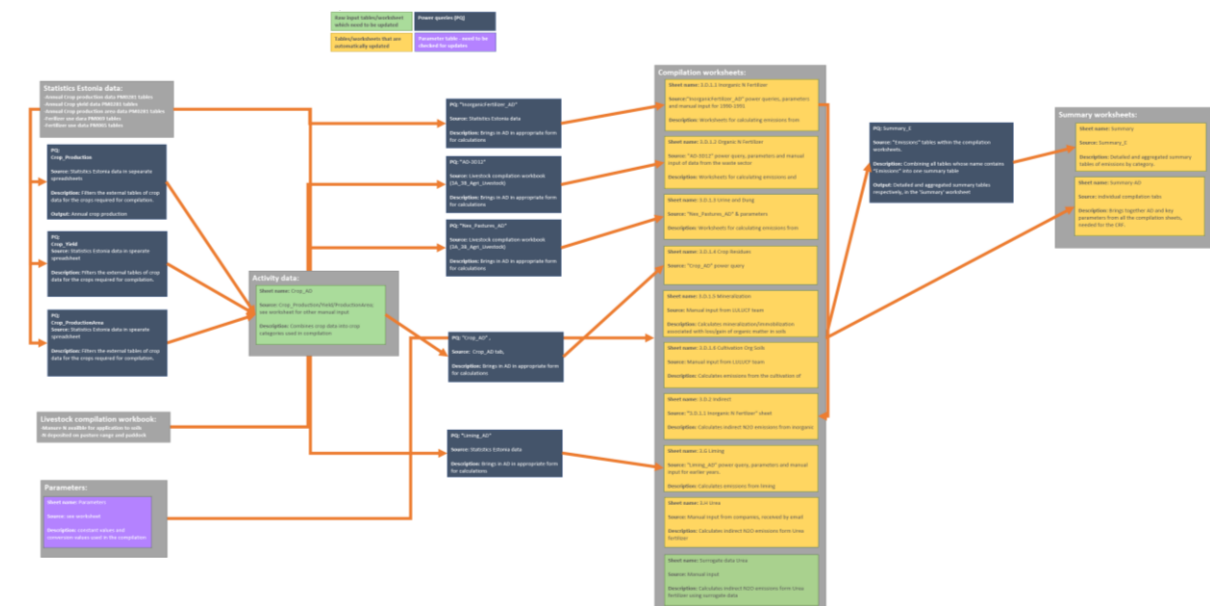
## Eesti Keskkonnauuringute Keskus OÜ



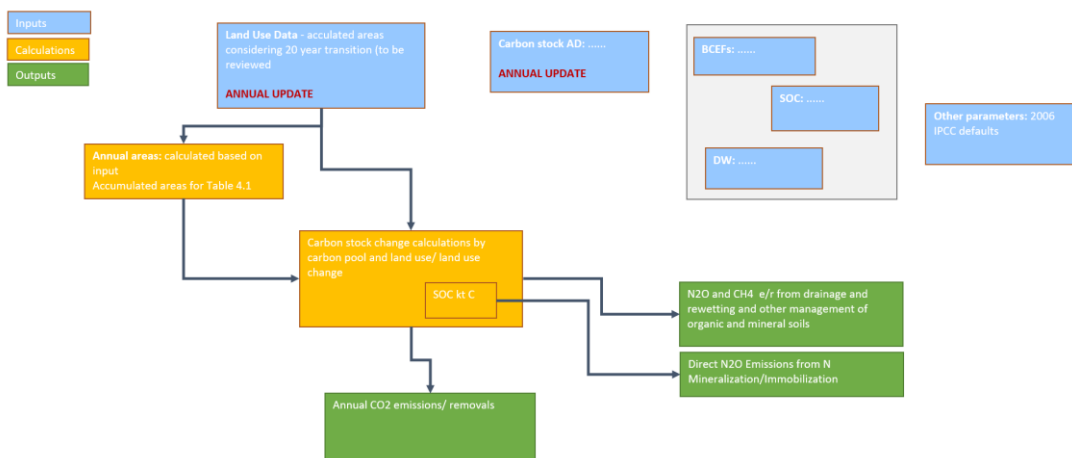
**Joonis 30 Tööstuslike protsesside ja toodete kasutamise (IPPU) andmetööluskeskkonna ülesehitus**



**Joonis 31 Põllumajanduse sektori (1/2) andmetööluskeskkonna ülesehitus**



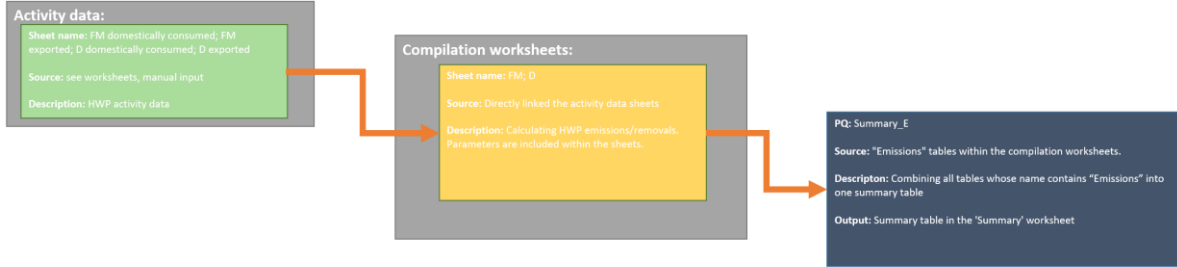
Joonis 32 Pöllumajanduse sektori (2/2) andmetööluskeskkonna ülesehitus



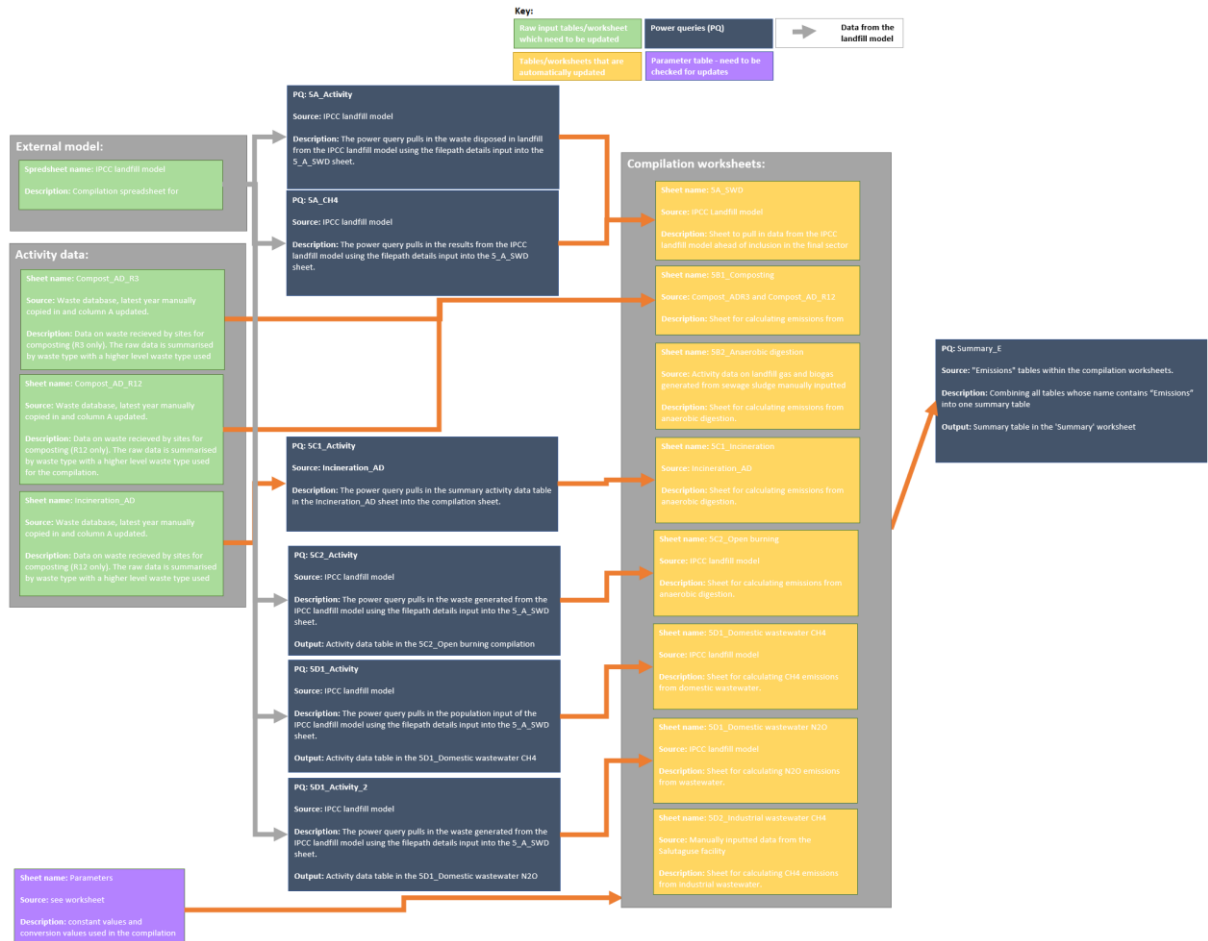
Joonis 33 Maakasutuse, maakasutuse muutuse ja metsanduse (LULUCF) sektori (1/3) andmetööluskeskkonna ülesehitus



Raw input tables/worksheets which need to be updated	Power queries (PQ)
Tables/worksheets that are automatically updated	Parameter table - need to be checked for updates



### Joonis 34 Maakasutuse, maakasutuse muutuse ja metsanduse (LULUCF) sektori (2/3) andmetöötluskeskkonna ülesehitus



### Joonis 35 Jäätmesektori andmetöötluskeskkonna ülesehitus

2023. aastal jätkatakse KHG inventuuri ja prognooside infograafika veeblehe töödega. 2022 aastal valmis veeblehe testkeskkond <https://test.kasvuhooonegaaside.ee>, mis sisaldab 2021



---

KHG inventuuri informatsiooni inventuurist ning ülevaadet 2021 aastal esitatud prognoosidest.

Heitkoguste graafikuid saab interaktiivselt muuta valides erinevaid gaase, detailsuse astet ja sektoreid. Graafikutele on lisatud heitkoguse näitamise funktsionaalsus kui cursoriga graafikul liikuda. Palju tööd on toiminud arenduse taustsüsteemi poolel, et võimaldada kiiret informatsiooni avaldamist. Sisu valik ja ülesehitus on tehtud Keskkonnaministeeriumiga kokkulepitud vormis.

2022 aasta novembris oli olemas veebilehe inglise-eesti-venekeelne vaade, kuid kuna valmimas olid uued 2050 aasta KHG prognoosid, mille meediabriif toimus novembris siis pidi alustama veebilehe andmete uuendamist ning tekstitõlget.

**2023 a. tegevused:**

- Jätkatakse KHG inventuuride ja prognooside infograafika veebilehe [www.kasvuhuonegaaside.ee](http://www.kasvuhuonegaaside.ee) töödega
- 2023 aasta jaanuaris pooles on veebileht valmis avaldamiseks koos uuendatud prognooside informatsioniga
- 2023 aasta esimeses pooles uuendatakse KHG inventuuri vaadet (Pärast 15.03.2023 Euroopa Komisjonile esitatud aruannet)



## 4 Transpordi valdkonna tegevused

Vastutav täitja: Stanislav Štökov, Kristin Puusepp

### 4.1 Transpordisektori KHG inventuuri Exceli arvutuste üleminek COPERTi mudelile arvutustele (lõpp 2021)

Vastutav täitja: Stanislav Štökov, Kristin Puusepp

EKUKi energeetika spetsialistid läbisid COPERTi mudeli (versioon 5.5.1) koolituse ja samuti osaleti 2021.a novembris Euroopa Keskkonnaameti korraldatavas iga-aastasel COPERTi koolitusel, mida viis läbi EMISIA (COPERT mudeli loaja ja haldaja). COPERTI mudel on nüud EKUKis kasutusel. Lähitulevikus pidi EMISIA looma COPERT pilveversiooni, mis võimaldaks EKUKi ja KAURI kolleegidel hõlpsalt kasutada mudeli viimast versiooni ja kõige uuemaid andmeid, ilma et peaks eraldi andmevahetusega tegelema.

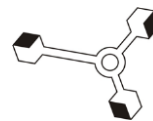
### 4.2 Teiste liikuvate heiteallikate heitkoguste arvutuspõhimõtete ülevaatamine (lõpp 2021)

Tegevuse eesmärk on teiste liikuvate heiteallikate tööstuses, põllumajanduses, kodumajapidamises jms  $\text{CH}_4$ ,  $\text{N}_2\text{O}$  ja teiste välisõhku paisatavate saasteainete arvutusmetoodika üleminek Tier1-lt Tier3-le, et Eesti KHG ja õhusaasteainete inventuurides kajastatavate saasteainete heitkoguseid arvutada riigispetsiifiliste eriheiteteguritega ning täpsustada sektori ajaloolisi heitkoguseid.

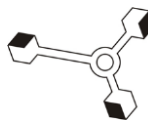
Projekti esimeses etapis (2020. aastal) oli Maanteeameti sisendina välja arvutatud teiste liikuvate heiteallikate arvuline kogus ja eriheitetegurid sõidukitüüpide lõikes vahemikus 2005 – 2018. Projekti teises etapis (2021. aastal) valmis ülejäänud aegrida 1990-2004 ja aastad 2019-2020, millega saavutati tegevuse esialgne eesmärk, vt Tabel 26 ja Joonis 36. Edasistes tabelites ja joonistes on välja toodud liikurmasina liigi jagunemine heitmestandardite kaupa, summaarsed heitkogused ning kütuse tarbimine:

- Traktorid: Tabel 27, Tabel 28, Tabel 29, Tabel 30, Joonis 37, Joonis 38.
- Ekskavaatorid: Tabel 31, Tabel 32, Joonis 39.
- Kombainid: Tabel 33, Tabel 34, Joonis 40.
- Laadurid: Tabel 35, Tabel 36, Joonis 41.
- Metsatöömasinad: Tabel 37, Tabel 38, Joonis 42.
- Sihtotstarbelised: Tabel 39, Tabel 40, Tabel 41, Tabel 42, Joonis 43, Joonis 44.
- Teetöömasinad: Tabel 43, Tabel 44, Joonis 45.

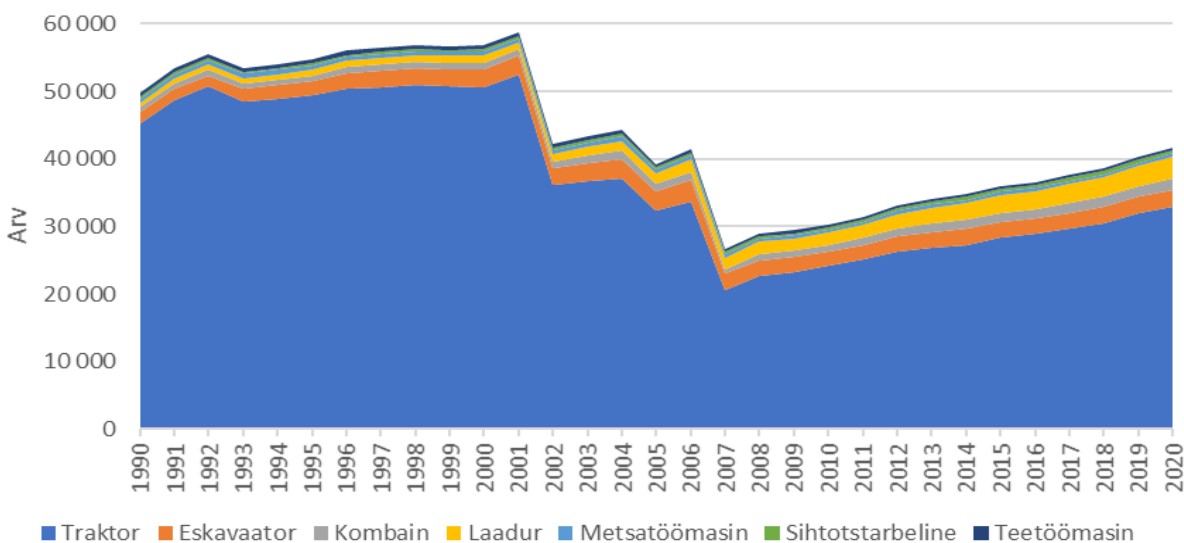
Esialgsete arvutustulemuste põhjal väheneb traktorite, metsatöömasinate ja kombainide  $\text{CH}_4$  eriheide 41.9% (2.41 kg/TJ) ja  $\text{N}_2\text{O}$  89.6% (2.98 kg/TJ) vörreldes praegu kasutatavate eriheidetega Eesti KHG inventuuris ( $\text{CH}_4$  4.15 kg/TJ ja  $\text{N}_2\text{O}$  28.6 kg/TJ) ja ekskavaatorite, laadurite ning teetöömasinate  $\text{CH}_4$  eriheide väheneb 70.7% (0.88 kg/TJ) ja  $\text{N}_2\text{O}$  suureneb 428%

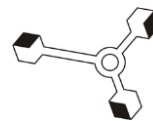


(3.17 kg/TJ) võrreldes praegu kasutatavate IPCC vaikeväärustega Eesti KHG inventuuris ( $\text{CH}_4$  3 kg/TJ ja  $\text{N}_2\text{O}$  0.6 kg/TJ). Tulemusena näiteks väheneks KHG inventuuris liikurmasinate arvelt KHG heitkogus ligikaudu 29.3 kt $\text{CO}_2$  ekv 2018.aastal (liikurmasinad kuuluvad ESR alla).

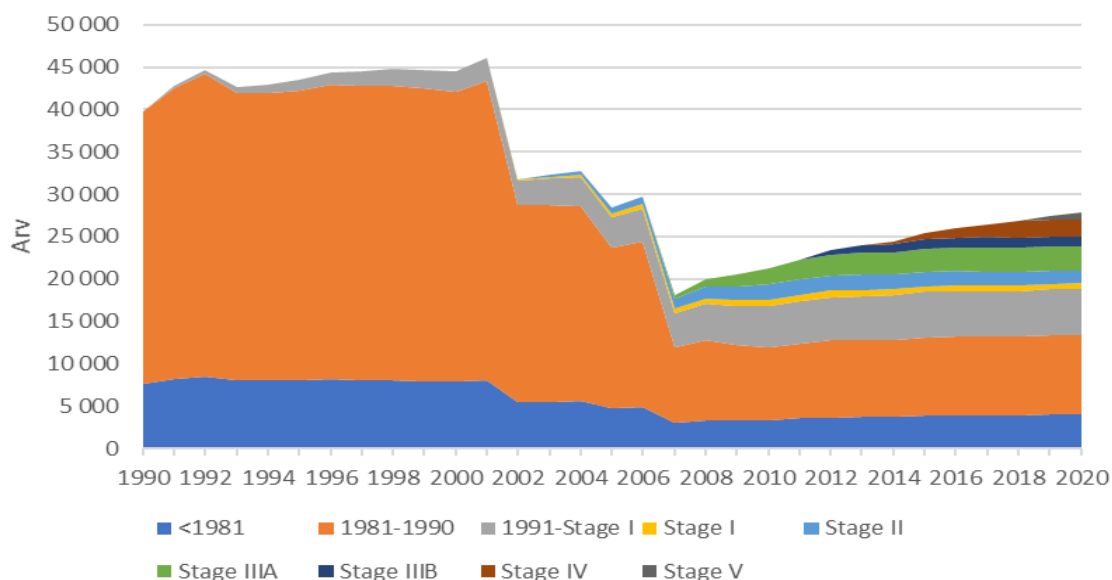
**Tabel 26 Liikuvate heiteallikate arv sõidukitüüpide lõikes 1990 – 2020, tk**

Masina liik	Traktor	Ekskavaator	Kombain	Laadur	Metsatöömasin	Sihtotstarbeline	Teetöömasin
1990	45 193	1 695	780	650	650	290	600
1991	48 649	1 740	797	700	645	294	598
1992	50 762	1 621	814	740	640	298	596
1993	48 426	1 946	831	780	635	302	594
1994	48 826	2 053	848	820	630	306	592
1995	49 387	2 136	865	860	625	310	590
1996	50 398	2 298	882	900	620	314	588
1997	50 607	2 440	899	940	615	318	586
1998	50 908	2 535	916	980	610	322	584
1999	50 726	2 581	933	1 000	605	326	582
2000	50 624	2 690	950	1 040	600	330	580
2001	52 441	2 809	962	1 080	595	334	578
2002	36 072	2 589	992	1 110	595	338	578
2003	36 697	2 762	1 064	1 266	651	342	592
2004	37 178	2 857	1 196	1 423	659	346	589
2005	32 281	2 885	1 134	1 480	588	350	518
2006	33 744	3 167	1 235	1 755	612	354	539
2007	20 591	2 368	753	1 692	496	358	412
2008	22 718	2 202	977	1 807	493	362	397
2009	23 328	2 154	941	1 774	469	366	398
2010	24 163	2 101	986	1 803	501	384	388
2011	25 124	2 130	1 028	1 905	527	389	386
2012	26 262	2 239	1 132	2 144	555	392	403
2013	26 805	2 331	1 241	2 359	558	392	404
2014	27 299	2 360	1 276	2 477	552	403	406
2015	28 360	2 332	1 353	2 558	544	404	410
2016	28 886	2 350	1 363	2 611	541	410	415
2017	29 687	2 346	1 471	2 763	513	421	410
2018	30 513	2 362	1 532	2 845	492	434	411
2019	31 909	2 441	1 571	3 025	515	450	422
2020	32 967	2 520	1 610	3 204	537	465	433



**Joonis 36 Liikuvate heiteallikate arv sõidukitüüpide lõikes 1990 – 2020, tk****Tabel 27 Traktorite jagunemine heitmestandardite kaupa, diisel tk**

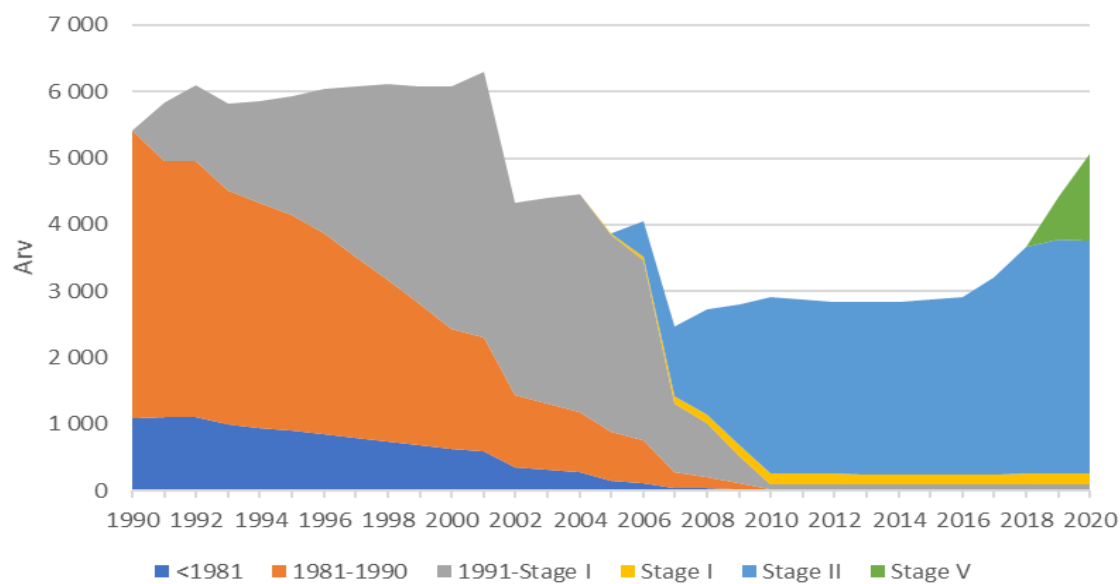
Diisel	<1981	1981-1990	1991-Stage I	Stage I	Stage II	Stage IIIA	Stage IIIB	Stage IV	Stage V
1990	7 679	32 091							
1991	8 194	34 375	242						
1992	8 474	35 713	484						
1993	8 012	33 877	726						
1994	8 005	33 994	968						
1995	8 023	34 228	1 210						
1996	8 112	34 786	1 452						
1997	8 070	34 770	1 694						
1998	8 042	34 821	1 936						
1999	7 937	34 524	2 178						
2000	7 846	34 283	2 420						
2001	8 049	35 362	2 662	75					
2002	5 483	23 206	2 904	150					
2003	5 523	23 173	3 146	225	226				
2004	5 540	23 037	3 388	300	452				
2005	4 762	18 962	3 630	375	678				
2006	4 927	19 542	3 872	450	904				
2007	2 976	8 903	4 114	525	1 130	472			
2008	3 249	9 487	4 356	600	1 356	944			
2009	3 302	8 956	4 598	675	1 582	1 416			
2010	3 366	8 600	4 849	750	1 807	1 886			
2011	3 537	8 849	5 019	746	1 800	2 297			
2012	3 654	9 060	5 146	735	1 791	2 487	545		
2013	3 693	9 110	5 194	730	1 781	2 553	909		
2014	3 693	9 110	5 228	730	1 781	2 630	923	369	
2015	3 843	9 266	5 344	712	1 700	2 696	1 206	717	
2016	3 872	9 272	5 384	705	1 663	2 755	1 224	1 103	
2017	3 894	9 260	5 407	698	1 603	2 835	1 242	1 545	
2018	3 897	9 256	5 427	692	1 566	2 817	1 233	1 963	
2019	3 958	9 333	5 464	688	1 557	2 803	1 218	1 961	497
2020	3 981	9 354	5 486	680	1 528	2 777	1 197	1 935	965



Joonis 37 Traktorite jagunemine heitimestandardite kaupa, diisel tk

**Tabel 28 Traktorite jagunemine heitmetandardite kaupa, bensiin tk**

Bensiin	<1981	1981-1990	1991-Stage I	Stage I	Stage II	Stage V
1990	1 085	4 338				
1991	1 111	3 851	876			
1992	1 100	3 849	1 142			
1993	993	3 511	1 307			
1994	944	3 377	1 538			
1995	897	3 251	1 778			
1996	857	3 014	2 177			
1997	801	2 721	2 551			
1998	747	2 430	2 932			
1999	685	2 115	3 287			
2000	625	1 805	3 645			
2001	586	1 717	3 990			
2002	361	1 076	2 892			
2003	324	988	3 092			
2004	286	892	3 283			
2005	154	730	2 958	32		
2006	104	656	2 695	64	530	
2007	39	237	1 039	96	1 060	
2008	31	171	806	128	1 590	
2009	16	88	415	160	2 120	
2010	3	16	77	160	2 649	
2011	3	16	76	158	2 623	
2012	4	16	75	156	2 593	
2013	4	16	75	155	2 585	
2014	4	16	75	155	2 585	
2015	4	14	75	155	2 628	
2016	5	14	75	155	2 659	
2017	6	14	75	155	2 953	
2018	6	14	75	156	3 411	
2019	6	14	77	160	3 512	661
2020	6	14	77	159	3 496	1 312





**Joonis 38 Traktorite jagunemine heitmestandardite kaupa, bensiin tk**



**Tabel 29 Traktorite heitkogused ja kütuse tarbimine 1990-2020, diisel kilotonni**

Aasta	NO <sub>x</sub>	VOC	CH <sub>4</sub>	CO	N <sub>2</sub> O	NH <sub>3</sub>	PM <sub>2.5</sub>	BC	FC
1990	0.98	0.20	0.00	0.49	0.00	0.0002	0.13	0.07	27.03
1991	1.06	0.22	0.01	0.53	0.00	0.0002	0.14	0.08	29.12
1992	1.11	0.23	0.01	0.55	0.00	0.0002	0.14	0.08	30.41
1993	1.05	0.22	0.01	0.52	0.00	0.0002	0.14	0.07	28.80
1994	1.06	0.22	0.01	0.53	0.00	0.0002	0.14	0.07	29.05
1995	1.08	0.22	0.01	0.53	0.00	0.0002	0.14	0.08	29.40
1996	1.10	0.22	0.01	0.54	0.00	0.0002	0.14	0.08	30.02
1997	1.11	0.22	0.01	0.55	0.00	0.0002	0.14	0.08	30.16
1998	1.10	0.22	0.01	0.55	0.00	0.0002	0.14	0.08	30.09
1999	1.10	0.22	0.01	0.54	0.00	0.0002	0.14	0.08	29.99
2000	1.10	0.22	0.01	0.54	0.00	0.0002	0.14	0.08	29.95
2001	1.14	0.23	0.01	0.56	0.00	0.0002	0.14	0.08	31.05
2002	0.79	0.16	0.00	0.39	0.00	0.0002	0.10	0.05	21.40
2003	0.80	0.16	0.00	0.39	0.00	0.0002	0.10	0.05	21.69
2004	0.81	0.16	0.00	0.39	0.00	0.0002	0.10	0.05	22.11
2005	0.71	0.14	0.00	0.34	0.00	0.0001	0.08	0.05	19.37
2006	0.74	0.14	0.00	0.35	0.00	0.0001	0.09	0.05	20.37
2007	0.46	0.08	0.00	0.21	0.00	0.0001	0.05	0.03	13.12
2008	0.50	0.09	0.00	0.23	0.00	0.0001	0.05	0.03	14.81
2009	0.51	0.09	0.00	0.23	0.00	0.0001	0.05	0.03	15.57
2010	0.54	0.09	0.00	0.24	0.00	0.0001	0.05	0.03	17.37
2011	0.57	0.09	0.00	0.26	0.00	0.0001	0.06	0.03	19.14
2012	0.61	0.10	0.00	0.28	0.00	0.0002	0.06	0.03	22.11
2013	0.63	0.10	0.00	0.29	0.00	0.0002	0.06	0.03	24.20
2014	0.63	0.10	0.00	0.31	0.00	0.0002	0.06	0.03	26.58
2015	0.65	0.10	0.00	0.33	0.00	0.0002	0.06	0.03	30.43
2016	0.66	0.11	0.00	0.35	0.00	0.0003	0.06	0.04	33.52
2017	0.67	0.11	0.00	0.38	0.01	0.0003	0.06	0.04	37.46
2018	0.67	0.11	0.00	0.40	0.01	0.0003	0.06	0.04	41.19
2019	0.68	0.11	0.00	0.42	0.01	0.0003	0.06	0.04	44.59
2020	0.69	0.12	0.00	0.45	0.01	0.0004	0.06	0.04	47.86

**Tabel 30 Traktorite heitkogused ja kütuse tarbimine 1990-2020, bensiin kilotonni**

Aasta	NO <sub>x</sub>	VOC	CH <sub>4</sub>	CO	N <sub>2</sub> O	NH <sub>3</sub>	PM <sub>2.5</sub>	BC	FC
1990	0.02	0.08	0.003	4.54	0.00	0.00002	0.0006	0.00003	4.24
1991	0.02	0.08	0.003	4.64	0.00	0.00002	0.0007	0.00003	4.43
1992	0.02	0.09	0.003	4.78	0.00	0.00002	0.0007	0.00004	4.59
1993	0.02	0.08	0.003	4.50	0.00	0.00002	0.0007	0.00003	4.35
1994	0.02	0.08	0.003	4.47	0.00	0.00002	0.0007	0.00003	4.36
1995	0.02	0.08	0.003	4.47	0.00	0.00002	0.0007	0.00003	4.38
1996	0.02	0.08	0.003	4.46	0.00	0.00002	0.0007	0.00003	4.42
1997	0.02	0.08	0.003	4.38	0.00	0.00002	0.0007	0.00003	4.39
1998	0.02	0.08	0.003	4.30	0.00	0.00002	0.0007	0.00003	4.37
1999	0.02	0.08	0.003	4.18	0.00	0.00002	0.0007	0.00003	4.30
2000	0.02	0.07	0.003	4.08	0.00	0.00002	0.0007	0.00003	4.24
2001	0.02	0.08	0.003	4.16	0.00	0.00002	0.0007	0.00003	4.37
2002	0.01	0.05	0.002	2.83	0.00	0.00001	0.0005	0.00002	2.99
2003	0.02	0.05	0.002	2.83	0.00	0.00001	0.0005	0.00002	3.02

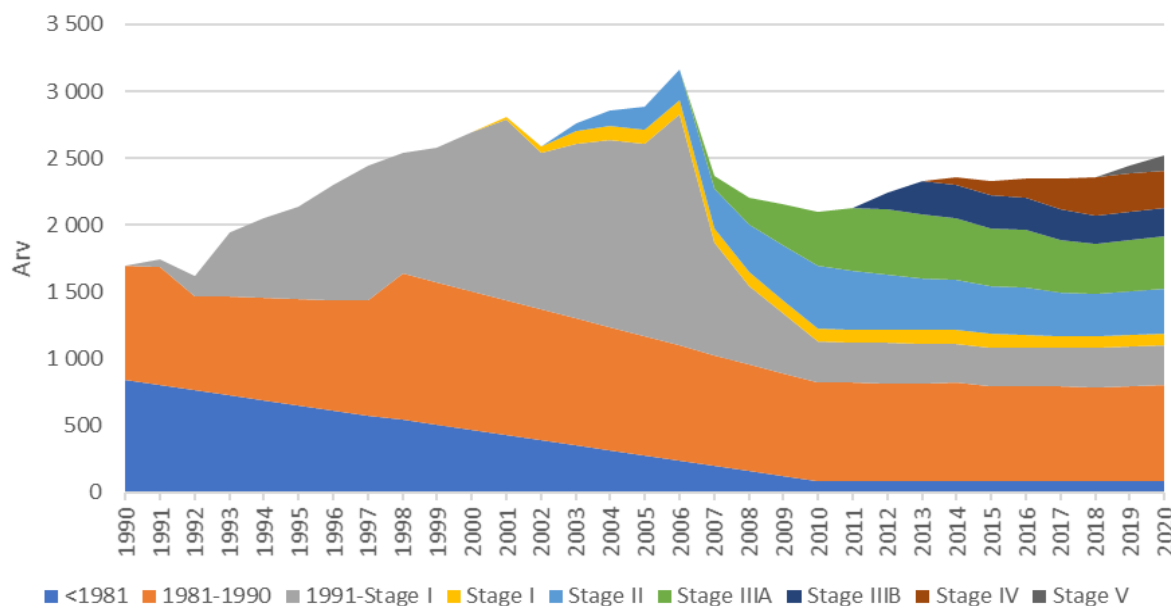


Aasta	NO <sub>x</sub>	VOC	CH <sub>4</sub>	CO	N <sub>2</sub> O	NH <sub>3</sub>	PM <sub>2.5</sub>	BC	FC
2004	0.02	0.05	0.002	2.83	0.00	0.00001	0.0005	0.00002	3.04
2005	0.01	0.04	0.002	2.43	0.00	0.00001	0.0004	0.00002	2.64
2006	0.01	0.05	0.002	2.57	0.00	0.00001	0.0005	0.00002	2.82
2007	0.01	0.03	0.001	1.63	0.00	0.00001	0.0003	0.00001	1.81
2008	0.01	0.03	0.001	1.84	0.00	0.00001	0.0003	0.00002	2.05
2009	0.01	0.03	0.001	1.93	0.00	0.00001	0.0004	0.00002	2.17
2010	0.01	0.04	0.001	2.32	0.00	0.00001	0.0004	0.00002	2.61
2011	0.01	0.04	0.001	2.30	0.00	0.00001	0.0004	0.00002	2.59
2012	0.01	0.04	0.001	2.28	0.00	0.00001	0.0004	0.00002	2.57
2013	0.01	0.04	0.001	2.27	0.00	0.00001	0.0004	0.00002	2.56
2014	0.01	0.04	0.001	2.27	0.00	0.00001	0.0004	0.00002	2.56
2015	0.01	0.04	0.001	2.34	0.00	0.00001	0.0004	0.00002	2.65
2016	0.02	0.04	0.001	2.40	0.00	0.00001	0.0004	0.00002	2.72
2017	0.02	0.05	0.002	3.13	0.00	0.00001	0.0006	0.00003	3.56
2018	0.03	0.08	0.003	4.65	0.00	0.00002	0.0009	0.00004	5.28
2019	0.04	0.12	0.004	7.26	0.00	0.00003	0.0013	0.00007	8.20
2020	0.05	0.15	0.005	9.56	0.00	0.00004	0.0018	0.00009	10.78

**Tabel 31 Eskavaatorite jagunemine heitmestandardite kaupa, diisel tk**

Diisel	<1981	1981-1990	1991-Stage I	Stage I	Stage II	Stage IIIA	Stage IIIB	Stage IV	Stage V
1990	845	850							
1991	807	881	52						
1992	769	700	152						
1993	731	731	484						
1994	693	762	598						
1995	655	793	688						
1996	617	824	857						
1997	579	855	1006						
1998	541	1100	894						
1999	503	1070	1008						
2000	465	1040	1185						
2001	427	1010	1347	25					
2002	389	980	1170	50					
2003	351	950	1302	100	59				
2004	313	920	1406	100	118				
2005	275	890	1443	100	177				
2006	237	860	1734	100	236				
2007	199	830	843	100	295	101			
2008	161	800	585	100	354	202			
2009	123	770	445	100	413	303			
2010	84	737	309	100	469	402			
2011	87	733	303	95	437	475			
2012	87	731	303	98	406	490	124		
2013	84	731	297	100	389	479	251		
2014	84	735	295	101	373	463	253	56	
2015	82	717	288	97	354	437	248	109	
2016	84	712	289	95	349	431	248	142	
2017	84	709	286	87	330	395	228	227	
2018	84	705	289	86	318	373	218	289	
2019	85	710	295	89	325	384	213	284	58

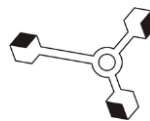
Diisel	<1981	1981-1990	1991-Stage I	Stage I	Stage II	Stage IIIA	Stage IIIB	Stage IV	Stage V
2020	86	715	300	91	332	395	207	278	116



Joonis 39 Ekskavaatorite jagunemine heitmestandardite kaupa, diisel tk

Tabel 32 Ekskavaatorite heitkogused ja kütuse tarbimine 1990-2020, diisel kilotonni

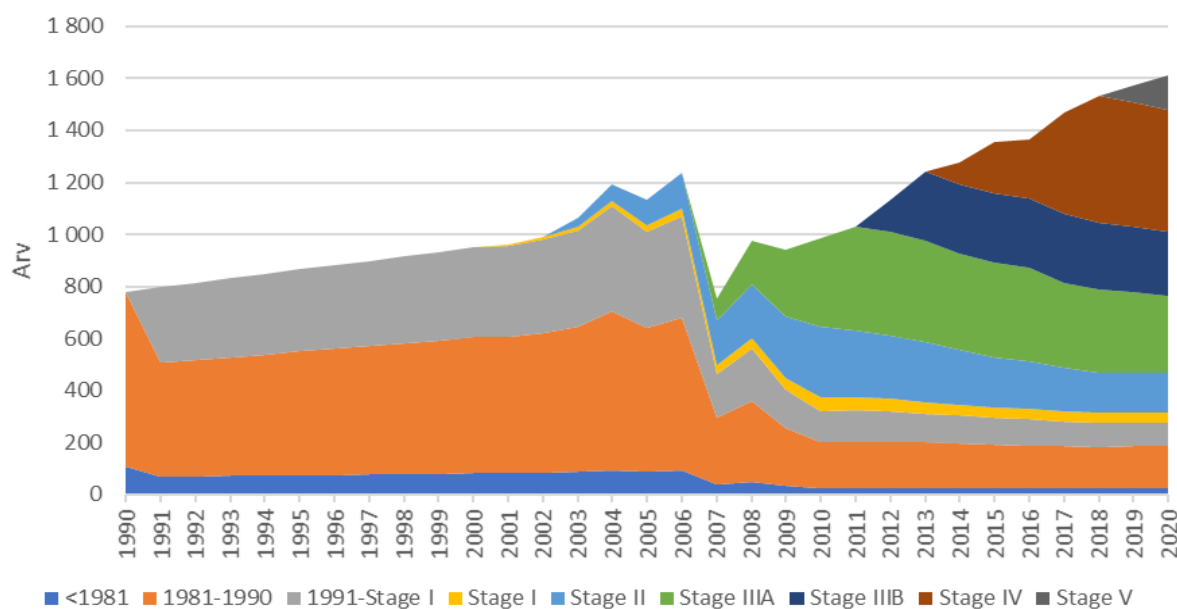
Aasta	NO <sub>x</sub>	VOC	CH <sub>4</sub>	CO	N <sub>2</sub> O	NH <sub>3</sub>	PM <sub>2,5</sub>	BC	FC
1990	0.01	0.003	0.0001	0.01	0.0000	0.000002	0.002	0.001	0.34
1991	0.01	0.003	0.0001	0.01	0.0000	0.000003	0.002	0.001	0.36
1992	0.01	0.003	0.0001	0.01	0.0000	0.000003	0.002	0.001	0.35
1993	0.02	0.003	0.0001	0.01	0.0001	0.000003	0.002	0.001	0.47
1994	0.02	0.003	0.0001	0.01	0.0001	0.000004	0.002	0.001	0.51
1995	0.02	0.004	0.0001	0.01	0.0001	0.000004	0.002	0.001	0.54
1996	0.02	0.004	0.0001	0.01	0.0001	0.000004	0.002	0.001	0.60
1997	0.03	0.004	0.0001	0.01	0.0001	0.000005	0.002	0.001	0.65
1998	0.02	0.004	0.0001	0.01	0.0001	0.000005	0.003	0.001	0.65
1999	0.03	0.004	0.0001	0.01	0.0001	0.000005	0.003	0.001	0.68
2000	0.03	0.005	0.0001	0.01	0.0001	0.000005	0.003	0.001	0.73
2001	0.03	0.005	0.0001	0.01	0.0001	0.000006	0.003	0.002	0.80
2002	0.03	0.004	0.0001	0.01	0.0001	0.000006	0.003	0.001	0.74
2003	0.03	0.005	0.0001	0.01	0.0001	0.000007	0.003	0.002	0.89
2004	0.04	0.005	0.0001	0.01	0.0001	0.000007	0.003	0.002	0.98
2005	0.04	0.005	0.0001	0.02	0.0001	0.000008	0.003	0.002	1.04
2006	0.04	0.006	0.0001	0.02	0.0002	0.000009	0.003	0.002	1.20
2007	0.03	0.004	0.0001	0.01	0.0001	0.000008	0.002	0.001	1.07
2008	0.03	0.004	0.0001	0.01	0.0002	0.000009	0.002	0.001	1.17
2009	0.03	0.004	0.0001	0.01	0.0002	0.000010	0.002	0.001	1.30
2010	0.03	0.004	0.0001	0.01	0.0002	0.000011	0.002	0.001	1.45
2011	0.03	0.004	0.0001	0.01	0.0002	0.000012	0.002	0.001	1.52
2012	0.04	0.004	0.0001	0.02	0.0002	0.000013	0.002	0.001	1.72
2013	0.04	0.004	0.0001	0.02	0.0003	0.000015	0.002	0.001	1.91



Aasta	NO <sub>x</sub>	VOC	CH <sub>4</sub>	CO	N <sub>2</sub> O	NH <sub>3</sub>	PM <sub>2.5</sub>	BC	FC
2014	0.04	0.004	0.0001	0.02	0.0003	0.000015	0.002	0.001	1.97
2015	0.04	0.004	0.0001	0.02	0.0003	0.000015	0.002	0.001	2.01
2016	0.04	0.004	0.0001	0.02	0.0003	0.000016	0.002	0.001	2.06
2017	0.03	0.004	0.0001	0.02	0.0003	0.000016	0.002	0.001	2.13
2018	0.03	0.004	0.0001	0.02	0.0003	0.000017	0.002	0.001	2.21
2019	0.03	0.004	0.0001	0.02	0.0003	0.000018	0.002	0.001	2.35
2020	0.03	0.004	0.0001	0.02	0.0003	0.000019	0.002	0.001	2.50

**Tabel 33 Kombainide jagunemine heitimestandardite kaupa, diisel tk**

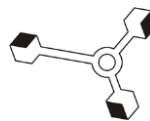
Diisel	<1981	1981-1990	1991-Stage I	Stage I	Stage II	Stage IIIA	Stage IIIB	Stage IV	Stage V
1990	109	671							
1991	68	438	291						
1992	69	448	297						
1993	71	457	303						
1994	72	466	310						
1995	74	476	316						
1996	75	485	322						
1997	76	494	328						
1998	78	504	334						
1999	79	513	341						
2000	81	523	347						
2001	81	526	349	5					
2002	83	540	358	10					
2003	86	558	370	15	34				
2004	94	609	404	20	68				
2005	86	554	368	25	102				
2006	91	588	390	30	136				
2007	39	255	169	35	170	85			
2008	48	310	205	40	204	170			
2009	34	222	147	45	238	255			
2010	24	180	118	51	273	340			
2011	23	181	119	49	259	397			
2012	24	180	115	48	244	399	122		
2013	25	177	109	45	232	390	263		
2014	26	171	109	40	209	373	264	84	
2015	25	166	102	40	193	365	266	196	
2016	24	165	101	40	184	358	267	224	
2017	24	161	95	39	171	325	263	393	
2018	25	159	92	39	154	319	257	487	
2019	25	160	93	39	152	310	250	478	67
2020	25	160	93	38	150	300	242	469	133



**Joonis 40** Kombainide jagunemine heitmestandardite kaupa, diisel tk

**Tabel 34** Kombainide heitkogused ja kütuse tarbimine 1990-2020, diisel kilotonni

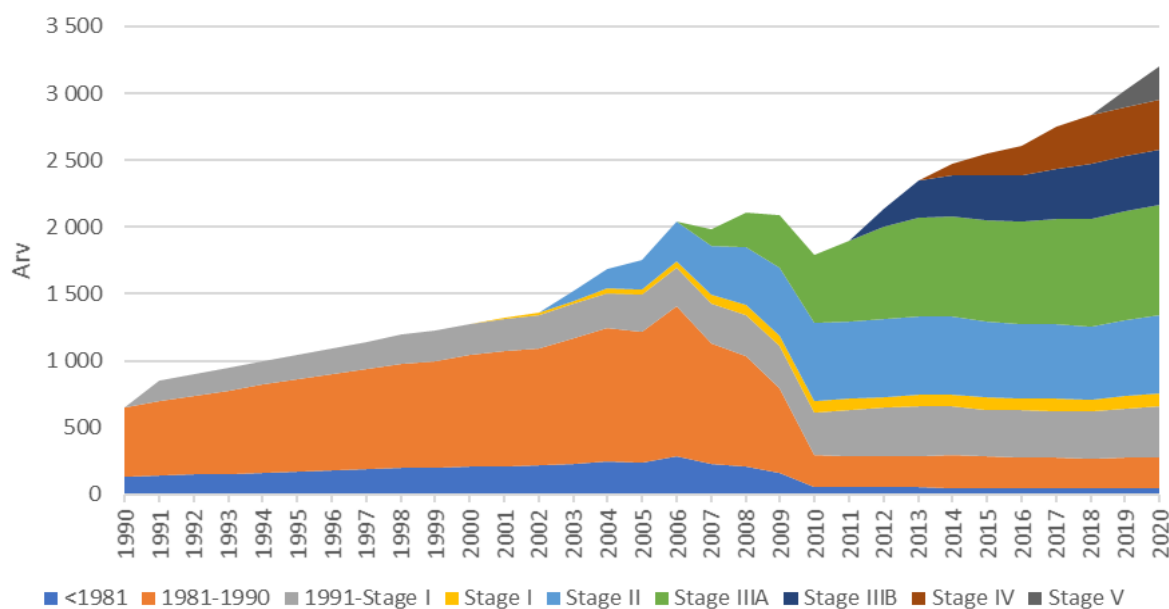
Aasta	NO <sub>x</sub>	VOC	CH <sub>4</sub>	CO	N <sub>2</sub> O	NH <sub>3</sub>	PM <sub>2.5</sub>	BC	FC
1990	0.02	0.002	0.0000	0.00	0.0000	0.000003	0.001	0.001	0.35
1991	0.02	0.002	0.0000	0.01	0.0001	0.000004	0.001	0.001	0.48
1992	0.02	0.002	0.0000	0.01	0.0001	0.000004	0.001	0.001	0.49
1993	0.02	0.002	0.0000	0.01	0.0001	0.000004	0.001	0.001	0.50
1994	0.02	0.002	0.0000	0.01	0.0001	0.000004	0.001	0.001	0.51
1995	0.02	0.002	0.0000	0.01	0.0001	0.000004	0.001	0.001	0.52
1996	0.02	0.002	0.0000	0.01	0.0001	0.000004	0.001	0.001	0.53
1997	0.02	0.002	0.0001	0.01	0.0001	0.000004	0.001	0.001	0.54
1998	0.02	0.002	0.0001	0.01	0.0001	0.000004	0.001	0.001	0.55
1999	0.03	0.002	0.0001	0.01	0.0001	0.000004	0.001	0.001	0.56
2000	0.03	0.002	0.0001	0.01	0.0001	0.000004	0.001	0.001	0.57
2001	0.03	0.002	0.0001	0.01	0.0001	0.000005	0.001	0.001	0.59
2002	0.03	0.002	0.0001	0.01	0.0001	0.000005	0.002	0.001	0.62
2003	0.03	0.003	0.0001	0.01	0.0001	0.000006	0.002	0.001	0.75
2004	0.04	0.003	0.0001	0.01	0.0001	0.000007	0.002	0.001	0.93
2005	0.04	0.003	0.0001	0.01	0.0001	0.000008	0.002	0.001	0.98
2006	0.04	0.003	0.0001	0.01	0.0002	0.000009	0.002	0.001	1.14
2007	0.03	0.002	0.0001	0.01	0.0002	0.000009	0.001	0.001	1.20
2008	0.04	0.003	0.0001	0.01	0.0002	0.000013	0.001	0.001	1.67
2009	0.04	0.003	0.0001	0.01	0.0003	0.000016	0.001	0.001	2.00
2010	0.05	0.003	0.0001	0.02	0.0003	0.000018	0.001	0.001	2.32
2011	0.05	0.004	0.0001	0.02	0.0004	0.000020	0.002	0.001	2.56
2012	0.05	0.004	0.0001	0.02	0.0004	0.000025	0.002	0.001	3.15
2013	0.06	0.004	0.0001	0.02	0.0005	0.000031	0.002	0.001	3.83
2014	0.05	0.004	0.0001	0.03	0.0006	0.000034	0.002	0.001	4.23
2015	0.05	0.005	0.0001	0.03	0.0007	0.000039	0.002	0.001	4.90
2016	0.05	0.005	0.0001	0.03	0.0007	0.000041	0.002	0.001	5.08



Aasta	NO <sub>x</sub>	VOC	CH <sub>4</sub>	CO	N <sub>2</sub> O	NH <sub>3</sub>	PM <sub>2.5</sub>	BC	FC
2017	0.05	0.005	0.0001	0.04	0.0009	0.000049	0.002	0.001	6.18
2018	0.05	0.005	0.0001	0.04	0.0010	0.000055	0.002	0.001	6.83
2019	0.05	0.005	0.0001	0.04	0.0010	0.000058	0.002	0.001	7.26
2020	0.05	0.006	0.0001	0.05	0.0011	0.000061	0.002	0.001	7.69

**Tabel 35 Laadurite jagunemine heitimestandardite kaupa, diisel tk**

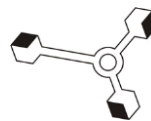
Diisel	<1981	1981-1990	1991-Stage I	Stage I	Stage II	Stage IIIA	Stage IIIB	Stage IV	Stage V
1990	130	520							
1991	140	560	150						
1992	148	592	159						
1993	156	624	168						
1994	164	656	177						
1995	172	688	186						
1996	180	720	195						
1997	188	752	204						
1998	196	784	213						
1999	200	800	222						
2000	208	832	231						
2001	214	857	240	9					
2002	218	874	249	18					
2003	233	933	258	27	73				
2004	248	993	267	36	146				
2005	243	973	276	45	219				
2006	282	1127	285	54	292				
2007	227	908	294	63	365	129			
2008	208	831	303	72	438	258			
2009	159	636	312	81	511	387			
2010	57	235	322	86	581	515			
2011	54	237	338	86	579	604			
2012	54	236	359	83	579	693	132		
2013	53	238	369	88	588	738	277		
2014	51	241	368	88	585	748	301	87	
2015	49	233	353	89	570	759	333	164	
2016	49	230	352	86	561	767	342	216	
2017	48	225	352	92	557	788	371	322	
2018	47	220	355	89	547	803	407	369	
2019	48	225	369	93	566	814	411	370	123
2020	48	230	383	97	585	824	415	370	245



**Joonis 41** Laadurite jagunemine heitmestandardite kaupa, diisel tk

**Tabel 36** Laadurite heitkogused ja kütuse tarbimine 1990-2020, diisel kilotonni

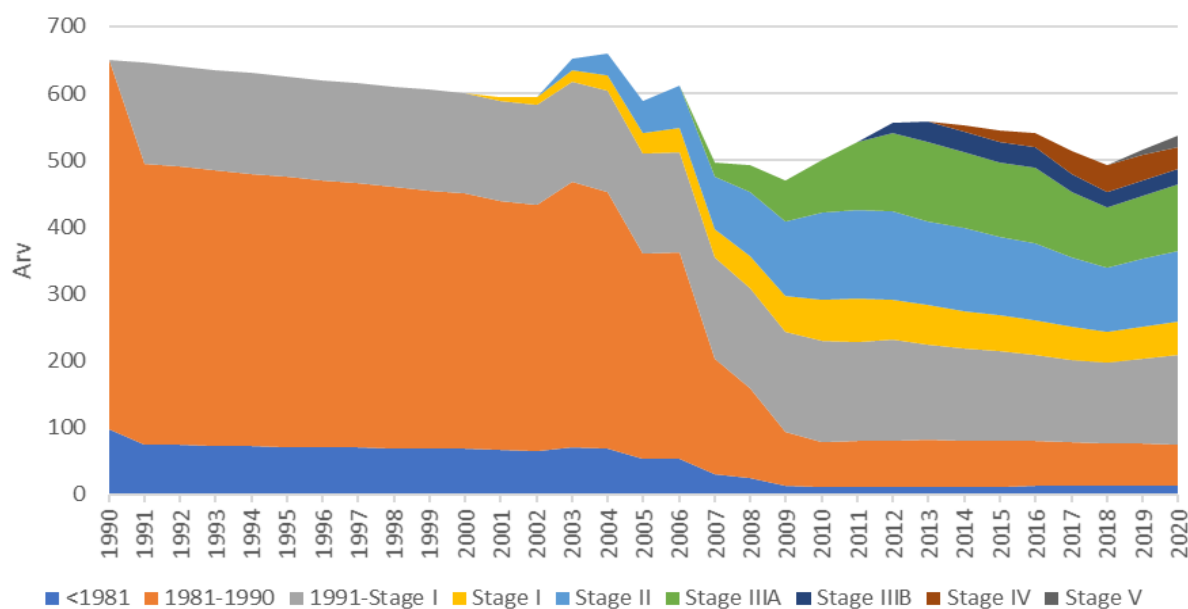
Aasta	NO <sub>x</sub>	VOC	CH <sub>4</sub>	CO	N <sub>2</sub> O	NH <sub>3</sub>	PM <sub>2.5</sub>	BC	FC
1990	0.01	0.001	0.0000	0.00	0.0000	0.000001	0.001	0.000	0.19
1991	0.01	0.002	0.0000	0.00	0.0000	0.000002	0.001	0.001	0.26
1992	0.01	0.002	0.0000	0.00	0.0000	0.000002	0.001	0.001	0.27
1993	0.01	0.002	0.0000	0.00	0.0000	0.000002	0.001	0.001	0.29
1994	0.01	0.002	0.0000	0.00	0.0000	0.000002	0.001	0.001	0.30
1995	0.01	0.002	0.0000	0.01	0.0000	0.000002	0.001	0.001	0.32
1996	0.01	0.002	0.0000	0.01	0.0000	0.000002	0.001	0.001	0.33
1997	0.01	0.002	0.0001	0.01	0.0000	0.000003	0.001	0.001	0.34
1998	0.02	0.002	0.0001	0.01	0.0000	0.000003	0.001	0.001	0.36
1999	0.02	0.002	0.0001	0.01	0.0000	0.000003	0.001	0.001	0.37
2000	0.02	0.002	0.0001	0.01	0.0000	0.000003	0.001	0.001	0.38
2001	0.02	0.002	0.0001	0.01	0.0001	0.000003	0.002	0.001	0.40
2002	0.02	0.002	0.0001	0.01	0.0001	0.000003	0.002	0.001	0.42
2003	0.02	0.003	0.0001	0.01	0.0001	0.000004	0.002	0.001	0.54
2004	0.02	0.003	0.0001	0.01	0.0001	0.000005	0.002	0.001	0.65
2005	0.03	0.003	0.0001	0.01	0.0001	0.000006	0.002	0.001	0.74
2006	0.03	0.004	0.0001	0.01	0.0001	0.000007	0.002	0.001	0.89
2007	0.03	0.004	0.0001	0.01	0.0001	0.000008	0.002	0.001	1.08
2008	0.03	0.004	0.0001	0.01	0.0002	0.000010	0.002	0.001	1.33
2009	0.04	0.004	0.0001	0.01	0.0002	0.000012	0.002	0.001	1.54
2010	0.03	0.003	0.0001	0.01	0.0002	0.000011	0.002	0.001	1.43
2011	0.03	0.003	0.0001	0.01	0.0002	0.000012	0.002	0.001	1.60
2012	0.04	0.003	0.0001	0.01	0.0003	0.000015	0.002	0.001	1.89
2013	0.04	0.004	0.0001	0.02	0.0003	0.000018	0.002	0.001	2.31
2014	0.03	0.003	0.0001	0.01	0.0002	0.000014	0.001	0.001	1.73
2015	0.03	0.003	0.0001	0.01	0.0003	0.000015	0.002	0.001	1.89
2016	0.03	0.003	0.0001	0.01	0.0003	0.000016	0.002	0.001	1.99



Aasta	NO <sub>x</sub>	VOC	CH <sub>4</sub>	CO	N <sub>2</sub> O	NH <sub>3</sub>	PM <sub>2.5</sub>	BC	FC
2017	0.05	0.004	0.0001	0.02	0.0004	0.000024	0.002	0.002	3.10
2018	0.05	0.005	0.0001	0.02	0.0005	0.000027	0.002	0.002	3.43
2019	0.05	0.005	0.0001	0.03	0.0005	0.000029	0.002	0.002	3.70
2020	0.05	0.005	0.0001	0.03	0.0005	0.000031	0.002	0.002	3.97

**Tabel 37** Metsatöömasinate jagunemine heitmestandardite kaupa, diisel tk

Diisel	<1981	1981-1990	1991-Stage I	Stage I	Stage II	Stage IIIA	Stage IIIB	Stage IV	Stage V
1990	98	552							
1991	74	421	150						
1992	74	416	150						
1993	73	412	150						
1994	72	408	150						
1995	71	404	150						
1996	71	399	150						
1997	70	395	150						
1998	69	391	150						
1999	68	387	150						
2000	68	382	150						
2001	66	373	150	6					
2002	65	368	150	12					
2003	70	397	150	18	16				
2004	68	385	150	24	32				
2005	54	306	150	30	48				
2006	54	308	150	36	64				
2007	31	173	150	42	80	20			
2008	24	135	150	48	96	40			
2009	14	79	150	54	112	60			
2010	12	67	151	62	129	80			
2011	11	69	148	65	133	101			
2012	12	69	150	60	132	117	15		
2013	12	70	143	59	124	119	31		
2014	12	68	138	56	124	113	32	9	
2015	12	68	134	55	116	112	30	17	
2016	13	67	129	52	115	113	30	22	
2017	13	66	123	49	103	98	27	34	
2018	13	64	120	47	95	91	22	40	
2019	13	63	127	48	101	95	23	37	8
2020	13	62	134	49	107	99	23	33	17



**Joonis 42** Metsatöömasinate jagunemine heitmestandardite kaupa, diisel tk

**Tabel 38** Metsatöömasinate heitkogused ja kütuse tarbimine 1990-2020, diisel kilotonni

Aasta	NO <sub>x</sub>	VOC	CH <sub>4</sub>	CO	N <sub>2</sub> O	NH <sub>3</sub>	PM <sub>2.5</sub>	BC	FC
1990	0.01	0.001	0.00003	0.004	0.0000	0.000001	0.001	0.0005	0.20
1991	0.01	0.001	0.00003	0.004	0.0000	0.000002	0.001	0.0004	0.24
1992	0.01	0.001	0.00003	0.004	0.0000	0.000002	0.001	0.0004	0.24
1993	0.01	0.001	0.00003	0.004	0.0000	0.000002	0.001	0.0004	0.24
1994	0.01	0.001	0.00003	0.004	0.0000	0.000002	0.001	0.0004	0.24
1995	0.01	0.001	0.00003	0.004	0.0000	0.000002	0.001	0.0004	0.23
1996	0.01	0.001	0.00003	0.004	0.0000	0.000002	0.001	0.0004	0.23
1997	0.01	0.001	0.00003	0.004	0.0000	0.000002	0.001	0.0004	0.23
1998	0.01	0.001	0.00003	0.004	0.0000	0.000002	0.001	0.0004	0.23
1999	0.01	0.001	0.00003	0.004	0.0000	0.000002	0.001	0.0004	0.23
2000	0.01	0.001	0.00003	0.004	0.0000	0.000002	0.001	0.0004	0.23
2001	0.01	0.001	0.00003	0.004	0.0000	0.000002	0.001	0.0004	0.23
2002	0.01	0.001	0.00003	0.004	0.0000	0.000002	0.001	0.0004	0.24
2003	0.01	0.001	0.00003	0.004	0.0000	0.000002	0.001	0.0004	0.29
2004	0.01	0.001	0.00003	0.004	0.0000	0.000002	0.001	0.0005	0.32
2005	0.01	0.001	0.00003	0.004	0.0000	0.000003	0.001	0.0004	0.34
2006	0.01	0.001	0.00003	0.004	0.0001	0.000003	0.001	0.0004	0.37
2007	0.01	0.001	0.00003	0.004	0.0001	0.000003	0.001	0.0004	0.42
2008	0.01	0.001	0.00003	0.004	0.0001	0.000004	0.001	0.0004	0.49
2009	0.01	0.001	0.00003	0.004	0.0001	0.000004	0.001	0.0004	0.56
2010	0.02	0.001	0.00003	0.005	0.0001	0.000005	0.001	0.0004	0.60
2011	0.02	0.001	0.00003	0.005	0.0001	0.000005	0.001	0.0004	0.65
2012	0.02	0.001	0.00003	0.005	0.0001	0.000006	0.001	0.0004	0.74
2013	0.02	0.001	0.00003	0.006	0.0001	0.000006	0.001	0.0004	0.79
2014	0.01	0.001	0.00002	0.004	0.0001	0.000004	0.000	0.0003	0.55
2015	0.01	0.001	0.00002	0.004	0.0001	0.000004	0.000	0.0003	0.55



Aasta	NO <sub>x</sub>	VOC	CH <sub>4</sub>	CO	N <sub>2</sub> O	NH <sub>3</sub>	PM <sub>2.5</sub>	BC	FC
2016	0.01	0.001	0.00002	0.004	0.0001	0.000004	0.000	0.0003	0.55
2017	0.02	0.001	0.00003	0.005	0.0001	0.000006	0.001	0.0004	0.76
2018	0.01	0.001	0.00003	0.006	0.0001	0.000006	0.001	0.0004	0.78
2019	0.02	0.001	0.00003	0.006	0.0001	0.000006	0.001	0.0004	0.82
2020	0.02	0.001	0.00003	0.006	0.0001	0.000007	0.001	0.0004	0.85

**Tabel 39 Sihtotstarbelise jagunemine heitimestandardite kaupa, diisel tk**

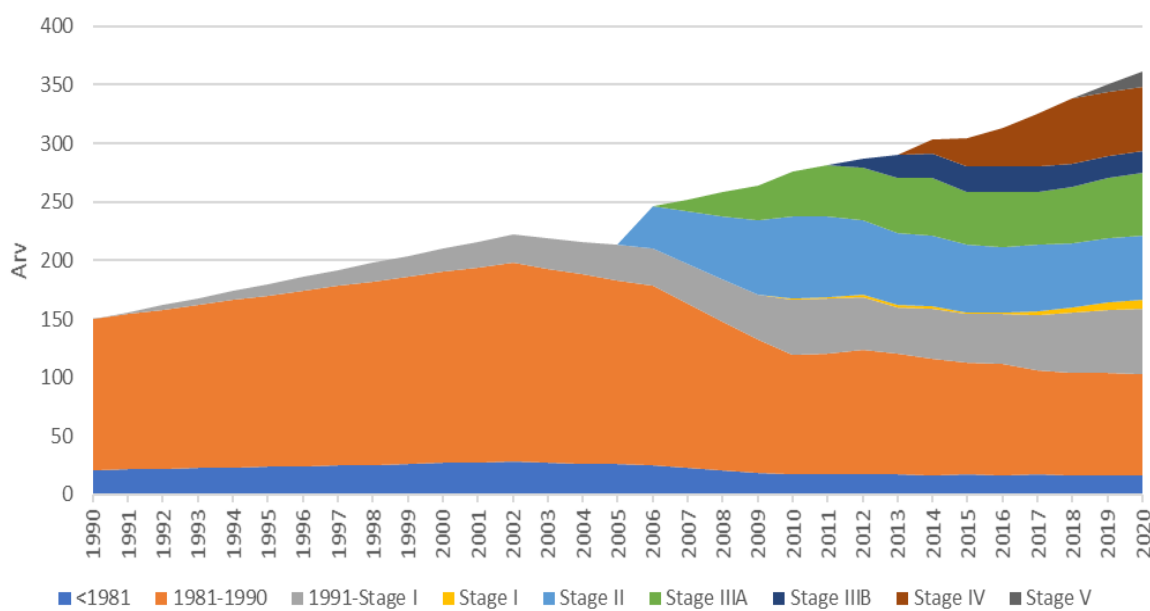
Diisel	<1981	1981-1990	1991-Stage I	Stage I	Stage II	Stage IIIA	Stage IIIB	Stage IV	Stage V
1990	21	129							
1991	22	132	2						
1992	22	136	4						
1993	23	139	6						
1994	23	143	8						
1995	24	146	10						
1996	24	150	12						
1997	25	153	14						
1998	25	157	16						
1999	26	160	18						
2000	27	163	20						
2001	27	167	22						
2002	28	170	24						
2003	27	166	26						
2004	26	162	28						
2005	26	157	30						
2006	25	153	32		36	0			
2007	23	140	34		45	10			
2008	21	127	36		54	20			
2009	19	114	38		63	30			
2010	17	102	47	2	70	38			
2011	17	103	47	2	69	43			
2012	17	107	45	2	63	45	8		
2013	17	103	40	2	61	48	19		
2014	16	100	43	2	60	49	21	12	
2015	17	96	41	2	57	46	21	25	
2016	16	96	42	2	55	48	21	33	
2017	17	89	47	4	56	46	21	45	
2018	16	88	52	4	55	48	20	55	
2019	16	88	54	6	55	51	19	55	6
2020	16	87	56	7	55	54	18	55	13

**Tabel 40 Sihtotstarbelise jagunemine heitimestandardite kaupa, bensiin tk**

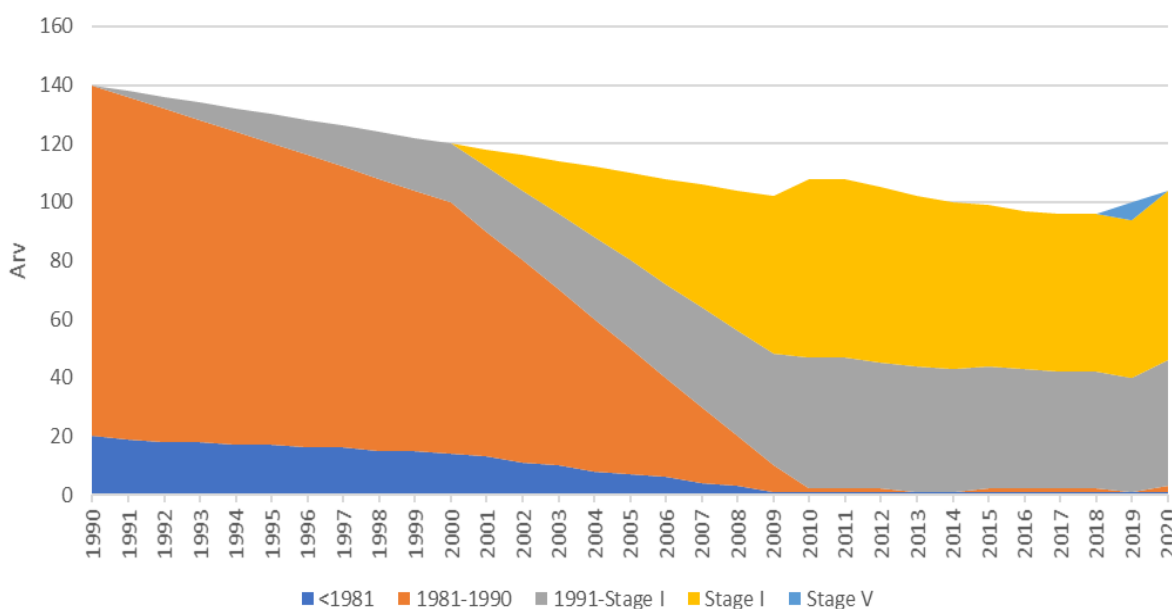
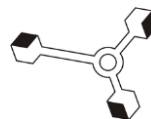
Bensiin	<1981	1981-1990	1991-Stage I	Stage I	Stage V
1990	20	120			
1991	19	117	2		
1992	18	114	4		
1993	18	110	6		
1994	17	107	8		
1995	17	103	10		
1996	16	100	12		



Bensiin	<1981	1981-1990	1991-Stage I	Stage I	Stage V
1997	16	96	14		
1998	15	93	16		
1999	15	89	18		
2000	14	86	20		
2001	13	77	22	6	
2002	11	69	24	12	
2003	10	60	26	18	
2004	8	52	28	24	
2005	7	43	30	30	
2006	6	34	32	36	
2007	4	26	34	42	
2008	3	17	36	48	
2009	1	9	38	54	
2010	1	1	45	61	
2011	1	1	45	61	
2012	1	1	43	60	
2013	1		43	58	
2014	1		42	57	
2015	1	1	42	55	
2016	1	1	41	54	
2017	1	1	40	54	
2018	1	1	40	54	
2019	1	0	39	54	6
2020	1	2	43	58	



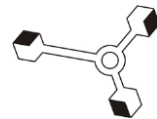
Joonis 43 Sihtotstarbelise jagunemine heitimestandardite kaupa, diisel tk



**Joonis 44 Sihtotstarbelise jagunemine heitimestandardite kaupa, bensiin tk**

**Tabel 41 Sihtotstarbelise heitkogused ja kütuse tarbimine 1990-2020, diisel kilotonni**

Aasta	NO <sub>x</sub>	VOC	CH <sub>4</sub>	CO	N <sub>2</sub> O	NH <sub>3</sub>	PM <sub>2,5</sub>	BC	FC
1990	0.001	0.00026	0.00001	0.0007	0.00001	0.0000003	0.0002	0.0001	0.040
1991	0.002	0.00028	0.00001	0.0007	0.00001	0.0000003	0.0002	0.0001	0.042
1992	0.002	0.00029	0.00001	0.0007	0.00001	0.0000003	0.0002	0.0001	0.044
1993	0.002	0.00030	0.00001	0.0008	0.00001	0.0000003	0.0002	0.0001	0.046
1994	0.002	0.00030	0.00001	0.0008	0.00001	0.0000004	0.0002	0.0001	0.048
1995	0.002	0.00032	0.00001	0.0008	0.00001	0.0000004	0.0002	0.0001	0.051
1996	0.002	0.00033	0.00001	0.0009	0.00001	0.0000004	0.0002	0.0001	0.054
1997	0.002	0.00034	0.00001	0.0009	0.00001	0.0000004	0.0002	0.0001	0.056
1998	0.002	0.00035	0.00001	0.0009	0.00001	0.0000004	0.0002	0.0001	0.057
1999	0.002	0.00036	0.00001	0.0009	0.00001	0.0000004	0.0002	0.0001	0.059
2000	0.002	0.00037	0.00001	0.0010	0.00001	0.0000005	0.0002	0.0001	0.061
2001	0.002	0.00038	0.00001	0.0010	0.00001	0.0000005	0.0002	0.0001	0.063
2002	0.003	0.00039	0.00001	0.0010	0.00001	0.0000005	0.0002	0.0001	0.066
2003	0.003	0.00040	0.00001	0.0011	0.00001	0.0000006	0.0003	0.0001	0.080
2004	0.003	0.00041	0.00001	0.0012	0.00001	0.0000007	0.0003	0.0001	0.095
2005	0.003	0.00043	0.00001	0.0013	0.00001	0.0000008	0.0003	0.0002	0.108
2006	0.004	0.00044	0.00001	0.0014	0.00002	0.0000009	0.0003	0.0002	0.121
2007	0.004	0.00046	0.00001	0.0015	0.00002	0.0000012	0.0003	0.0002	0.158
2008	0.005	0.00048	0.00001	0.0017	0.00003	0.0000015	0.0003	0.0002	0.191
2009	0.005	0.00051	0.00001	0.0019	0.00003	0.0000018	0.0003	0.0002	0.228
2010	0.005	0.00223	0.00007	0.0513	0.00003	0.0000018	0.0003	0.0002	0.259
2011	0.005	0.00225	0.00007	0.0515	0.00003	0.0000020	0.0003	0.0002	0.279
2012	0.006	0.00220	0.00007	0.0495	0.00004	0.0000023	0.0003	0.0002	0.314
2013	0.006	0.00252	0.00008	0.0576	0.00005	0.0000027	0.0003	0.0002	0.375
2014	0.005	0.00142	0.00004	0.0295	0.00004	0.0000026	0.0002	0.0001	0.340
2015	0.005	0.00146	0.00004	0.0302	0.00005	0.0000030	0.0002	0.0001	0.392
2016	0.005	0.00145	0.00004	0.0298	0.00006	0.0000032	0.0002	0.0001	0.422



Aasta	NO <sub>x</sub>	VOC	CH <sub>4</sub>	CO	N <sub>2</sub> O	NH <sub>3</sub>	PM <sub>2.5</sub>	BC	FC
2017	0.007	0.00246	0.00008	0.0541	0.00008	0.0000045	0.0003	0.0002	0.599
2018	0.008	0.00283	0.00009	0.0620	0.00009	0.0000053	0.0003	0.0002	0.704
2019	0.008	0.00308	0.00010	0.0686	0.00010	0.0000055	0.0003	0.0002	0.730
2020	0.008	0.00333	0.00011	0.0752	0.00010	0.0000057	0.0004	0.0002	0.756

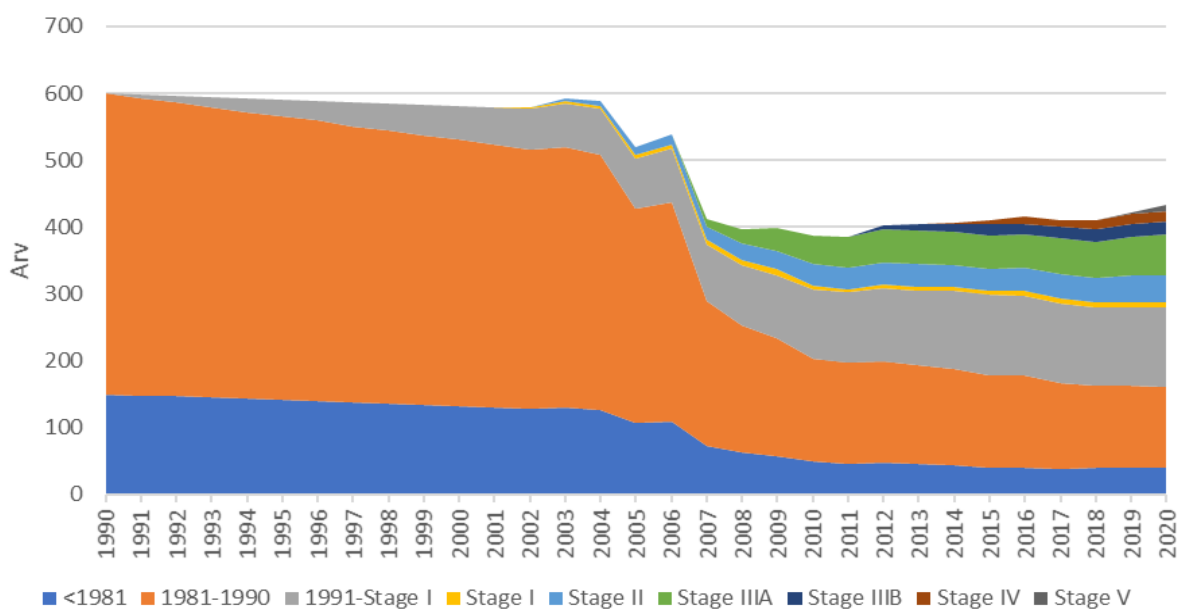
**Tabel 42 Sihtotstarbelise heitkogused ja kütuse tarbimine 1990-2020, bensiin kilotonni**

Aasta	NO <sub>x</sub>	VOC	CH <sub>4</sub>	CO	N <sub>2</sub> O	NH <sub>3</sub>	PM <sub>2.5</sub>	BC	FC
1990	0.0001	0.001	0.00004	0.035	0.000002	0.0000001	0.000004	0.0000002	0.031
1991	0.0001	0.001	0.00004	0.036	0.000002	0.0000001	0.000004	0.0000002	0.032
1992	0.0001	0.001	0.00004	0.036	0.000002	0.0000001	0.000004	0.0000002	0.033
1993	0.0001	0.001	0.00004	0.036	0.000002	0.0000001	0.000004	0.0000002	0.033
1994	0.0001	0.001	0.00004	0.037	0.000002	0.0000001	0.000004	0.0000002	0.034
1995	0.0001	0.001	0.00004	0.037	0.000002	0.0000001	0.000005	0.0000002	0.034
1996	0.0001	0.001	0.00004	0.037	0.000002	0.0000001	0.000005	0.0000002	0.035
1997	0.0001	0.001	0.00004	0.037	0.000002	0.0000001	0.000005	0.0000002	0.036
1998	0.0001	0.001	0.00004	0.038	0.000002	0.0000001	0.000005	0.0000002	0.036
1999	0.0001	0.001	0.00004	0.038	0.000002	0.0000001	0.000005	0.0000002	0.037
2000	0.0001	0.001	0.00004	0.038	0.000002	0.0000001	0.000005	0.0000002	0.037
2001	0.0002	0.001	0.00005	0.042	0.000002	0.0000001	0.000006	0.0000003	0.042
2002	0.0002	0.002	0.00005	0.046	0.000002	0.0000002	0.000006	0.0000003	0.047
2003	0.0002	0.002	0.00006	0.049	0.000003	0.0000002	0.000007	0.0000003	0.051
2004	0.0002	0.002	0.00006	0.053	0.000003	0.0000002	0.000007	0.0000004	0.056
2005	0.0002	0.002	0.00006	0.057	0.000003	0.0000002	0.000008	0.0000004	0.060
2006	0.0003	0.002	0.00007	0.060	0.000003	0.0000002	0.000009	0.0000004	0.065
2007	0.0003	0.002	0.00007	0.064	0.000003	0.0000002	0.000009	0.0000005	0.070
2008	0.0003	0.002	0.00008	0.068	0.000004	0.0000002	0.000010	0.0000005	0.074
2009	0.0003	0.002	0.00008	0.072	0.000004	0.0000003	0.000010	0.0000005	0.079
2010	0.0004	0.002	0.00006	0.050	0.000003	0.0000002	0.000008	0.0000004	0.056
2011	0.0004	0.002	0.00006	0.050	0.000003	0.0000002	0.000008	0.0000004	0.056
2012	0.0003	0.002	0.00006	0.048	0.000003	0.0000002	0.000008	0.0000004	0.054
2013	0.0004	0.002	0.00007	0.055	0.000004	0.0000002	0.000009	0.0000005	0.062
2014	0.0002	0.001	0.00003	0.027	0.000002	0.0000001	0.000004	0.0000002	0.031
2015	0.0002	0.001	0.00003	0.028	0.000002	0.0000001	0.000005	0.0000002	0.031
2016	0.0002	0.001	0.00003	0.027	0.000002	0.0000001	0.000004	0.0000002	0.030
2017	0.0004	0.002	0.00006	0.050	0.000003	0.0000002	0.000009	0.0000004	0.057
2018	0.0005	0.002	0.00007	0.058	0.000004	0.0000003	0.000010	0.0000005	0.066
2019	0.0005	0.002	0.00008	0.064	0.000004	0.0000003	0.000011	0.0000006	0.073
2020	0.0006	0.003	0.00009	0.071	0.000005	0.0000003	0.000012	0.0000006	0.081

**Tabel 43 Teetöötasinate jagunemine heitmestandardite kaupa, diisel tk**

Diisel	<1981	1981-1990	1991-Stage I	Stage I	Stage II	Stage IIIA	Stage IIIB	Stage IV	Stage V
1990	150	450							
1991	148	445	5						
1992	147	440	10						
1993	145	434	15						
1994	143	429	20						
1995	141	424	25						
1996	140	419	30						
1997	138	413	35						

Diisel	<1981	1981-1990	1991-Stage I	Stage I	Stage II	Stage IIIA	Stage IIIB	Stage IV	Stage V
1998	136	408	40						
1999	134	403	45						
2000	133	398	50						
2001	131	392	55	1					
2002	129	387	60	2					
2003	130	390	65	3	4				
2004	127	380	70	4	8				
2005	107	320	75	5	12				
2006	109	328	80	6	16				
2007	72	217	85	7	20	11			
2008	63	190	90	8	24	22			
2009	58	175	95	9	28	33			
2010	49	155	103	5	32	44			
2011	46	152	104	5	32	47			
2012	47	152	109	6	33	49	7		
2013	45	148	112	6	33	51	9		
2014	43	145	116	6	33	50	11	2	
2015	41	138	119	6	33	51	16	6	
2016	40	138	119	7	35	50	16	10	
2017	39	127	120	7	36	54	17	10	
2018	40	123	117	7	37	54	18	15	
2019	41	121	118	8	39	58	19	15	3
2020	41	119	119	8	40	62	19	15	10



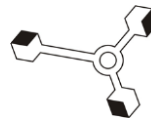
Joonis 45 Teetöomasinate jagunemine heitmestandardite kaupa, diisel tk

Tabel 44 Teetöomasinate heitkogused ja kütuse tarbimine 1990-2020, diisel kilotonni

Aasta	NO <sub>x</sub>	VOC	CH <sub>4</sub>	CO	N <sub>2</sub> O	NH <sub>3</sub>	PM <sub>2,5</sub>	BC	FC
1990	0.01	0.001	0.00003	0.004	0.00003	0.000002	0.001	0.0005	0.26
1991	0.01	0.001	0.00003	0.004	0.00003	0.000002	0.001	0.0005	0.25



Aasta	NO <sub>x</sub>	VOC	CH <sub>4</sub>	CO	N <sub>2</sub> O	NH <sub>3</sub>	PM <sub>2.5</sub>	BC	FC
1992	0.01	0.001	0.00003	0.004	0.00003	0.000002	0.001	0.0005	0.26
1993	0.01	0.001	0.00003	0.004	0.00003	0.000002	0.001	0.0005	0.26
1994	0.01	0.001	0.00003	0.004	0.00003	0.000002	0.001	0.0005	0.26
1995	0.01	0.001	0.00003	0.004	0.00003	0.000002	0.001	0.0005	0.26
1996	0.01	0.001	0.00003	0.004	0.00003	0.000002	0.001	0.0005	0.26
1997	0.01	0.001	0.00003	0.004	0.00003	0.000002	0.001	0.0005	0.26
1998	0.01	0.001	0.00003	0.004	0.00003	0.000002	0.001	0.0005	0.26
1999	0.01	0.001	0.00003	0.004	0.00003	0.000002	0.001	0.0005	0.26
2000	0.01	0.001	0.00003	0.004	0.00003	0.000002	0.001	0.0005	0.26
2001	0.01	0.001	0.00003	0.004	0.00003	0.000002	0.001	0.0005	0.26
2002	0.01	0.001	0.00003	0.004	0.00003	0.000002	0.001	0.0005	0.27
2003	0.01	0.001	0.00003	0.004	0.00004	0.000002	0.001	0.0005	0.28
2004	0.01	0.001	0.00003	0.004	0.00004	0.000002	0.001	0.0005	0.29
2005	0.01	0.001	0.00003	0.003	0.00004	0.000002	0.001	0.0004	0.26
2006	0.01	0.001	0.00003	0.003	0.00004	0.000002	0.001	0.0004	0.28
2007	0.01	0.001	0.00002	0.003	0.00003	0.000002	0.001	0.0003	0.25
2008	0.01	0.001	0.00002	0.003	0.00004	0.000002	0.001	0.0003	0.28
2009	0.01	0.001	0.00002	0.003	0.00004	0.000002	0.001	0.0003	0.30
2010	0.01	0.001	0.00002	0.003	0.00004	0.000002	0.001	0.0003	0.29
2011	0.01	0.001	0.00002	0.003	0.00004	0.000002	0.001	0.0003	0.29
2012	0.01	0.001	0.00002	0.003	0.00004	0.000002	0.001	0.0003	0.31
2013	0.01	0.001	0.00002	0.003	0.00004	0.000002	0.001	0.0003	0.32
2014	0.01	0.001	0.00001	0.002	0.00003	0.000002	0.000	0.0002	0.25
2015	0.01	0.001	0.00001	0.002	0.00004	0.000002	0.000	0.0002	0.26
2016	0.01	0.001	0.00002	0.002	0.00004	0.000002	0.000	0.0002	0.28
2017	0.01	0.001	0.00002	0.003	0.00005	0.000003	0.000	0.0003	0.35
2018	0.01	0.001	0.00002	0.004	0.00006	0.000003	0.001	0.0003	0.40
2019	0.01	0.001	0.00002	0.004	0.00006	0.000003	0.001	0.0003	0.41
2020	0.01	0.001	0.00002	0.004	0.00006	0.000003	0.001	0.0003	0.43



## 4.3 Transpordisektori KHG ja õhusaasteainete eriheitetegurite uuendamine (lõpp 2021)

Vastutav täitja: Kristin Puusepp, Stanislav Štökov,

### 4.3.1 Sissejuhatus

Euroopa Komisjon esitles 2019. aasta detsembris vastu Euroopa rohelise kakkuleppe<sup>4</sup>, mis näeb ette strateegiat, et saavutada ressursitõhusa ja konkurentsivõimelise majandusega Euroopa ning muuta Euroopa 2050. aastaks kliimanutraalseks. Üheks algatuseks on välja toodud, et transpordisektori heitkogused peaksid 2050. aastaks väheneda 90% võrra ning olulist tähelepanu pööratakse alternatiivkütuste arendamisele, nende toomisele ja kasutuselevõtu soodustamisele.

Transpordisektori eesmärke ja heitkoguseid reguleerivad Euroopa Liidus jõupingutuste jagamise määrus.

Jagatud kohustuse otsuse sektorite heitkogused moodustasid 2019. aastal EL-is kokku 57% koguheitest ning Eestis 42,2% riigi kasvuhoonegaaside koguheitest. 2019. aastal oli transpordisektori heide Eestis 2,39 miljonit tonni CO<sub>2</sub> ekv, millest maanteetransport moodustas 97,6%. Kogu sektori heitkogused moodustasid riiklikust kasvuhoonegaaside koguheitest 16,3%.

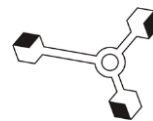
Töö eesmärk oli uuendada Eesti riikliku KHG inventuuri transpordisektori heitkoguste hinnanguid. Projekti eesmärgiks on erialakirjanduse analüüsime, et välja selgitada gaasiautode, -busside ja -veokite KHG (CH<sub>4</sub> ja N<sub>2</sub>O) ja välisõhu saasteainete (NO<sub>x</sub>, NMVOC) heitkogus sõiduki kilomeetri kohta. Selle tulemusel saab KHG inventuuris kajastada täpsemalt maanteetranspordis erinevatel kütustel (biometaan, CNG) sõitvate sõidukite heitkoguseid ning täpsustuvad Eesti transpordisektori kui jagatud kohustuse määrusega kaetud KHG heitkogused.

Käesoleva ajani on riikliku KHG inventuuri koostamisel CNG kütuse kasvuhoonegaaside CH<sub>4</sub> ja N<sub>2</sub>O heitkoguste arvutamiseks kasutatud 2006 IPCC juhistes esitatud eriheitetegurite vaikeväärteid ja Tier 1 metoodikat. Tier 1 on kõige üldisem metoodika ning arvutustes ei ole võimalik kasutada riigispetsiifilisi andmeid, mis Eesti sõidukipargi jaoks on saadaval (sõidukite arv ja läbisööt). Samuti on 2006 IPCC juhis pakutud eriheitetegurite määramatus võrdlemisi suur ning heitkogused võivad seetõttu olla ülehinnatud. Õhusaasteainete NO<sub>x</sub> ja NMVOC heitkoguste arvutamiseks on seni kasutatud maanteetranspordis kasvuhoonegaaside ja õhusaasteainete arvutamiseks kasutusel olevat programmi COPERT<sup>5</sup>.

Andmed gaasisõidukite kohta on Eesti kohta saadaval alates 2010 aastast, kui võeti kasutusele CNG linnaliinibussid. Tabel 45 on välja toodud olemasolevad kasvuhoonegaaside eriheitetegurid aastatele 2010-2019 KHG inventuuris kasutatakse CH<sub>4</sub> ja N<sub>2</sub>O heitkoguste arvutamise jaoks 2006 IPCC juhis olevaid 2006 IPCC juhis olevaid eriheitetegurite

<sup>4</sup> Euroopa Komisjoni teatis COM (2019) 640 final: <https://eur-lex.europa.eu/legal-content/ET/TXT/?uri=CELEX:52019DC0640>

<sup>5</sup> COPERT kodulehekülg <https://www.emisia.com/utilities/copert/>



vaikeväärtuseid eriheitetegureid. NO<sub>x</sub> ja NMVOC saasteainete heitkoguste jaoks arvutab COPERT vastavalt sisendandmetele ka eriheitetegurid, kuid neid eraldi heitkoguste arvutamisel ei kasutata. Tabel 46 on esitatud NO<sub>x</sub> ja NMVOC eriheitetegurid.

**Tabel 45 Olemasolevad eriheitetegurid 2010 - 2019**

Kategooria	Sõiduki liik	Kütus	CH <sub>4</sub> , kg/TJ	N <sub>2</sub> O, kg/TJ
1.A.3.b	sõiduauto	CNG	92	3
1.A.3.b	linnaliinibuss*	CNG	92	3
1.A.3.b	sõiduauto	biometaan	92	3
1.A.3.b	linnaliinibuss	biometaan	92	3

\* linnaliinibusside KHG-de heitkogused on arvestatud koos sõiduautodega

**Tabel 46 Olemasolevad eriheitetegurid 2010-2019**

Kategooria, sõiduki liik	Kütus	Saasteaine, g/km	2010	2011	2012	2013	2014	2015	2016	2017	2018	2019
1.A.3.b, sõiduauto	CNG*	NO <sub>x</sub>	-	0.064	0.064	0.062	0.061	0.060	0.056	0.057	0.056	0.056
1.A.3.b, sõiduauto	CNG	NMVOC	-	0.065	0.070	0.068	0.066	0.063	0.065	0.066	0.064	0.064
1.A.3.b, linnaliinibuss	CNG	NO <sub>x</sub>	4.087	4.087	4.087	4.087	4.087	4.087	4.087	4.146	4.111	4.119
1.A.3.b, linnaliinibuss	CNG	NMVOC	0.033	0.033	0.033	0.033	0.033	0.033	0.033	0.033	0.033	0.033

\* - biometaan võrdustatakse välisõhu saasteainete heitkoguste arvutamisel CNG-ga

#### 4.3.2 Andmebaasid

Eriheitetegurid koondati neljast erinevast andmebaasist – EMEP/EEA 2019<sup>6</sup>, HBEFA<sup>7</sup>, Lipasto<sup>8</sup> ja COPERT, ning valimisel arvestati, et need oleksid asjakohased, usaldusväärised ja spetsiifiliselt kasutatavad. Järgnevalt on esitatud kasutatud allikate lühikirjeldused ja sisu.

##### 4.3.2.1 EMEP/EEA 2019 air pollution inventory guidebook

EMEP/EEA 2019 õhusaasteainete käsiraamat<sup>9</sup> annab juhisid nii inimtekkeliste kui ka looduslike heiteallikate heitkoguste hindamiseks. Juhend toetab heitkoguste andmete edastamist ÜRO piiriülese õhusaaste kauglevi konventsiooni (CLRTAP) ja EL-i riiklike heitkoguste ülemmäärade direktiivi alusel. Juhendit annab välja Euroopa Keskkonnaagentuur. Käsiraamat on kätesaadav EEA koduleheküljelt.

Käsiraamat pakub eriheitetegureid tähtsaimatele õhusaasteainetele ja kasvuhoonegaasidele sõiduautodele, kergeveokitele, raskeveokitele, linnaliinibussidele ja mootorratastele. Eriheitetegureid on võimaldatud Tier 1 ja Tier 2 tasanditele ja on välja arvutatud, kasutades Tier 3 meetodit ja tüüpilisi Euroopa riikide keskmiseid tingimusi.

##### 4.3.2.2 HBEFA

HBEFA (Handbook Emission Factors for Road Transport) on Microsoft Access 2016 programm, mis pakub eriheitetegureid kõikidele praegustele maanteesõidukite kategooriatele. Mudelis

<sup>6</sup> EMEP/EEA 2019 kodulehekülg: <https://www.eea.europa.eu/publications/emep-eea-guidebook-2019>

<sup>7</sup> HBEFA kodulehekülg: <https://www.hbefa.net/e/index.html>

<sup>8</sup> Lipasto kodulehekülg: [http://lipasto.vtt.fi/yksikkopaastot/henkiloliikennee/tielikennee/henkilo\\_tiee.htm](http://lipasto.vtt.fi/yksikkopaastot/henkiloliikennee/tielikennee/henkilo_tiee.htm)



on määratletud 265 erinevat liiklusolukorda, mida esindava neli peamist parameetrit: piirkond (maapiirkond, linn), teetüüp, kiirused, ja liiklustiheduse tasand. HBEFA sisaldab riigipõhiseid andmekogumeid Saksamaa, Šveitsi, Austria, Prantsusmaa, Norra ja Rootsit kohta ning kasutatud on nende riikide tingimusi. Töö jaoks kasutati HBEFA 4.1 versiooni.

Kasutaja saab valida eriheitetegureid vastavalt jaotustele:

- Heitmete tüubi järgi – soekäivituse emissioonid (*„hot“ emissions*), külmkäivituse emissioonid (*cold start emissions*), kütuseaurud.
- Sõiduki kategooria järgi – sõiduautod, kergeveokid, raskeveokid, linnaliinibussid, kaugsõidubussid, mootorrattad.
- Aastate kaupa 1990-2050 (sisaldab kaudselt sõidukipargi koosseisu muutumist ajas Saksamaal, Austria, Šveitsis, Rootsis, Norras ja Prantsusmaal).
- Saasteainete kaupa – CO, HC, NO<sub>x</sub>, PM, mitmed HC komponendid (CH<sub>4</sub>, NMHC, benseen, tolueen, ksüleen), CO<sub>2</sub>, NH<sub>3</sub>, N<sub>2</sub>O, PN, PM ja kütuse tarbimine (bensiin, diisel). HBEFA-s on NMHC võrdsustatud NMVOC-iga.
- Programm pakub soovitud eriheitetegureid kas kaalutud eriheiteteguritena (sõidukikategooriate kaupa), eriheiteteguritena kontseptsiooni kaupa (nt tavalised; katalüsaatoriga; diiselmootoriga sõiduautod jne), kütuse tüubi kohta (bensiin, diislikütus) või alamkategooria kohta (nt Euro-5 diiselmootoriga sõiduautod).

#### 4.3.2.3 Lipasto

Lipasto on Soome eriheitetegurite ja energiakasutuse andmebaas. Seda haldab VTT Tehnilise Uuringu Keskus ja andmebaasi kasutatakse heitkoguste ja energiatarbimise välja arvutamiseks Soomes, kattes maantee-, vee- ja õhutranspordi. Lipasto pakub gaasisõidukite eriheitetegureid sõiduautodele ja linnaliinibussidele emissioonitehnoloogia ja teetüubi kaupa tähtsamatele õhusaasteainetele ja kasvuhoonegaasidele, samuti keskmisi vääruseid. Andmebaas on kätesaadav Lipasto koduleheküljel.

Lipasto andmed on avaldatud 2017. aastal 2016. aasta kohta. Hilisemaid andmeid ei ole saadaval. Tulemused on esitatud vastavalt Soome tingimustele eraldi reisijate- ja kaubaveo kohta, võttes arvesse tegelikku reisijate arvu ja kauba koguseid, ning on antud kõikidele gaasi kasutavatel sõidukitele, sh CNG, LPG ja biometaan.

#### 4.3.2.4 COPERT

COPERT on MS Windows tarkvaraprogramm, mida kasutatakse saasteainete heitkoguste väljaarvutamiseks maanteetranspordis. COPERT programmi arendab Euroopa Keskkonnaagentuur. Programm vajab kasutaja sisendit sõidukipargi, liiklusolukordade, kütuse kasutuse ja kiiruste kohta ning selle kaudu arvutatakse välja eriheitetegurid aastate kaupa. Eriheitetegureid on võimalik saada sõiduautodele, kerge- ja raskeveokitele, linnaliinibussidele ja mootorratastele sõiduki suuruse ja emissioonitehnoloogia kaupa ja need välja toodud põhilistele õhusaasteainetele ja kasvuhoonegaasidele. Töös kasutati COPERT 5.5.1 versiooni.



COPERT metoodika on osa EMEP/EEA 2019 õhusaasteainete inventuuri käsiraamatust ja on täielikult kooskõlas juhendi maanteetranspordi peatükiga. Eriheitetegurid on saadud mõõtmiste interpoleerimisel keskmise kiiruse funktsioonina.

#### 4.3.3 Metoodika

Eriheitetegurite kindlaks määramiseks teostati eelnevas peatükis kirjeldatud andmebaaside analüüs. Kuna Eesti jaoks on olemas andmed CNG sõidukite kohta alates aastast 2010, siis võimalusel koondati andmed nendele aastatele.

HBEFA-s leidus eriheitetegureid sõiduautodele, linnaliinibussidele ja kergeveokitele emissioonitehnoloogiate kaupa. Andmete üldistamiseks võeti emissioonitehnoloogiate eriheitetegurite aritmeetiline keskmine igale teetüübile: linnatee (*urban road*), maantee (*rural road*) ja kiirtee (*motorway*). Selleks, et eriheitetegurid oleksid võimalikult täpselt võrreldavad Eesti tingimustega, arvutati lõpptulemuse saamiseks eriheitetegurid kaalutud keskmise meetodil aastatele 2010-2019, kasutades olemasolevaid Eesti teetüüpide osakaale, mis on saadaval COPERT-is. Teetüüpide osakaalud on leitavad lisas.

Lipastos on kasutatud Soome tingimusi ning eriheitetegurid on esitatud aastale 2016, samuti on eraldi välja toodud 2016. aasta keskmise, võttes arvesse emissioonitehnoloogiate kaalutud keskmiseid väärtsuseid läbisõidu alusel. Eriheitetegurid on grupeeritud emissioonitehnoloogiate, teetüüpide (linnatee, kiirtee) ning linnaliinibussidel ka reisijate arvu järgi, st täis (43 reisijat) ja tühhadele bussidele. Lõpptulemuse saamiseks on arvutatud eriheitetegurid sõiduautode puhul teetüüpide ning linnaliinibusside puhul teetüüpide ja bussi koormatuse (täis+tühji) aritmeetilise keskmisenä.

Viimasena vaadeldi Roots, Saksamaa, Norra ja Soome välisõhutemperatuure ning võrreldi neid Eesti temperatuuridega. Võrdluse tulemusel selgitati välja Eestiga kõige sarnasemad tingimused ja anti hinnang, milliseid eriheitetegureid on võimalik kõige täpsemini kasutada

#### 4.3.4 Eriheitetegurid

Järgnevalt on välja toodud allikatest leitud eriheitetegurid CNG sõiduautodele, linnaliinibussidele, kergeveokitele ja raskeveokitele.

HBEFA-s puudub N<sub>2</sub>O eriheitetegur linnaliinibussidele on üle võetud EMEP/EEA 2019 käsiraamatust, milles on linnaliinibussidele ja raskeveokitele N<sub>2</sub>O eriheitetegurid märgitud kui n.a.<sup>10</sup>.

Kõik eriheitetegurid looteluna on esitatud Lisas 1.

##### 4.3.4.1 Sõiduautod

HBEFA-st kogutud Roots ja Saksamaa eriheitetegurid CNG sõiduautodele on esitatud alljärgnevates tabelites.

<sup>10</sup> EMEP/EEA air pollutant emission inventory guidebook 1.A.3.b.i-iv Road Transport 2019, lk 30: <https://www.eea.europa.eu/publications/emep-eea-guidebook-2019/part-b-sectoral-guidance-chapters/1-energy/1-a-combustion/1-a-3-b-i-view>

**Tabel 47 Roots ja Saksamaa eriheitetegurid sõiduautodele, g/km**

Saasteaine	Rootsi	Saksamaa	Rootsi	Saksamaa	Rootsi	Saksamaa	Rootsi	Saksamaa
	CH <sub>4</sub>		N <sub>2</sub> O		NO <sub>x</sub>		NMVOC	
2010	0.0284	0.0386	0.0004	0.0005	0.1397	0.0955	0.0025	0.0034
2011	0.0285	0.0386	0.0004	0.0005	0.1506	0.1002	0.0025	0.0034
2012	0.0285	0.0387	0.0004	0.0005	0.1545	0.1042	0.0025	0.0034
2013	0.0286	0.0387	0.0004	0.0005	0.1647	0.1085	0.0025	0.0034
2014	0.0286	0.0387	0.0004	0.0005	0.1732	0.1129	0.0025	0.0034
2015	0.0266	0.0387	0.0004	0.0005	0.1373	0.117	0.0023	0.0034
2016	0.0266	0.0387	0.0004	0.0006	0.1331	0.124	0.0023	0.0034
2017	0.0266	0.0387	0.0004	0.0006	0.1608	0.1331	0.0023	0.0034
2018	0.0266	0.0387	0.0004	0.0006	0.1389	0.1398	0.0023	0.0034
2019	0.0266	0.0387	0.0004	0.0006	0.1462	0.1396	0.0023	0.0034

EMEP/EEA 2019 käsiraamatust ja Lipasto andmebaasist kogutud eriheitetegurid CNG sõiduautode jaoks on toodud alljärgnevas tabelis.

**Tabel 48 Lipasto ja EMEP/EEA 2019 eriheitetegurid sõiduautodele, g/km**

Allikas	Riik	CH <sub>4</sub>	N <sub>2</sub> O	NO <sub>x</sub>	NMVOC
Lipasto	Soome	0.0114	0.0123	0.0448	-
EMEP/EEA 2019	-	0.0428	-	-	-

Eesti eriheitetegurid CNG sõiduautodele, mis on vastavalt sisendandmetele arvutatud COPERTis, on esitatud alljärgnevas tabelis.

**Tabel 49 Eesti eriheitetegurid sõiduautodele, g/km**

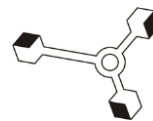
Saasteaine	2010	2011	2012	2013	2014	2015	2016	2017	2018	2019
CH <sub>4</sub>	-	0.077	0.084	0.081	0.078	0.075	0.077	0.078	0.076	0.075
N <sub>2</sub> O	-	0.002	0.002	0.002	0.002	0.001	0.001	0.001	0.001	0.001

#### 4.3.4.2 Linnaliinibussid

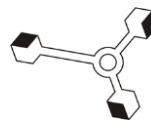
HBEFA-st kogutud Roots, Saksamaa ja Norra eriheitetegurid CNG linnaliinibussidele on esitatud alljärgnevates tabelites.

**Tabel 50 Roots, Saksamaa, Norra eriheitetegurid linnaliinibussidele, g/km**

	Rootsi	Saksamaa	Norra	Rootsi, Saksamaa, Norra	Rootsi	Saksamaa	Norra	Rootsi	Saksamaa	Norra
	CH <sub>4</sub>			N <sub>2</sub> O	NOx			NMVOC		
2010	0.3355	0.542	0.353	0	5.497	9.301	6.065	0.029	0.047	0.031
2011	0.3779	0.542	0.337	0	5.661	9.301	5.534	0.033	0.047	0.029



2012	0.3779	0.506	0.29	0	5.661	8.224	4.28	0.033	0.044	0.025
2013	0.3779	0.506	0.29	0	5.661	8.224	4.28	0.033	0.044	0.025
2014	0.2708	0.506	0.29	0	3.464	8.224	4.28	0.024	0.044	0.025
2015	0.2919	0.506	0.301	0	3.494	8.224	3.699	0.025	0.044	0.026
2016	0.2726	0.506	0.336	0	4.015	8.224	3.465	0.024	0.044	0.029
2017	0.2564	0.506	0.336	0	3.177	8.224	3.465	0.022	0.044	0.029
2018	0.2559	0.47	0.294	0	3.453	7.366	2.842	0.022	0.041	0.026
2019	0.2559	0.47	0.294	0	3.453	7.366	2.842	0.022	0.041	0.026



EMEP/EEA 2019 käsiraamatust ja Lipasto andmebaasist kogutud eriheitetegurid CNG sõiduautode jaoks on toodud alljärgnevas tabelis.

**Tabel 51 Lipasto ja EMEP/EEA 2019 eriheitetegurid sõiduautodele, g/km**

Allikas	Riik	CH <sub>4</sub> , g/km	N <sub>2</sub> O, g/km	NO <sub>x</sub> , g/km	NMVOC, g/km
Lipasto	Soome	3.25	0.033	8.80	-
EMEP/EEA	-	3.39	-	11.0	0.195

Eesti eriheitetegurid CNG sõiduautodele, mis on vastavalt sisendandmetele arvutatud COPERTis, on esitatud Tabel 52.

**Tabel 52 Eesti eriheitetegurid linnaliinibussidele, g/km**

Saasteaine	2010	2011	2012	2013	2014	2015	2016	2017	2018	2019
CH <sub>4</sub>	-	0.077	0.084	0.081	0.078	0.075	0.077	0.078	0.076	0.075
N <sub>2</sub> O	-	0.002	0.002	0.002	0.002	0.001	0.001	0.001	0.001	0.001

#### 4.3.4.3 Kergeveokid

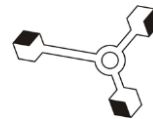
Kergeveokid (*Light Commercial Vehicles*) on veokid, mille täismass on kuni 3.5 tonni (<3.5t), nende kohta leidus eriheitetegureid HBEFA-s. Rootsri ja Saksamaa eriheitetegurid CNG kergeveokitele on esitatud alljärgnevates tabelites.

**Tabel 53 Rootsri eriheitetegurid kergeveokitele, g/km**

Saasteaine	2010	2011	2012	2013	2014	2015	2016	2017	2018	2019
CH <sub>4</sub>	0.028	0.028	0.029	0.029	0.029	0.027	0.027	0.027	0.027	0.027
N <sub>2</sub> O	0.0004	0.0004	0.0004	0.0004	0.0004	0.0004	0.0004	0.0004	0.0004	0.0004
NO <sub>x</sub>	0.140	0.151	0.155	0.165	0.174	0.138	0.134	0.161	0.139	0.147
NMVOC	0.002	0.002	0.002	0.002	0.002	0.002	0.002	0.002	0.002	0.002

**Tabel 54 Saksamaa eriheitetegurid kergeveokitele, g/km**

Saasteaine	2010	2011	2012	2013	2014	2015	2016	2017	2018	2019
CH <sub>4</sub>	0.051	0.051	0.051	0.051	0.051	0.046	0.046	0.044	0.044	0.044
N <sub>2</sub> O	0.001	0.001	0.001	0.001	0.001	0.001	0.001	0.001	0.001	0.001
NO <sub>x</sub>	0.248	0.260	0.272	0.284	0.286	0.257	0.255	0.249	0.257	0.263
NMVOC	0.004	0.004	0.004	0.004	0.004	0.004	0.004	0.004	0.004	0.004



#### 4.3.4.4 Raskeveokid

Raskeveokid (*Heavy Goods Vehicles*) on veokid, mille täismass on suurem kui 3.5 tonni (>3.5t). Eriheitetegurid veokitele, mille kütuseks on CNG, on toodud saasteainete kaupa alljärgnevas tabelis.

**Tabel 55 Eriheitetegurid raskeveokitele**

Allikas	Riik	CH <sub>4</sub> , g/km	N <sub>2</sub> O, g/km	NO <sub>x</sub> , g/km	NMVOC, g/km
EMEP/EEA	-	3.390	-	-	-

#### 4.3.5 Välisõhutingimused

Järgmisena võrreldi allikatest saadud välisõhutemperatuure Eesti välisõhutemperatuuriga. Välisõhutemperatuurid on välja toodud alljärgnevas tabelis. Rootsi, Norra ja Saksamaa keskmised õhutemperatuurid on arvutatud HBEFA andmebaasist saadud temperatuuride põhjal. Temperatuurid on leitavad lisast. Soome õhutemperatuuriks on valitud Helsingi keskmine Soome meteoroloogilise instituudi<sup>11</sup> kodulehelt. Eesti keskmine õhutemperatuur on Riigi Ilmateenistuse veebilehel<sup>12</sup>.

**Tabel 56 Keskmised välisõhutemperatuurid**

Riik	Keskmine välisõhutemperatuur, °C
Rootsi	5.9
Norra	7.1
Saksamaa	9.3
Soome	6.3
Eesti	6.4

#### 4.3.6 Eriheitetegurite valik

Kõige rohkem andmeid on saadaval Rootsi, Norra ja Saksamaa kohta HBEFA andmebaasist. Andmebaasis on saadaval andmed kasutatud temperatuuride ja teekatete osakaalude kohta, samuti on eriheitetegurid saadaval aastate lõikes. HBEFA-s puuduvad eriheitetegurid N<sub>2</sub>O kohta linnaliinibussidele ja raskeveokitele.

Lipasto andmebaasist leiab andmeid sõiduautode ja linnaliinibusside kohta, kuid mitte NMVOC kohta sõiduautodele ja N<sub>2</sub>O kohta linnaliinibussidele. Samuti puudub info temperatuuride kohta, mida on kasutatud eriheitetegurite leidmisel. Andmeid leiab teekatete osakaalude kohta. Linnaliinibusside kohta on andmed bussi massi kohta (täis buss või tühi buss). Kõik eriheitetegurid on antud 2016. aastale ning varasemate või hilisemate aastate kohta andmed puuduvad. Eriheitetegurid on mõeldud kõikidele gaasiga sõitvatele sõidukitele, sh CNG, biometaan ja LPG.

EMEP/EEA andmebaasis leidub andmeid eriheitetegurite tingimuste kohta kõige vähem. Kasutatud on Euroopa keskmiseid teekatete osakaalusid ning temperatuure. Puuduvad N<sub>2</sub>O,

<sup>11</sup> Soome meteoroloogiline instituut kodulehekülg: <https://en.ilmatieteenlaitos.fi/>

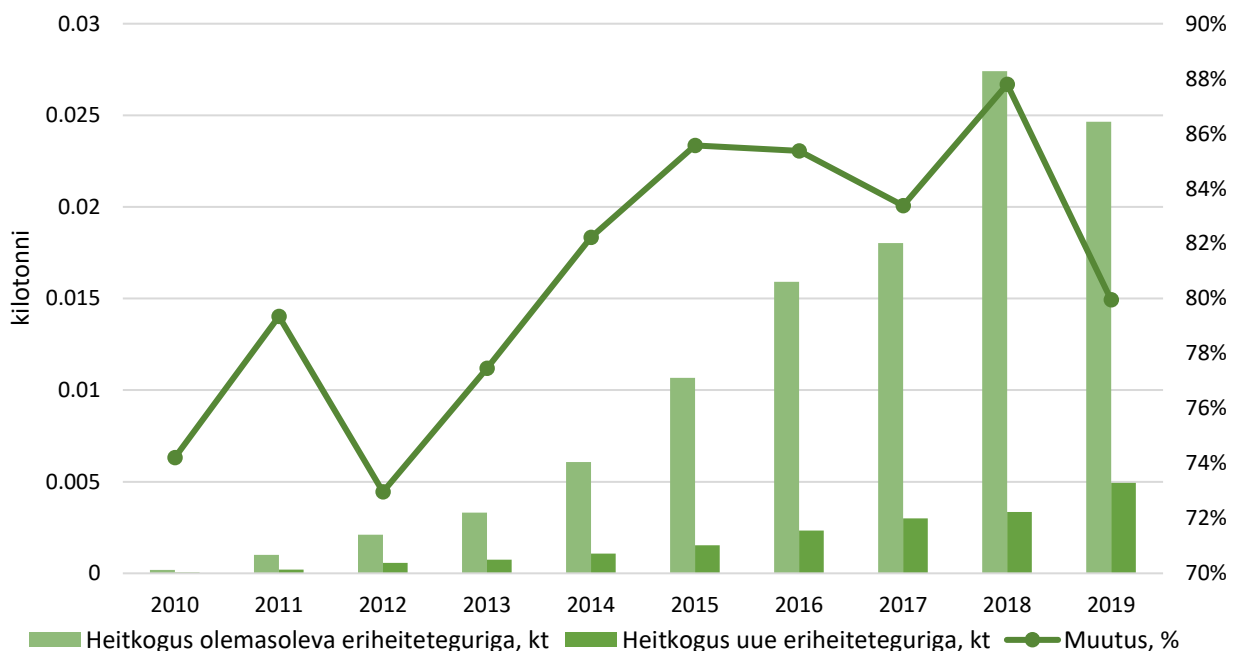
<sup>12</sup> Riigi Ilmateenistus kodulehekülg: <https://www.ilmateenistus.ee/>

$\text{NO}_x$  ja NMVOC eriheitetegurid sõiduautodele ja raskeveokitele ning  $\text{N}_2\text{O}$  eriheitetegurid linnaliinibussidele.

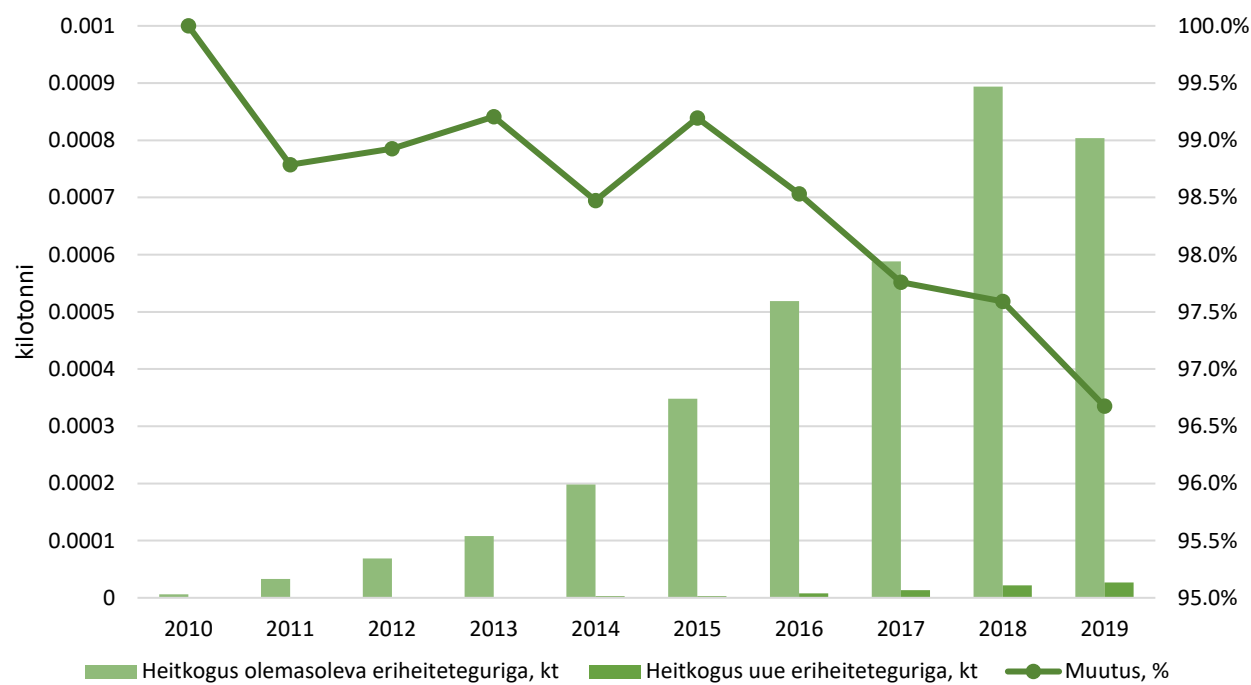
Tuginedes välisõhutingimustele, on Eestiga köige sarnasemad tingimused Soomes ja Rootsis. Vastavalt võrdlusele on võimalik kõikidele sõidukiliikidele  $\text{CH}_4$ ,  $\text{N}_2\text{O}$  ja  $\text{NO}_x$ , NMVOC jaoks kasutusele võtta Rootsi eriheitetegurid HBEFA-st, sest andmete täpsus on köige parem. Uued eriheitetegurid saab kasutusele võtta sõiduautodele, linnaliinibussidele ja kergeveokitele, sest nende sõidukiliikide kohta leidus andmeid köige rohkem.

#### 4.3.7 Kontrollarvutused

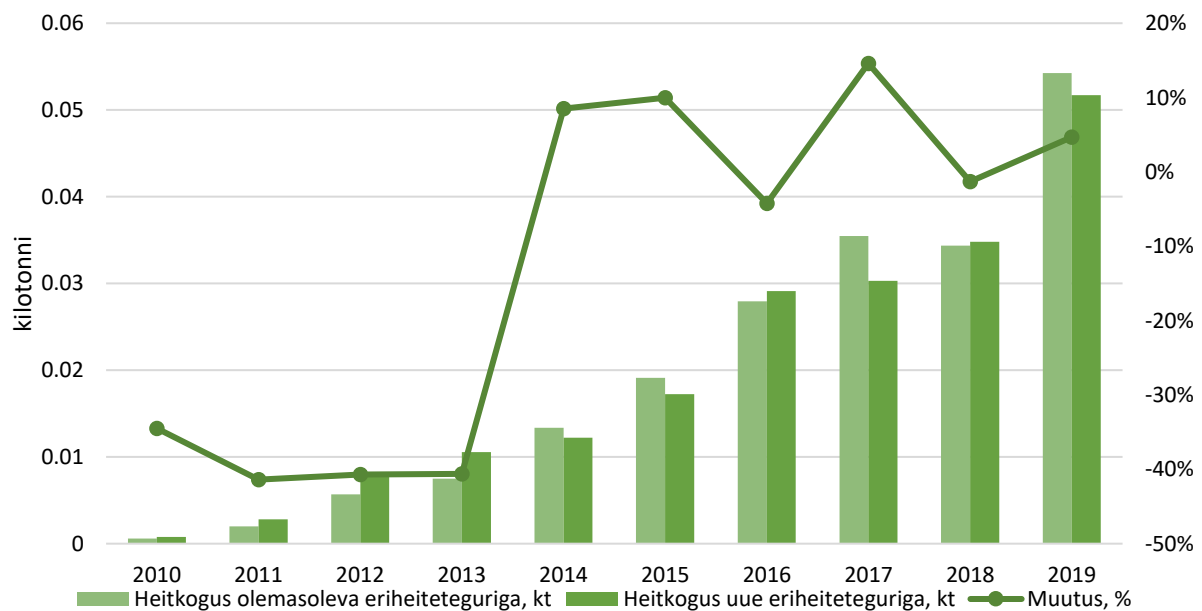
Kontrollarvutused on teostatud heitkogustele praeguste eriheiteteguritega ja uute eriheiteteguritega. Heitkogused on välja toodud summaarselt sõiduautodele ja linnaliinibussidele, kuna Eestil puuduvad teiste sõidukiliikide kohta andmed. Graafikutel on välja toodud heitkogus olemasolevate eriheiteteguritega ja uute eriheiteteguritega ning muutus protsentides alljärgnevatel joonistel.



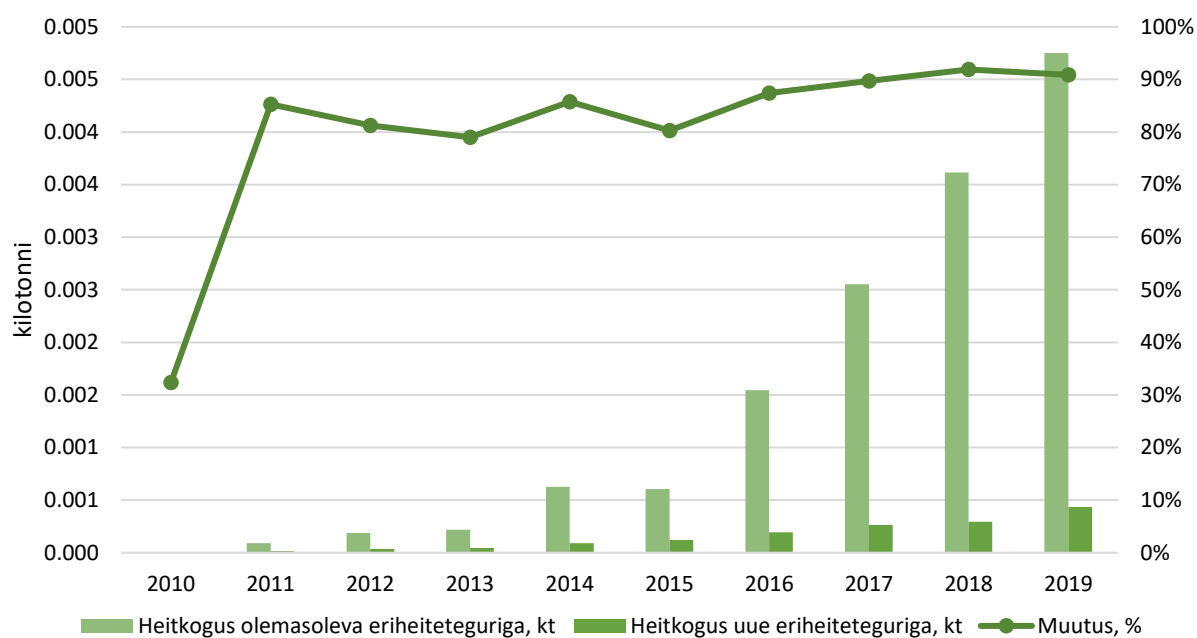
Joonis 46 CH<sub>4</sub> heitkoguste võrdlus 2010-2019



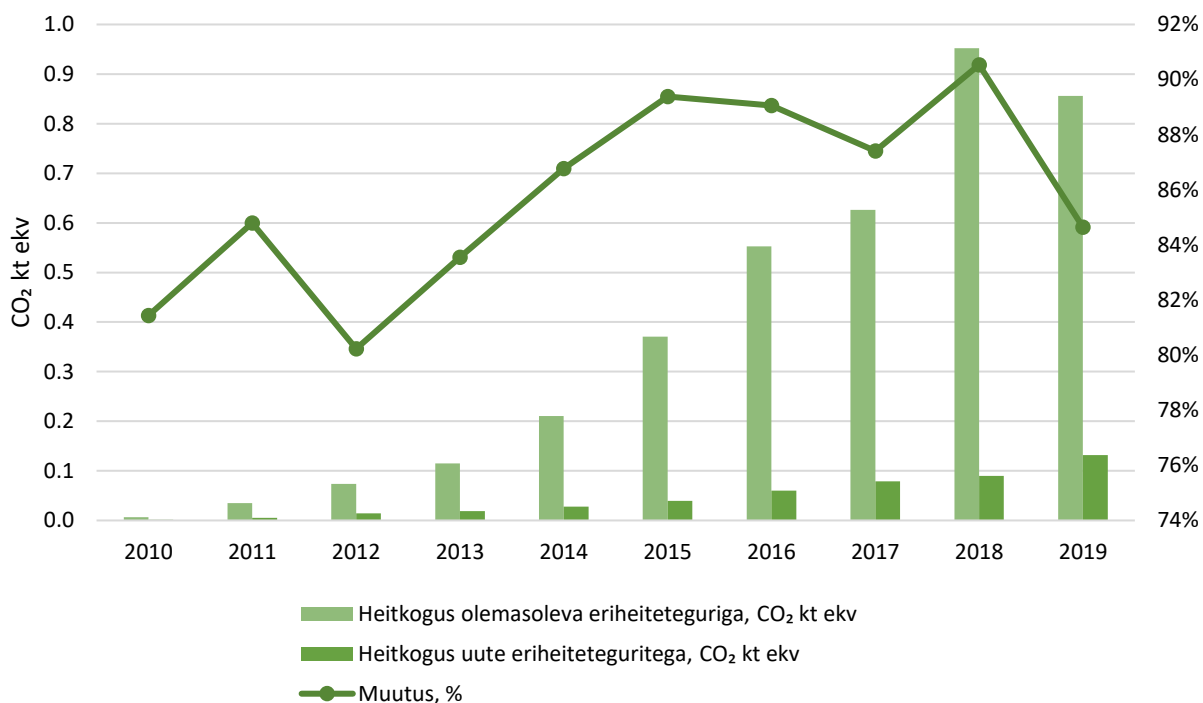
Joonis 47 N<sub>2</sub>O heitkoguste võrdlus 2010-2019



Joonis 48 NO<sub>x</sub> heitkoguste võrdlus 2010-2019


**Joonis 49 NMVOC heitkoguste võrdlus 2010-2019**

Kasvuhoonegaaside CH<sub>4</sub> ja N<sub>2</sub>O muutus CNG sõidukitele on esitatud CO<sub>2</sub> ekvivalendina alljärgneval joonisel.

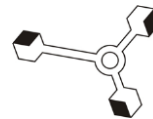

**Joonis 50 Kasvuhoonegaaside heitkoguste võrdlus 2010-2019**



#### 4.3.8 Transpordisektori KHG ja õhusaasteainete eriheitetegurite uuendamise kokkuvõte

Töös analüüsiti erinevaid andmebaase selgitamaks välja eriheitetegurid kasvuhoonegaasidele CH<sub>4</sub> ja N<sub>2</sub>O ning õhusaasteainetele NO<sub>x</sub> ja NMVOC, et parandada ja täpsustada KHG-de inventuuris transpordisektori gaasisõidukite heitkoguseid. Andmebaasist kogutud andmete analüüsni käigus selgus, et kasutusele on võimalik võtta Roots'i eriheitetegurid.

Kontrollarvutustest nähtub, et uute eriheitetegurite kasutusele võtuga langeksid CH<sub>4</sub> heitkogused 74-88%, N<sub>2</sub>O heitkogused 97-100%, NO<sub>x</sub> heitkogused langeksid 3-14%, kuid tõuseksid aastatel 2010, 2011, 2012, 2013 ja 2016, sest uued eriheitetegurid on nendel aastatel kõrgemad kui olemasolevad. NMVOC heitkogused langeksid 12-91%. Kasvuhoonegaaside heitkogused CO<sub>2</sub> ekv langeksid 4.4-5.0%.



## 4.4 Transpordisektori biokütuste analüüs (lõpp 2022)

Vastutav täitja: Kristin Puusepp

### Sissejuhatus

Euroopa Komisjon võttis 2019. aasta detsembris vastu Euroopa rohelise kakkuleppe<sup>13</sup>, mis näeb ette strateegiat, et muuta Euroopa 2050. aastaks kliimaneutraalseks. Üheks algatuseks on välja toodud, et transpordisektori heitkogused peaksid 2050. aastaks vähenema 90% võrra ning olulist tähelepanu pööratakse alternatiivkütuste arendamisele, nende toomisele ja kasutuselevõtu soodustamisele.

Transpordisektori eesmärke ja heitkoguseid reguleerivad Euroopa Liidus jagatud kohustuse otsus ja jagatud kohustuse määrus.

Euroopa parlament ja nõukogu võtsid 23. aprillil 2009 vastu jagatud kohustuse otsuse (ESD)<sup>14</sup>, mille kohaselt on liikmeriikidel kohustuslikud iga-aastased kasvuhoonegaaside vähendamise või piiramise eesmärgid aastateks 2013-2020 kõikides sektorites, mis ei kuulu lubatud heitkoguste ühikute kauplemise süsteemi (HKS). Euroopa Liidu ühine eesmärk on vähendada heitkoguseid 10% võrra võrreldes 2005. aastaga ning Eestil oli lubatud kuni 11%-ne kasv võrreldes 2005. aastaga.

30. mail 2018 võeti vastu aastateks 2021-2030 uus liikmesriikide vaheline kakkulepe ehk jagatud kohustuse määrus (ESR)<sup>15</sup>, milles käsitletakse liikmesriikide kohustust vähendada kasvuhoonegaaside heidet aastatel 2021–2030, ning pikendati ja täiendati ESD süsteemi 2030. aastani, eesmärgiga täita Pariisi kliimaleppega võetud kohustusi. EL-il on kohustus summaarselt vähendada heiteid 30% võrreldes 2005. aasta tasemega ning Eesti on eesmärgiks võtnud vähendada heitkoguseid 13%.

Euroopa Komisjon esitas 14. juulil 2021 paketi „Eesmärk 55“ („Fit for 55“)<sup>16</sup>, mille sisuks on ettepanekud ELi õigusaktide läbivaatamiseks ja ajakohastamiseks. Paketi kohaselt suurendatakse ettepanekuga ESR sektorite kasvuhoonegaaside heitkoguste vähendamist seniselt 30%-lt 40%-le võrreldes 2005. aasta tasemega. Eestile tähendaks see senise 13% vähendamise asemel 24%-st kasvuhoonegaaside heitkoguste vähendamist ESR sektoris.

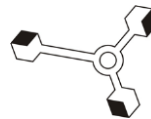
2020. aastal oli transpordisektori heide Eestis 2,25 miljonit tonni CO<sub>2</sub> ekvivalenti, millega maanteenetransport moodustas 97,3%. Kogu sektori heitkogused moodustasid riiklikust kasvuhoonegaaside koguheitest 18,8%.

<sup>13</sup> Euroopa Komisjoni teatis COM (2019) 640 final: <https://eur-lex.europa.eu/legal-content/ET/TXT/?uri=CELEX:52019DC0640>

<sup>14</sup> Euroopa Parlamendi ja nõukogu otsus nr 406/2009/EÜ: <https://eur-lex.europa.eu/legal-content/ET/TXT/?qid=1507005285645&uri=CELEX:32009D0406>

<sup>15</sup> Euroopa Parlamendi ja nõukogu määrus nr (EL) nr 2018/842: <https://eur-lex.europa.eu/legal-content/ET/TXT/HTML/?uri=CELEX:32018R0842&from=EN>

<sup>16</sup> Euroopa Parlamendi ja nõukogu määrus COM(2021) 555 final: <https://eur-lex.europa.eu/legal-content/ET/TXT/?uri=CELEX:52021PC0555>



Seoses segamiskohustusega võetakse järk-järgult kasutusele vedelad biokütused, mille tootmiseks on kasutusel fossiilse päritoluga tooraineid, mida peab kajastama KHG inventuuris. Kütuse tarbimisse lubajal on kohustus alates 1.05.2018 lisada mootoribensiini ja diislikütusesse biokütust selliselt, et selle koguenergia osakaal kütuses oleks vähemalt 3,1%. Alates 01.04.2019 6,4%, alates 01.01.2020 10%, kuid mitte vähem kui 6,4% igas liitris, alates 01.01.2021 10% ja alates 01.01.2022 vähemalt 7,5%<sup>17</sup>.

Praeguseni on KHG inventuuris kasutatud fossiilse tooraine osakaalu, mis ei sisalda riigispetsiifilisi hinnanguid biokütuse tootmisele kulunud fossiilse tooraine kohta. Eesti on saanud selle teema osas ka ÜRO auditisoovituse.

Töö eesmärk on uuendada Eesti riikliku KHG inventuuri biokütuste heitkoguste hinnanguid transpordisektoria hinnanguid. Projekti eesmärgiks on erialakirjanduse analüüsime, et välja selgitada biokütuste tootmisele kulunud fossiilse tooraine osakaalu vedelate biokütuste tootmisel ning täpsustada fossiilset ja biogeenset päritolu CO<sub>2</sub> heitkoguseid biokütustest. Vedelate biokütuste alla kuuluvad biodiisel ja bioetanol.

Käesoleva ajani on riikliku KHG inventuuri koostamisel vedelate biokütuste CO<sub>2</sub> heitkoguste arvutamiseks kasutatud väikeväärtsuseid, mida on võimalik uuendada, ja Tier 1 metodikat. Tier 1 on köige üldisem metodika ning arvutustes ei ole võimalik kasutada riigispetsiifilisi andmeid, mida saab Eestis osade vedelatele biokütustele kindlaks määrata. Aruandes on välja toodud olemasolevad andmed, mida kasutatakse biodiisli ja bioetanooli CO<sub>2</sub> heitkoguste arvutamiseks.

IPCC 2006 juhistes puuduvad täpsemad andmed fossiilse süsiniku osakaalud biokütuste kohta, mida arvutustes kasutada. 2018. aastal ÜRO audit käigus liikmesriigi poolt tõstatatud teema järgselt loodi dokument, mille eesmärk on tagada liikmesriikide vahel ühtne seisukoht, et leppida kokku võimalikud viisid, kuidas hinnata biokütuste fossiilse süsinikusisaldusega seotud CO<sub>2</sub> heitkoguseid. Dokument hõlmab kõiki võimalikke biokütuse liike, mida kasutatakse diisli ja bensiini asendamiseks. Euroopa Liidu liikmesriikide vahel lepiti dokumendi sisus kokku WG I kohtumisel 2018. aasta oktoobris ning see on avaldatud teadusartiklina<sup>18</sup>.

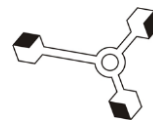
## Biodiislikütus

Tänapäeval tuntakse maailmas kahte liiki biodiislikütust – FAME (*Fatty Acid Methyl Ester*) ja HVO (*Hydrotreated Vegetable Oil*). Mõlema tooraineeks on biomass (taimed õlid, loomsed rasvad), kuid nende toomise tehnoloogiad on erinevad. FAME-t kasutatakse alati segatuna diislikütusesse, kus selle sisaldus ei tohi ületada seitset mahuprotsenti<sup>17</sup>, HVO-d segatakse samuti diislikütusesse sama sisalduse juures või kasutatakse 100% puhtana.

FAME ehk rasvhapete metüülestrid on esimese põlvkonna biokütus, mis on saadud taimsete õlide või loomsete rasvade reageerimisel metanooliga katalüsaatorite juuresolekul, moodustades rasvhappe metüülestri ja glütserooli. Glütserool eraldatakse kõrvalsaadusena.

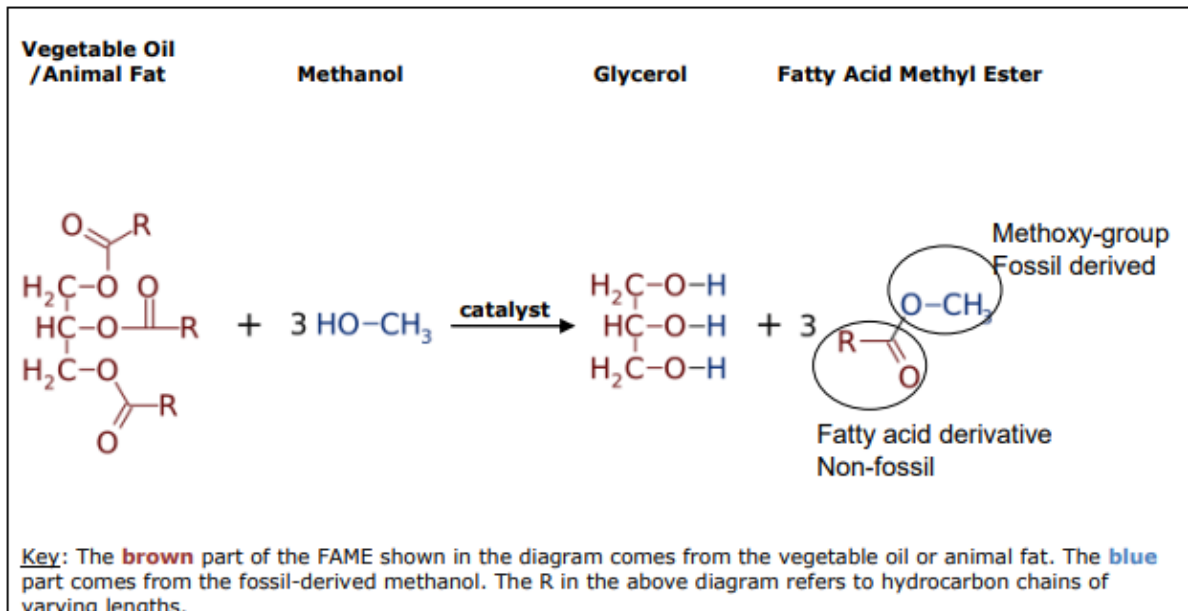
<sup>17</sup>Vedelkütuse seadus, RT I 2003, 21, 127: <https://www.riigiteataja.ee/akt/118052022017?leiaKehtiv>

<sup>18</sup>Carbon Management, Volume 12, 2022: Fossil fraction of CO<sub>2</sub> emission of biofuels <https://www.tandfonline.com/doi/full/10.1080/17583004.2022.2046173>



FAME toomisel kasutatakse fossiilse päritoluga metanooli ja fossiilse süsiniku osa on pärit metanooli metüülgrupist. Alloleval joonisel on välja toodud FAME tootmise keemiline reaktsioon ja fossiilse süsiniku päritolu.

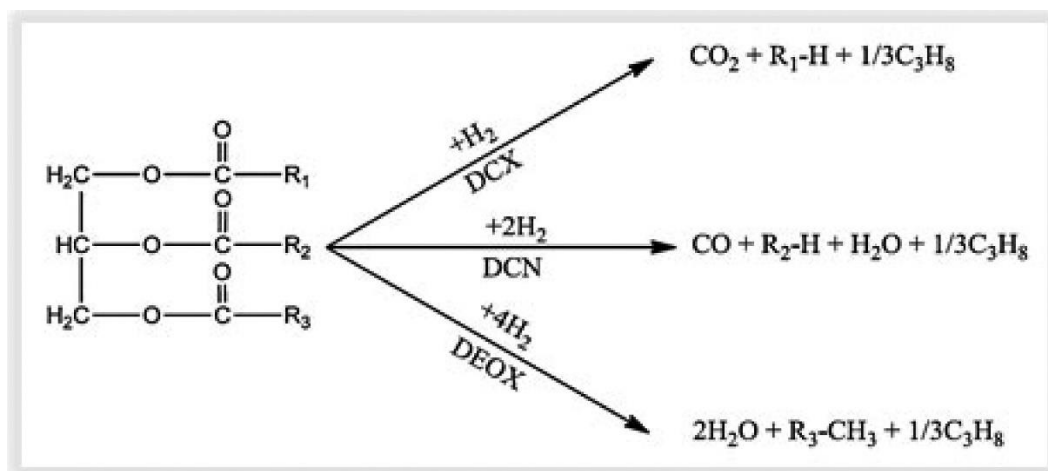
Fossiilse süsiniku osakaal FAME-s on vahemikus 5.3-5.5% ja sõltub taimse või loomse rasva tüübist, mida toorainena kasutatakse<sup>18</sup>.



### Joonis 51 FAME tootmise keemiline reaktsioon<sup>19</sup>

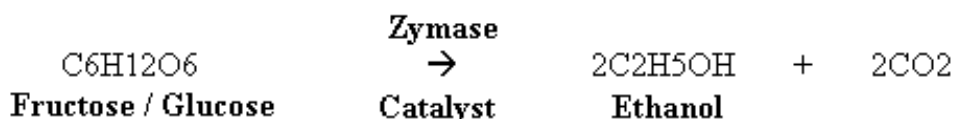
HVO ehk hüdrogeenitud taimeõli on teise põlvkonna biokütus, mis on toodetud triglütseriide sisaldavate lähtearvmete (taimne õli, loomne rasv, biomassi jäätmed või jäigid) hüdrotoötlusel. Kogu süsinikku võib pidada biogeense päritoluga (ilma fossiilse osata) süsinikuks. Tooraine töödeldakse variatsioonidega tavapärase nafta rafineerimisest, sealhulgas vesinikuga töödeldes. HVO toomise keemiline reaktsioon on näidatud alloleval joonisel.

<sup>19</sup> OFGEM, Renewables Obligation: Biodiesel and fossil-derived bioliquids guidance:  
<https://www.ofgem.gov.uk/publications/renewables-obligation-biodiesel-and-fossil-derived-bioliquids-guidance-2015>


**Joonis 52** HVO toomise keemiline reaktsioon

### Bioetanol

Bioalkoholid (biometanol, bioetanol ja biobutanool) on toodetud biomassi fermenteerimise teel ensüümide juuresolekul ning neis sisalduv süsinik on 100% bio-päritolu süsinikuks. Bioetanooli muundatakse ETBE-ks (etüül-tert-butüleeter) bioetanooli ja isobutüleeni segamise teel katalüsaatori juuresolekul. Kuna isobutüleeni saadakse fossiilsest rafineerimise või teel või maagaasist, siis ETBE-ks on fossiilse süsiniku osa. Alloleval joonisel on kujutatud bioetanooli tootmise keemilist protsessi.

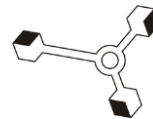

**Joonis 53** Bioetanooli tootmisse keemiline protsess

### Olemasolevad andmed

Allpool on välja toodud olemasolevad andmed, mida kasutatakse hetkel inventuuris  $\text{CO}_2$  heitkoguste arvutamiseks vedelate biokütustest.

**Tabel 57** Olemasolevad andmed vedelate biokütuste kohta

CRF 1.A.3.b	Biodiisel*	Allikas	Bioetanol	Allikas
Kütteväärthus, MJ/kg	36.1	I. Sebos; WG I – Note on fossil carbon content in biofuels	27	2006 IPCC vaikeväärthus, Table 1.2
Süsiniku sisaldus, %	76.5	I. Sebos; WG I – Note on fossil carbon content in biofuels	-	-



Fossiilse süsiniku sisaldus FAME-s, %	5.4	I. Sebos; WG I – Note on fossil carbon content in biofuels	-	-
Eriheide, kgCO <sub>2</sub> /kg	-	-	0.698	Copert IV, version 9.0

Biodiislikütuse CO<sub>2</sub> eriheiteteguri arvutuskäik ja paegu kasutusel olevad parameetrid on järgmised:

- 1) FAME süsinikusisaldus = 36 MJ/kg \* 76.5 %kgC/kg = 21.19 kgC/TJ
- 2) Fossiilset päritolu CO<sub>2</sub> eriheitetegur = 5.4 % \* 21.19 kgC/TJ \* (44/12) = 4.19 kgCO<sub>2</sub>/TJ
- 3) Biogeenset päritolu CO<sub>2</sub> eriheitetegur (kgCO<sub>2</sub>/TJ) = (100% - 5.4%) \* 21.19 kgC/TJ \* (44/12) = 73.50 kgCO<sub>2</sub>/TJ

Bioetanooli jaoks on süsiniku eriheite ja kütteväärtsuse korrutamise teel leitud süsihaptegaasi eriheide energiaühiku kohta:

$$\text{Bioetanooli süsiniku eriheitetegur} = 0.698 \text{ tCO}_2/\text{t} * 27 \text{ MJ/kg} = 25.45 \text{ tCO}_2/\text{TJ}$$

Alljärgnevas tabelis on esitatud praeguse ajani inventuuris kasutatud andmed CO<sub>2</sub> heitkoguste arvutamiseks.

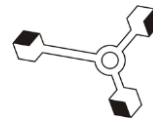
**Tabel 58 Arvutuste teel leitud eriheitetegurid biodiislikütusele ja bioetanoolile**

Parameeter	Biodiisel	Bioetanool
Süsinikusisaldus, kgC/TJ	21.19	25.45
CO <sub>2</sub> eriheitetegur, kgCO <sub>2</sub> /TJ (fossiilne+biogeenne)	77.70	-
Fossiilse CO <sub>2</sub> eriheitetegur, kgCO <sub>2</sub> /TJ	4.19	-
Biogeense CO <sub>2</sub> eriheitetegur, kgCO <sub>2</sub> /TJ	73.5	-

Tarbitud kütuse kogused Eesti kohta biodiislikütusele ja bioetanoolile on saadaval aastatele 2005-2021 ja on saadud transpordisektoris CH<sub>4</sub> ja N<sub>2</sub>O heitkoguste hindamisel kasutatud Copert 5<sup>20</sup> programmist ühikus TJ.

Inventuuris heitkoguste arvutamisel on siamaani eeldatud, et 100% biodiisel on FAME. Süsinikusisalduse, fossiilse süsiniku sisalduse ja kütteväärtsuse valikul on eelduseks olnud

<sup>20</sup> COPERT kodulehekülg <https://www.emisia.com/utilities/copert/>



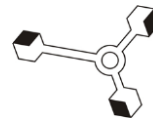
biodiisli tootmisel lähteaine vaikevalik (eeldusel, et FAME on toodetud 50% rapsiõli/30% päävalilleõli/ 20% palmiõli<sup>18</sup>).

Copertis on olemas nii FAME osakaal kogu biodiislist (*Share of FAME in biodiesel*) kui ka ETBE osakaal kogu bioetnaoolist (*Share of ETBE in bioethanol*) kogu aegreale, mille järgi saab biodiisli jaotada FAME-ks ja HVO-ks ja bioetanooli ETBE-ks ja bioetanooliks. Aastatele 2005-2018 on FAME osakaaluks kasutatud väärust 85,5%, aastatele 2019-2021 on kasutatud riigispetsiifilisi andmeid, mille on välja arvutanud Eesti Keskkonnaagentuur neile saadetud kütuse müügiandmete kaudu Eesti Maksu- ja tolliameti poolt kütusekoguste TJ-de pealt. Biodiisli ja bioetanooli jaotus on esitatud Tabel 59. ETBE tarbimine on ainult 2019. aastal.

**Tabel 59 Biodiisli ja bioetanooli jaotus 2005-2021**

	2005-2018	2019	2020	2021
<b>FAME osakaal, %</b>	85.5	60.1	50.7	37.9
<b>HVO osakaal, %</b>	14.5	39.9	49.3	62.1
<b>Bioetanooli osakaal, %</b>	100	96.7	100	100
<b>ETBE osakaal, %</b>	0	3.3	0	0

FAME, HVO ja ETBE osakaale kasutusele võttes saab edaspidi hakata inventuuri heitkogustes arvestama ka HVO ja ETBE heitkoguseid.



## Metoodika ja eriheitetegurite valik

### FAME

FAME koostise jaoks analüüsiti diislikütuseproove Eesti Keskkonnauuringute kütuselaboris Tallinnas. Analüüsidel kasutatavad metodikad on akrediteeritud Eesti Akrediteerimiskeskuse poolt. FAME sisaldus on määratud Euroopa kütusestandardi EVS-EN 14078:2014<sup>21</sup> järgi. Laborianalüüside käigus määrati kindlaks fossiilse süsiniku osa. Küttevärtuste määramisel kasutati laborianalüüside tulemusi ja kirjandusallikate analüusi.

Analüüsiti 27 FAME osa proovi, millest eraldati 27-st diislikütuse proovist spetsiaalse SPE padruniga. Seejärel analüüsiti eraldatud FAME-t gaaskromatograafiliselt, et teada saada rasvhappemetülestri sisaldused igas proovis. Rasvhappemetülestritel on erinev süsinike arv ning proovides leidus 14 erinevat rasvhappemetülestrit – C14, C14:1, C16, C16:1, C18, C18:1, C18:2, C18:3, C20, C20:1, C20:3, C22, C22:1, C24. Number tähistab süsiniku aatomite kogust. Eeldati, et igas metüülestris on üks metüülrühma süsinik ning arvutati välja fossiilse süsiniku protsent.

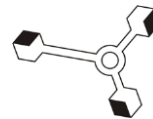
Seejärel arvutati fossiilse süsiniku protsendi kaudu fossiilse süsiniku kogus igas metüülestris ja sealtkaudu igas proovis. Saadud fossiilse süsiniku osakaaludest proovi kohta leiti mediaanvärtus, mis on Eesti keskmise fossiilse süsiniku osakaal FAME-s. Alljärgnevas tabelis on esitatud fossiilse süsiniku osakaal igas proovis.

FAME süsinikusaldus on leitud kõikide 14 estrite molaarmasside ja süsiniku molaarmassi kaudu. Kuigi kirjanduses on välja pakutud, et fossiilse süsinikus osakaal FAME-s jäab vahemikku 5.3-5.5%, siis mediaanvärtus on välja arvutatud riigispetsiifiliste andmete pealt ja ei erine väga palju vahemiku alumisest väärustusest ning selle saab uue väärusena kasutusele võtta.

**Tabel 60 Fossiilse süsiniku osakaal FAME proovides**

Proovi number	Fossiilse süsiniku osakaal, %
KS20-208C	5.29
KS21-662C	5.54
KS19-435B	5.28
KS21-624C	5.53

<sup>21</sup>Liquid petroleum products – Determination of fatty acid methyl ester (FAME) content in middle distillates:  
<https://www.evs.ee/et/evs-en-14078-2014>



Proovi number	Fossiilse süsiniku osakaal, %
KS18-747C	5.28
KS18-763C	5.27
KS18-797C	5.27
KS18-778C	5.28
KS18-787C	5.28
KS18-781C	5.28
KS18-757C	5.27
KS18-732C	5.27
KS20-211C	5.30
KS18-735C	5.27
KS20-190C	5.29
KS20-223C	5.37
KS20-214C	5.28
KS18-729C	5.27
KS18-744C	5.27
KS18-791C	5.27
KS18-794A	5.27
KS20-217C	5.28
KS21-647C	5.52



Proovi number	Fossiilse süsiniku osakaal, %
KS21-681A	5.36
KS18-750C	5.27
KS18-766C	5.27
KS18-784C	5.27
<b>Mediaan, %</b>	<b>5.28</b>

Kuigi kirjanduses on välja pakutud, et fossiilse süsinikus osakaal FAME-s jäab vahemikku 5.3–5.5%, siis mediaanväärus on välja arvutatud riigispetsiifiliste andmete pealt ja ei erine väga palju vahemiku alumisest väärustusest ning selle saab uue väärusena kasutusele võtta.

**Tabel 61 Elementide osakaal FAME-s**

Element	Osakaal, %
Süsinik	76.75
Vesinik	12.24
Hapnik	11.01

Kütteväärus on välja arvutatud teoreetiliselt, et kasutada võimalikult suures osas olemasolevaid tulemusi laborianalüüsides. Laborianalüüsides on FAME kogused esitatud mahuprotsentides. Mahuprotsendid arvutati läbi diislikütuse ja FAME tiheduse ümber massiprotsentideks. Edasi leiti diislikütuses sisalduva FAME erinevate rasvhappemetülestrite massiosad. Järgmiseks arvutati massiosad ümber 100%-lise FAME jaoks, mis korrutati vastava metülestri ülemise kütteväärtsusega. Kütteväärtsed liideti kokku, et oleks teada iga proovi ülemine kütteväärus.

Metülestrite kütteväärtsed on esitatud alljärgnevas tabelis.

**Tabel 62 Metüülestrite kütteväärtsused**

Metüülestri tähis	Kütteväärthus, MJ/kg
C14	39.0
C14:1	39.1
C16:0	39.8
C18	40.4
C18:2	40.1
C18:3	40.0
C20	40.9
C20:1	40.8
C20:2	40.7
C20:3	40.6
C22	41.4
C22:1	41.3
C24	41.7

Proovide ülemised kütteväärtsused arvutati läbi vesiniku massiprotsendi valemiga [ülemine kütteväärthus-(0.2122\*vesiniku sisaldus% (Kuigi kirjanduses on välja pakutud, et fossiilse süsinikus osakaal FAME-s jäab vahemikku 5.3-5.5%, siis mediaanväärthus on välja arvutatud riigispetsiifiliste andmete pealt ja ei erine väga palju vahemiku alumisest väärustusest ning selle saab uue väärusena kasutusele võtta allolevas tabelis toodud alumised kütteväärtsused.

**Tabel 63 FAME proovide ülemised ja alumised kütteväärtsused**

Proovi number	Ülemine kütteväärthus, MJ/kg	Alumine kütteväärthus, MJ/kg
KS20-208C	40.22	37.51
KS21-662C	40.03	37.33
KS19-435B	40.23	37.53
KS21-624C	40.04	37.34
KS18-747C	40.23	37.53
KS18-763C	40.23	37.53
KS18-797C	40.23	37.53
KS18-778C	40.23	37.53
KS18-787C	40.23	37.53
KS18-781C	40.23	37.53
KS18-757C	40.23	37.53
KS18-732C	40.23	37.53
KS20-211C	40.17	37.46
KS18-735C	40.23	37.53
KS20-190C	40.22	37.52
KS20-223C	40.16	37.45
KS20-214C	40.23	37.53
KS18-729C	40.24	37.54



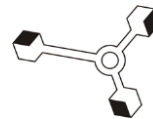
Proovi number	Ülemine küttevääratus, MJ/kg	Alumine küttevääratus, MJ/kg
KS18-744C	40.25	37.54
KS18-791C	40.24	37.54
KS18-794A	40.24	37.53
KS20-217C	40.23	37.52
KS21-647C	40.05	37.35
KS21-681A	40.17	37.47
KS18-750C	40.24	37.54
KS18-766C	40.24	37.53
KS18-784C	40.24	37.53
<b>Mediaan, %</b>		<b>37.51</b>

Analüüsitud FAME proovide mediaan alumine küttevääratus 37.51 MJ/kg, mis on madalam kui diiselkütuse oma madalama hapnikusisalduse tõttu, ning jäab keskmise FAME küttevääruse 36.2-39.2 MJ/kg piiridesse<sup>22</sup>. **Error! Reference source not found.** on esitatud FAME süsinikusisadus, CO<sub>2</sub> eriheitetegur ja kütteväärus, mida saab riigispetsiifiliselt kasutusele võtta.

**Tabel 64 FAME süsinikusisaldus, CO<sub>2</sub> eriheitetegur ja kütteväärus**

FAME	Süsinikusisaldus, %	CO <sub>2</sub> eriheitetegur, tCO <sub>2</sub> /TJ	Kütteväärus, MJ/kg
Fossiilne	5.28	3.96	-
Biogeenne	94.7	71.04	-
FAME	Süsinikusisaldus, %	CO <sub>2</sub> eriheitetegur, tCO <sub>2</sub> /TJ	Kütteväärus, MJ/kg

<sup>22</sup> Performance and exhaust emissions of diesel engines using microalgae FAME and the prospects for microalgae HTL biocrude: <https://www.sciencedirect.com/science/article/abs/pii/S1364032117309656>



Fossiilne+biogeenne	76.8	75	37.5
---------------------	------	----	------

## HVO

HVO kütteväärthus on veidi kõrgem kui diislil, sest HVO sisaldab rohkem vesinikku, kuid süsiniku sisaldus on madalam. Kirjandusallikatest leidub, et HVO kütteväärthus on umbes 44 MJ/kg<sup>23</sup>. Ka Copertis olevate kütusekoguste arvutamisel on kasutatud samuti HVO-le kütteväärustum 44MJ/kg. Seega on võimalik kasutada näidatud kütteväärustum HVO kütusele Eesti kontekstis. Süsiniku eriheite ümberarvutamiseks energiaühikule on vajalik ka HVO süsinikusaldus. Kuigi HVO süsinikusalduseks võib võtta ka diisli süsinikusalduse<sup>18</sup>, kuni puuduvad riigispetsiifilised andmed, sest HVO on oma koostiselt sarnane diisliga, siis süsinikusaldus diislis on kõrgem kui HVO koostises. Diisli süsinikusaldus sõltuvalt sisaldusest on umbes 86%. Süsinikusaldus sõltub taime- ja loomaravastest, mida HVO tootmisel kasutatakse. Vesinikusaldus HVO-s on keskmiselt 15,4 massiprotsenti ja puudub hapnik. Keskmiseks süsinikusalduseks võib lugeda 84,6%<sup>24</sup>. Selle väärtsuse võib Eesti andmetes kasutusele võtta, sest näitab täpsemini HVO süsinikusaldust, kui diislikütuse oma. Allolevas tabelis on esitatud HVO kütteväärthus, süsinikusaldus ja CO<sub>2</sub> eriheitetegur, mida saab riigispetsiifiliselt kasutusele võtta.

**Tabel 65 HVO kütteväärthus, süsinikusaldus ja CO<sub>2</sub> eriheitetegur**

Parameeter	HVO
Kütteväärthus, MJ/kg	44.0
Süsinikusaldus, %	84.6
CO <sub>2</sub> eriheitetegur, tCO <sub>2</sub> /TJ	70.5

## Bioetanol

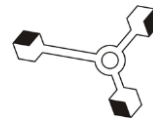
Bioetanolile on võimalik võtta kasutusele CO<sub>2</sub> sisaldus 1.911 kgCO<sub>2</sub>/kgbioetanol<sup>25</sup>. Bioetanolli keemiline valem on C<sub>2</sub>H<sub>6</sub>O ning CO<sub>2</sub> sisaldus on määratud stöhhiomeetriliselt.

<sup>23</sup>Hydrotreated Vegetable Oil (HVO) as a Renewable Diesel Fuel: Trade-Off between NO<sub>x</sub>, Particulate Emission, and Fuel consumption of a Heavy Duty Engine:

[https://www.researchgate.net/publication/228402654\\_Hydrotreated\\_Vegetable\\_Oil\\_HVO\\_as\\_a\\_Renewable\\_Diesel\\_Fuel\\_Trade-Off\\_between\\_NOx\\_Particulate\\_Emission\\_and\\_Fuel\\_Consumption\\_of\\_a\\_Heavy\\_Duty\\_Engine](https://www.researchgate.net/publication/228402654_Hydrotreated_Vegetable_Oil_HVO_as_a_Renewable_Diesel_Fuel_Trade-Off_between_NOx_Particulate_Emission_and_Fuel_Consumption_of_a_Heavy_Duty_Engine)

<sup>24</sup>Evaluation of a hydrotreated vegetable oil (HVO) and effects on emissions of a passenger car diesel engine:

<https://www.frontiersin.org/articles/10.3389/fmech.2018.00007/full>



Stöhhiomeetriline süsinikusisaldus bioetanoolil on 52,1%. Sellega saab parandada eelmist kasutatud süsinikusisaldust, milleks oli  $0.698 \text{ kgCO}_2/\text{kg}_{\text{bioetanol}}$ .

Kütteväärust saab uuendada Coperti andmete kaudu, sest need on välja arvutatud alates 2019. aastast kasutates müüdud kütusekoguseid Eestis aastatele 2019-2021. Aastatele 2005 - 2018 on kasutatud etanooli küttevääruse väärtuseks 26.8 MJ/kg. Seega saab riigispetsiifilised kütteväärused kasutusele võtta alates 2019. aastast ning tagasiulatuvalt pikendada neid andmeid, et võtta kasutusele riigispetsiifilised andmed. Edaspidi saab igale järgnevale aastale välja arvutada riigispetsiifilise küttevääruse vastavalt müüdud kütuse andmetele. Allolevas tabelis on toodud kütteväärused, süsinikusisaldus ja CO<sub>2</sub> eriheitetegur, mida saab riigispetsiifiliselt bioetanoolile kasutada.

**Tabel 66 Bioetanooli kütteväärus, süsinikusisaldus ja CO<sub>2</sub> eriheitetegur**

Bioetanol	2005-2019	2020	2021
Kütteväätus, MJ/kg	27.8	27.3	27.3
Süsinikusisaldus, %	52.1	52.1	52.1
CO <sub>2</sub> eriheitetegur, tCO <sub>2</sub> /TJ	68.8	70.1	70.1

#### ETBE

Coperti andmetest tuleb välja, et ETBE osakaal bioetanoolis on 2019. aastal 3.3%, seega on ETBE tarbimine Eesti kohta olemas ainult 2019. Võimalik on kasutusele võtta stöhhiomeetriline süsinikusisaldus 70.5%, mis annab CO<sub>2</sub> eriheiteteguriks  $2.58 \text{ kgCO}_2/\text{kg}_{\text{ETBE}}^{25}$ . ETBE keemiline valem on C<sub>6</sub>H<sub>14</sub>O ning CO<sub>2</sub> sisaldus on määratud stöhhiomeetrilise süsiniku sisalduse järgi. Kütteväärusena on võimalik kasutada 36.2 MJ/kg<sup>26</sup>, kuna riigispetsiifilised andmed puuduvad. Fossiilset päritolu süsiniku osakaaluks saab võtta 66.7%, mis on esitatud WG I juhistes, kuna riigispetsiifilisi andmeid ei ole võimalik määrata. Uuendatud ETBE süsinikusisaldus, CO<sub>2</sub> eriheitetegur ja kütteväärus on toodud allolevas tabelis.

**Tabel 67 ETBE kütteväärus, süsinikusisaldus ja CO<sub>2</sub> eriheitetegur**

FAME	Süsinikusisaldus, %	CO <sub>2</sub> eriheitetegur, tCO <sub>2</sub> /TJ	Kütteväärus, MJ/kg
Fossiilne	66.7	47.63	-
Biogeenne	33.3	23.78	-

<sup>25</sup>EMEP/EEA 2019 Guidebook, Part B, 1. Energy, 1.A Combustion, 1.A.3.b.i-iv Road Transport, Table 3-29

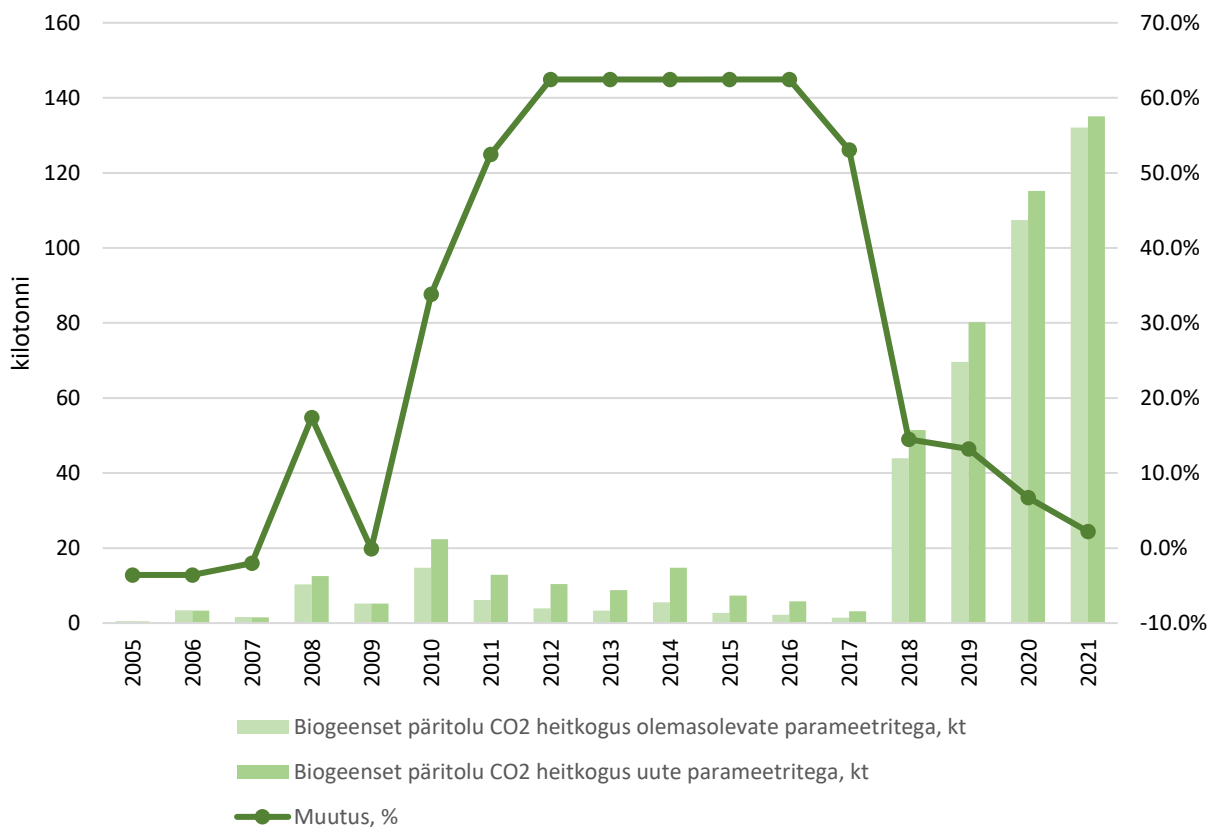
<sup>26</sup>EMEP/EEA 2019 Guidebook, Part B, 1. Energy, 1.A Combustion, 1.A.3.b.i-iv Road Transport, Table 3-28



FAME	Süsikusisaldus, %	CO <sub>2</sub> eriheitetegur, tCO <sub>2</sub> /TJ	Kütteväärustus, MJ/kg
Fossiilne+biogeenne	70.5	71.4	36.2

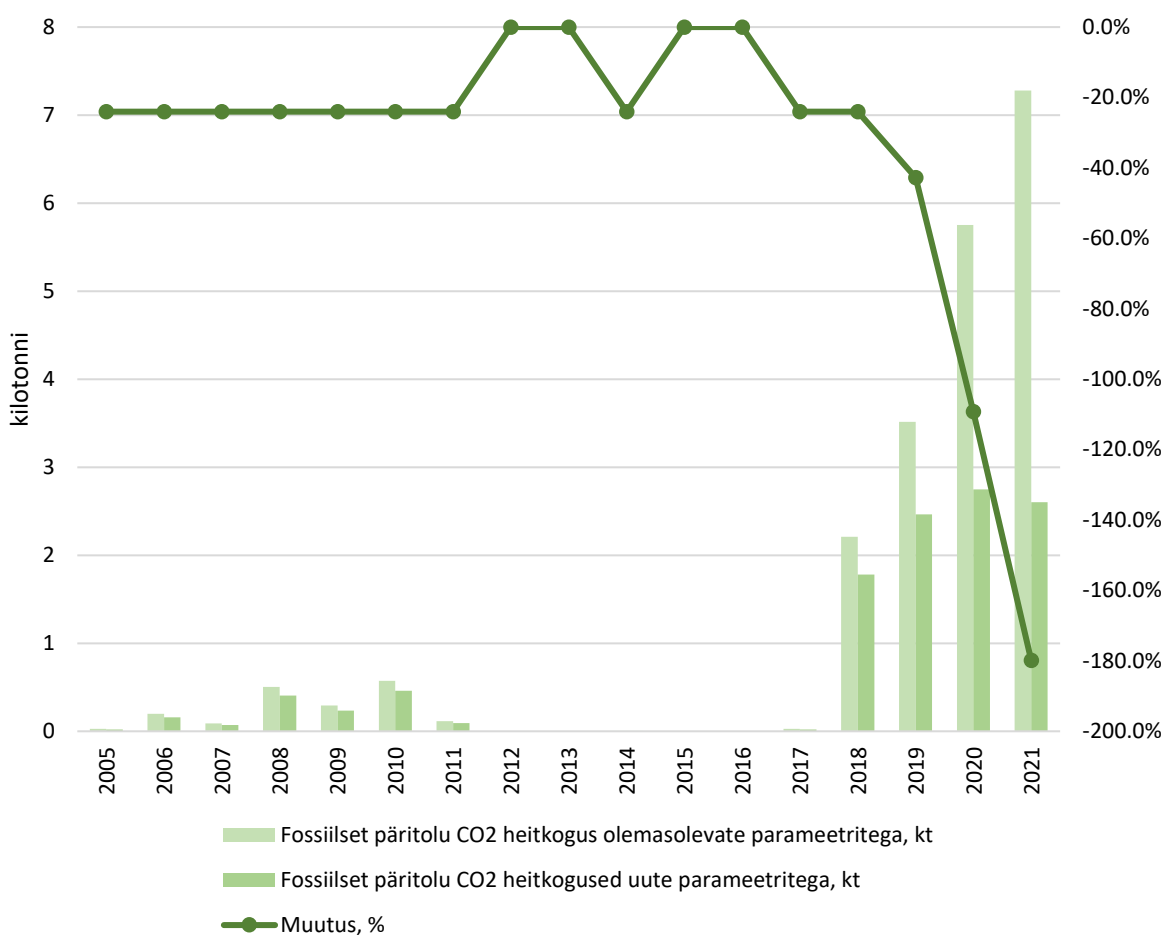
## Kontrollarvutused

Kontrollarvutused on tehtud heitkogustele praeguste fossiilset päritolu süsiniku osakaalude ja eriheiteteguritega ja uute fossiilse süsiniku päritolu osakaalude ja eriheiteteguritega vedelatele biokütustele. Heitkogused on välja toodud eraldi fossiilset ja biogeenset päritolu. Biogeense CO<sub>2</sub> heitkogused on välja toodud Joonis 54 ja fossiilse CO<sub>2</sub> heitkogused Joonis 55.



Joonis 54

Biogeenset päritolu CO<sub>2</sub> heitkoguste võrdlus 2005-2021



**Joonis 55 Fossilset päritolu CO2 heitkoguste võrdlus 2005-2021**

Aastatel 2012, 2013 2015 ja 2015 ei toimunud FAME ja ETBE tarbimist ning heitkogused puuduvad.



## Kokkuvõte

Töö käigus täpsustati biokütuste fossiilset ja biogeenset päritolu CO<sub>2</sub> heitkoguseid uuendades fossiile ja biogeense süsiniku osakaalusid ja biokütuste kütteväärtsuseid. Töö käigus sai täpsustada FAME fossiilset päritolu süsiniku osakaalu ja kütteväärtsust, bioetanooli CO<sub>2</sub> eriheitetegurit ja kütteväärtsust. Samuti sai kasutusele võtta andmed HVO ja ETBE biokütuste kohta ja leida neile sobivad CO<sub>2</sub> eriheitetegurid.

Kontrollarvutustest võib näha, et uute eriheitetegurite kasutusele võtuga langeksid biogeenset päritolu CO<sub>2</sub> heitkogused aastatel 2005-2007 ja 2009 0,11-3,6% ja tõuseksid aastatel 2008 ja 2010-2019 2,2-62,5%. Langust põhjustab FAME fossiilse ja biogeense osakaalu protsendi langus ja tõus on põhjustatud bioetanooli CO<sub>2</sub> eriheite täpsustamisest ja HVO raporteerimisest biokütusena.

Uute eriheitetegurite kasutusele võtuga langeksid fossiilset päritolu CO<sub>2</sub> heitkogused kogu aegrea lõikes 24,0-179,8%. Langust põhjustab asjaolu, et HVO kütust on võimalik nüüd raporterida biokütusena ning täpsustusid FAME CO<sub>2</sub> eriheitetegur ja kütteväärtsus.



## 4.5 Integreeritud KHG ja õhusaasteainete transpordiprognooside süsteem (lõpp 2023)

Vastutav täitja: Stanislav Štökov

2021. aastal otsustas EMISIA (COPERTi ja Sybil programmi looja), et loobub Sybil programmi toetamisest ja eraldi haldamisest. Selle asemel loodi Sybil Baseline, mis ühildub COPERTi (versioon 5.5.1) arvutusmudeliga. Sybil Baseline'iga säilitati eelmise programmi võimekus, et oleks võimalik maateetranspordi prognoose koostada, kuid „jooksutamine“ toimub nüüd lihtsalt läbi COPERTi, mis on EKUK-is kasutusel. EKUK soetas Sybil Baseline litsentsi.

2022. aastal jätkati tegevusega juurutades Sybil Baseline Euroopa Komisjoni (EK) prognoosidesse (maanteetransport), mille tulemused avaldatakse 15.03.23.

## 4.6 Maanteetranspordi heitkoguste arvutuspõhimõttete ülevaatamine (lõpp 2023)

Vastutav täitja: Stanislav Štökov

Antud projekti eesmärk on täpsustada maanteetranspordist päritevaid KHG ja välisõhu heitkoguseid läbi sõidukipargi detailsemate andmete, mida kasutatakse COPERT mudelis modelleerimisel. Projekt koosneb 5 tegevusest:

1. Uute sõidukitüüpide lisamine arvutustesse ja senise sõidupargi detailsem klassifitseerimine
2. Hinnata kui suured on veoautode aastased läbisõidud, mis tehakse väljaspool Eestit (vanuse ja täismassi lõikes), lisaks vaadatakse kuidas kajastada haagistega veoautosid inventuurides.
3. Busside jaotus maakondlikeks ja linnasisesteks sõitudeks (algandmete koondamine ning arvutuste teostamine), sh läbisõidud, keskmine kiirus, osakaal linnades/maanteel jne
4. 2-taktiliste ja 4-taktiliste L-kategooria sõidukite jaotus.
5. Ajalooliste andmete (1990-2000) korrigeerimine.

Kolm esimest tegevust viidi läbi 2022. aastal. Ülejäänud tegevustega jätkatakse 2023. aastal.

### 4.6.1 Uute sõidukitüübide lisamine arvutustesse ja senise sõidupargi detailsem klassifitseerimine

Antud tegevuste raames analüüsiti Transpordiameti arvel olevate sõidukite statistikat, mille põhjal koostati bensiini ja diisel hübriidide tegevuse andmed ajavahemikus 2001-2021<sup>27</sup>.

<sup>27</sup> Esimene hübriid oli regiseeritud 2001. aastal, mistõttu varasemaid aastaid (1990-2000) ei olnud tarvis analüüsida.



Hübriidid olid jaotatud vastavalt mootorimahule suurusklassi (väike, keskmene ja suur auto, Tabel 68) ning registreerimisaastale ka EURO-klassi, millest sõltuvad nii CH<sub>4</sub> ja N<sub>2</sub>O heitkogused kui ka välisõhu saasteainete heitkogused (Tabel 69).

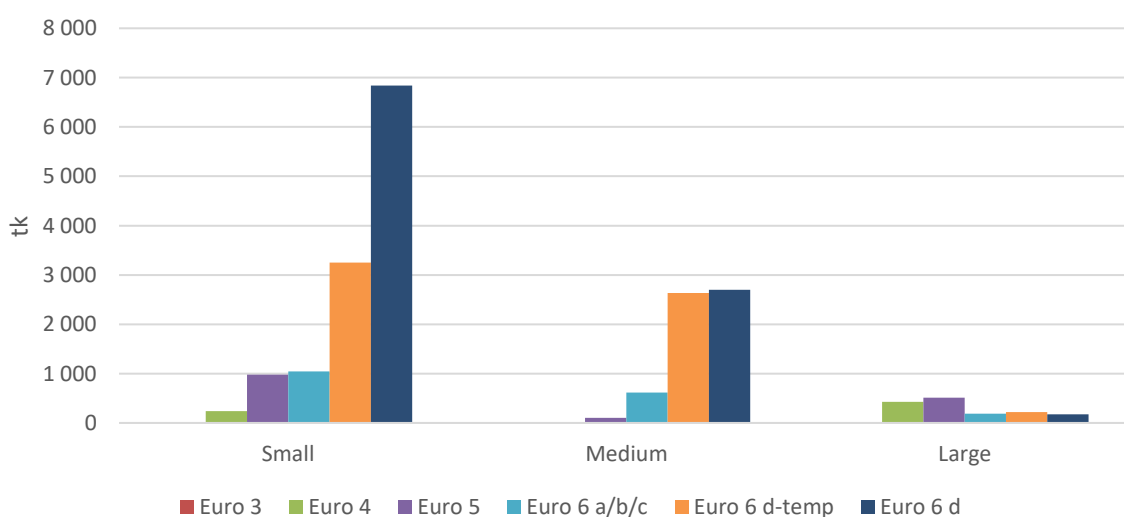
**Tabel 68 Sõiduautode jaotus suurusklassi**

Suurusklass	Mootorimaht (cm <sup>3</sup> )	
Väike sõiduauto	0	2000
Keskmene sõiduauto	2000	3000
Suur sõiduauto	3000	....

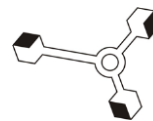
**Tabel 69 EURO-klasside rakendusaastad**

EURO-klass	Rakendusvahemik	
Euro 3	2001	2005
Euro 4	2005	2009
Euro 5	2009	2014
Euro 6 a/b/c	2014	2017
Euro 6 d-temp	2017	2020
Euro 6 d	2020	...

2021. aasta lõpuseisuga on Eestis registreeritud 19 953 hübriid sõiduautot, millest 17 427 tki on bensiin hübriidid ning 2 526 tki diisel hübriidid. Hübriidide täpsema jaotuse EURO-klasside lõike näeb Joonis 56. Detailsema jaotuse hübriidi tüübi, sõiduauto suurusklassi, EURO-klassi ja registreerimisaasta lõikes leiab Tabel 70 ning Tabel 71.



**Joonis 56 Hübriid sõiduautode jaotus EURO-klasside lõikes 2021. aasta seisuga, tk**

**Tabel 70 Bensiini-hübriid sõiduautode jaotus suurusklassi, EURO-klassi ning registreerimisaasta järgi**

Bensiin-hübriid	Väike					
	Euro 3	Euro 4	Euro 5	Euro 6 a/b/c	Euro 6 d-temp	Euro 6 d
2001	3	0	0	0	0	0
2002	1	0	0	0	0	0
2003	2	0	0	0	0	0
2004	13	0	0	0	0	0
2005	0	23	0	0	0	0
2006	0	44	0	0	0	0
2007	0	73	0	0	0	0
2008	0	99	0	0	0	0
2009	0	0	126	0	0	0
2010	0	0	189	0	0	0
2011	0	0	189	0	0	0
2012	0	0	219	0	0	0
2013	0	0	205	0	0	0
2014	0	0	0	289	0	0
2015	0	0	0	313	0	0
2016	0	0	0	431	0	0
2017	0	0	0	0	659	0
2018	0	0	0	0	864	0
2019	0	0	0	0	1564	0
2020	0	0	0	0	0	1719
2021	0	0	0	0	0	4096
Bensiin-hübriid	Keskmine					
	Euro 3	Euro 4	Euro 5	Euro 6 a/b/c	Euro 6 d-temp	Euro 6 d
2001	0	0	0	0	0	0
2002	0	0	0	0	0	0
2003	0	0	0	0	0	0
2004	0	0	0	0	0	0
2005	0	1	0	0	0	0
2006	0	0	0	0	0	0
2007	0	1	0	0	0	0
2008	0	1	0	0	0	0
2009	0	0	0	0	0	0
2010	0	0	7	0	0	0
2011	0	0	3	0	0	0
2012	0	0	8	0	0	0
2013	0	0	45	0	0	0
2014	0	0	0	115	0	0
2015	0	0	0	133	0	0
2016	0	0	0	281	0	0
2017	0	0	0	0	482	0
2018	0	0	0	0	618	0
2019	0	0	0	0	979	0
2020	0	0	0	0	0	850
2021	0	0	0	0	0	1284
Bensiin-hübriid	Suur					
	Euro 3	Euro 4	Euro 5	Euro 6 a/b/c	Euro 6 d-temp	Euro 6 d



Bensiin-hübrid	Väike					
	Euro 3	Euro 4	Euro 5	Euro 6 a/b/c	Euro 6 d-temp	Euro 6 d
2001	0	0	0	0	0	0
2002	0	0	0	0	0	0
2003	0	0	0	0	0	0
2004	0	0	0	0	0	0
2005	0	25	0	0	0	0
2006	0	97	0	0	0	0
2007	0	155	0	0	0	0
2008	0	148	0	0	0	0
2009	0	0	83	0	0	0
2010	0	0	117	0	0	0
2011	0	0	87	0	0	0
2012	0	0	132	0	0	0
2013	0	0	91	0	0	0
2014	0	0	0	69	0	0
2015	0	0	0	40	0	0
2016	0	0	0	77	0	0
2017	0	0	0	0	82	0
2018	0	0	0	0	81	0
2019	0	0	0	0	58	0
2020	0	0	0	0	0	71
2021	0	0	0	0	0	85

**Tabel 71 Diisel-hübrid sõiduautode jaotus suurusklassi, EURO-klassi ning registreerimisaasta järgi**

Diisel-hübrid	Väike					
	Euro 3	Euro 4	Euro 5	Euro 6 a/b/c	Euro 6 d-temp	Euro 6 d
2001	0	0	0	0	0	0
2002	0	0	0	0	0	0
2003	0	0	0	0	0	0
2004	0	0	0	0	0	0
2005	0	0	0	0	0	0
2006	0	0	0	0	0	0
2007	0	0	0	0	0	0
2008	0	0	0	0	0	0
2009	0	0	0	0	0	0
2010	0	0	0	0	0	0
2011	0	0	0	0	0	0
2012	0	0	35	0	0	0
2013	0	0	17	0	0	0
2014	0	0	0	4	0	0
2015	0	0	0	4	0	0
2016	0	0	0	2	0	0
2017	0	0	0	0	1	0



## Eesti Keskkonnauuringute Keskus OÜ

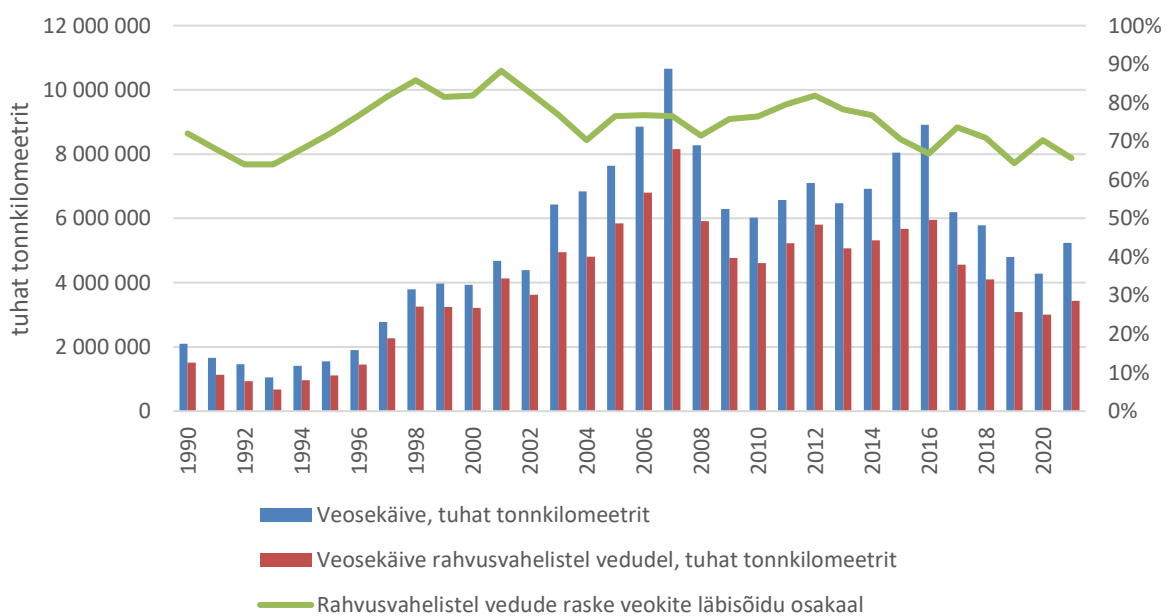
2018	0	0	0	0	5	0
2019	0	0	0	0	160	0
2020	0	0	0	0	0	330
2021	0	0	0	0	0	692
Diisel-hübrid	Keskmine					
	Euro 3	Euro 4	Euro 5	Euro 6 a/b/c	Euro 6 d-temp	Euro 6 d
2001	0	0	0	0	0	0
2002	0	0	0	0	0	0
2003	0	0	0	0	0	0
2004	0	0	0	0	0	0
2005	0	0	0	0	0	0
2006	0	0	0	0	0	0
2007	0	0	0	0	0	0
2008	0	0	0	0	0	0
2009	0	0	0	0	0	0
2010	0	0	0	0	0	0
2011	0	0	0	0	0	0
2012	0	0	2	0	0	0
2013	0	0	41	0	0	0
2014	0	0	0	36	0	0
2015	0	0	0	41	0	0
2016	0	0	0	9	0	0
2017	0	0	0	0	14	0
2018	0	0	0	0	182	0
2019	0	0	0	0	361	0
2020	0	0	0	0	0	191
2021	0	0	0	0	0	376
Diisel-hübrid	Suur					
	Euro 3	Euro 4	Euro 5	Euro 6 a/b/c	Euro 6 d-temp	Euro 6 d
2001	0	0	0	0	0	0
2002	0	0	0	0	0	0
2003	0	0	0	0	0	0
2004	0	0	0	0	0	0
2005	0	0	0	0	0	0
2006	0	0	0	0	0	0
2007	0	0	0	0	0	0
2008	0	0	0	0	0	0
2009	0	0	0	0	0	0
2010	0	0	0	0	0	0
2011	0	0	0	0	0	0
2012	0	0	0	0	0	0
2013	0	0	0	0	0	0

<b>2014</b>	0	0	0	0	0	0	0
<b>2015</b>	0	0	0	0	0	0	0
<b>2016</b>	0	0	0	0	0	0	0
<b>2017</b>	0	0	0	0	0	0	0
<b>2018</b>	0	0	0	0	0	0	0
<b>2019</b>	0	0	0	0	2	0	0
<b>2020</b>	0	0	0	0	0	21	0
<b>2021</b>	0	0	0	0	0	0	0

#### 4.6.2 Veoautode statistika

Tegevuse eesmärki oli hinnata kui suured on veoautode aastased läbisõidud, mis tehakse väljaspool Eestit (vanuse ja täismassi lõikes), lisaks vaadati kuidas kajastada haagistega veoautosid inventuurides.

Transpordiamet hindab raske veokite läbisõitu välismaal läbi Statistikaameti andmete, mille näitajaks on veosekäive (tuhat tonnkilomeetrit). Raske veokite välismaa läbisõidu arvutamiseks oli aluseks võetud Statistikaameti andmebaasis tabelid TS121 ja TS13, mille puudu olevad andmed (1990-1995) oli koostatud vastavalt tuleviku trendidele. Tulemusena valmis raske veokite läbisõidu osakaalu välismaa ajalooline trend (1990-2021), Joonis 57.



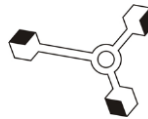
**Joonis 57 Raske veokite summaarne ja rahvusvahelistel vedude veosekäive ning läbisõidu osakaal**

Saadud välismaa läbisõidu osakaalu põhjal oli arvutatud raske veokite läbisõidud vastavalt vanuse, EURO-klassi, kütuse tüübi ja täismassi (

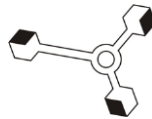


Tabel 72).

Raske veokite läbisõit haagistega välja selgitamiseks oli konsulteeritud Eesti Logistika ja Ekspedeerimise Assotsiatsiooniga, kelle sõnul sellist statistikat ei leidu ning hetkel ei vaadelda haagiste raske veokite läbisõite.

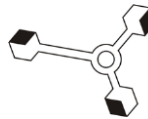
**Tabel 72 Välismaal sõitvate raske veokite läbisõidud sõltuvalt vanuse, EURO-klassi, kütuse tüübi ja täismassist, miljon kilomeetrit**

Kategooria	Kütus	Täismass	EURO-klass	1990	1991	1992	1993	1994	1995	1996	1997	1998	1999	2000	2001	2002	2003	2004	2005	2006	2007	2008	2009	2010	2011	2012	2013	2014	2015	2016	2017	2018	2019	2020
Raskeveok	Bensiin	>3,5 t	Conventional	2065	1041	668	662	552	298	359	684	994	692	595	844	412	186	63	67	103	84	52	40	39	29	27	19	16	14	11	13	9	4	3
Raskeveok	Diisel	Rigid <=7,5 t	Conventional	381	304	147	149	222	329	437	659	952	515	425	639	338	132	92	83	62	56	36	27	22	23	23	16	14	15	7	8	6	4	5
Raskeveok	Diisel	Rigid <=7,5 t	Euro I	00	01	4	11	22	25	35	52	34	57	253	122	76	56	28	18	22	15	13	11	16	14	9	7	6	4	3	3			
Raskeveok	Diisel	Rigid <=7,5 t	Euro II	00	00	00	00	00	10	43	138	122	250	548	158	121	93	44	37	44	32	30	28	37	34	23	19	15	10	12	7	6	7	
Raskeveok	Diisel	Rigid <=7,5 t	Euro III	00	00	00	00	00	00	00	00	00	00	00	00	00	00	00	00	00	00	00	00	00	00	00	00	00	00	00	00			
Raskeveok	Diisel	Rigid <=7,5 t	Euro IV	00	00	00	00	00	00	00	00	00	00	00	00	00	00	00	00	00	00	00	00	00	00	00	00	00	00	00	00			
Raskeveok	Diisel	Rigid <=7,5 t	Euro V	00	00	00	00	00	00	00	00	00	00	00	00	00	00	00	00	00	00	00	00	00	00	00	00	00	00	00	00			
Raskeveok	Diisel	Rigid <=7,5 t	Euro VI A/B/C	00	00	00	00	00	00	00	00	00	00	00	00	00	00	00	00	00	00	00	00	00	00	00	00	00	00	00	00			
Raskeveok	Diisel	Rigid <=7,5 t	Euro VI D/E	00	00	00	00	00	00	00	00	00	00	00	00	00	00	00	00	00	00	00	00	00	00	00	00	00	00	00	00			
Raskeveok	Diisel	Rigid 7,5 - 12 t	Conventional	00	00	00	00	00	00	00	00	00	00	00	00	00	00	00	00	00	00	00	00	00	00	00	00	00	00	00	00			
Raskeveok	Diisel	Rigid 7,5 - 12 t	Euro I	00	00	00	00	00	00	00	00	00	00	00	00	00	00	00	00	00	00	00	00	00	00	00	00	00	00	00	00			
Raskeveok	Diisel	Rigid 7,5 - 12 t	Euro II	00	00	00	00	00	00	00	00	00	00	00	00	00	00	00	00	00	00	00	00	00	00	00	00	00	00	00	00			
Raskeveok	Diisel	Rigid 7,5 - 12 t	Euro III	00	00	00	00	00	00	00	00	00	00	00	00	00	00	00	00	00	00	00	00	00	00	00	00	00	00	00	00			
Raskeveok	Diisel	Rigid 7,5 - 12 t	Euro IV	00	00	00	00	00	00	00	00	00	00	00	00	00	00	00	00	00	00	00	00	00	00	00	00	00	00	00	00			
Raskeveok	Diisel	Rigid 7,5 - 12 t	Euro V	00	00	00	00	00	00	00	00	00	00	00	00	00	00	00	00	00	00	00	00	00	00	00	00	00	00	00	00			



## Eesti Keskkonnauuringute Keskus OÜ

Raske veok	Diisel	Rigid 7,5 - 12 t	Euro VI A/B/C	0	0	0	0	0	0	0	0	0	0	0	0	0	0	0	0	0	0	0	0	0	0	0	0	1	1	1	2	3	2	3	
Raske veok	Diisel	Rigid 7,5 - 12 t	Euro VI D/E	0	0	0	0	0	0	0	0	0	0	0	0	0	0	0	0	0	0	0	0	0	0	0	0	0	0	0	0	1	1		
Raske veok	Diisel	Rigid 12 - 14 t	Conventional	481	367	178	181	269	409	547	796	1142	622	708	1066	660	269	251	123	108	93	99	99	78	86	33	22	11	11	11	11				
Raske veok	Diisel	Rigid 12 - 14 t	Euro I	0	0	1	2	6	12	14	19	28	19	82	189	131	79	40	21	22	24	22	5	3	4	4	2	2	1	0	1	0	0	0	
Raske veok	Diisel	Rigid 12 - 14 t	Euro II	0	0	0	0	0	0	5	29	64	58	59	170	75	52	48	19	21	21	3	5	5	6	6	6	4	2	1	2	1	1	1	
Raske veok	Diisel	Rigid 12 - 14 t	Euro III	0	0	0	0	0	0	0	0	0	0	0	44	52	37	30	24	25	23	3	4	5	8	7	7	6	4	3	4	3	2	3	
Raske veok	Diisel	Rigid 12 - 14 t	Euro IV	0	0	0	0	0	0	0	0	0	0	0	0	0	0	0	0	0	0	0	5	8	2	3	5	5	5	4	4	2	2	2	2
Raske veok	Diisel	Rigid 12 - 14 t	Euro V	0	0	0	0	0	0	0	0	0	0	0	0	0	0	0	0	0	0	0	0	1	0	0	1	1	1	1	1	2	1	1	1
Raske veok	Diisel	Rigid 12 - 14 t	Euro VI A/B/C	0	0	0	0	0	0	0	0	0	0	0	0	0	0	0	0	0	0	0	0	0	0	0	0	0	0	0	1	1	1	1	
Raske veok	Diisel	Rigid 12 - 14 t	Euro VI D/E	0	0	0	0	0	0	0	0	0	0	0	0	0	0	0	0	0	0	0	0	0	0	0	0	0	0	0	0	0	0	0	0
Raske veok	Diisel	Rigid 14 - 20 t	Conventional	0	0	0	0	0	0	0	0	0	0	0	0	0	0	0	0	0	0	0	147	64	48	50	45	29	20	17	12	15	9	7	6
Raske veok	Diisel	Rigid 14 - 20 t	Euro I	0	0	0	0	0	0	0	0	0	0	0	0	0	0	0	0	0	0	0	60	45	38	42	33	21	16	11	7	9	6	5	4
Raske veok	Diisel	Rigid 14 - 20 t	Euro II	0	0	0	0	0	0	0	0	0	0	0	0	0	0	0	0	0	0	0	163	157	169	208	193	129	96	60	42	47	28	22	21
Raske veok	Diisel	Rigid 14 - 20 t	Euro III	0	0	0	0	0	0	0	0	0	0	0	0	0	0	0	0	0	0	0	275	297	447	527	558	349	286	176	125	147	101	68	71



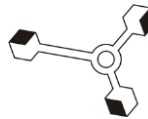
## Eesti Keskkonnauuringute Keskus OÜ

Raske veok	Diisel	Rigid 14 - 20 t	Euro IV	0	0	0	0	0	0	0	0	0	0	0	0	0	0	0	0	0	0	25 3	30 9	46 7	59 8	69 5	44 1	37 1	21 3	14 7	18 5	13 9	89	97	
Raske veok	Diisel	Rigid 14 - 20 t	Euro V	0	0	0	0	0	0	0	0	0	0	0	0	0	0	0	0	0	0	16	56	15 0	29 2	26 8	23 7	15 9	11 9	15 6	12 8	87	89		
Raske veok	Diisel	Rigid 14 - 20 t	Euro VI A/B/C	0	0	0	0	0	0	0	0	0	0	0	0	0	0	0	0	0	0	0	0	0	0	0	0	38	57	66	13 0	13 4	93	13 1	
Raske veok	Diisel	Rigid 14 - 20 t	Euro VI D/E	0	0	0	0	0	0	0	0	0	0	0	0	0	0	0	0	0	0	0	0	0	0	0	0	0	0	0	0	0	13	28	
Raske veok	Diisel	Rigid 20 - 26 t	Conventional	61 6	46 0	22 4	22 7	33 7	49 2	65 2	75 9	1 45 3	78 1	56 8	85 4	73 1	31 3	29 4	53 5	49 4	40 3	10 7	51	43	46	43	26	20	14	9	10	5	5	4	
Raske veok	Diisel	Rigid 20 - 26 t	Euro I	0	0	2	7	22	43	49	67	10 1	67	17 2	59 1	42 2	39 0	22 8	25 4	19 6	19 7	30	40	37	42	33	24	17	5	3	4	2	2	2	
Raske veok	Diisel	Rigid 20 - 26 t	Euro II	0	0	0	0	0	0	19	70	17 8	17 3	28 4	84 9	64 6	52 7	28 8	47 7	37 3	37 7	49	89	90	11 6	10 6	73	55	19	13	16	10	7	7	
Raske veok	Diisel	Rigid 20 - 26 t	Euro III	0	0	0	0	0	0	0	0	0	0	0	14 1	25 0	26 4	23 7	58 8	75 1	64 9	11 8	15 3	20 4	24 4	27 8	18 8	14 1	83	60	70	55	35	36	
Raske veok	Diisel	Rigid 20 - 26 t	Euro IV	0	0	0	0	0	0	0	0	0	0	0	0	0	0	0	0	0	19 0	37 3	12 0	15 9	23 5	28 1	31 3	20 5	18 3	11 0	76	92	57	45	49
Raske veok	Diisel	Rigid 20 - 26 t	Euro V	0	0	0	0	0	0	0	0	0	0	0	0	0	0	0	0	0	0	6	21	64	11 7	12 1	11 3	89	71	95	84	52	52		
Raske veok	Diisel	Rigid 20 - 26 t	Euro VI A/B/C	0	0	0	0	0	0	0	0	0	0	0	0	0	0	0	0	0	0	0	0	0	0	0	0	0	0	0	0	10 8	12 6	92	11 1
Raske veok	Diisel	Rigid 20 - 26 t	Euro VI D/E	0	0	0	0	0	0	0	0	0	0	0	0	0	0	0	0	0	0	0	0	0	0	0	0	0	0	0	0	0	16	26	
Raske veok	Diisel	Rigid 26 - 28 t	Conventional	0	0	0	0	0	0	0	0	0	0	0	0	0	0	0	0	0	0	41	24	23	26	23	16	11	6	4	4	3	2	3	
Raske veok	Diisel	Rigid 26 - 28 t	Euro I	0	0	0	0	0	0	0	0	0	0	0	0	0	0	0	0	0	0	44	37	35	43	34	24	20	12	8	9	5	4	4	



## Eesti Keskkonnauuringute Keskus OÜ

Raske veok	Diisel	Rigid 26 - 28 t	Euro II	0	0	0	0	0	0	0	0	0	0	0	0	0	0	0	0	83	88	85	11 1	11 2	77	60	40	28	35	22	17	17	
Raske veok	Diisel	Rigid 26 - 28 t	Euro III	0	0	0	0	0	0	0	0	0	0	0	0	0	0	0	0	49	71	94	13 9	19 1	14 2	13 1	10 2	77	10 4	83	46	50	
Raske veok	Diisel	Rigid 26 - 28 t	Euro IV	0	0	0	0	0	0	0	0	0	0	0	0	0	0	0	0	30	48	57	95	13 4	12 2	12 5	95	82	11 7	81	53	66	
Raske veok	Diisel	Rigid 26 - 28 t	Euro V	0	0	0	0	0	0	0	0	0	0	0	0	0	0	0	0	5	18	43	90	89	86	72	66	99	10 1	50	72		
Raske veok	Diisel	Rigid 26 - 28 t	Euro VI A/B/C	0	0	0	0	0	0	0	0	0	0	0	0	0	0	0	0	0	0	0	0	0	0	0	27	35	46	86	94	53	76
Raske veok	Diisel	Rigid 26 - 28 t	Euro VI D/E	0	0	0	0	0	0	0	0	0	0	0	0	0	0	0	0	0	0	0	0	0	0	0	0	0	0	0	0	9	21
Raske veok	Diisel	Rigid 28 - 32 t	Conventional	0	0	0	0	0	0	0	0	0	0	0	0	0	0	0	0	19	9	8	10	9	6	4	3	2	2	1	1	1	
Raske veok	Diisel	Rigid 28 - 32 t	Euro I	0	0	0	0	0	0	0	0	0	0	0	0	0	0	0	0	17	11	10	14	14	10	8	4	2	3	1	1	1	
Raske veok	Diisel	Rigid 28 - 32 t	Euro II	0	0	0	0	0	0	0	0	0	0	0	0	0	0	0	0	24	20	21	29	32	28	19	13	9	12	8	8	7	
Raske veok	Diisel	Rigid 28 - 32 t	Euro III	0	0	0	0	0	0	0	0	0	0	0	0	0	0	0	0	27	34	47	61	75	56	53	34	26	36	32	22	23	
Raske veok	Diisel	Rigid 28 - 32 t	Euro IV	0	0	0	0	0	0	0	0	0	0	0	0	0	0	0	0	22	32	59	62	77	53	48	31	24	36	23	22	23	
Raske veok	Diisel	Rigid 28 - 32 t	Euro V	0	0	0	0	0	0	0	0	0	0	0	0	0	0	0	0	3	8	22	45	45	39	24	21	29	34	19	23		
Raske veok	Diisel	Rigid 28 - 32 t	Euro VI A/B/C	0	0	0	0	0	0	0	0	0	0	0	0	0	0	0	0	0	0	0	0	0	0	0	10	12	16	32	36	26	28
Raske veok	Diisel	Rigid 28 - 32 t	Euro VI D/E	0	0	0	0	0	0	0	0	0	0	0	0	0	0	0	0	0	0	0	0	0	0	0	0	0	0	0	9	15	

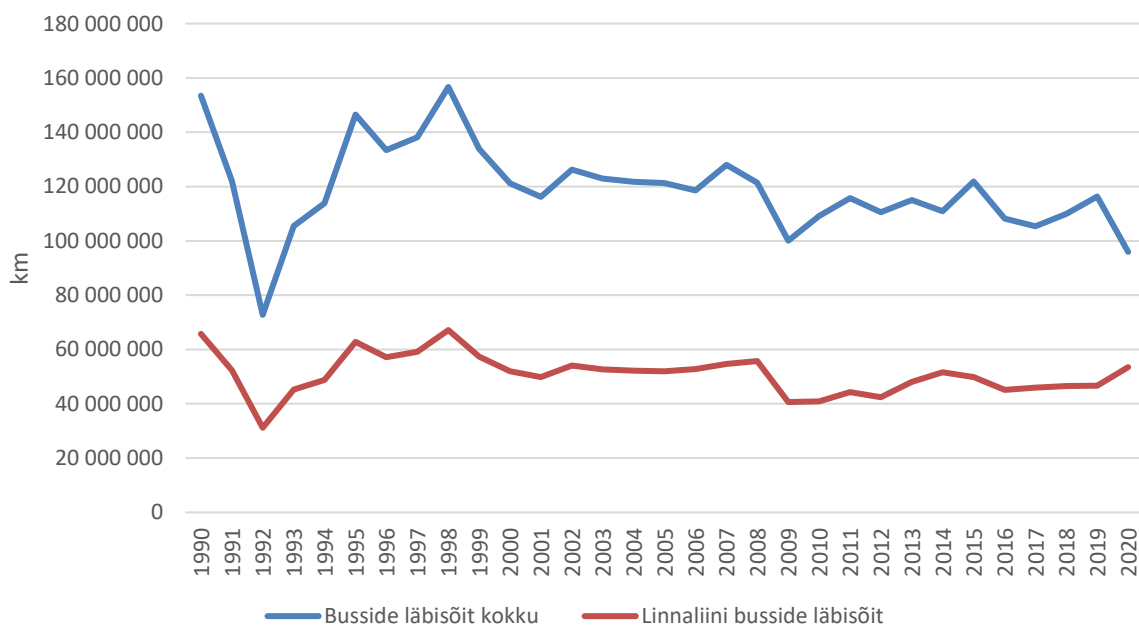


## Eesti Keskkonnauuringute Keskus OÜ

Raske veok	Diisel	Rigid >32 t	Conventional	9	7	3	3	5	7	10	15	21	11	7	11	8	3	4	9	10	9	5	3	3	3	3	2	2	1	1	1	0	0		
Raske veok	Diisel	Rigid >32 t	Euro I	0	0	0	0	0	1	1	1	1	1	5	3	2	2	3	3	4	5	3	2	1	2	3	2	2	2	1	2	1	0	1	
Raske veok	Diisel	Rigid >32 t	Euro II	0	0	0	0	0	0	0	14	21	17	27	18	10	7	4	5	7	8	8	7	8	10	11	9	7	6	4	6	4	3	3	
Raske veok	Diisel	Rigid >32 t	Euro III	0	0	0	0	0	0	0	0	0	0	0	7	16	13	10	10	17	17	16	16	16	19	22	18	16	15	12	16	14	9	11	
Raske veok	Diisel	Rigid >32 t	Euro IV	0	0	0	0	0	0	0	0	0	0	0	0	0	0	0	0	0	11	16	23	26	26	33	34	27	21	20	15	21	13	12	14
Raske veok	Diisel	Rigid >32 t	Euro V	0	0	0	0	0	0	0	0	0	0	0	0	0	0	0	0	0	0	0	0	3	3	8	10	10	8	8	7	9	11	7	8
Raske veok	Diisel	Rigid >32 t	Euro VI A/B/C	0	0	0	0	0	0	0	0	0	0	0	0	0	0	0	0	0	0	0	0	0	0	0	0	0	5	7	11	20	24	15	18
Raske veok	Diisel	Rigid >32 t	Euro VI D/E	0	0	0	0	0	0	0	0	0	0	0	0	0	0	0	0	0	0	0	0	0	0	0	0	0	0	0	0	0	5	8	

#### 4.6.3 Busside statistika

Antud tegevuse eesmärgiks oli täpsustada busside läbisõidu statistikat (läbisõidu osakaalud linnades/maanteel, keskmised kiirused). Küsimusi oli esitatud nii Transpordiametile kui ka Statistikaametile. Kuigi Transpordiamet ei kogu/oma infot busside läbisõidu linnaliinid ja maantee lõikes, Statistikaamet koondab sellist infot, kuid alates 2006. aastast (veel täpsem jaotus on alates 2017. aasta). Kasutades Statistikaameti andmebaasi tabelit TS541 ja 2022. a inventuuri COPERTI andmeid, sai välja arvutada ja koostada ajaloolise linnaliini busside läbisõidu trendi (Joonis 58).



Joonis 58 Busside summaarne ja linnaliinide läbisõit 1990-2020, km

Transpordiameti tellitud uuringu põhjal „Sõidukite liikumiskiiruste mõõtmine Eesti põhimaanteede kiiruspiirangute alades“ tuleb välja, et keskmine kiiruse ületus on ca 10%. Antud uuring ei kehti linnaliinide ega kaugliini bussidele, kuna busside liikumiskiirust mõjutavad peatuste arv ja täpne graafik. Lisaks, transporditeenust pakkuv ettevõtte on suurema avaliku huvi orbiidis, mistõttu kiirusületamised on üksikjuhtumitena sõidugraafikust maha jäämisel, tulenevalt ummikutest. Seetõttu maanteel liigeldes on busside liikumiskiirus ca 10% madalam kehtivast kiiruspiirangust ja linnaliinide puhul on kuni 50% liikumiskiirus madalam lubatud kiiruspiirangust.



## 5 Tööstuse valdkonna tegevused

Vastutav täitja: Aser Sikk

Kaastäitjad: Peeter Priks; Keio Vainumäe, Riina Titova, Arkadi Ebber

Jätkati 2020 a. alustatud töödega ning põhiröhk oli 2021 a. mõõtmiste teostamisel. Jätkusid saasteainete mõõtmised muude enimkasutatavate asfaldisegude AC Surf ja AC Base laotamisel. Mõõtmised teostati asfaldi kuumtaastamise protsessi käigus. Teostati katsed vookambriga gaaside ja peenosakeste eraldumiskiiruse määramiseks asfaltsegu pinnalt reaalsetes laotustingimustes. Katsete aluseks olid Peng, jt. 2020, Hugener, jt. 2019, Farshidi, jt. 2011 ja 2013, Xiu, jt. 2020, Eklund. 1992, US EPA. 1986 käsitletud meetodid. Hinnati saasteainete tekke sõltuvust asfaltsegu temperatuurist. Analüüsiti asfaltsegude retsepte ja kasutatavaid bituumensideaineid. Mõõtmistulemuste põhjal arvutati eriheited (TSP, PM10, PM2.5, BC ja NMVOC) pindalaühiku või asfaltsegu massiühiku kohta.

### 5.1 Tööstusprotsesside sektori õhusaasteainete eriheitetegurite uuendamine (lõpp 2021)

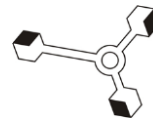
Õhusaasteainete inventuuri heitkoguste määramise parandamiseks viidi 2020 – 2021 aastal läbi mõõtmised ja katsed asfaldi laotamisel eralduvate  $\text{PM}_{\text{sum}}$ ,  $\text{PM}_{10}$ ,  $\text{PM}_{2.5}$ , BC ja NMVOCi eriheitetegurite täpsustamiseks. Eriheitetegurite leidmiseks teostati ülevaade kirjandusest, mis on käsitlenud saasteainete kontsentratsioonide mõõtmist asfaltsegude laotamisel ja heitetegurite leidmisel. Asfaltsegude laotamisega seotud eriheitetegurite leidmiseks ei ole välja töötatud ühtseid metoodikaid UNEP-i, USEPA, OECD ega EEA poolt. Käesolevas projektis kasutati erinevates uuringutes kasutatud mõõtmismeetodeid ja heitkoguste kvantifitseerimise põhimõtteid. Olemasolevate mõõtmisvõimaluste raames, saadud mõõtetulemuste ja pindaasteallikatest heitkoguste määramise meetodite põhjal kvantifitseeriti heitevood erinevate enimkasutatavate asfaltsegude kohta ning leiti vastavad heitetegurid. Lisaks anti võrdlev ülevaade käsitletavate saasteainetega seotud kontsentratsioonidest, mis on saadud asfaltsegude laotamise ajal teostatud mõõtmistega.

#### 5.1.1 Asfaltsegud ja nende laotamine

##### 5.1.1.1 Asfaltsegud

Asfaltsegude all mõistetakse standardi EVS 901-3 nõuetele vastavaid tihedaid, poorseid ja killustikmastiksasfalt segusid ja mustsegusid ning asfalt- ja mustkatete all nendest valmistatud katteid. Kasutatavad asfaltsegud jaotatakse lähtuvalt kasutamisest katendkihtides kolme erinevasse klassi:

- AC (surf, bin, base asfaltbetoon) ja SMA (killustikmastiksasfaltsegu) tüüpi asfaltsegud ning nendest ehitatud teekatted;
- MSE (mustsegu) tüüpi asfaltsegud ja nendest ehitatud teekatted;



- regenereeritud asfalist teekatendikihid. (Maanteeamet, 2014)

Asfaltsegude tootmise lähtematerjalidena kasutatakse erineva terastikulise suurusega täitematerjale ja sideainet (bituumenit).

Bituumenit toodetakse toornolta fraktsionaalse destilleerimise teel sisaldades hulgaliselt erinevaid varieeruvas mahus keemilisi ühendeid ja komponente. Bituumenid koosnevad enamasti tsüklilikust süsivesinikest (aromaatsed ja/või naftensesed) ja väiksemas osas küllastunud komponentidest, millel on väga madal keemiline reaktiivsus (polaarsus). (TTÜ, 2015)

Asfaltsegu retsept ja kavandatud asfaltsegu omadused peavad vastama standardile EVS 901-3. Asfaltsegu valmistatakse tsükkel- või pidevtoimega, statsionaarses või teisaldatavas seguris (tehases), mis peab võimaldama toota seuretseptile vastavat püsivate omadustega asfaltsegu. (Maanteeamet, 2014)

Üldjuhul tuleb AC tüüpi asfaltsegudes kasutada bituumeni marki 70/100. Erijuhtudel on võimalik tehniliselt põhjendatud lahendustes kasutada ka bituumeni marke 50/70; 100/150 või 160/220 ning polümeermodifitseeritud bituumeneid SMA tüüpi asfaltides. (Maanteeamet, 2014)

Asfaltsegu paigaldatakse laoturiga kuivale ja puhtale aluspinnale. Enne asfaltsegu laotamist toimub aluskihi kruntimine bituumeni või bituumenemulsiooniga ning peale laotamist tuleb asfaltkate tihendada. (Maanteeamet, 2014)

Sõltuvalt tee ehitusprojektist võidakse asfaltsegusid (nt. AC Base) laotada ka tasanduskihtidena, millele hiljem kantakse pealmine katendkiht.

#### **5.1.1.2 Asfaltsegude ja bituumeni tootmis- ning kasutusmahud**

Eesti Asfaldiliidi andmetel (Eesti Asfaldiliit, 2020) toodeti 2019 aastal Eestis kokku 1,63 miljonit tonni asfaltsegusid ja paigaldati 1,54 miljonit tonni. Suurima mahu toodetud asfaltsegudest moodustas AC Surf tüüpi segu (58,1%), millele järgnes AC Base (35,6%), AC Bin (4,7%) ja SMA (1,8%).

Pindamistöid tehti 2019 aastal mahus 12 889 tuhat m<sup>2</sup>. Kokku kasutati Eestis 2019. aastal asfaltsegudes naftabituumenit 82,7 tuhat tonni, teede ehituses modifitseeritud bituumenit 1 798 tonni ja naftabituumenemulsioone 28,1 tuhat tonni.

#### **5.1.1.3 Asfaldi laotamine**

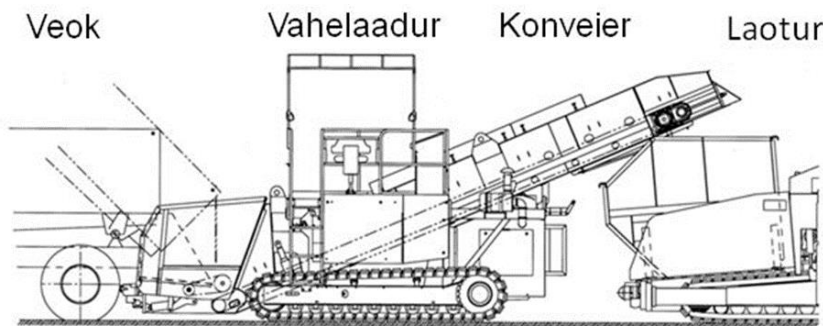
Asfaltsegud transporditakse reeglina ehitusobjektile selleks ettenähtud veokitega. Veokist toimub asfaltsegu laadimine laoturi või vahelaaduri punkritesse kust see transporditakse laoturi seuritesse ja seal tasanduslauani, millega kantakse asfaltsegu kiht tee aluspinnale.

Asfaltsegud tuleb laotada nii piki- kui põikprofiili järgimise automaatjuhtimissüsteemi abil, mis tagaks paigaldatud kihile esitatud nõutavad omadused. Seejärel toimub asfaldi katendkihi tihendamine sobivate teerullidega. Nõuded asfaltsegudele, asfaldi laotamisele ja tihendamisele on ära toodud Maanteeameti „Asfaldi katendkihtide ehitamise juhises“. (Maanteeamet, 2014)

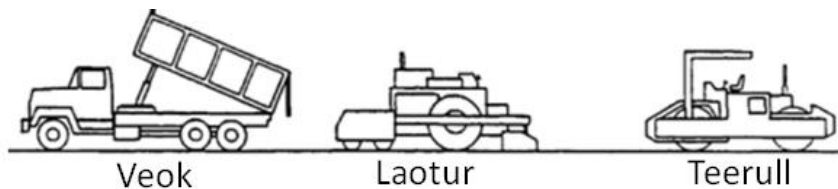
Polümeermodifitseeritud sideainet (SMA tüüpi asfaltsegud) sisaldava kuuma asfaltsegu (hot-mix) temperatuur ei tohi laoturi punkris olla alla  $140^{\circ}\text{C}$ . Üldjuhul jäab seda ja AC tüüpi asfaltsegude laotamisel segu temperatuur vahemikku  $145 - 165^{\circ}\text{C}$ .

Asfalti laotamise protsessi ja kasutatava tehnika põhimõtteskeemid on esitatud Joonis 59 ja Joonis 60.

Lisaks uute asfaltsegudest katendkihtide paigaldamisele kasutatakse teedeehituses ka asfaltkatete regenereerimist. Sellisteks viisideks on asfaldi korduskasutamine ja asfaltkatete kuumtaastamine. Nendest viimane on enim levinud asfaltkatete regenereerimise viis.



Joonis 59      Kasutatava tehnika põhimõtteskeem<sup>28</sup>



Joonis 60      Asfaltsegu laotusprotsess<sup>29</sup>

#### 5.1.1.4 Asfalteede pindamine

Pindamine on teekattele kulumis- ja ilmastikukaitsekihi ehitamine, mille korral kattele laotatakse vaheldumisi bituumensideainet ja sobiva terakoostisega täitematerjali, misjärel see rullitakse. Kasutatavad pindamistehnoloogiad on ära toodud Maanteeameti „Pindamisjuhises“. Pindamisprotsess koosneb järgmistest etappidest: katte ettevalmistamine, sideaine teele valamine, killustiku puistamine, rullimine ja lahtise killustiku harjamine. (Maanteeamet, 2017)

#### 5.1.2 Heited asfaldi laotamisest

Asfaltsegude kasutamist ja laotamise protsesse peetakse üheks peamiseks mittetraditsiooniliseks orgaaniliste ühendite heidete allikaks kuid neist lähtuvate heitkoguste mitte- või ebatäpset kvantifitseerimist peetakse õhusaasteainete inventuuride oluliseks puuduseks. Erinevatel temperatuuridel ja keskkonnatingimustel millega asfaltsegud oma

<sup>28</sup> [https://www.researchgate.net/figure/Machine-arrangement-for-Truck-Feeder-and-Paver\\_fig3\\_260479786](https://www.researchgate.net/figure/Machine-arrangement-for-Truck-Feeder-and-Paver_fig3_260479786)

<sup>29</sup> <https://www.fhwa.dot.gov/pavement/recycling/98042/09.cfm>



elutsükli jooksul (tootmine, transport, ladustamine, kasutamine, laotamine) kokku puutuvad, eraldub neist erinevaid orgaanilisi ühendeid ja nende segusid, kaasa arvatud ohtlikke saasteaineid. (Khare, jt. 2020)

Asfaldi laotamise käigus temperatuuride 145 – 180 °C juures eralduvad gaasid koosnevad peamiselt lenduvatest orgaanilistest ühenditest: alkaanid, monotsükloparafinid, alküülnaftaleenid ja alküülbenseenid. (Kriech, jt. 2002)

Kuumade asfaltsegude (*hot-mix asphalt*) laotamisega seotud saasteainete heitkoguste ja eriheidete kohta on infot vähesel määral. Rohkem on mõõtmisandmeid õhusaasteainete kontsentratsioonide kohta asfaldi laotamisega seotud töökeskkonna ja terviseuuringutest, mis käsitlevad peamiselt töötajate eksponeeritust peenosakeste, lenduvate orgaaniliste ühendite ja polütsüklistike aromaatsete ühendite (PAH) suhtes. Lisaks on teostatud uuringuid, milles on reaalsete mõõtmisandmete põhjal tuletatud eriheiteid erinevate asfalti tootmisprotsessi osade kohta - nii punkt- kui ka hajusallikate kohta. Tootmisprotsessiga seotud eriheitid on arvutatud esmatähtsate saasteainete, kasvuhoonegaaside, PAH-de ja NMVOC-de kohta. (Khare, jt. 2020)

Asfalditoomisega seotud tööstusharus on levinud veendumus, et asfaldi laotamisega kaasnevad heited on väiksed ja ebaolulised ning tootmisprotsessi käigus eraldatakse filtersüsteemidega suurem osa tolmu- ja peenosakeste ning orgaaniliste ühendite heitmetest. (Khare, jt. 2020)

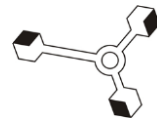
Asfaldi laotamisel tekkivate heitkoguste keemilised ja füüsikalised omadused sõltuvad otseselt kasutatavate materjalide tüübist ja nende kasutamisprotsessides esinevatest temperatuuridest. (Faber, jt. 2015)

Bituumeni aerosoolide heited moodustuvad madala lenduvusega gaasifaasis olevate orgaaniliste ühendite eraldumisel, mis peale emiteerumist ja jahtumist atmosfääris, kondenseeruvad tahketeks osakesteks. Nii emiteeruvate tahkete osakeste maht kui ka aerosooliosakeste ja emiteerunud gaaside mahu suhtav kasvavad temperatuuride tõustes. (Faber, jt. 2015)

### 5.1.3 Kirjanduse ülevaade - saasteainete kontsentratsioonid ja eriheeted

Kuna infot ja kirjandust, mis käsitlevad asfaldi laotamisega seotud saasteainete eriheidete ja heitkoguste arvutamist, on vähe, siis kirjanduse ülevaatesse on mõõtmisandmete võrdlemiseks juurde toodud andmeid ka uuringutest, milles on mõõdetud laotusprotsessis esinevaid kontsentratsioone.

Riikliku õhusaasteainete inventuuri koostamise aluseks oleva EMEP/EEA õhusaasteainete inventuuri 2019. aasta juhendmaterjalis käsitletakse asfaldi laotamisega seotud eriheitetegureid tegevusalade nomenklatuuri (NFR) kood 2.D.3.b "Road paving with asphalt" peatükis. Eriheitetegurid TSP, PM<sub>10</sub>, PM<sub>2.5</sub>, NMVOC ja BC kohta on esitatud kuumade asfaltsegude tootmise tehnoloogiate lõikes eraldi ja keskmistatult. Eriheitetegurid on antud eraldi "Hot-Batch Mix" ja "Hot-Drum Mix" asfalditoomise tehaste tehnoloogiate kohta. Eriheitetegureid ei ole eraldi esitatud ainult asfaldi laotamisega seotud protsessi kohta vaid



---

iseloomustavad heitmeid tervest asfalditootmise protsessist alates asfaltsegude valmistamisest kuni selle laotamiseni.

EMEP/EEA metoodikates kasutatavate TSP, PM<sub>10</sub>, PM<sub>2.5</sub>, NMVOC eriheitetegurite algallikaks on US EPA heitetegurite käsiraamatu AP-42 Compilation of Air Emissions Factors peatükid 11.1 Hot Mix Asphalt Plants ja 4.5 Asphalt Paving Operations. Peatükk 4.5 käsitleb lenduvate orgaaniliste ühendite (VOC) heitetegureid, võttes arvesse ühendite aurustumise kogust asfaldi pinnalt ja sideaine mahuprotsenti asfaltsegus.

Uuringute põhjal koostatud põhjalik ülevaade asfaldi laotamisel esinevatest kontsentratsioonidest, millega töötajad kokku puutuvad, on antud ka IARC-i aruandes "IARC Monographs - 103. Bitumens and bitumen emissions".

Allolevates tabelites on saasteainete lõikes ära toodud mõõdetud kontsentratsioonide ja eriheidete kirjandusallikad, määratud kontsentratsioonid ja leitud või kasutatavad eriheitetegurid ning proovivõtu- ja määramismeetodid. Tabelites esitatud andmed käivad kuumade asfaltsegude kohta (145 – 180 °C), mis on enim kasutatavad segud katendihiides.

**Tabel 73 TSP mõõtmistega seotud kirjandusallikad, määratud kontsentratsioonid ja meetodid**

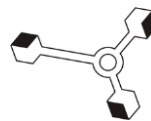
Kirjandus-allikas	Kontsentratsiooni vahemik, $\mu\text{g}/\text{m}^3$	Keskmine kontsentratsioon, $\mu\text{g}/\text{m}^3$	Eriheide	Proovivõtu meetod või standard	Määramismeetod või standard
Xiu, jt. 2020	86.3 - 3 126 (optiline)	1 800 (gravimeetrisline) 666 (optiline)	110 - 160 $\mu\text{g}/\text{kg}$ <i>asfalti kohta</i>	Staatiline vookamber, klaasfiiberfilter, madala mahtkuluga proovivõtu pump, portatiivne TSP analüsaator	Optiline, gravimeetrisline
Nilsson, P., jt. 2018	< 20 - 3 100 (laotamisprotsess)	93 000 (bituumeni kuumutamise laborikatse)	-	PTFE filter, madala mahtkuluga proovivõtu pump	Gravimeetrisline
Xu, jt. 2018	10 - 3 070	180-210 <sup>1</sup>	-	PTFE filter, madala mahtkuluga proovivõtu pump	Gravimeetrisline
Kriech, jt. 2002	30 - 640	210	-	PTFE filter, madala mahtkuluga proovivõtu pump	Gravimeetrisline, NIOSH 5042
Cavallari, jt. 2011	181 – 1 181	181 <sup>1</sup>	-	PTFE filter, madala mahtkuluga proovivõtu pump	Gravimeetrisline, NIOSH 5042
Rubio, jt. 2013	-	149.8 (24h keskm.)	-	Kvartsfiiberfilter, suure mahtkuluga proovivõtu pump	Gravimeetrisline
EMEP, 2019 ja US EPA, 2020a, 2020b, 2004	-	-	0.014 t/t <i>asfalti kohta</i> (kogu tootmisprotsess)	Klaasfiiberfilter	Gravimeetrisline
WebFIRE, 2020	-	-	0.00026 kg/t (laadimine)	-	-

<sup>1</sup> Mediaan**Tabel 74 PM<sub>10</sub> mõõtmistega seotud kirjandusallikad, määratud kontsentratsioonid ja meetodid**

Kirjandus-allikas	Kontsentratsiooni vahemik, $\mu\text{g}/\text{m}^3$	Keskmine kontsentratsioon, $\mu\text{g}/\text{m}^3$	Eriheide	Proovivõtu meetod või standard	Määramismeetod või standard
Xiu, jt. 2020	64 - 3 106	631	-	Portatiivne TSP analüsaator	Optiline
Chong, jt. 2018	47 - 7 801	-	-	PTFE filter, madala mahtkuluga proovivõtu pump	Gravimeetrisline, NIOSH 0600
Nilsson, jt. 2018	< 20 – 1 300	-	-	PTFE filter, madala mahtkuluga proovivõtu pump	Gravimeetrisline
Weiss, jt. 2018	61 - 3 954	180-210 <sup>1</sup>	-	Kvartsfiiberfilter, madala mahtkuluga proovivõtu pump	Gravimeetrisline
EMEP, 2019 ja US EPA, 2020a, 2020b, 2004	-	-	0.003 t/t <i>asfalti kohta</i> (kogu tootmisprotsess)	Kaskaadimpaktor, filtrid	Gravimeetrisline
UK NAEI, 2020	-	-	0.00004 t/t <i>asfalti kohta</i> (asfalti laotamine)	-	-

<sup>1</sup> Mediaan



**Tabel 75 PM<sub>2.5</sub> mõõtmistega seotud kirjandusallikad, määratud kontsentratsioonid ja meetodid**

Kirjandusallikas	Kontsentratsiooni vahemik, $\mu\text{g}/\text{m}^3$	Keskmine kontsentratsioon, $\mu\text{g}/\text{m}^3$	Eriheide	Proovivõtu meetod või standard	Määramis-meetod või standard
Xiu, jt. 2020	21 - 407	118	-	Portatiivne TSP analüsaator	Optiline
EMEP, 2019 ja US EPA, 2020a, 2020b, 2004	-	-	0.004 $\text{t}/\text{t asfalti kohta}$ (kogu tootmisprotsess)	-	-
UK NAEI, 2020	-	-	0.000012 $\text{t}/\text{t asfalti kohta}$ (asfalti laotamine)	-	-

**Tabel 76 NMVOC mõõtmistega seotud kirjandusallikad, määratud kontsentratsioonid ja meetodid**

Kirjandus-allikas	Kontsentratsiooni vahemik, $\mu\text{g}/\text{m}^3$	Keskmine kontsentratsioon, $\mu\text{g}/\text{m}^3$	Eriheide	Proovivõtu meetod või standard	Määramis-meetod või standard
Xiu, jt. 2020	21 - 407	118	-	Portatiivne TSP analüsaator	Optiline
EMEP, 2019 ja US EPA, 2020a, 2020b, 2004	-	-	0.000016 $\text{t}/\text{t asfalti kohta}$ (kogu tootmisprotsess)	Kaskaadimpaktor, filtrid	Gravimeetriiline
UK NAEI, 2020	-	-	0.000016 $\text{t}/\text{t asfalti kohta}$ (asfalti tootmine) 0.00048 $\text{t}/\text{t bituumeni kohta}$	-	-
IPCC, 1996	-	-	0.023 $\text{kg}/\text{t asfalti kohta}$ (tootmisprotsess)	-	-
IPCC, 1996	-	-	320 $\text{kg}/\text{t asfalti kohta}$ (asfalti pinnalt)	-	-
EMEP, 2019 ja VDI, 2007	-	-	30 $\text{kg}/\text{t asfalti kohta}$	-	-

**Tabel 77 BC mõõtmistega seotud kirjandusallikad, määratud kontsentratsioonid ja meetodid**

Kirjandusallikas	Kontsentratsiooni vahemik, $\mu\text{g}/\text{m}^3$	Keskmine kontsentratsioon, $\mu\text{g}/\text{m}^3$	Eriheide	Proovivõtu meetod või standard	Määramis-meetod või standard
EMEP, 2019	-	-	5.7% PM <sub>2.5</sub> -st	-	-

**Tabel 78 VOC ja TOC mõõtmistega seotud kirjandusallikad, määratud kontsentratsioonid ja meetodid**



Kirjandusallikas	Kontsentratsiooni vahemik, $\mu\text{g}/\text{m}^3$	Keskmine kontsentratsioon, $\mu\text{g}/\text{m}^3$	Eriheide	Proovivõtu meetod või standard	Määramismeetod või standard
Kriech, jt. 2002	150 - 8 320 (TOC)	1 230	-	PTFE filter, adsorbent XAD-2, madala mahtkuluga proovivõtu pump	GC/FID
Cavallari, jt. 2011	142 - 5 385 (TOC)	864	-	PTFE filter, adsorbent XAD-2, madala mahtkuluga proovivõtu pump	GC/FID
Farshidi, jt. 2013	-	-	2 000 $\mu\text{g}/\text{m}^2/\text{min}$ (VOC)	Staatiline vookamber, PTFE filter, adsorbent XAD-2, madala mahtkuluga proovivõtu pump	GC/MS
Wanga, jt. 2020	-	4 008 (VOC)	-	PTFE filter, adsorbent Carboxen 1000, madala mahtkuluga proovivõtu pump	TD/GC/MS
WebFIRE, 2020	-	-	0.002 kg/t asfaldi kohta (laadimine, VOC)	-	-
US EPA, 2020a	-	-	0.00055 kg/t/8-min (auto kastist, TOC)	-	-

## 5.1.4 Kasutatud mõõtemetoodikad

### 5.1.4.1 TSP, PM<sub>10</sub> ja PM<sub>2.5</sub>

Peenosakeste massikontsentratsiooni ( $\text{mg}/\text{m}^3$ ) määramiseks kasutati laserfotomeetrilist analüsaatorit DustTrak DRX8533, mis on mõeldud TSP, PM10 ja PM2.5 määramiseks välisõhus. Osakeste mõõtmise laserfotomeetrilisel meetodil seisneb osakeste konstantse kiirusega liikumisel läbi optilises mõõtekambris asuva laserkiire. Osakeste poolt tekitatud valgusimpulss registreeritakse tundlikul valgusdioodil, mis loeb ja arvutab osakeste suuruse vastavalt impulsile. Analüsaator võimaldab osakesi mõõta suurusvahemikus 0.1 kuni 10  $\mu\text{m}$ . Analüsaator sobib osakeste määramiseks kontsentratsioonivahemikus 1  $\mu\text{g}/\text{m}^3$  kuni 150  $\text{mg}/\text{m}^3$ .

Lisaks osakeste laserfotomeetrilisele määramise meetodile võimaldab seade välisõhust koguda kuni 10 mikromeetrise aerodünaamilise diameetriga osakeste proovi ka kvartsfüberfiltrile diameetriga 37mm. Proovi kogumise mahtkiiruseks on 2 liitrit minutis. Osakesi koguti filtrile eesmärgiga määrata filtrile kogutud proovist BC massikontsentratsioon.

### 5.1.4.2 NMVOC

NMVOC määramiseks kasutati analüsaatorit Graphite 52M-D. Analüsaatoris kasutatava leekionisatsioondetektori (FID) tööpõhimõte on orgaanilise süsiniku ioniseerumine vesiniku leegis. Analüüsitarv õhuproov juhitakse eelnevalt kalibreeritud leekionisatsioondetektoriga analüsaatorisse ja tulemuseks saadakse gaasi- või aurufaasis olev summaarne orgaaniline



süsik milligrammides kuupmeetri kohta. Lisaks määrab seade metaani sisalduse ning konverteerib saadud tulemused NMVOC-i massikontsentratsiooniks. Seadme summaarse orgaanilise süsiniku mõõtepiirkond on 0 - 10 000 ppmC (0 - 5 358 mgC/m<sup>3</sup>).

Analüsaatori mõõtmispõhimõte vastab standardile EN 12619:2013.

#### **5.1.4.3 Must süsinik e. BC**

BC määramiseks kasutati analüsaatorit Sunset Lab OC/EC Carbon Aerosol Analyzer Model 4L. Analüsaator kasutab kvartsfiiberfiltritele kogutud proovidest orgaanilise- (OC) ja elementsüsini (EC = BC) määramiseks soojus-optilist meetodit. Kogutud proovid desorbeeruvad filtrilt kuumutamise tagajärvel inertse heeliumi keskkonnas, millele järgneb temperatuuriliselt kontrollitud oksüdeerimisprotsess ning proovi süsiniku sisalduse analüüsimiseks kasutatakse leekionisatsioondetektorit. Analüsaatori OC mõõtepiirkond on 0.2-600 µgC/cm<sup>2</sup> ja EC mõõtepiirkond 0.2-30 µgC/cm<sup>2</sup>.

Analüsaatori mõõtmispõhimõte vastab NIOSH (National Institute for Occupational Safety and Health) mõõtemeetodile 5040.

#### **5.1.4.4 Proovivõtt asfaltsegu pinnalt dünaamilise vookambriga**

NMVOC heite mõõtmiseks laotatud asfaldi pinnalt kasutati Scentroid SF450 portatiivset dünaamilist poolsilindriline kujuga vookambrit mahuga 0.043 m<sup>3</sup>, mille põhja diameeter on 0.45 m ja põhjapindala 0.155 m<sup>2</sup>. Vookambril on oma sisselaskevea, mis on ühendatud sünteetilise õhu ballooniga ja väljalaskevea, mis on ühendatud FID analüsaatoriga mõõtmaks NMVOC kontsentratsioone kambrist väljuvates gaasides. Lisaks mõõdeti termopaariga kambri sisetemperatuuri ja asfaldi kambri alla jääva asfaltsegu pinnatemperatuuri. Tootja poolt ette nähtud kambrisse lisatava sünteetilise õhu mahtkiirus on 3.9 l/min ehk 0.000065 m<sup>3</sup>/s ja seda kontrolliti mõõtmiste ajal kalibreeritud voomeetriga. Kontsentratsioonide mõõtmiseks asetati vookamber vahetult peale laoturiga laotatud ja pressitud asfaltsegu pinnale hoides samal ajal lisatava õhu mahtkiirust 3.875 l/min juures ja mõõdeti FID analüsaatoriga NMVOC kontsentratsioone. FID analüsaatori proovivõtu imemise mahtkiirus jäab vahemikku 0.8-1.0 l/min.

#### **5.1.4.5 Ilmastiku parameetrid**

Temperatuuri, õhurõhu ning tuule suuna ja kiiruse määramisel kasutati Columbia Weather Systems'i portatiivset ilmajaama Magellan ning tarkvara WeatherMaster 4.0.

#### **5.1.4.6 Asfalti pinnatemperatuur**

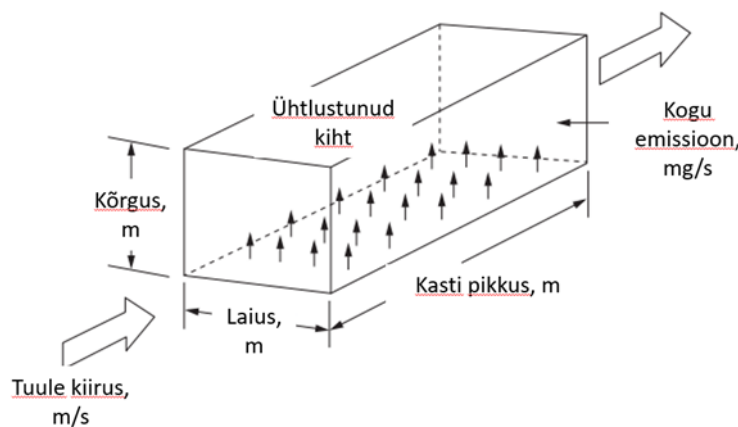
Asfalti pinnatemperatuuri määramiseks kasutati infrapuna termomeetrit FLIR TG165 mõõtepiirkonnaga -25...+380 °C.

## 5.1.5 Heitkoguste ja heitetegurite määramise metoodika

### 5.1.5.1 TSP, PM<sub>10</sub>, PM<sub>2.5</sub> ja BC

Erinevate asfaltsegude laotamisel eralduvate PM<sub>2.5</sub>, PM<sub>10</sub> ja BC heitetegurid on leitud arvutuslikult kasutades "simple box" mudelit ehk kastimudelit. (Ortolano, 1985; Font jt., 2014; Jamriska ja Morawska, 2001)

Meetod baseerub massibilansi põhimõttel, mis käsitleb asfaldi laoturi tagumist osa kastina. Kastile on antud oma pikkuse, laiuse ja kõrguse mõõdud ning kasti üks külg on võetud paralleelseks tuule suunaga. Mudeli kasutamisel lähtutakse järgmistest eeldustest: a) saasteaine kontsentratsioone mõjutava põhiprotsessid (heited ja kaod) on tasakaaluolekus; b) saasteainete segunemine on ideaalne ning kontsentratsioonid jagunevad kogu õhumassis ühtlaselt; c) keemilistest ja füüsikalistest reaktsioonidest tekkivad kaod ning ladestumine on ebaolulised; d) saasteained ei välju kastist piksuunaliste ega ülemise külje kaudu. Kastimeetodi põhimõtteskeem on esitatud Joonis 61.



**Joonis 61 Kastimeetodi põhimõte (Ortolando, 1985)**

Ükskõik millise saasteaine massibilanssi kastisüsteemis saab kirjeldada järgmiselt:

$$F_{\text{sisenev}} + F_{\text{lisanduv}} = F_{\text{väljuv}}$$

kus  $F_{\text{sisenev}}$  ja  $F_{\text{väljuv}}$  on kasti sisenevate ja väljuvate osakeste massivoog ( $\text{mg/s}$ ) ja  $F_{\text{lisanduv}}$  on asfaldi laotamisel emiteeruvate osakeste massivoog ( $\text{mg/s}$ ). Nimetatud massivoog on defineeritud järgmiselt:

$$F_{\text{sisenev}} = U \times H \times W \times C_b$$

$$F_{\text{lisanduv}} = EF \times W \times L$$

$$F_{\text{väljuv}} = U \times H \times W \times C$$

kus  $U$  on horisontaalne tuule kiirus ( $\text{m/s}$ );  $W, L, H$  on vastavalt kasti laius, pikkus ja kõrgus ( $\text{m}$ );  $C_b$  on saasteaine taustakontsentratsioon vastutuult ( $\text{mg/m}^3$ );  $C$  on kastis mõõdetud saasteaine kontsentratsioon allatuult ( $\text{mg/m}^3$ );  $EF$  on heitevoog ( $\text{mg/m}^2 \times \text{s}$ ).

Võttes aluseks massibilanssi ja massivooge kirjeldavad võrrandid saame nendest tuletada  $EF$  arvutustehete:



$$EF = \frac{U \times H \times W \times (C - C_b)}{L \times W}$$

kus  $C - C_b$  näitab kontsentratsiooni juurdekasvu ( $mg/m^3$ ).

Teoreetilise kasti laiuseks võeti 2 m lähtudes laoturi tasanduspinna laiusest ja analüsaatori positsioonist, pikkus võrdseks laotatud asfaldipaa liusega ja kõrguseks 8.4 m. Kasti sobiva kõrguse määramiseks tuleb meetodi põhjal hinnata saasteainete segunemise ja ühtlustumise maksimaalset kõrgust. See leitakse erinevatel kõrgustel määratud kontsentratsioonide põhjal. Kuna asfaldi laotamise juures ei olnud võimalik peenosakeste kontsentratsioone mõõta erinevatel kõrgustel, siis lähtuti Jamriska ja Morawska 2001 uuringus leitud segunemise kõrgusest 8.4 m.

#### 5.1.5.2 NMVOC

Erinevate asfaltsegude laotamisel eralduva NMVOC heitetegurid on leitud dünaamilise vookambri ja FID analüsaatoriga teostatud NMVOC mõõtmistulemuste põhjal.

Dünaamiline vookamber on avatud ümara põhjaga pealt kinnine seade, kuhu lisatakse teadaoleva kiirusega sünteetilist õhku või lämmastikku. Kambris elevat õhku segatakse või kasutatakse spetsiaalseid sisselaskeavasid, mis tagavad õhu kiire segunemise kambris. Kambrit läbiva gaasikoguse mahtkiirust reguleeritakse ja uuritavate ainete kontsentratsiooni kambri väljavoolus mõõdetakse. (EKUK, 2005)

Kui teada on kambri põhja pindala, kambrit läbiva õhu mahtkiirus ja saasteaine kontsentratsioon väljuvas gaasis, siis leitakse saasteaine voog pinnalt järgmise valemi kaudu (EKUK, 2005; Eklund, 1992; Farshidi, jt. 2013):

$$EF = (C \times R) / A$$

kus  $EF$  on heitevoog ( $mg/m^2 \times s$ );  $C$  on mõõdetud saasteaine kontsentratsioon ( $mg/m^3$ );  $R$  on kambrit läbiva gaasi mahtkiirus ( $m^3/s$ ) ja  $A$  on kambri põhja pindala ( $m^2$ ).

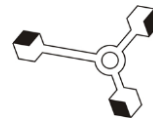
Kui on teada heitevoog pindalaühiku kohta ja asfaltsegu mass sama pindalaühiku kohta, siis saame asendada heitevoos pindalaühiku massiga ja esitada heitevoo ka pindalaühiku massi kohta ( $mg/kg \times s$ ). SURF ja SMA asfaltsegu keskmise mass ehk kulunorm 1  $m^2$  kohta on 147 kg ja BASE tüüpi segul 143.4 kg.

#### 5.1.6 Heitetegurite leidmine

Heitetegurid erinevate saasteainete kohta leitakse asfaltsegude lõikes. Aluseks võetakse mõõtmistulemuste põhjal asfaltsegude põhiselt leitud heitevood ( $EF$ ), mis keskmistatakse vastavalt teostatud pidevmõõtmiste või vookabriga tehtud katsete arvu põhjal. Heitetegurid esitatakse aine massina pindalaühiku kohta sekundis ( $mg/m^2 \times s$ ) või massina kilogrammi asfaltsegu kohta sekundis ( $g/kg \times s$ ).

#### 5.1.7 Teostatud mõõtmised ja asfaltsegud

Ajavahemikus 26.09.2020 – 02.11.2021 koguti PM2.5 ja PM10, TSP, BC ja NMVOC proove 3 erineva enimkasutatava asfaltsegu tüübi laotamisel: SMA, AC SURF ja AC BASE. SMA ja AC SURF segusid kasutatakse pealmistes tee katendkihtides ja BASE segu alumistes



katendkihtides. Lisaks mõõdeti proovivõtmise ajal PM2.5, PM10, TSP ja BC taustakontsentratsioone, pinnatemperatuuri FLIR termomeetriga ning mobiilse ilmajaamaga ilmastiku parameetreid: tuule kiirus ning tuule suund, välisõhu temperatuur ja õhurõhk.

Proovivõtu päevad, laotamise asukohad koos segu tüüpide ja laotamise tingimuste ning mõõdetud parameetritega on ära toodud Tabel 79.

**Tabel 79 Proovivõtu kohad ja parameetrid**

Kpv	Asukoht	Asfaldi segu	Sideaine sisaldus, %	Laotamise temp., °C	Saasteaine	Proovivõtu meetod	Proovivõtu kestvus, h
26.09.2020	Tallinn – Pärnu mnt. Jälgimäe	SMA	5.8	143-163	NMVOC, PM2.5, PM10, BC	FID, Laser-fotomeetriline	8
14.10.2020	Tallinn – Pärnu mnt. Jälgimäe	SMA	5.8	143-156	NMVOC, PM2.5, PM10, BC	FID, Laser-fotomeetriline	4
05.05.2021	Marja tn 4d, Tallinn	AC BASE	3.6	147-153	NMVOC	FID, vookamber	-
10.05.2021	Marja tn 4d, Tallinn	AC SURF	5	106-145	NMVOC	FID, vookamber	-
16.09.2021	Piibe mnt. Pikkjärve	AC SURF	5	133-170	NMVOC, PM2.5, PM10, BC	FID, Laser-fotomeetriline	4
22.09.2021	Tallinn-Tartu mnt. Kükita	AC BASE	3.1-3.3	145-178	NMVOC, PM2.5, PM10, BC	FID, Laser-fotomeetriline	4
01.10.2021	Tallinn-Tartu mnt. Kükita	AC SURF	4.8	155-175	NMVOC, PM2.5, PM10, BC	FID, Laser-fotomeetriline	4
08.10.2021	Tallinn-Tartu mnt. Anna	AC BASE	3.1	135-166	NMVOC, PM2.5, PM10, BC	FID, Laser-fotomeetriline	4
02.11.2021	Tallinn-Tartu mnt. Kükita	AC BASE	3.3	133-156	NMVOC	FID, vookamber	-

Pidevmõõtmisi teostati asfalteerimisprotsessi käigus laoturi tagaosas asuva tasanduslaua pealt vahetult laotatud asfalti ning tasanduslaua all asetseva seguri kohal. FID analüsaatori proovivõtu sond asetses 20 cm kõrguse sel asfalti pinnast ning DustTrak analüsaator asetses sõltuvalt laoturi tüübist 1.5-2.5 m kõrguse sel asfalti pinnast. Pidevproove erinevate asfaltsegude laotamisel võeti kokku 6 päeval.

Dünaamilise vookambriga mõõdeti NMVOC heidet kokku 3 päeval ja teostati 6 katset, millest 5 viidi läbi asfaltseguga BASE ja 1 katse seguga SURF. Vookambriga viidi mõõtmised läbi vahetult peale laoturi laotatud asfaldi pinnalt.

Laatusprotsessis kasutatud tehnika ja laatusprotsessi käigus eralduvate saasteainete heitepunktid ja mõõtekohad on ära toodud Joonis 62, Joonis 63 ja Joonis 64. Dünaamilise vookambriga teostatud katse on esitatud Joonis 65.



Joonis 62 Laotusprosess ja heite mõõtepunktid



Joonis 63 Laoturi tasanduslaud ja heide



Joonis 64 Mõõtmisprotsess ja analüsaatorid laoturil



Joonis 65 Mõõtmine dünaamilise vookambriga



## 5.1.8 Tulemused

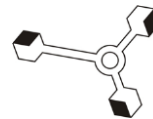
### 5.1.8.1 Mõõdetud kontsentratsioonid

Kõikide käsitletavate saasteainete mõõtmistulemused on esitatud järgnevates tabelites. Kõik mõõtmistulemused on normaliseeritud normaaltingimustele 0 °C ja 101.325 kPa. Eraldi on esitatud laotamise käigus laoturil pidevmõõtmistega mõõdetud kontsentratsioonid Tabel 80 ja samaaegselt vastutuult mõõdetud taustakontsentratsioonid Tabel 81. Taustakontsentratsioone ei mõõdetud NMVOC-de osas. Temperatuurid on esitatud mõõteperioodi keskmistena.

**Tabel 80 Pidevmõõtmiste tulemused asfaldi laoturil**

Kpv.	Asfaldi segu	Sideaine sisaldus, %	Pinna-temp., °C	Temp. 20-30cm, °C	NMVOC, mg/Nm <sup>3</sup>	TSP, mg/Nm <sup>3</sup>	PM <sub>10</sub> , mg/Nm <sup>3</sup>	PM <sub>2,5</sub> , mg/Nm <sup>3</sup>	BC, µg/Nm <sup>3</sup>
26.09.2020	SMA	5.8	151	36	26.2	10.7	10.7	10.7	3.0
14.10.2020	SMA	5.8	150	36	36.5	88.6	88.6	86.6	< 0.4 <sup>1</sup>
16.09.2021	AC SURF	5	150	28	23.3	4.3	4.3	4.3	< 2.4 <sup>1</sup>
01.10.2021	AC SURF	4.8	166	30	18.6	2.4	2.4	2.4	8.3
22.09.2021	AC BASE	3.1-3.3	165	27	15.0	2.4	2.4	2.4	5.4
08.10.2021	AC BASE	3.1	158	23	15.8	1.0	1.0	1.0	6.7

<sup>1</sup> allpool määramispiiri

**Tabel 81 Mõõdetud taustakontsentraatsioonid**

Kpv.	TSP, mg/Nm <sup>3</sup>	PM <sub>10</sub> , mg/Nm <sup>3</sup>	PM <sub>2.5</sub> , mg/Nm <sup>3</sup>	BC, µg/Nm <sup>3</sup>
26.09.2020	20.6	20.6	6.2	< 0.2 <sup>1</sup>
14.10.2020	6.2	6.2	2.8	< 0.4 <sup>1</sup>
16.09.2021	0.01	0.01	0.01	< 1.8 <sup>1</sup>
01.10.2021	0.04	0.04	0.04	1.7
22.09.2021	0.03	0.03	0.02	3.9
08.10.2021	0.03	0.03	0.03	2.8

<sup>1</sup> allpool määramispiiri

### 5.1.8.2 Heitkogused

Heitkoguseid PM<sub>2.5</sub> ja PM<sub>10</sub>, TSP ja BC osas on hinnatud arvutuslikult kastimeetodi ja reaalsete mõõtmistulemuste põhjal. Aluseks on peatükkis nr 5.1.5 ära toodud metodika. Kastimeetodiga leitud heitevood on erinevates ühikutes esitatud Tabel 82 ja Tabel 83.

**Tabel 82 Heitevood kastimeetodi põhjal I**

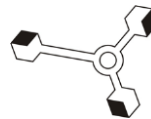
Kpv.	Asfaldisegu	TSP, mg/m <sup>2</sup> *s	PM <sub>10</sub> , mg/m <sup>2</sup> *s	PM <sub>2.5</sub> , mg/m <sup>2</sup> *s	BC, µg/m <sup>2</sup> *s
26.09.2020	SMA	43.6	43.6	43.6	12.1
14.10.2020	SMA	815.3	815.3	796.5	-
16.09.2021	AC SURF	17.96	17.96	17.95	-
01.10.2021	AC SURF	8.72	8.72	8.68	30.5
22.09.2021	AC BASE	14.18	14.18	14.16	8.8
08.10.2021	AC BASE	5.03	5.03	5.02	20.1

**Tabel 83 Heitevood kastimeetodi põhjal II**

Kpv.	Asfaldisegu	TSP, g/kg*s	PM <sub>10</sub> , g/kg*s	PM <sub>2.5</sub> , g/kg*s	BC, g/kg*s
26.09.2020	SMA	3.0E-04	3.0E-04	3.0E-04	8.3E-08
14.10.2020	SMA	5.5E-03	5.5E-03	5.4E-03	-
16.09.2021	AC SURF	1.2E-04	1.2E-04	1.2E-04	-
01.10.2021	AC SURF	5.9E-05	5.9E-05	5.9E-05	2.1E-07
22.09.2021	AC BASE	9.9E-05	9.9E-05	9.9E-05	6.2E-08
08.10.2021	AC BASE	3.5E-05	3.5E-05	3.5E-05	1.4E-07

NMVOC heitvooge hinnati vookambriga tehtud katsete põhjal. Arvutuste aluseks on katsete jooksul mõõdetud kontsentraatsioonide keskmised kontsentraatsioonid. Tulemused on esitatud Tabel 84. Tabelisse on lisatud ka SMA asfaltsegu heitevood. SMA asfaltseguga vookambri katset läbi ei viidud ning heitevoogude arvutamise aluseks on vastavatel kuupäevadel mõõdetud NMVOC kontsentraatsioonid, kupli parameetrid ja ette nähtud kuplit läbiva õhuvoolu mahtkiirus. Sellest tingituna võivad leitud heitvood alahinnata tegelikke heitvooge, sest eeldatavasti oleks vookabris NMVOC kontsentraatsioonid kõrgemad kui välisõhus asfaldi laotamisel esinevad kontsentraatsioonid.

**Tabel 84 NMVOC heitevood**



Kpv.	Asfaldi segu	Sideaine sisaldus, %	Temp. kambris, °C	NMVOC, mg/Nm³	Mahtkiirus, m³/s	Heitvoog, mg/m²*s	Heitvoog, g/kg*s
26.09.2020	SMA	5.8	36	26.2	6.67E-05	0.011	7.66E-08
14.10.2020	SMA	5.8	36	36.5	6.67E-05	0.016	1.07E-07
05.05.2021	AC BASE	3.6	27	16.1	6.59E-05	0.007	4.77E-08
10.05.2021	AC SURF	5.0	36	56.9	6.58E-05	0.024	1.64E-07
11.02.2021	AC BASE	3.3	37	10.0	6.67E-05	0.004	2.92E-08
11.02.2021	AC BASE	3.3	37	16.4	6.67E-05	0.007	4.93E-08
11.02.2021	AC BASE	3.3	36	15.5	6.82E-05	0.007	4.75E-08
11.02.2021	AC BASE	3.3	38	14.0	6.67E-05	0.006	4.20E-08

### 5.1.8.3 Heitetegurid

Heitevoogude põhjal ja asfaltsegude lõikes arvutatud heitetegurid on esitatud Tabel 85 ja Tabel 86

**Tabel 85 Heitetegurid I**

Asfaltsegu	NMVOC, mg/m²*s	TSP, mg/m²*s	PM <sub>10</sub> , mg/m²*s	PM <sub>2.5</sub> , mg/m²*s	BC, µg/m²*s
SMA	7.9E-03	-	-	-	1.2E+01
AC SURF	2.4E-02	1.3E+01	1.3E+01	1.3E+01	2.0E+01
AC BASE	6.2E-03	9.6E+00	9.6E+00	9.6E+00	2.0E+01

**Tabel 86 Heitetegurid II**

Asfaltsegu	NMVOC, g/kg*s	TSP, g/kg*s	PM <sub>10</sub> , g/kg*s	PM <sub>2.5</sub> , g/kg*s	BC, g/kg*s
SMA	5.3E-08	-	-	-	8.3E-08
AC SURF	1.6E-07	9.1E-05	9.1E-05	9.1E-05	1.4E-07
AC BASE	4.3E-08	6.7E-05	6.7E-05	6.7E-05	1.4E-07

TSP ja PM-de heitetegureid SMA asfaltsegu kohta ei esitata. Samasuguse retseptiga ja sarnastel tingimustel laotati SMA asfaltsegu mölemal mõõtmispäeval, kuid tulemuste erinevus oli enam kui 18 kordne. Samuti oli sarnased mölema mõõtmispäeva analüüsitehnika ja mõõtmismeetodid. NMVOC-de puhul sellist erinevust ei olnud. Samuti jäi alla määramispiiri 16.09.2021 AC SURF laotamisel mõõdetud BC kontsentratsioon. Kuna aga AC SURF ja AC BASE segudes kasutatavad sideained ja nende sisaldus on väga sarnased ning 3 pidevmõõtmisega kvantifitseeriti BC kontsentratsionid, siis võeti nii AC SURF kui ka AC BASE heiteteguri leidmisel aluseks kolme mõõtmise keskmine heitevoog.

BC heitetegur on saadud ühe 26.09.2020 mõõtmistulemuse põhjal. 16.09.2020 mõõtmisel jäi BC kontsentratsioon alla määramispiiri ja heitvoogu seetõttu ei hinnatud.



## 6 Pöllumajanduse valdkonna tegevused

### 6.1 Eesti lauda- ja sõnnikukätlustehnoloogiate ja nende mõju kaardistamine (lõpp 2021)

Vastutav täitja. Allan Kaasik

Kaastäitjad: Hannes Keernik, Marek Maasikmets

#### 6.1.1 2020 a. tegevused

Juuli-detsember 2020 jooksul valmis Eesti Maaülikoolilt kui korraldatud hanke võitjalt tellitud töö „Eesti lauda- ja sõnnikukätlustehnoloogiate ning sõnniku laotamise tehnoloogiate uuring“. Tellitud töö tulemusel täpsustati NH<sub>3</sub> ja KHG heitega seotud 2020. aasta levinuimate Eesti sõnnikukätlussüsteemide sh karjatamise, laudatehnoloogiate, sõnniku hoidlate katmisviiside ja sõnniku laotamistehnoloogiate jaotust. Teostati ka sõnniku hoidlate ruumiline analüüs, leides hoidlate koordinaate ja pindalasi. Uuringuks vajalikud algandmed saadi peamiselt Keskkonnaameti KOTKASe andmebaasist, Ehitusregistrist ja Pöllumajanduse Registrite ja Informatsiooni Ametist. Uuringus leiti, et lüpsikarja pidamisel on peamiseks tehnoloogiliseks lahenduseks vähesel allapanul vabapidamine sõnnikueemaldamisega üle kolme korra päevas, lihaveiseid aga peetakse enamasti vabapidamisel sügavallapanul. Seakasvatuses valdavad allapanuta pidamistehnoloogiad. Vedelsõnniku hoidlate koguarvust moodustuvad peaaegu kaks kolmandikku ringja põhiplaaniga ja ühe kolmandiku laguuntüipi mahutid. Hoidlate pindalast lähtuvalt on aga olukord vastupidine. Tahesõnniku hoidlate koguarvust ja -pindalast moodustavad katusega hoidlad umbes 15%. Umbes 40% vedelsõnnikust laotatakse segamislaotusega, umbes 35% sisestuslaotusega ja ligikaudu 2% paisklaotusega. Tahesõnnikut laotatakse traditsiooniliselt paisklaotusega. Tellitud uuringu tulemused on leitavad eraldi aruandena.

Erinevate hoidlatüüpide (vedel- ja tahesõnniku hoidla) NH<sub>3</sub>, N<sub>2</sub>O ja CH<sub>4</sub> eriheidete mõõtmised (maksimaalselt 10 hoidlat ning valik tehakse saasteainete heitkoguste inventuuri seisukohast olulistest hoidlatüüpidest). Tegevused on planeeritud aastateks 2020-2021.

Koostöös KAURI ja Eesti Maaülikooli spetsialistidega valiti inventuuri seisukohast olulised hoidlatüübhid ning valiti välja konkreetsed mõõtekohad, mis on järgmised:

1. Sigade vedelsõnniku hoidla: röngasmahuti (ujuvkate); 2 käitist - Lutsu sigala, Pandivere Kisla sigala
2. Piimalehmade vedelsõnniku hoidla: laguun (loomulik koorik); 2 käitist - Põlva POÜ, Hummuli Agro või mõni muu Põlva POÜ hoidla
3. Piimalehmade vedelsõnniku hoidla: röngasmahuti (loomulik koorik); 2 käitist - Põlva POÜ, Männiku Piim
4. Piimalehmade vedelsõnniku hoidla: kinnine mahuti; 1-2 käitist olenevalt, kas hoidlaid on Eestis 1 või rohkem - Märja katselaut, JK OTSA TALU OÜ

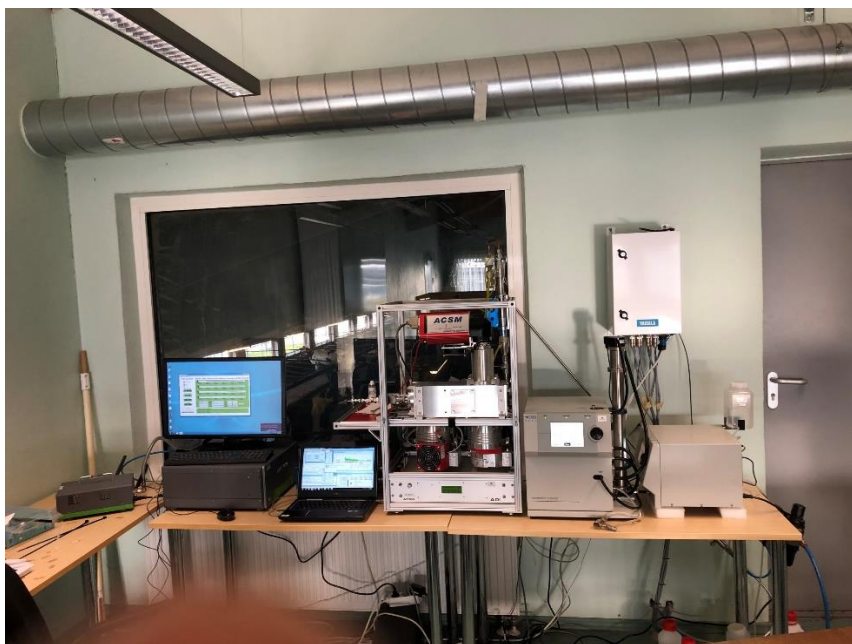
5. Muude veiste ja piimalehmade tahesõnniku hoidla: varikatusega ja loomuliku koorikuga hoidla; 2 käitist - Vao Agro OÜ, Rannu Mõis OÜ

6. Sigade vedelsõnniku hoidla: kinnine mahuti; 1 käitus, jäab valikusse juhul kui Eestis on endiselt vaid 1 käitus piimalehmade vedelsõnniku hoidla kinnise mahutiga – Säkna

Eesti Maaülikoolist osales konkreetsete mõõtekohtade valikul Allan Kaasik ning kokkulepped mõõtmiste teostamiseks on olemas, kuid hetkel pole soe ilm soosinud talviste heitkoguste mõõtmise teostamist. Mõõtmistega alustatakse kohe kui minimaalselt 1 nädal on olnud ööpäevakeskmise temperatuur alla 0°C.

2020 a. suve lõpus alustati Märja katselaudas NH<sub>3</sub>, N<sub>2</sub>O, CH<sub>4</sub>, CO<sub>2</sub>, peenosakeste (PM<1.0), nende arvkontsentratsiooni (#/cm<sup>3</sup>) ja keemilise koostise (orgaanika, NH<sub>4</sub><sup>+</sup>, SO<sub>4</sub><sup>2-</sup>, NO<sub>3</sub><sup>-</sup>, Chl<sup>-</sup>) reaalajas mõõtmistega, kasutades selleks järgmist mõõteaparatuuri (Joonis 66):

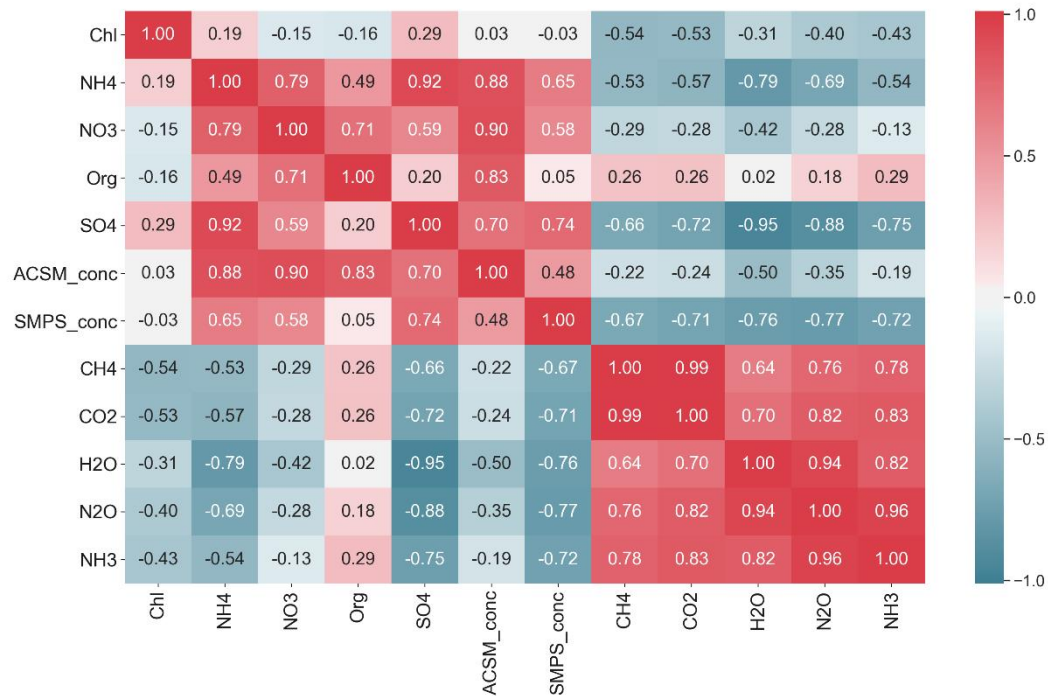
1. Gaaside kontsentratsioon - Picarro CRDS G2508;
2. Peenosakeste arvkontsentratsioon – SMPS (Scanning mobility particle sizer, 3938, TSI), mõõtevahemik 10 nm kuni 1000 nm;
3. Peenosakeste (PM<1.0) keemiline koostis – ACSM (Aerosol Chemical Speciation Monitor, Aerodyne).



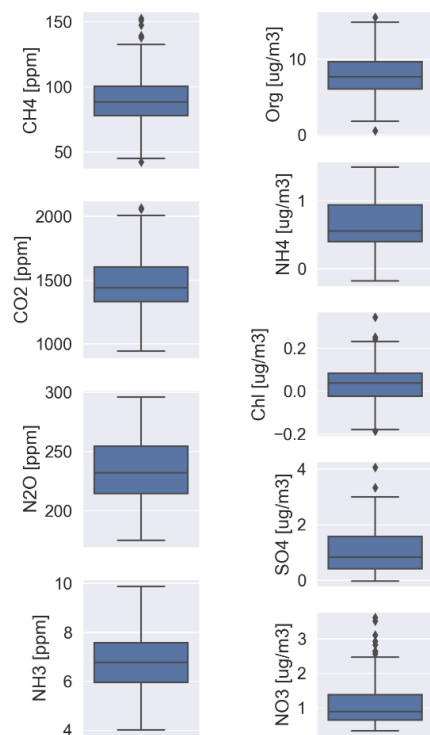
Joonis 66 Märja katselaudas olevad mõõteseadmed

Mõõtmiste alusel saab hinnata kui palju tekib laudas kohapeal ammoniaaki ning kui palju sellest jõuab minna aerosoolifaasi. Mõõtmisi jätkatakse 2021 a. 2020 a. esialgsed mõõtetulemused on toodud Joonis 67 kuni Joonis 70. Esialgsete tulemuste põhjal on tuvastatav, et NH<sub>3</sub> ja NH<sub>4</sub><sup>+</sup> vahel esineb tugev negatiivne korrelatsioon (-0,54), mille põhjal võib järeldada, et vähemalt sel perioodil pärines enamus NH<sub>4</sub><sup>+</sup> väliskeskonnast. Siiski tuleb andmeid edasi analüüsida, et selgitada kui palju ja mis tingimustel NH<sub>3</sub> läheb laudakeskkonnas üle aerosoolifaasi. Teoreetiliselt peaksid selleks sobima talvised tingimused kui temperatuur ning õhuvahetus on laudas madal. Osakeste suurusjaotuse (Joonis 69) puhul on täheldatav

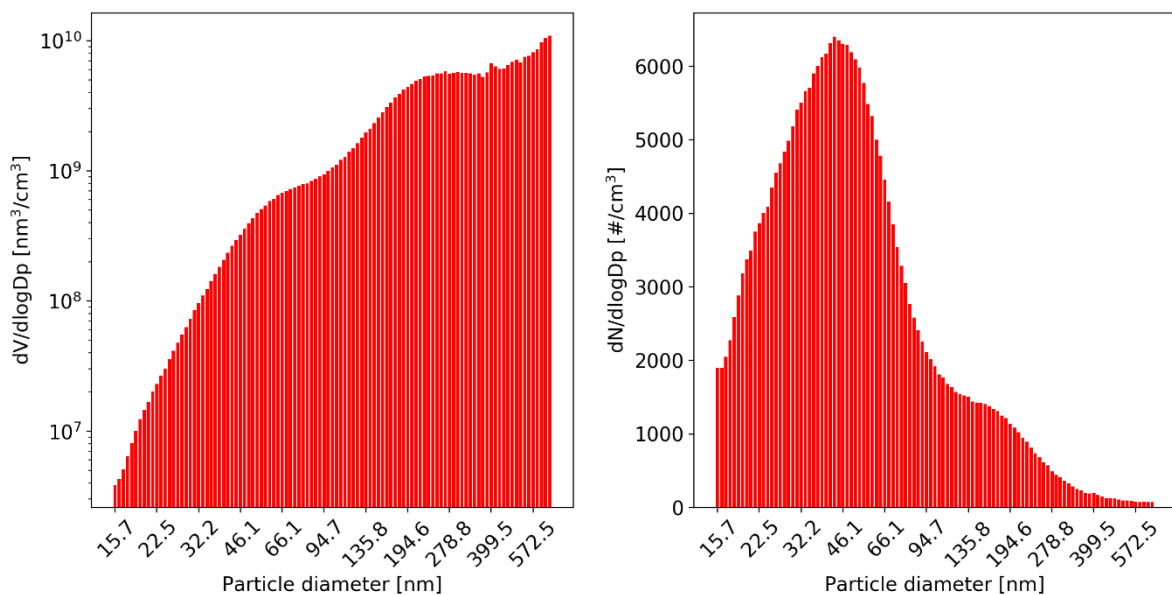
maksimaalne numbrikontsentratsioon suurusvahemikus 30-50 nm. Joonis 70 põhjal on täheldatav mitmed nukleatsioonipuhangud ning edasise töö käigus peab analüüsima puhangute tekkepõhjuseid, st kas tegemist on laudas või välisõhus toimuvate protsessidega. Igaljuhul on kogutavad andmed üliolulised, et selgitada ammoniaagi ning peenosakeste dünaamikat laudakeskkonnas.



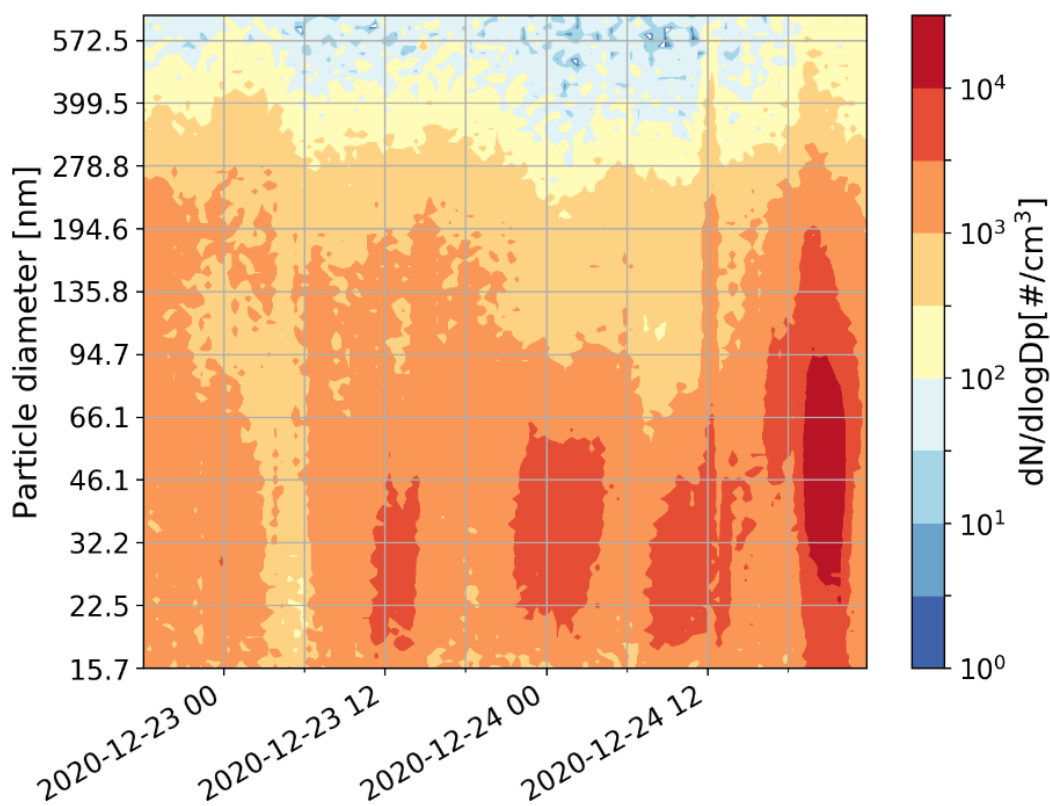
**Joonis 67 ACSM, SMPS (15-673 nm) ja Picarro mõõtmistulemustel põhinevad esialgsed korrelatsioonid Märja katselaudas**



**Joonis 68 ACSM ja Picarro poolt mõõdetud parameetrite esialgsed kvantiilid ning keskmised, miinimum- ja maksimumväärtused Märja katselaudas**



**Joonis 69 Keskmine osakeste suurusjaotus kasutades ruumilist- ja numbrilist kontsentratsiooni**



**Joonis 70** Näide SMPS mõõdetud osakeste numbrilise kontsentratsiooni ajalisest evolutsioonist vahemikus 22.12.2020 18:00 kuni 25.12.2020 00:00

#### 6.1.1.1 PM<sub>10</sub> eriheidete otsing kirjandusest

Ülesanne: Uuritakse, kas kirjandusallikate põhjal on võimalik leida Eesti konteksti sobituvaid PM<sub>10</sub> (võimalusel ka PM<sub>2.5</sub> ja PMsum) eriheitete sigalatele (nuumsead, võõrdepõrsad, emised) ja kanalatele (broilerid, munakanad) arrestades allapanu liiki, loomade aktiivsust ja pidamisviisi selliselt, et kaetud oleksid Eesti kätitistes levinumad pidamisviisid. Eriheidete leidmisel lähtutakse EMEP/EEA Guidebook'ist. Vastav kirjandusallikate analüüs lõpetatakse hiljemalt juuniks 2021.

**Tabel 87** EMEP/EEA Guidebook eriheeted

PM <sub>10</sub> ja PM <sub>2.5</sub> (tier 1) eriheeted (kg AAP <sup>-1</sup> a <sup>-1</sup> )			
Kood	Loomaliik/vanuse(tootmis)grupp	Loomapidamishoone	
		PM <sub>10</sub>	PM <sub>2.5</sub>
3B3	Sead (nuumsead)	0.14	0.006
3B3	Sead (võõrdepõrsad)	0.05	0.002
3B3	Sead (emised)	0.17	0.01
3B4gi	Munakanad	0.04	0.003



PM <sub>10</sub> ja PM <sub>2.5</sub> (tier 1) eriheitete (kg AAP <sup>-1</sup> a <sup>-1</sup> )			
Kood	Loomaliik/vanuse(tootmis)grupp	Loomapidamishoone	
		PM <sub>10</sub>	PM <sub>2.5</sub>
3B4gii	Broilerid	0.02	0.002

#### 6.1.1.2 EMEPi juhendi PM-ga seotud info

Peamised tahkete osakeste heitkoguste allikad on hooned, kus peetakse kariloomi, kuigi olulised allikad võivad olla ka õuealad. Need heitmed pärinevad peamiselt söödast, mis moodustab 80–90 % põllumajandussektori tahkete osakeste koguheitest. Allapanu materjalid, nagu öled või puidulaastud, võivad samuti tekitada õhus lenduvaid osakesi. Linnu- ja seafarmid on peamised tahkete osakeste põllumajanduslikud allikad. Linnupidamishoonete heitkogused tekivad ka sulgedest ja sõnnikust, samas kui sigalate heitmed naahaosakestest, väljaheitest ja allapanust. Loomade tegevus võib samuti põhjustada varem settinud tolmu resuspendeerumist kariloomade pidamisruumi atmosfääri (resuspensioon) (Winkel et al. (2015)). Seetõttu on oluline tagada, et kõik heitkoguste mõõtmised tehakse piisavalt pika perioodi jooksul, et tagada nende sobiv representatiivsus, enne kui neid aastase heitehinnangu määramiseks suurendatakse.

Tahkete osakeste heitkoguste üksikasjalikuks arvutamiseks oleks vaja kvantitatiivseid andmeid kõigi 1. lisa punktis A1.2.2 nimetatud tegurite kohta. Praktikas võimaldavad olemasolevad andmed kasutada iga kariloomade alamkategooria puhul ainult keskmisi EF-sid. Lisateavet heitkoguste kohta on esitatud 1. lisa jaotises A1.2.2.

Uuritud on meetodeid õhus lenduva tolmu kontsentratsiooni vähendamiseks kariloomade pidamises. Need on kokku võetud 1. lisa punktis A1.2.3.

Tahkete osakeste heitkoguste kohta on vaja rohkem andmeid, et paremini määrata nii keskmisi heitkoguseid kui ka heitemäärade varieeruvust, mis on tingitud erinevatest keskkonna- ja juhtimisteguritest. Seetõttu on see allikas ka tulevaste kontrolliuringute sihtmärk.

Seega on hea tava kohaldada 1. astme EF-sid ainult peetavatele kariloomadele. Tahkete osakeste emissiooni määramisel on olulised teadmised erinevate parameetrite kohta, milles määrvavad parameetrid on toitumistingimused, loomade tegevus ja allapanu. PM<sub>10</sub> ja PM<sub>2.5</sub> EF-d põhinevad kõige värskemal kirjandusel. Takai et al. (1998) ja Winkel et al. (2015) ja seal toodud publikatsioonide ülevaated on EF-ide peamised allikad. Hiljuti läbi viidud uuringutes on väiksemad EF-d kui Takai jt. (1998); seetõttu on umbes 50 % EF-ide uuendatud. Seda langust võib seletada muutustega loomakasvatuspraktikas. Tabeli 3.5 joonealuses märkuses on käsitletud uuringute täielik loetelu ja lisas on esitatud üksikasjalik kirjeldus:

- (d) Chardon and van der Hoek (2002); Schmidt et al. (2002) cited in Winkel et al. (2015); Jacobson et al. (2004); Koziel et al. (2004) cited in Winkel et al. (2015); Haeussermann et al. (2006, 2008); Costa et al. (2009); Van Ransbeeck et al. (2013; Winkel et al. (2015).



- (f) Haeussermann et al. (2008); Costa et al. (2009); Winkel et al. (2015).
- (h) Lim et al. (2003); Demmers et al. (2010); Costa et al. (2012) cited in Winkel et al. (2015); Valli et al. (2012); Hayes et al. (2013); Shepherd et al. (2015); Winkel et al. (2015); Haeussermann et al. (2008); Costa et al. (2009); Winkel et al. (2015).
- (j) Redwine et al. (2002); Lacey et al. (2003); Roumeliotis and Van Heyst (2007); Calvet et al. (2009); Demmers et al. (2010); Modini et al. (2010); Roumeliotis et al. (2010); Lin et al. (2012) Winkel et al. (2015).

1. lisa jaotises A1.3.1 esitatakse 1. tasandi keskkonnamõjude hindamiseks kasutatavad EF-d kõikide loomade, välja arvatud sigade ja kodulindude puhul, eristades sõnnikukätlussüsteemi tüübi (tahke või vedel).

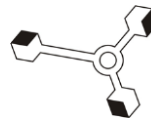
Tahkete osakeste heitkogused sõltuvad muuhulgas 1. lisa punktis A1.2.2 käsitletud teguritest. Olemasolev kirjandus ei võimalda hinnata EF-sid, mis võtavad arvesse ülalnimetatud muutujate mõju.

Võib eeldada, et allapanuga (tahkesõnnikuga) pidamissüsteemid toodavad rohkem tolmu kui loomapidamised ilma allapanuta (läga), kuna allapanumaterjal, nagu põhk, koosneb lahtisest materjalist, mis häirete tõttu kergesti õhku levib (Hinz et al., 2000). Takai et al. (1998) leidsid Inglise läpsilehmade allapanuga pidamisruumides suurema sissehingatava tolmu kontsentratsiooni kui lägapõhiste süsteemidega Saksa piimakarjahoonetes. Ka tahkete osakeste arvutuslikud heitkogused erinesid. Siiski on leitud, et tahkete osakeste heitkogused on sügavas allapanusüsteemis 50% väiksemad, kuna tolm siseneb peenrasse ja hoiab seal niiskuse käes. Kui pesakond on niiske, ei põhjusta loomade tegevus nii palju materjali suspendeerumist (CIGR Working Group, 1995). Tahkete osakeste heitkogused tekivad nii peetavatelt kui ka vabapidamisel peetavatelt kariloomadelt. Vabapidamisel peetavate kariloomade heitkoguste mõõtmiste puudumine tähendab aga seda, et EF-ide väljatöötamine on keskendunud peetavatele kariloomadele.

Õhus lenduva tolmu kontsentratsiooni vähendamiseks kariloomade pidamises on uuritud meetodeid. Sellised meetmed nagu märg söötmine, sealhulgas rasvalisandid söödas, öli ja/või veega piserdamine, on mõned näited tehnikatest, mis takistavad liigset tolmu teket hoones. Saadaval on ka torulöpu tehnoloogiad tahkete osakeste heitkoguste oluliseks vähendamiseks, eelkõige filtripidamised, tsüklonid, elektrostaatilised filtripidamised, märgpuhastid ja bioloogilised heitõhu puhastussüsteemid. Kuigi paljusid neist peetakse praegu liiga kalliks, tehniliselt ebausaldusväärseks või ebapiisavalt kasutajasöbralikuks, et neid pöllumajanduses laialdaselt kasutusele võtta, loeb UNECE (2007) õhupuhastid 1. kategooria heitkoguste vähendamise võimaluseks.

Eraldatud osakeste massivoogusid reguleerivad järgmised parameetrid (näited sulgudes), mis põhjustab prognoositavate heitkoguste osas ebakindlust (Seedorf ja Hartung, 2001):

- Hoone projekteerimine ja käitamine:
  - ventilatsioon (sund-vs loomulik ventilatsioon); Aruannetes puudub info.
  - kliima (temperatuur ja suhteline õhuniiskus); aruannetes pole infot
  - põrandatastu (osaliselt või täielikult restiga); Eestis Sead täisrestpõrand,

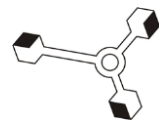


- osaline restpõrand (a) betoonrestid, b) metallrestid/plastrestid, monoliitpõrand
- sisse- ja väljalaskeavade geomeetria ja asendid (turbulentsist põhjustatud ladestunud osakeste tagasihaaramine hoonesiseste pindade kohal); aruannetes pole infot
  - Kariloomade allapanu:
    - materjali tüüp (õled või puidulaastud); infot ei koguta allapanu liigi kohta
    - materjali füüsikalised omadused;
    - kogus ja kvaliteet (nt põhk, hakitud põhk, puidulaastud, saepuru, turvas, liiv, tolmust puhastatud allapanumaterjalide kasutamine, erinevate materjalide segud, allapanu niiskus, niiskust eemaldavate ainete lisamine, kasutatud allapanu mass looma kohta ); infot ei koguta allapanu liigi kohta
  - Loomakasvatus:
    - loomade tegevus (liigid, ööpäevarütmid, noored vs täiskasvanud loomad, puuris peetavad vs lindude süsteemid); Sead vs kodulinnud. Noorlinde ei eristata arvutustes. Noored sead võõrutajatel. Munakanad puuris 97%, mitmel tasapinnal u 2%, põrandal u 2%, sügavallapanu u 3%. Noorlinnud 99% põrandal, 1%puuris, 99% sügavallapanu, 1% skreoper. Broilerid 100% põrandal, 100% sügavallapanu. Ööpäevarütm'i info vajab uurimist, aruannetes pole.
    - eluaseme aeg (terve aasta vs hooajaline eluase); Eestis: sead ja linnud aastaringi sees
    - söötmissüsteemid (kuiv vs märg, automaat vs kätsi, sööda säilitamise tingimused); 3.B Sõnnikukäitlelus EMEP/EEA õhusaasteainete heitkoguste inventuur Juhend 2019 aruannetes pole infot
    - sõnnikusüsteemid (vedel vs tahke, eemaldamine ja ladustamine, sõnniku kuivatamine konveierilintidel). Munakanad 98% transportöörlint, 2% ei kuivatata. Broilerid 100% kuivatamiseta sügavallapanu. Noorlinnud 99% kuivatamiseta sügavallapanu, 1% skreoper?. Kodulinnud 100% igaõnnik. Sead: ajaloos olnud vedel ja tahe.
    - Peetavate kariloomade tüüp (kodulinnud vs imetajad). Linnud – kodulinnud, sead – imetajad

#### 6.1.1.3 Teiste riikide näited

##### Austria IIR 2020:

Austrias on kasutusel RAINS mudeli (Lükewille et al. 2001) eriheitid, mida on Austria puhul hinnatud sobivateks. Arvutuste tulemuseks on madalamad ja eelduslikult realistikumad hinnangud võrreldes tulemustega, mis on toodud EMEP/EEA GB 2019 vaikeväärustute kasutamisel. Loomade ja kodulindude eriheitid (kg PMsum/loom/aastas) on toodud alljärgnevas tabelis.



**Tabel 88 PMsum eriheited (kg/looma või linnu kohta aastas)**

Looma/linnuliik	PMsum, kg/looma või linnu kohta aastas
piimalehmad	0.235
muud veised	0.235
nuumsead	0.108
emised	0.108
munakanad	0.016
broilerid	0.016
kalkunid	0.016
muud kodulinnud	0.016
lambad	0.235
kitsed	0.153
hobused	0.153
muud loomad	0.016

Austria IIR-is (Umweltbundesamt, Viin 2020) lähtutakse KLIMONT et al. (2002) uuringust, mille kohaselt PM<sub>10</sub> osakaal PMsum-s on 45% ja PM<sub>2.5</sub> osakaal eelduslikult 10%. Eeldatakse, et PM<sub>10</sub> ja PM<sub>2.5</sub> eriheidetes ei ole kondenseeruvat komponenti, kuigi seda pole sõnaselgelt kirjeldatud (Winiwarter et al. 2007 and 2009) ja (Lükeville et al. 2001).

Kirjandusallikad:

LÜKEVILLE, A.; BERTOK, I.; AMANN, M.; COFALA, J.; GYARFAS, F.; HEYES, C.; KARVOSENOJA, N.; KLIMONT, Z. & SCHOEPP, W. (2001): A Framework to Estimate the Potential and Costs for the Control of Fine Particulate Emissions in Europe. Interim Report IR-01-023, IIASA, Laxenburg.

KLIMONT, Z.; J. COFALA, I.; BERTOK, M.; AMANN, C.; HEYES & GYARFAS, F. (2002): Modelling Particulate Emissions in Europe. A Framework to Estimate Reduction Potential and Control Costs, Interim Report IR-02-076, IIASA, Laxenburg

#### **Itaalia IIR 2020:**

PMsum heitkoguste arvutamiseks kasutatakse Tier 1 metoodikat. PM<sub>10</sub> ja PM<sub>2.5</sub> eriheited on tuletatud EMEP/EEA juhendist (EMEP/EEA, 2019; EMEP/CORINAIR, 2006), mida on muudetud Itaalia loomakasvatusomaduste ja kaaluparameetrite alusel (Cóndor et al., 2008; Cóndor, 2011). Sigade ja kodulindude puhul on eriheiteid ajakohastatud alates 2010. aastast, progoosides jätkjärgulist üleminekut ajakohastatud eriheidetele alates 2005. aastast, kajastades ISTATi uuringutega (FSS ja põllumajandusloendus) registreeritud muudatusi sõnnikukätlussüsteemides. Alates 2010. aastast põhinevad PM heitkoguste arvutused 2019.



aasta EMEP/EEA juhendis esitatud eriheidetel. Need eriheited põhinevad aastatel 2006–2016 läbi viidud uuringutel, mis hõlmavad Itaalias tehtud teadustöid. Need uuringud on näidanud, et 2006. aasta EMEP/CORINAIRi juhendis soovitatud Takai et al. eriheited on liiga kõrged ega kajasta praegust PM<sub>sum</sub> heitkoguste taset. Vaheaastateks (2004-2010) on eeldatud järkjärgulist üleminekut ajakohastatud eriheidetele, võttes arvesse heitkoguste vähendamise tehnoloogiate järkjärgulist levikut.

### Holland

Kasutuses olevate eriheidete ülevaade on toodud Lagerwerf et al. (2019).

### Saksamaa

EMEP 2013 GB sead ja munakanad Tier 2, teised 2016 muutus Tier 1ks <https://iir-de-2020.wikidot.com/3-agriculture>.

## 6.1.2 2021 a. tegevused

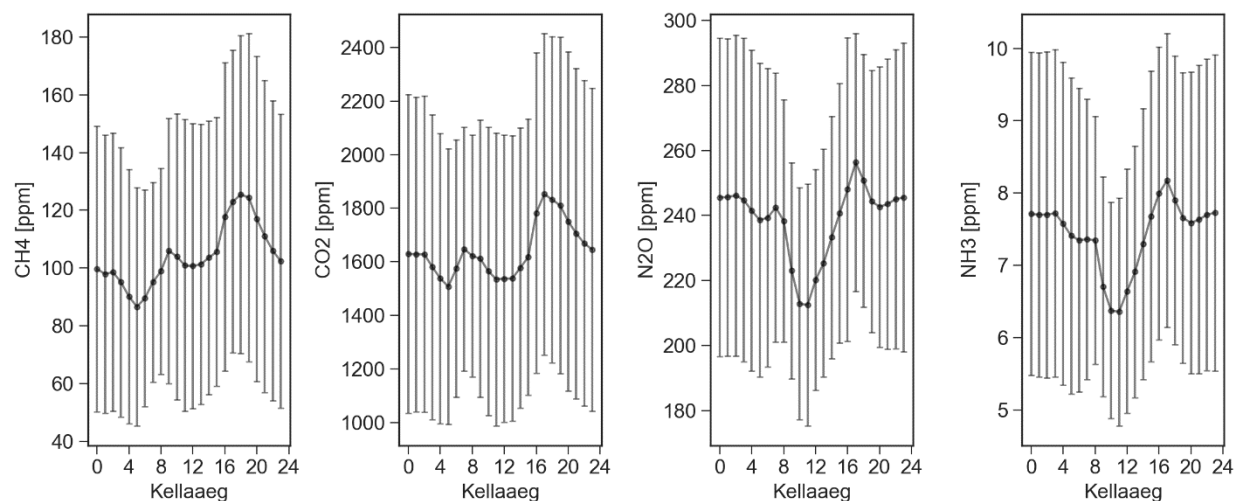
### 6.1.2.1 Märja katselauda mõõtmised

2021. aastal jätkati Märja katselaudas  $\text{NH}_3$ ,  $\text{N}_2\text{O}$ ,  $\text{CH}_4$ ,  $\text{CO}_2$ , peenosakeste ( $\text{PM}_{<1.0}$ ), nende arvkontsentratsiooni (#/ $\text{cm}^3$ ) ja keemilise koostise (orgaanika,  $\text{NH}_4^+$ ,  $\text{SO}_4^{2-}$ ,  $\text{NO}_3^-$ ,  $\text{Chl}^-$ ) reaalajas mõõtmistega, kasutades selleks järgmist mõõteaparatuuri:

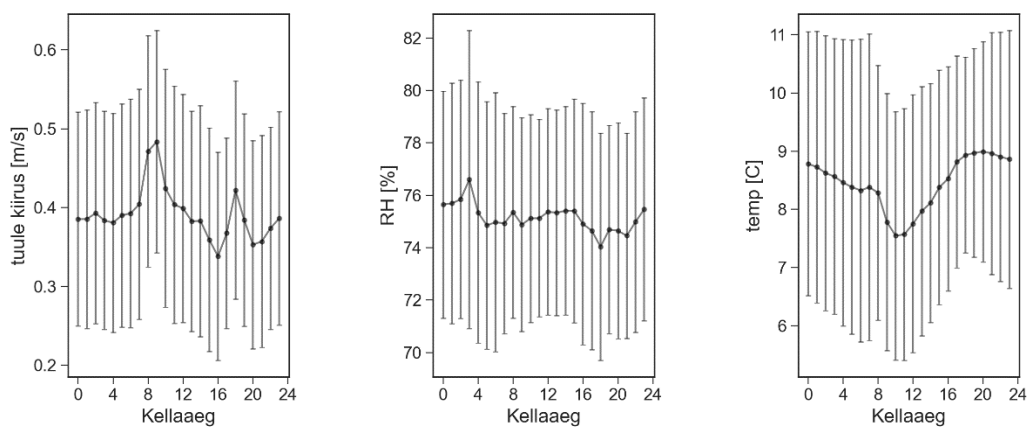
1. Gaaside kontsentratsioon - Picarro CRDS G2508;
2. Peenosakeste arvkontsentratsioon – SMPS (Scanning mobility particle sizer, 3938, TSI), mõõtevahemik 14 nm kuni 673 nm;
3. Peenosakeste ( $\text{PM}_{<1.0}$ , ) keemiline koostis – ACSM (Aerosol Chemical Speciation Monitor, Aerodyne).

Lisaks oli kasutada lauda neljas punktis mõõdetud suhtelise õhuniiskuse ja temperatuuri ning 10 punktis mõõdetud tuule kiiruse aegridasid.

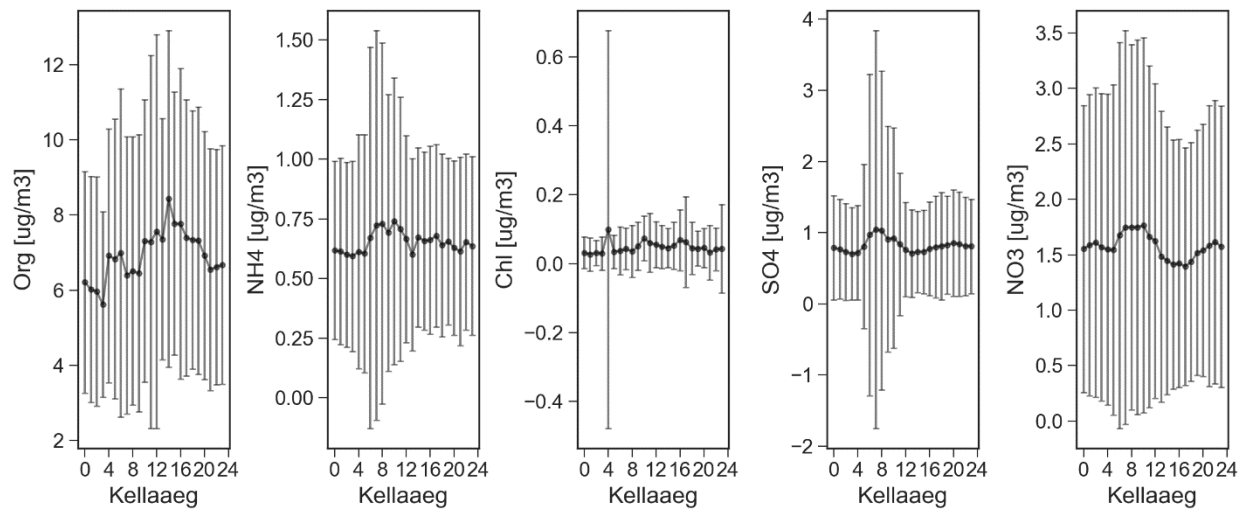
Joonis 71 põhjal ilmneb, et gaasiliste ainete ööpäevane maksimum leibas kella 16 ja 19 vahel.  $\text{N}_2\text{O}$  ja  $\text{NH}_3$  puhul on märgata ka selge miinimum ennelõunal, mis ühtib temperatuuri miinimumiga (Joonis 72). See omakorda on seotud õhuvahetusega laudas. Nii tuule kiiruse kui temperatuuri andmetest selgub, et lauda õhutusavasid suurendatakse tavaliselt kella 8–10 vahel. Peenosakeste keemilise koostise ööpäevases varieeruvuses (Joonis 73) nii selget muutlikkust ei ole võimalik tähdada ( $\text{NO}_3^-$ ,  $\text{SO}_4^{2-}$  ja  $\text{NH}_4^+$  puhul võib märgata maksimumi hommikustel tundidel, Org puhul ilmneb maksimum pärastlõunal,  $\text{Chl}^-$  korral selge maksimum puudub).  $\text{Chl}^-$  maksimum kell 4 öösel on tingitud lühiajalisest kõrgeste väärustega perioodist ( $\text{Chl}^-$  kuni 5  $\mu\text{g}/\text{m}^3$ , samaaegselt kõrged väärused ka Org ja  $\text{NH}_4^+$  aegridades).



Joonis 71 Picarro mõõdetud parameetrite ööpäevane muutlikkus

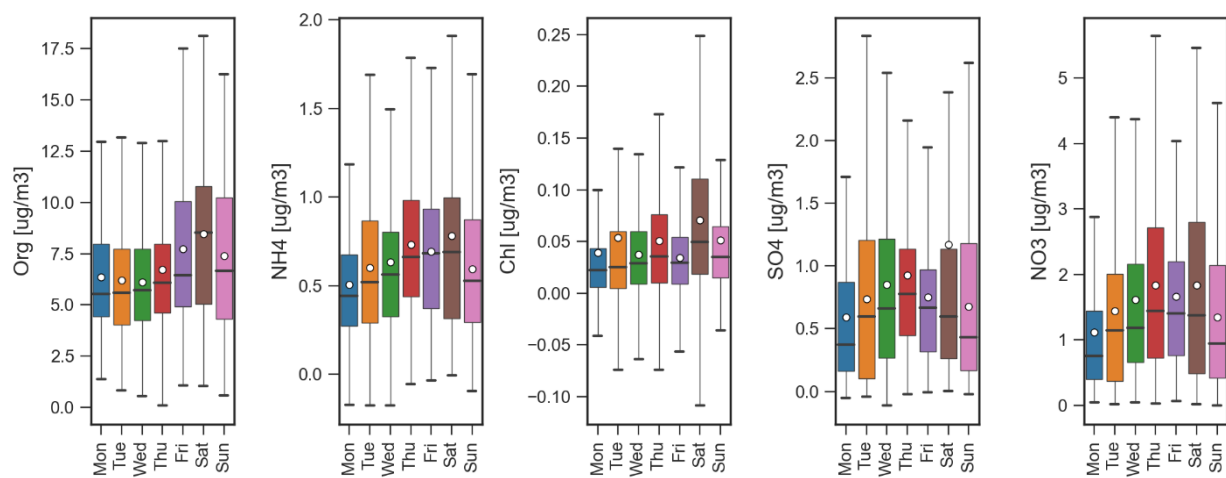
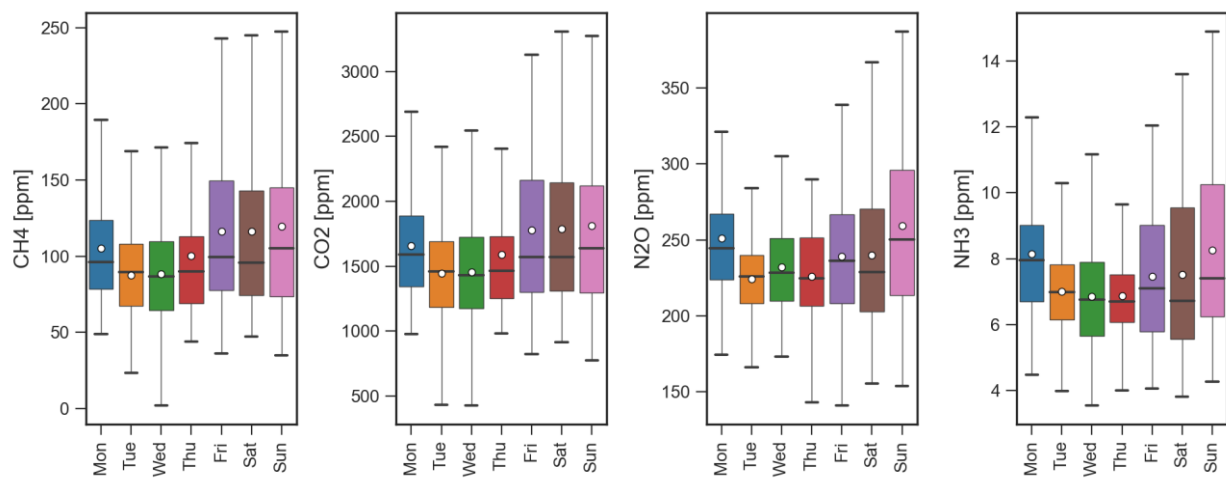


**Joonis 72** Laudas mõõdetud tuule kiiruse, suhtelise õhuniiskuse ja temperatuuri ööpäevane käik



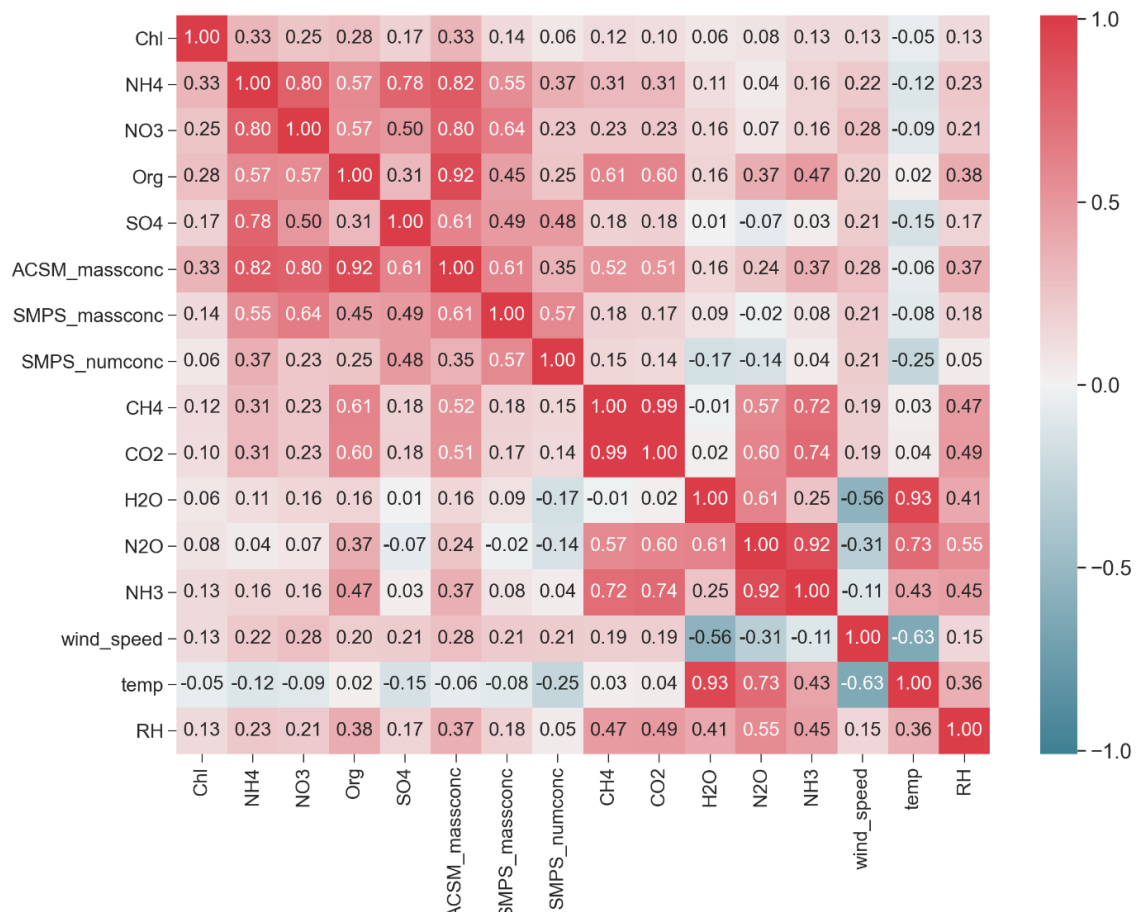
**Joonis 73** ACSM mõõdetud parameetrite ööpäevane muutlikkus

Tuginedes alolevatele joonistele võib väita, et kõrgeimad peenosakeste kontsentratsioonid esinevad laupäeviti, gaasiliste ainete korral laupäeviti, pühapäeviti ja esmaspäeviti, mis on ilmselt seotud lauda töograafikuga.

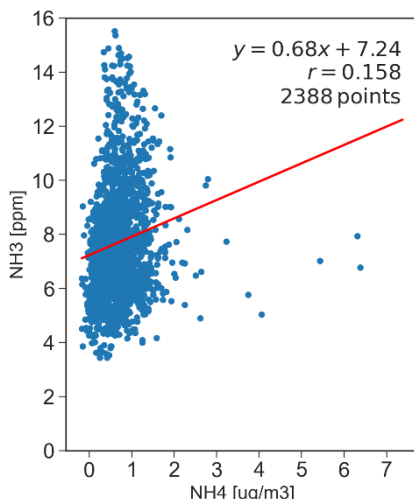

**Joonis 74** ACSM mõõdetud parameetrite muutlikkus nädala lõikes

**Joonis 75** Picarro mõõdetud parameetrite muutlikkus nädala lõikes

Joonis 76 põhjal nähtub, et ACSM ja SMPS mõõdetud summaarse massikontsentratsiooni vahel on tugev seos,  $r = 0.61$ . Köikide gaasiliste ainete ja peenosakeste keemiliste parameetrite vahel on positiivne korrelatsioon.  $\text{NH}_3$  ja  $\text{NH}_4^+$  vahelist korrelatsiooni kirjeldab nõrk positiivne seos,  $r = 0.16$  (Joonis 76).  $\text{NH}_3$  gaasifaasist aerosoolifaasi ülemineku tuvastamiseks laudakeskkonnas vaadeldi mõõdetud aegridasid ööpäeva lõikes. Kuigi SMPS ei võimalda mõõta osakeste kontsentratsiooni nukleatsiooni alumises piirkonnas ( $<10 \text{ nm}$ ), siis aitab see hinnata osakeste tekkeprotsesside algusaega paari-kolmetunnise hilinemisega (võttes keskmiseks osakeste kasvukiiruseks  $3\text{--}5 \text{ nm/h}$ ). Osakeste teke sõltub paljudest asjaoludest, muuhulgas sobivatest meteoroloogilistest tingimustest (päikesekiirgus, segunemine, temperatuur) ja õhulisandite kontsentratsioonist. Kuna osakeste teke on muu hulgas indutseeritud päikesekiirgusest, algab osakeste teke tüüpiliselt 3–5 tundi pärast päikesetõusu. Talvise perioodi kõrgeimad Org,  $\text{NH}_4^+$  ja summaarsed peenosakeste kontsentratsioonid mõõdeti jaanuari keskel (Joonis 78), kuid mis töenäoliselt oli tingitud lauda õhuvahetuse

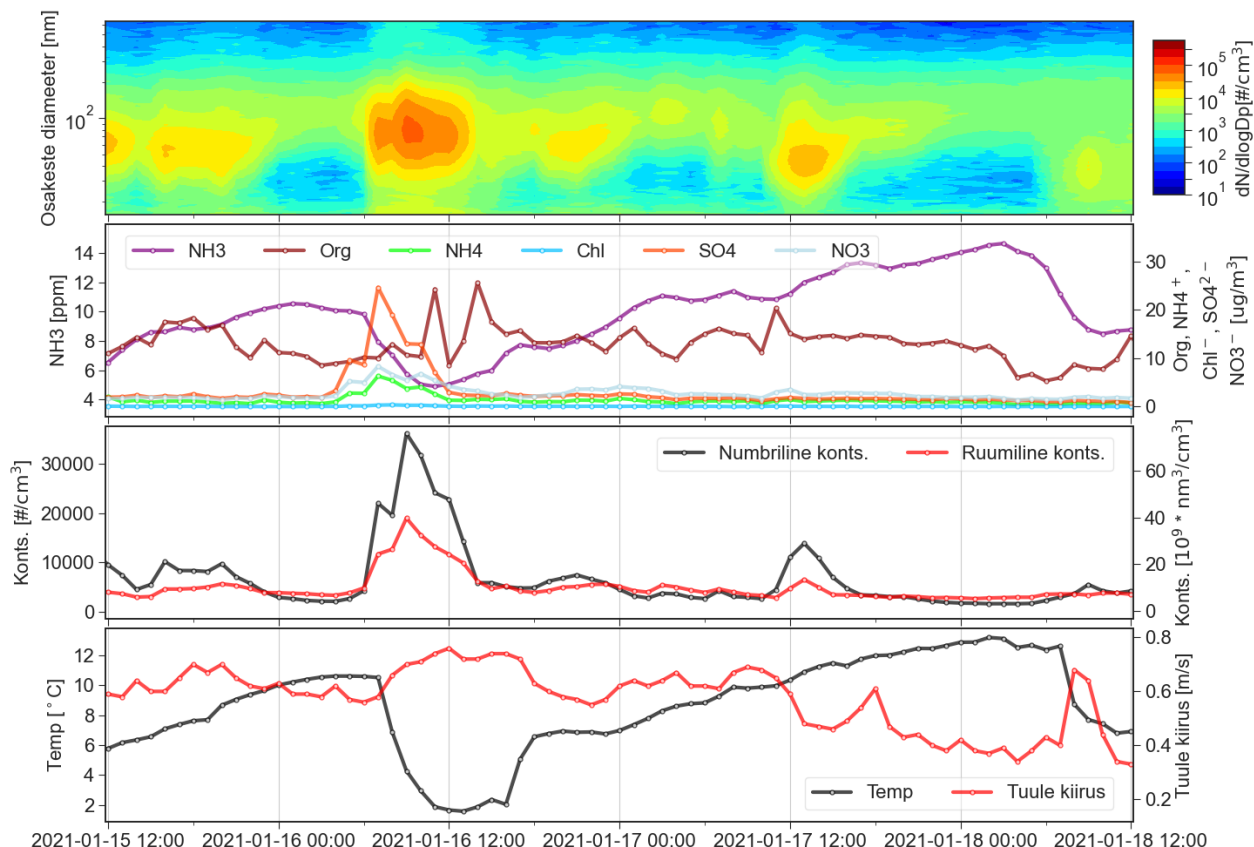
suurendamisest – temperatuur ja NH<sub>3</sub> langesid, tuule kiirus kasvas, kiire osakeste numbrilise kontsentratsiooni kasv kõikides suurusvahemikes 14–673 nm. See omakorda viitab sellele, et osakesed pärinesid väliskeskkonnast ja ei tekkinud lokaalselt. Ka teiste sarnaste kõrgete väärustute korral ei tuvastatud talvisel perioodil laudakeskkonnas osakeste tekkepuhanguid. Küll aga leiti võimalikke nukleatsioonipuhanguid oktoobris (Joonis 79). Nii ilmneb osakeste kasv ajas näiteks kahel järjestikkusel päeval, 7. ja 8. oktoobril, mil <20 nm diameetriga osakesed kasvavad üle 100 nm ja jäavat pikaks ajaks laudakeskkonda püsima. Keskmise osakeste suurusjaotuse (Joonis 80) puhul on täheldatav maksimaalne numbrikontsentratsioon ligikaudu 50 nm suuruste osakeste juures, kus numberkontsentratsioon oli keskmiselt 4000–5000 osakest/cm<sup>3</sup>.



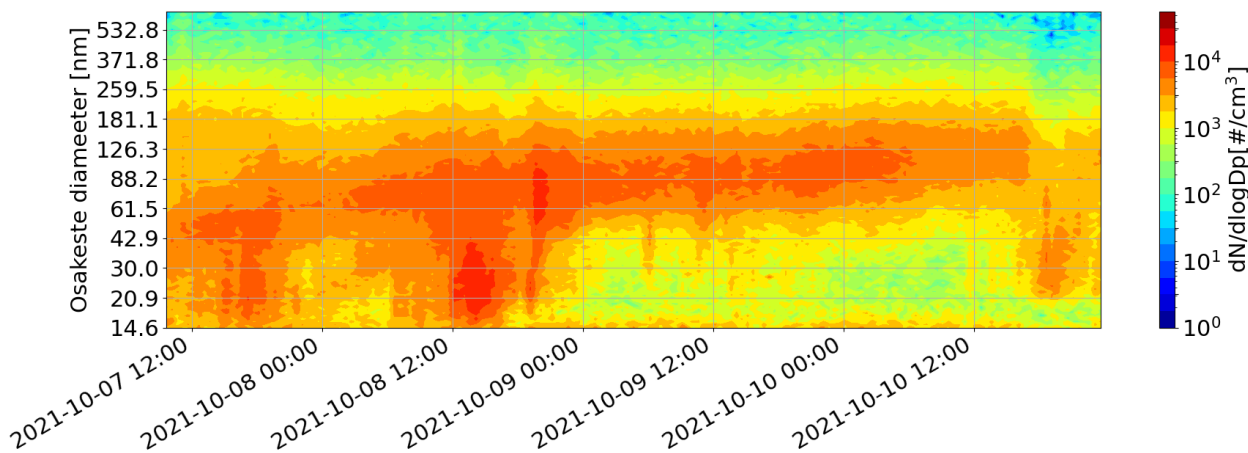
**Joonis 76 ACSM, SMPS (14–673 nm) ja Picarro mõõtmistulemustel põhinevad korrelatsioonid Märja katselaudas perioodil 22.12.2020 – 01.04.2021**



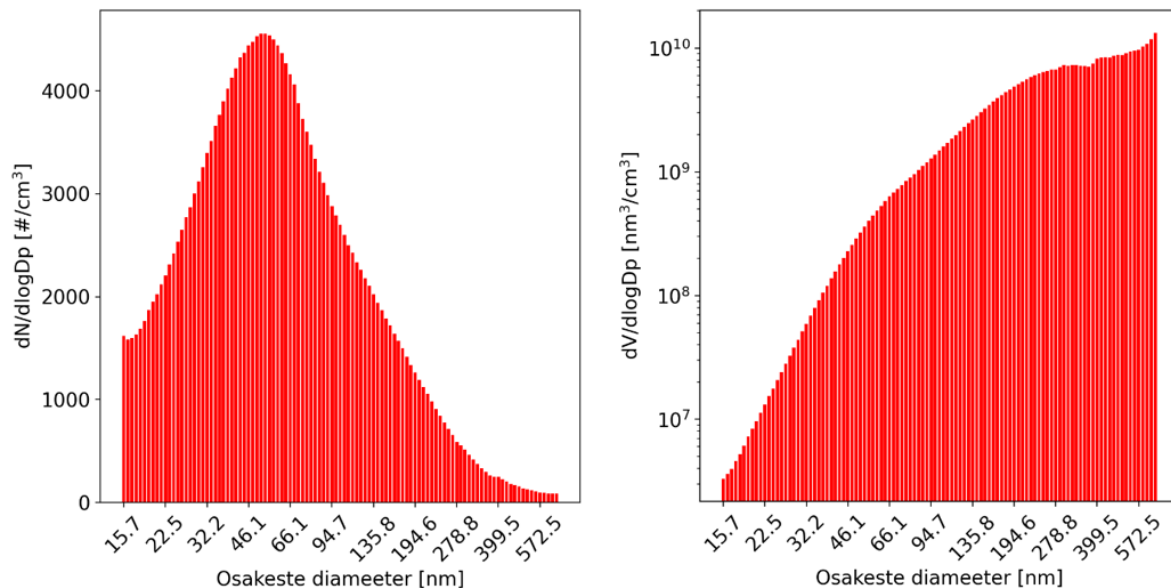
**Joonis 77** NH<sub>3</sub> ja NH<sub>4</sub><sup>+</sup> vaheline sõltuvus Märja katselaudas perioodil 22.12.2020 – 01.04.2021



**Joonis 78** Näide SMPS mõõdetud osakeste numbrilise kontsentraatsiooni ajalised evolutsioonid Märja katselaudas vahemikus 15.01.2021 12:00 - 18.01.2021



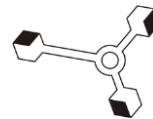
**Joonis 79 Näide SMPS mõõdetud osakeste numbrilise kontsentratsiooni ajalisest evolutsioonist (võimalik nukleatsioonipuhang) vahemikus 07.10.2021 - 10.10.2021**



**Joonis 80 Keskmine osakeste suurusjaotus Märja katselaudas kasutades normaliseeritud numbrilist- ja ruumilist kontsentratsiooni**

#### 6.1.2.2 Hoidlate emissioonide mõõtmised

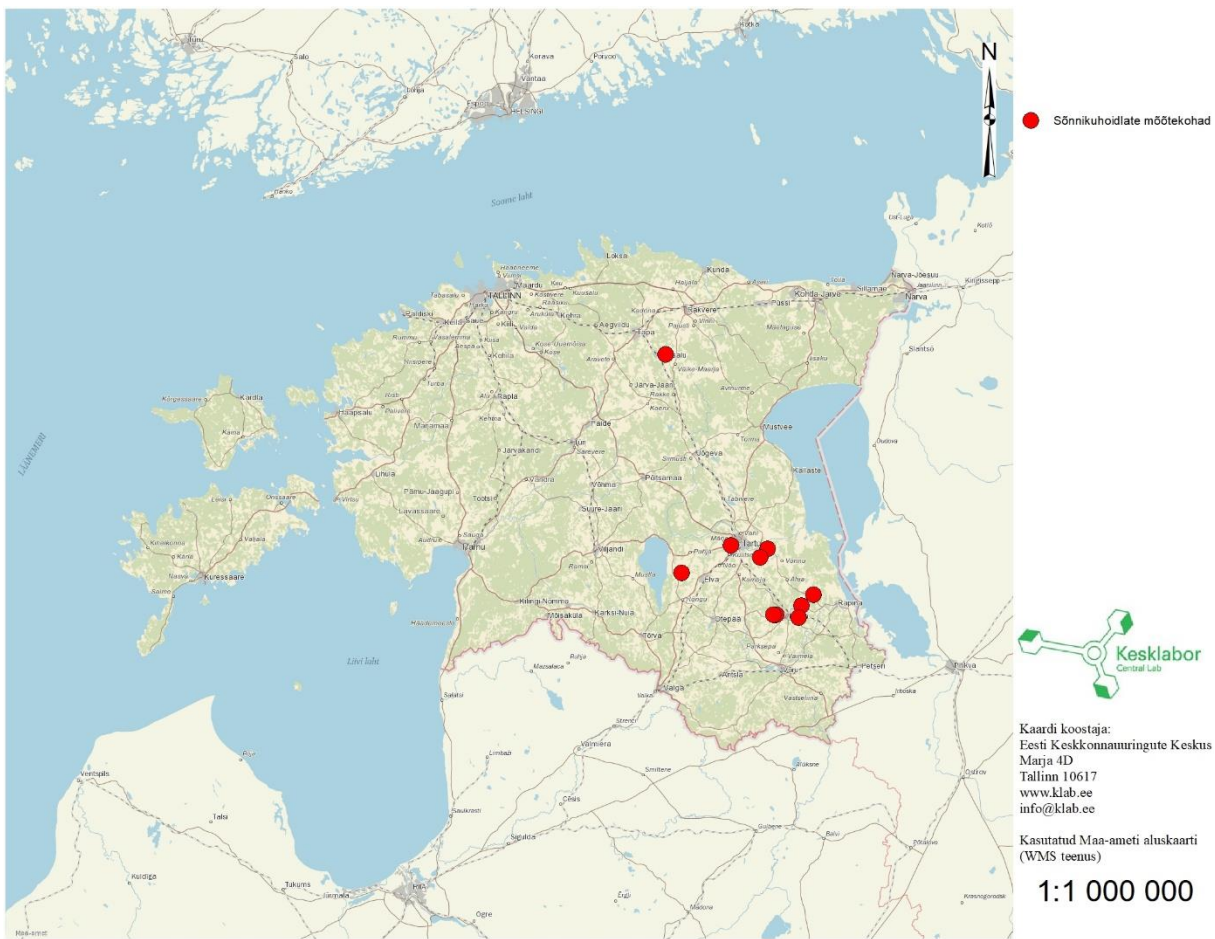
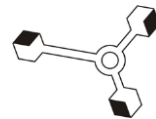
Hoidlate mõõtmised teostati 2020-2021 aastatel ja eristati jahedat ja sooja perioodi, et oleks võimalik hinnata hoidlate heitkoguseid erinevatel aastaaegadel (talv ja suvi). Kokku teostati mõõtmised üheksas loomakasvatusettevõttes ning mõõtmiskohade valikuga sooviti tagada võimalikult esinduslik valim, et oleks esindatud nii vedel- kui tahesõnniku tehnoloogiad (kaetud/katmata). Valimi koostamisel lähtuti KAURI ja Eesti Maaülikooli spetsialistide soovitusest ning valiti inventuuri seisukohast olulised hoidlatüübhid. Mõõdetud hoidlate tüübide ning käitisest olevate loomade arvud on toodud alljärgnevates tabelistes ning mõõtekohtade asukohad Joonis 81.

**Tabel 89 Mõõdetud veisekasvatuste hoidlatüübhid ning loomade andmed**

Loomade arv (tk)							
Ettevõte	Sönniku tüüp	Piimalehmad	Ammlehmad	Lehmmullikad	Pullmullikad	Lehmvasikad	Pullvasikad
Märja	vedelsõnnik, kaetud	129	-	85	10	30	12
JK Otsa Talu	vedelsõnnik, kaetud	415	-	274		154	
Aarna	vedelsõnnik	968	-	404			
	tahesõnnik	110	-	231		238	9
Männiku Piim	tahesõnnik	28	-	180		80	
Rannu Mõis	tahesõnnik, kaetud	25	-	12		84	13
Peri POÜ	vedelsõnnik	549	44	136			

**Tabel 90 Mõõdetud seakasvatuste hoidlatüübhid ning loomade andmed**

Ettevõte	Sönniku tüüp	Nuumsead, tk	Emised, tk	Võõrdepõrsad, tk
Säkna	vedelsõnnik, kaetud	3133	-	-
Kisla	vedelsõnnik	1300	700	3000
Lutsu	vedelsõnnik	5909		3220



### Joonis 81 Mõõdetud hoidlate asukohad

Kuna hoidalte mõõtmised toimusid kuni 2021 a. lõpuni, siis hetkel toimub veel hoidlate emissioonide arvutamine ning tulemused lisatakse aruandesse esimesel võimalusel.

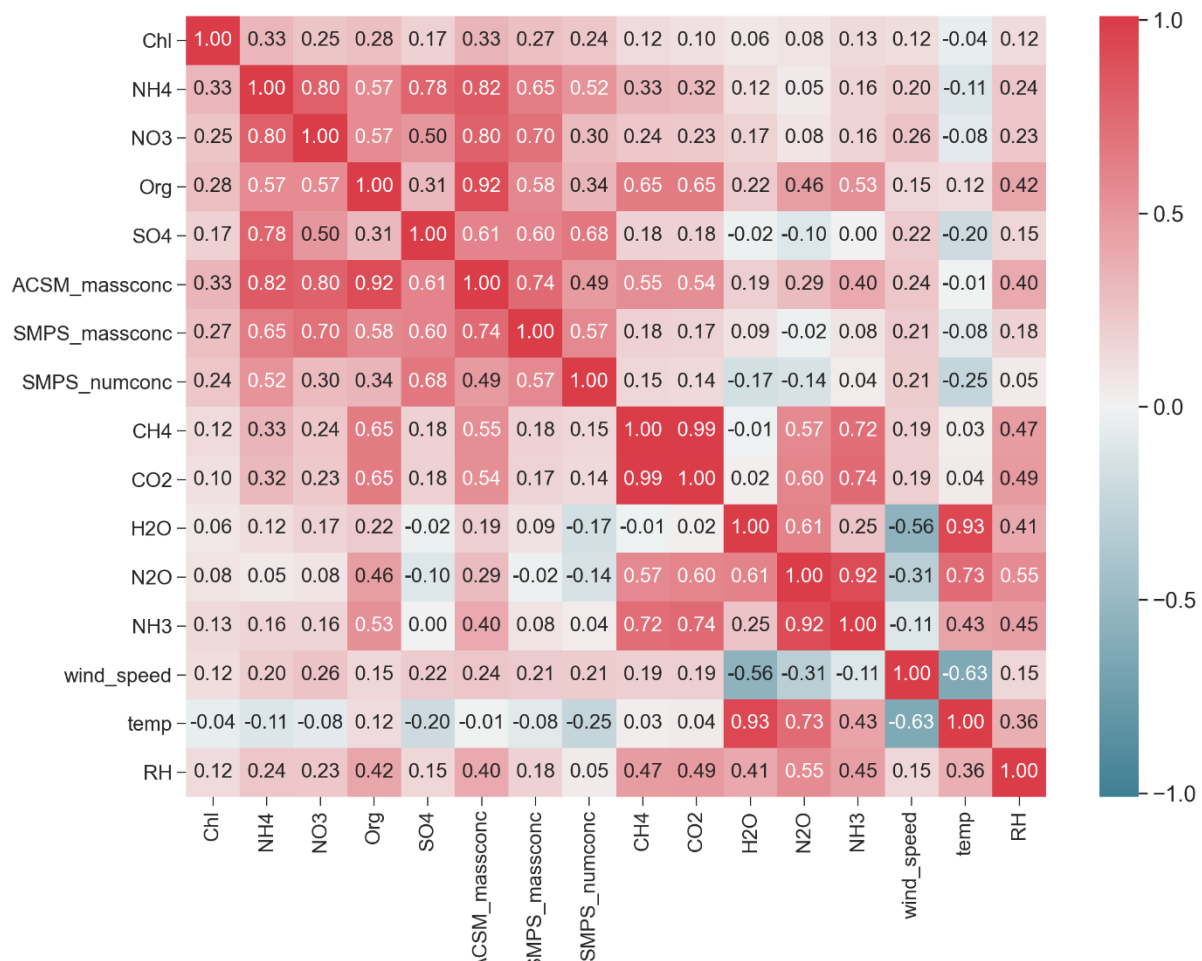
#### 6.1.3 2022 a. tegevused

##### 6.1.3.1 Märja katselauda mõõtmised

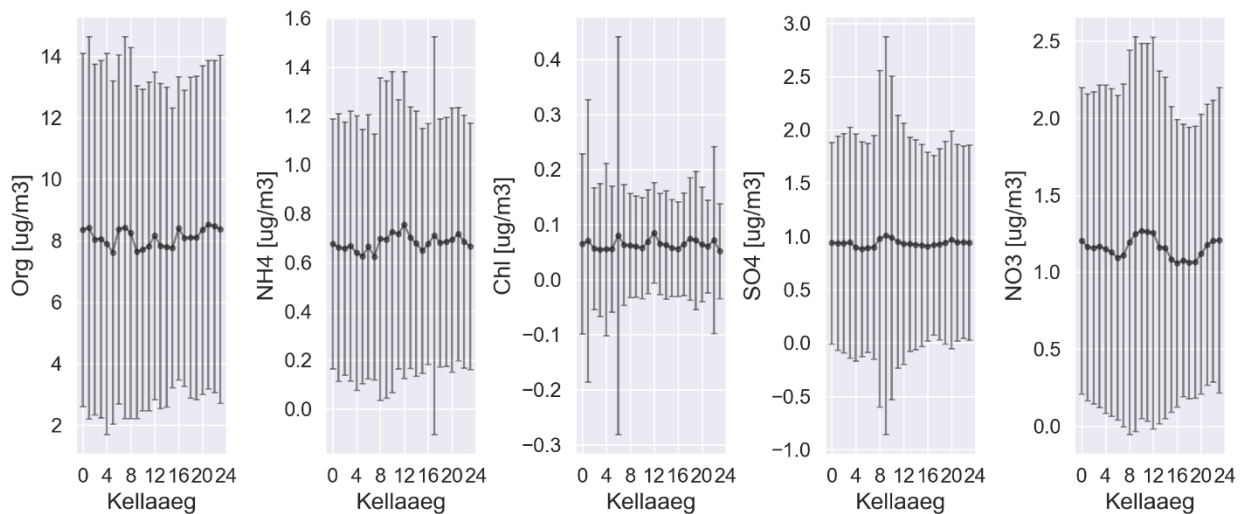
Mõõtmistulemuste põhjal, mis on saadud aastatel 2021–2022, tuvastati ACSM PM1 ja SMPS massikontsentratsiooni (14–673 nm) vahel väga hea kooskõla,  $r = 0.74$  (Joonis 67). Keskmised massikontsentratsioonid olid vastavalt 10.0 ja 6.4  $\mu\text{g}/\text{m}^3$ . Erisus on seletatav sellega, et SMPS mõõdab kontsentratsiooni kitsamas vahemikus kui ACSM. Kõrgeimad peenosakeste kontsentratsioonid esinevad laupäeviti, seda nii kõikide ACSM mõõdetud PM1 komponentide lõikes kui ka SMPS mõõtmiste (massi- ja numbrilise kontsentratsiooni) põhjal. ACSM hinnatud PM1 keemilises koostises domineeris orgaaniline fraktsioon (panus 70%), sellele järgnes  $\text{NO}_3^-$  (panus 16%).

Ööpäevases PM1 keemilise koostise muutlikkuses on kõrgeimad väärused tähdeldatavad valdavalt hommikul ( $\text{Org}, \text{SO}_4^{2-}$ ) või ennelõunal ( $\text{NH}_4^+, \text{NO}_3^-$ ) (Joonis 68). Kuna suurima osa PM1 muutlikkusest annab orgaanika, siis esinevad ka summaarse PM1 kontsentratsiooni

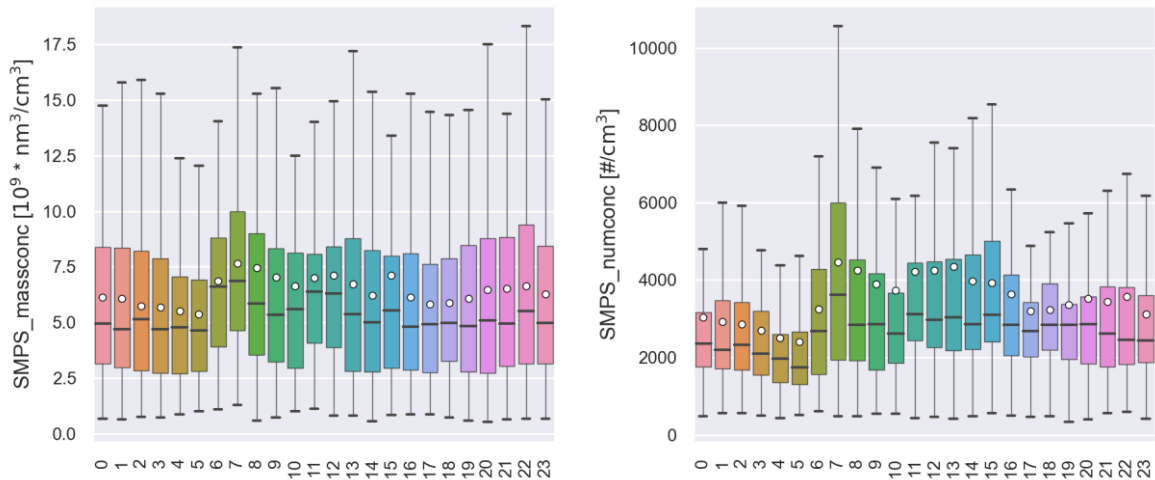
maksimumväärtused just hommikul kella 7 ajal (Joonis 69). Meteoroloogiliste näitajate põhjal võib näha, et õhutusavasid suurendatakse hiljem – tavaliselt kella 8–10 vahel. Seetõttu ei ole varahommikused körgemad kontsentratsioonid tõenäoliselt seotud õhuvahetuse suurenemisega vaid on tingitud sel ajal laudas läbiviidavatest protseduuridest. Nii ACSM mõõdetud komponentide kui SMPS hinnatud kontsentratsioonide põhjal ilmneb maksimum nädala lõikes laupäeval (Joonis 70 ja 71). Selge komponentide ülene miinimum puudub, sõltudes konkreetsest parameetrist.



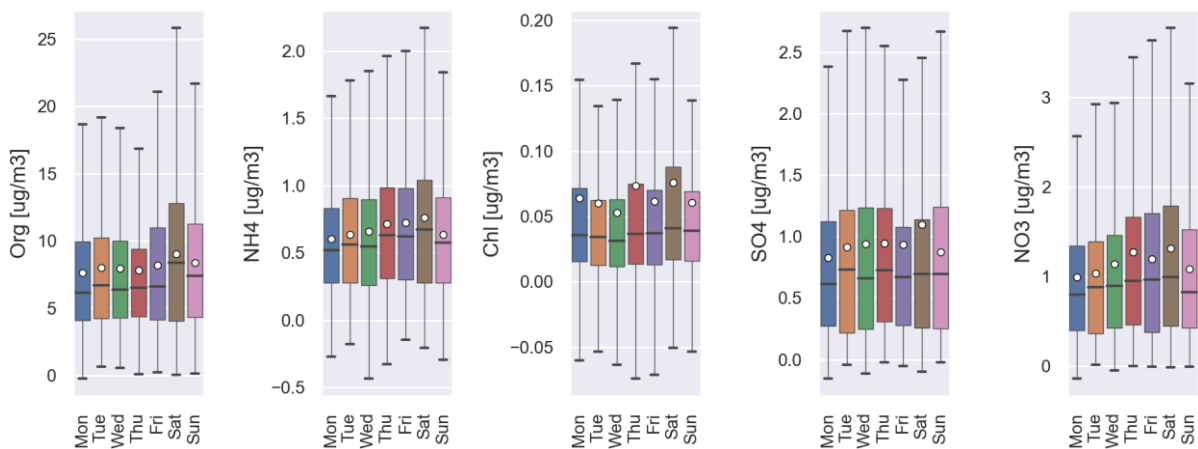
**Joonis 67 Mõõdetud parameetrite omavahelised korrelatsioonikordajad Märja katselaudas, 2021–2022.**



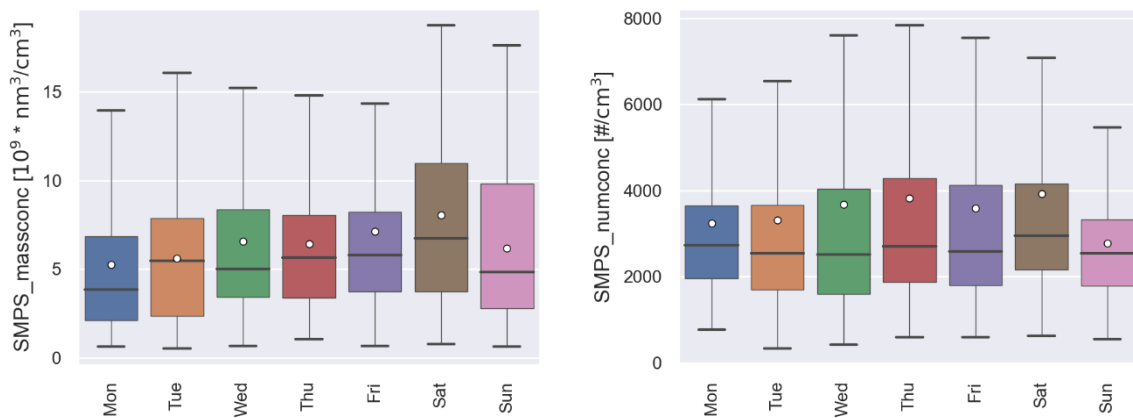
**Joonis 828 ACSM mõõdetud PM1 komponentide kontsentratsiooni muutlikkus kellaaja lõikes. Joonisel on antud keskmise (tume joon) ning standardhälve.**



**Joonis 69 SMPS mõõdetud massi- ja numbrilise kontsentratsiooni muutlikkus kellaaja lõikes. Joonisel on antud keskmise (valge täpp), mediaan (must horisontaalne joon), ülemine ja alumine kvartiil (värvitud ala).**



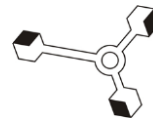
**Joonis 70 ACSM mõõdetud PM1 komponentide kontsentratsiooni muutlikkus nädala lõikes. Joonisel on antud keskmise (valge täpp), mediaan (must horisontaalne joon), ülemine ja alumine kvartiil (värvitud ala).**



**Joonis 83 SMPS mõõdetud massi- ja numbrilise kontsentratsiooni muutlikkus nädala lõikes. Joonisel on antud keskmise (valge täpp), mediaan (must horisontaalne joon), ülemine ja alumine kvartiil (värvitud ala).**

#### 6.1.3.2 Hoidlate emissioonide mõõtmised

**Tabel 69 Mobair1 välisõhu mõõtmistulemused 2022. aasta suvel sõnniku hoidlate lõikes.**



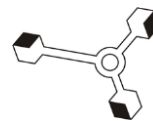
	ARAVETE			OISU	TARTU BIOGAAS		VORBUSE
Mõõdetud parameeter	Laguun	Tahesõnniku-hoidla	Vedelsõnniku-mahuti	Laguun	Katmata röngasmahuti	Tahesõnniku-hoidla	Katmata röngasmahuti
Horiba CH4 [ppm]	3.4			4.3	3.6	9.2	1.9
Picarro CH4 [ppm]	3.1	10.7	8.4	6.0	5.8	11.9	3.5
Horiba NH3 [ppb]	1065.1			368.6	11.4	1397.4	688.5
Picarro NH3 [ppb]	544.1	863.5	641.7	152.9	1.7	604.6	272.0
Horiba HC [ppmC]	3.5			5.9	4.1	13.0	3.3
Horiba NMHC [ppmC]	0.10			1.54	0.46	3.84	1.40
Picarro CO2 [ppm]	435.3	441.2	434.9	455.6	445.3	489.7	437.7
2-m suht. õhuniiskus [%]	71.8	61.2	74.5	78.2	76.9	77.7	71.2
2-m temp. [C]	18.6	25.5	26.1	21.2	20.4	17.5	23.6
10-m tuule kiirus [m/s]	2.2	1.2	1.6	1.5	1.5	0.8	1.5

## 6.2 Kariloomade söödaplaanide uuring (lõpp 2022)

Vastutav täitja: Allan Kaasik

Jätkati 2020 a. alustatud tegevustega ning 2021 a. jooksul toimus kariloomade söödaplaanide uuringu viimistlemine (hiljemalt juuni 2021) ja kariloomade söödaplaanide uuringu tulemuste sisseviimine KHG inventuuri arvutustesse ja KHG inventuuri arvutusfaili arendamine vastavalt uuringu tulemustele (tegevus jätkub 2022. aastal).

Juuli-detsember 2020 jooksul valmis Eesti Maaülikoolilt kui korraldatud hanke võitjalt tellitud töö „Kriloomade söödaplaanide uuring 1990–2020“. Tellitud töö tulemusel täpsustati veiste, sigade ja kodulindude kuivainete seeduvusi nende vanuse- ja toodangurühmade kaupa. Veiste kõikides vanuse- ja toodangugruppides leiti seeduvuse suurenemine ajas. Kõige suurem seeduvuse suurenemine toimus piimaveistel: lehm- ja pullmullikatel 5,4% ja piimalehmadel 5%. Sigade seeduvus oli võrreldes varasemalt KHG inventuuris kasutatavate seeduvustega erinevamad eelkõige võõrdepõrsaste puhul, omades ajas pigem tõusutendentsi, kuigi 2005. aastal oli seeduvus natuke kehvem, kui eelnevatel aastatel. Teiste vanuse- ja toodangugruppide lõikes sigade seeduvuses ega ajalises arengus olulisi erinevusi ei esinenud. Uuringu käigus selgus, et Eestis üldiselt kodulindude kuivaine ja orgaanilise aine seeduvust ei



määräta, seeduvuse sai leida vaid munakanadele. Samuti mõjutavad seeduvuse õhusaasteainete inventuuri arvutusi. Uuringu tulemused on esitatud eraldi aruandena. Leitud veiste ja sigade seeduvusi saab hakata kasutama KHG inventuuri arvutustes pärast arvutustabelites tehtavaid täpsustusi.

2022 a. viidi kariloomade söödaplaanide uuringu tulemused KHG inventuuri arvutustesse ja arendati KHG inventuuri arvutusfaili vastavalt uuringu tulemustele.



## 6.3 Biogaasi pöllumajanduslikest ressurssidest tootmise KHG heite hindamise mudeli arendamine, algandmete kogumine, riigispetsiifilise eriheite väljatöötamine (lõpp 2023)

Vastutav täitja. Allan Kaasik

Kaastäitja: Marek Maasikmets

Vastavalt 2021.aastaks püstitatud ülesannetele selgitati ja uuriti järgmist:

*Analüüsida kas ja missugustest konkreetsetest digestaadihoidlatest, käärhitest ja vajadusest eelhoidlatest on võimalik teostada CH<sub>4</sub>, N<sub>2</sub>O ja NH<sub>3</sub> heite mõõtmised, tagamaks üleminek Tier 3-le.*

Biogaasijaamade (5 pöllumajanduslikku jaama) külastuste käigus selgus, et käärhitites (biogaasireaktorites) toimub CH<sub>4</sub> ja NH<sub>3</sub> mõõtmine tehnoloogilise protsessi käigus pidevalt, andmed salvestatakse ja säilitatakse logifailides. Lisaks sellele fikseeritakse reaalajas ka biogaasi H<sub>2</sub>S sisaldus, protsessi töötemperatuur jms. tehnoloogilised parameetrid. Kääritites N<sub>2</sub>O-d ei teki. Kuna biogaasireaktor on hermeetiliselt suletud mahuti ning protsessi parameetrid s.h gaaside moodustumine reaaljas fikseeritakse, siis eraldi gaaside tekke reaktoris ei ole võimalik mõõta, samuti puudub selleks eeltoodud põhjustel vajadus. Kuna Eesti pöllumajanduslikud biogaasijaamat (reaktorid) on suured, keskmise mahu 4000m<sup>3</sup> on teoreetiliselt võimalik mõõta metaani lekkeid käärhitest. See sõltub biogaasijaama asukohast. Juhul kui jaam paikneb vahetult laudahoone juures (näiteks Estonia OÜ biogaasijaam), siis laudahoonest lähtuv heide võib leket reaktorist varjata.

Eelhoidlad on hermeetilised mahutid. Eelhoidlates toimub reaktorisse lisatavate subsatraatide segamine, homogeniseerimine ja temperatuuride ühtlustamine. Kuna eelhoidlad paiknevad vahetult biogaasireaktorites juures, siis eraldiseisev lekete mõõtmine ei ole tehniliselt võimalik.

CH<sub>4</sub>, N<sub>2</sub>O ja NH<sub>3</sub> heidet tuleb mõõta Estonia OÜ, Vinni ja Ilmatsalu biogaasijaama digestaadihoidlatelt.

**Tuleb analüüsida, millistest andmebaasidest on võimalik saada parimat infot digestaadihoidlate pindalade kohta.**

Digestaadihoidlate pindala ja maht on leitav KOTKAS andmebaasist. 2019.a. oli nimetatud andmebaasi andmetel Eestis 25 digestaadihoidlat, summaarse pindalaga 61 141 m<sup>2</sup> ning efektiivse mahuga 211 339 m<sup>3</sup>. 2020, 2021 ja 2022.a. info saadakse andmebaasi täienemisel.

**Tuleb selgitada, kas eelhoidlad on toorme suhtes puhtad sõnnikuhoidlad loomaliigi kaupa või tuleb eriheide mõõta eri loomaliikide sõnniku segust**

Eelhoidlas on tegemist erinevate substraatide seguga. Vedelad substraadid (vedelsõnnik) lisatakse tavaselt vahetult eelmahutisse kas laudahoone pumplast või paakautost, eelnevad ladustamist ei toimu. Tahked lisasubstraadid (tahesõnnik jms) ladustatakse vajadusel lühiajaliselt (max. 24-48h) betoneeritud ja lekkekindlatele ladustamisplatsidele. Sellest tulenevalt saab vajadusel kasutada konkreetsele loomaliigile ja laudahoonele või sõnnikutüübile kehtivaid eriheiteid. Spetsiifiliste eriheidete mõõtmise vajadus puudub.



*Tuleb analüüsida, kuidas on võimalik hinnata gaaside leket kääritist, st kas otseste mõõtmiste teel või on võimalik kasutada arvutuslikke meetodeid*

Teoreetiliselt on lekete mõõtmine teostatav, kuid praktilliselt teostatav vaid kohtades kus läheduses puuduvad teised lekke tuvastamist segavad heiteallikad.

*Praegu eksisteerivate pöllumajanduslike toormetel põhinevad biogaasijaamade loetelus olevatele käitistele koostatakse küsimustik, milles täpsustatakse toormete kasutamise jaotust ajas. Lisaks alustatakse info kogumist ja koondamist sõnniku, pöllukultuuride jäädikide, komposti, reoveesette ja muu toorme kohta, kääritite ja hoidlate seisukorra kohta, samuti CH<sub>4</sub> ja energia toodangu ning kääritites kasutatud kuivaine koguse kohta.*

Biogaasijaamades kääritatakse nii vedel- kui ka tahesõnnikut, seejuures põhiliseks substraadiks on vedelsõnnik. Järgnevas tabelis (Tabel 91) on toodud 2020. aastal kasutatud substraatide jaotus ja substraatide keskmene kuivaine sisaldus Koksvere biogaasijaama (Biometaan OÜ) näitel.

Substraatide jaotus Koksvere biogaasijaamas (Biometaan OÜ) on toodud alljärgnevas tabelis.

**Tabel 91 Kasutatud substraatide jaotus ja substraatide keskmene kuivaine sisaldus Koksvere biogaasijaamas**

Substraat	Kogus, tonni	K.A, %
vedelsõnnik	60 000	6.0
tahesõnnik	5 000	25.0
rohusilo	5 000	25.0

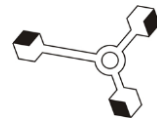
Koksvere jaamas toodetakse aastas keskmiselt 1,3 mln. Nm<sup>3</sup> biometaani (CH<sub>4</sub> 97%). Sünteesitud biogaasi metaanisisaldus on ca 60%.

2019.a. Eesti pöllumajanduslikes biogaasijaamades kasutatud sõnniku summaarne kogus (vedelsõnnikuna) on esitatud järgnevas tabelis (KOTKAS andmebaas, 2019).

**Tabel 92 Biogaasijaamades kasutatud sõnniku kogus loomaliikide lõikes**

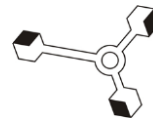
Loomaliik	Vedelsõnnik, tonni
veised	231 763
sead	5 500
kokku	237 263

Ülejäänud neljas Eestis pöllumajanduslikus biogaasijaamas on peamisteks substraatideks samuti veiste vedel- ning tahesõnnik. Vähemal määral kasutatakse sea- ning linnusõnnikut. Lisasubstraatideks on peamiselt rohusilo ning vähemal määral toiduainetetööstuse jäagid. Kasutatakse ainult rohusilo, mis peab vastama minimaalsetele silo kvaliteedi (hügieeni) nõuetele. Komposti ja reoveesetet pöllumajanduslikes biogaasijaamas ei kasutata. Lisasubstraadina kasutatakse toiduainetetööstuse (piima- ja juustutööstus) jääke Ilmatsalu biogaasijaamas ning toidujäätmeid Vinni biogaasijaamas. Lihatööstuste ja tapamajade jäätmeid tulenevalt Tauditörje seadusest ei kasutata. Nimetatud seadusest tulenevalt on



biogaasijaamadest lubatud kasutada ainult 3. kategooria loomseid jäätmeid, mida tuleb eelnevalt termiliselt töödelda ( $70^{\circ}\text{C}$ , 1h). Märgalade (looduslike rohumaade) biomassi biogaasijaamadest samuti ei kasutata, kuna see ei sobi biogaasi sünteesiks oma keemilise koostise tõttu.

Info toorme liigi ja koguste ning sünteesitud biogaasi mahu ning keemilise koostise kohta registreeritakse biogaasijaamadest reaalajas rutuinse tootmisprotsessi käigus, info on leitav logifailidest (vt.p.1 2022.a. ülesanded).



Vastused küsitluses esitatud küsimustele:

1) Kääritite ja hoidlate kvaliteet, sh lekkekindlus (vastusevariantidega)

- a) Väike leke, parim võimalik tööstustehnoloogia, kõrgekvalitediline lekkekindel hoidla
- b) Väike leke, kõrgekvalitediline tööstustehnoloogia, madalakvalitediline lekkekindel hoidla
- c) Väike leke, kõrgekvalitediline tööstustehnoloogia, avatud hoidla
- d) Suur leke, madalakvalitediline tehnoloogia, kõrgekvalitediline lekkekindel hoidla
- e) Suur leke, madalakvalitediline tehnoloogia, madalakvalitediline lekkekindel hoidla
- f) Suur leke, madalakvalitediline tehnoloogia, avatud hoidla

Kõik Eesti põllumajanduslikud biogaasireaktorid on lekkekindlad mahutid. Lekkekindlust testitakse ja kontrollitakse süstemaatiliselt vastavalt tootjafirma rutiinsele hooldegraafikule. Kääritusjääk (digestaat) ladustatakse tavalistes vedelsönniku laguuntüüpil või röngasmahutites. Seega kõik biogaasijaamat vastavad jaotusele „c“.

2) Sönniku hoidlas hoiustamise aeg, tühjendamise sagedus ja tühjendamise kuu.

Digestaadi hoiustamine ja käitlemine toimub sarnaselt vedelsönnikuga. Kehtivad samad regulatsioonid.

3) Kas biogaasijaamal on olemas sönniku eelhoidla? Kui jah, kas õues või laudas (nt sönnikukelder).

Eelhoidla on iga põllumajandusliku biogaasijaama lahutamatu (eraldiseisev) osa. Defintsiooni vt. p.1 ja 3.

4) Milline on eelhoidla ja digestaadihoidla katmise viis?

Kõik eelhoidlad on tavapäraselt reaktorile sarnase konstruktsiooniga s.t. hermeetilised. Kõik digestaadihoidlad on loomuliku koorikuga laguunid või röngasmahutid.

5) Milline on kääritusjäägi (digestaadi) kuivaine sisaldus (vajalik kaudse N<sub>2</sub>O heite hindamiseks)?

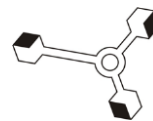
Digestaadi keskmise kuivainesisaldus jäab vahemikku 10-15%. *Vajalik proovide võtmine 2022.a.*

6) Kui suur on CH<sub>4</sub> toodang? Vt. Koksvere jaama näide. *Kõikide jaamade täpsustatud andmed kogutakse 2022.aastal (logifailid).*

7) Kui suur on energia toodang? Vt. Koksvere jaama näide. 2021. aastal tootsid 4 põllumajanduslikku biogaasijaama transportkütust (biometaani). Elektri- ja soojusenergiat tootis ainult Aravete Agro biogaasijaam.

8) Milline on anaeroobsetes kääritites kasutatud substraatide kuivaine kogus vastavalt X liiki looma sönnikus?

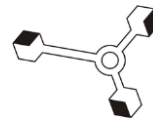
Koksvere jaama näide. Erinevate loomaliikide ja sönnikutüüpide ning rohusilo kuivaine keskmist sisaldust on võimalik leida erinevatest sönniku ning silo keemilist koostist



iseloomustavatest andmebaasidest (EMÜ, PMK). Kääritites ajaühikus kasutatud leitakse arvutuslikult. Sõnniku ja lisasubstraatide proovide võtmise vajadus puudub.

**Lenduvad tahkised (*Volatile solids, lühendatult VS*)**

Lenduvate tahkiste kogus on otstarbekas leida kalkulatiivselt.



## 2022.a. teostatud tööd

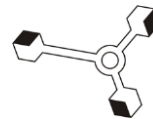
### **Biogaasijaamade täpsustatud andmete kogumine ja analüüs**

2022.aastal toodeti Eestis biogaasi viies põllumajanduslikus biogaasijaamas: Aravete Biogaas OÜ, Tartu Biogaas OÜ (Ilmatsalu), OÜ Oisu Biogaas (Estonia), OÜ Vinni Biogaas ning Biometaan OÜ (Koksvere). Biogaasijaamade tootmisprotsessi iseloomustavad üldandmed on esitatud tabelis 71 vastavalt Keskkonnaameti KOTKAS andmebaasis toodud välisõhu saastamisega seotud tegevuse aruannetele ning jaamadest kogutud andmetele.

**Tabel 93. Biogaasijaamade tootmisprotsessi iseloomustavad üldandmed 2020.a.**

Biogaasijaam	Sisendid			Väljundid	
	Vedelsõnnik	Tahesõnnik	Muud lisasubstraadid	Biogaas	Biometaan
	t/aasta				Nm <sup>3</sup> /aasta
Aravete Biogaas OÜ	72285	26058	51750	2408975	1445385
Tartu Biogaas OÜ	66773	25320	37099	2184148	1310489
OÜ Vinni Biogaas	72966	14650	105100	2185116	1311070
OÜ Oisu Biogaas	109000	12000	27375	3077482	1846489
Biometaan OÜ	60000	5000	2500	2166667	1300000

Põllumajanduslikest ressurssides sünteesitava biogaasi KHG heite modelleerimiseks ja sidumiseks riikliku kasvuhoonegaaside inventuuri metoodikaga ei ole ülaltoodud andmestik piisav. Biogaasi tootmise käigus tekkiva KHG heite täpsemaks hindamiseks ja arvestamiseks inventuurides tuleb teada erinevate substraatide, eeskätt loomasõnniku koguseid täpsemalt. Biogaasijaamades kasutatud sõnniku koguse baasil kalkuleeritud orgaanilise kuivaine (inglise keeles *volatile solids*, VS) kogused peaksid lähtuma loomade arvust, kelle sõnnik suunatakse kääritamisele ning konkreetses loomapidamisettevõttes rakendatud pidamistehnoloogiatest (tootmis- ja vanusegruppide lõikes). Biogaasijaamadesse looma-ja või linnusõnnikut tarnivate põllumajandusettevõtete loend saadi küsiltluse teel. Aasta keskmise loomade arv vastavate põllumajandusettevõtete lõikes saadi PRIA-st andmepäringuga. Tabelis 72 on esitatud põllumajandusloomade arv (liik ja vanusegrupp) ning arvutuslik sõnniku orgaanilise kuivaine kogus (vedel- ja/või tahesõnnik) biogaasijaamade lõikes. Sõnniku orgaanilise kuivaine sisalduse kalkulatsioon looma liikide ja vanuserühmade lõikes baseerub 2021.a. lõppenud arendustöö „Kariloomade söödaplaanide uuring 1990–2020“ tulemustele ning 2019 Refinement to the 2006 IPCC Guidelines for National Greenhouse Gas Inventories toodud koefitsientidele ning arvutusmetoodikale.

**Tabel 94. Loomade arv ja sellest lähtuv biogaasijaamades kasutatud arvutuslik sõnniku orgaanilise kuivaine kogus 2020.a.**

Biogaasi-jaam	Piimalehmad			Mullikad			Vasikad			Nuumsead			Munakanad/noorlinnud			Kokku				
	Looma-de arv	Vede-l-sõnnik	Tahe-sõnnik	Looma-de arv	Vede-l-sõnnik	Tahe-sõnnik	Looma-de arv	Vede-l-sõnnik	Tahe-sõnnik	Looma-de arv	Vede-l-sõnnik	Tahe-sõnnik	Lindude arv	Vede-l-sõnnik	Tahe-sõnnik					
	pead	oKA, t/aasta	pead	oKA, t/aasta	pead	oKA, t/aasta	pead	oKA, t/aasta	pead	oKA, t/aasta	pead	oKA, t/aasta	pead	oKA, t/aasta	oKA, t/aasta					
Aravete Biogaas OÜ	2950	6651		1261	1314		1387		865											8830
Tartu Biogaas OÜ	1413	3186		648	675		1207		753	1913	371								4985	
OÜ Vinni Biogaas	1897	4277		820	854		1097		684											5816
OÜ Oisu Biogaas	2473	5575		1093	1139		1463		912					11183	9	605			8232	
Biometaan OÜ	1705	3844		688	717		883		551											5112

Lähtuvalt biogaasijaamades kasutatud sõnniku orgaanilise kuivaine kogusest kalkuleeriti sünteesitud biometaani maht ja kogused (tabel 73) vastavalt ülalnimetatud metodikale (2019 Refinement...)

**Tabel 95. Looma- ja linnusõnnikust sünteesitud biogaasi maht ning kogus 2020.a.**

Biogaasi-jaam	Biometaan	
	m <sup>3</sup> CH <sub>4</sub> aasta	kg CH <sub>4</sub> aasta
Aravete Biogaas OÜ	1966616	1317633
Tartu Biogaas OÜ	1174464	786891
OÜ Vinni Biogaas	1288060	863000
OÜ Oisu Biogaas	1922756	1288246
Biometaan OÜ	1138033	762482
Kokku	7489930	5018253

Biogaasijaamade kontekstis on suurimaks kasvuhoonegaaside (KHG) heite allikaks kääritamise jäärkprodukt kääritusjääk e. digestaat. Teoreetiliselt on võimalik biogaasireaktoris ära kasutada kogu substraatide biogaasi potentsiaal (orgaaniline aine). Kuna mikroobide poolt raskemini lagundatavate orgaaniliste ühendite lõhustumise aeg on väga pikk, siis tagamaks biogaasireaktori maksimaalset efektiivsust (substraate keskmise viibeaeg reaktoris keskmiselt 30 päev), jääb osa lõhustuvast orgaanilisest materjalist paratamatult digestaadi hulka. Kasvuhoonegaaside (metaani) emissiooni aasta keskmise ulatus digestaadist, nagu ka kääritamata sõnnikust, sõltub väliskeskkonna temperatuurist ning sõnniku (digestaadi) hoidla täituvusest. Juhendmaterjalile „2019 Refinement to the 2006 IPCC Guidelines for National Greenhouse Gas Inventories“ on lisatud spetsiifiline Exceli põhine arvutusvahend, mille alusel kalkuleeriti esialgne Eesti kohalikele tingimustele vastav metaani konversiooni faktori (MCF) vedelsõnnikule. Kalkulatsioonides arvestati Eesti keskmisi temperatuure kuude lõikes aastal 2020 ning asjaolu, et sõnniku hoidlaid tühjendatakse kaks korda aastas, vastavalt mais ja septembris. Arvutuste tulemusena vähenes vedelsõnniku metaani konversiooni faktor (MCF)



esialgselt 21%-lt (2019 Refinement..., table 10.17) 19%-ni. Kuna juhendmaterjalis ei ole toodud digestaadi maksimaalset metaani produktsiooni mahu väärust (B<sub>0</sub>, m<sup>3</sup> CH<sub>4</sub> kg/oKA), siis edasistes kalkulatsioonides ja arutluses on kasutatud kääritusjäägi metaani konversiooni faktori (MCF) vastavat tabeli väärust 3,55% (väike leke, kõrgekvalitediline tööstustehnoloogia, avatud hoidla, tabel 10.17). Tabelis 74 on võrreldud biogaasijaamades kasutatud kääritamata sõnniku vs sama koguse kääritatud sõnniku (digestaadi) ladustamisel tekivad KHG heidet.

**Tabel 96. Kääritamata sõnniku vs. digestaadi KHG heide 2020.a.**

Materjal	CH <sub>4</sub> kg/aasta
Kääritamata sõnnik (MCF-vedelsõnnik 19%; tahesõnnik 2%; sügavallapanusõnnik 21%)	969340
Digestaat (MCF 3,55%)	178148

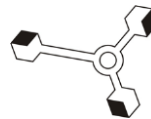
Tabelist nähtub, et looma- ja linnusõnniku kääritamisel biogaasireaktoris väheneb oluliselt digestaadist keskkonda lenduvate kasvuhoonegaaside kogus. Summaarselt vähenes viies biogaasijaamas digestaadina ladustatud looma- ja linnusõnnikust metaani emissioon 81,6% võrra.

#### ***KHG mõõtmised digestaadihoidlatel***

2022.aastal mõõdeti kahjulike gaaside s.h metaani emissioone Aravete Biogaas OÜ, Tartu Biogaas OÜ ning OÜ Oisu Biogaas digestaadihoidlatel. Mõõtmistulemuste põhjal on võimalik korrigeerida esialgset (2019 Refinement ...) digestaadi metaani konversiooni faktorit (3,55%) s.t leida riigispetsiifiline näitaja.

#### **2023 a. tegevused:**

- Kogutud andmete edasine analüüs
- Biogaasijaamades kasutatavate lisasubstraatide (kõik, mis ei ole sõnnik) arvestamine kalkulatsioonides
- Arvutusmudeli sidumine KHG inventuuri arvutusvahendiga (Aether)
- Projekti lõpparuande koostamine



## 6.4 Põllumajanduses kasutatavate anorgaaniliste väetiste algandmete väljaselgitamine (lõpp 2021)

Vastutav täitja: Sirly-Ann Meriküll

Kaastäitja: Regina Alber (2020 a. tegevused)

### 6.4.1 2020 ja 2021 a. tegevused

Eestis koondab lämmastikku sisalduvate mineraalväetiste andmeid Statistikaamet. Statistikaameti andmebaasi tabel PM065 sisaldab pöllukultuuride jaoks kasutatud mineraalväetiste lämmastiku (N) koguseid (väetis toimeainena) aastate 1992–2019 kohta (väetiste liike ei eristata). Statistikaamet arvutab alates 2015. aastast mineraalväetiste toimeainete kogused põllumajandusliku raamatupidamise andmebaasi (FADN) väetiste kasutamise andmetest arvutatud indeksite alusel. FADN-i andmed hõlmavad kõik põllumajandustootjad, kelle standardtoodang on vähemalt 4000 eurot. Karbamiid on olnud inventuurides ainus väetiseliik, mida on eristatud teistest mineraalsetest lämmastikväetistest. 2018. aastani oli nii KHG kui õhusaasteainete inventuuris võimalik kasutada Põllumajandusameti karbamiidi turustusandmed; 2019. aastal aga lõpetati karbamiidi turustusandmete kogumine. Seega on tuleviiku jaoks kadunud üks võimalik andmebaas. Turustusandmed ise pole aga laotatud väetiste koguste kasutamise jaoks nii kvaliteetsed, kui võiks olla kasutatud väetiste koguste andmed, sest osa turustatud väetistest turustatakse edasi teistesse riikidesse. Seega tasus kasutatud väetiste koguste jaoks otsida eelkõige väetiste kasutamist kajastavaid andmebaase, mitte turustusandmete andmebaase. Välismaistest andmebaasidest sai välistatud EUROSTATi andmebaas, sest seal kasutatakse Statistikaameti juba kirjeldatud andmeid. Õhusaasteainete inventuuri ja KHG inventuuri jaoks on vaja siiski mineraalsete lämmastikväetiste andmeid liigiti. Üks vahepeal liigiti lämmastikväetiste andmeid kogunud andmebas on FAOSTATi andmebas, mida haldab ÜRO Toidu- ja Põllumajandusorganisatsioon. Eesti kohta on seal andmed liigitatud olemas 1993–2011, edaspidi sisaldab andmebas koondatud mineraalsete väetiste N koguste andmeid.

2021. aasta analüüsi jaoks valiti lõpuks välja IFASTATi (Rahvusvahelise Väetise Ühingu) andmebas. Seal on olemas Eestis kasutatud mineraalsete lämmastikväetiste andmed liigitatud aastate 1993–2019 kohta. Ka selles valitud andmebaasis esineb puudusi, näiteks puuduvad seal liigitatud 1995. ja 1996. aastate kohta sarnaselt FAOSTATile. Samuti ei ühti IFASTATi ja Statistikaameti kasutatud mineraalväetiste kogused. Kuna IFASTATi andmebas on aga tervikuna täiuslikeima aegreaga rahvusvaheliselt tunnustatud andmebas, mis kogub kasutatud mineraalsete lämmastikväetiste andmeid liigitatud, siis hakatakse 2021. aastal võrdlema selle andmeid Statistikaameti ja seni KHG inventuuris kasutatud karbamiidi andmetega.

2021 a. tegevused on seotud peamiselt andmete analüüsiga: rahvusvaheliselt tunnustatud andmebaaside andmete võrreldavuse hindamine Eestis kogutavate andmetega.



2021. aasta töö tulemusena selgus, et IFASTATi andmebaasile anorgaaniliste väetiste koguste osas üleminek ei ole siiski mõistlik. Algandmete täpsustamisel selgus, et andmekvaliteet ei ole selleks piisav. IFASTATi andmebaasil on mitmeid puudusi ning peamiseks on see, et andmed erinevad Statistikaameti andmebaasi omadest kümneid kordi. Lähemal uurimisel selgus ka, et IFASTATi väetiste kasutuskogused ei ole Eesti mõistes loogilised – näiteks veeseire andmed ei näidanud lämmastikväetiste mitmekümne kordset kasvu, mida IFASTATi andmetest välja lugeda võis. Seega tehti järeldus, et IFASTATi andmed lämmastikväetiste kohta ei ole piisavalt usaldusväärsed.

Võimalusel alustatakse tulevikus lämmastikväetiste (just karbamiidväetiste) kasutuskoguste jaoks alternatiivse andmebaasi otsinguid.



## 6.5 Eesti lämmastikubilansi süsteemi loomise analüüs (lõpp 2023)

Vastutav täitja: Allan Kaasik

Ülesande täitmisel uuritakse täiendavaid võimalusi, kuidas edendada Eestis pöllumajandusliku lämmastikubilansi üle arvestuse pidamist ja selle kajastamist riiklikes KHG ja NH<sub>3</sub> inventuurides.

Koostatakse ülevaade Eesti pöllumajandusliku lämmastikubilansi üle arvestuse pidamisest, selle kajastamisest riiklikes KHG ja NH<sub>3</sub> inventuurides ning koostatakse süsteemi ülesehituse kava. Pöllumajandussektori KHG ja välisõhu saasteainete inventuuri andmete täpsustamine panustab jagatud kohustuse määrusega seadud KHG vähendamise ja NH<sub>3</sub> heitkoguste vähendamise eesmärkide täitmisesse.

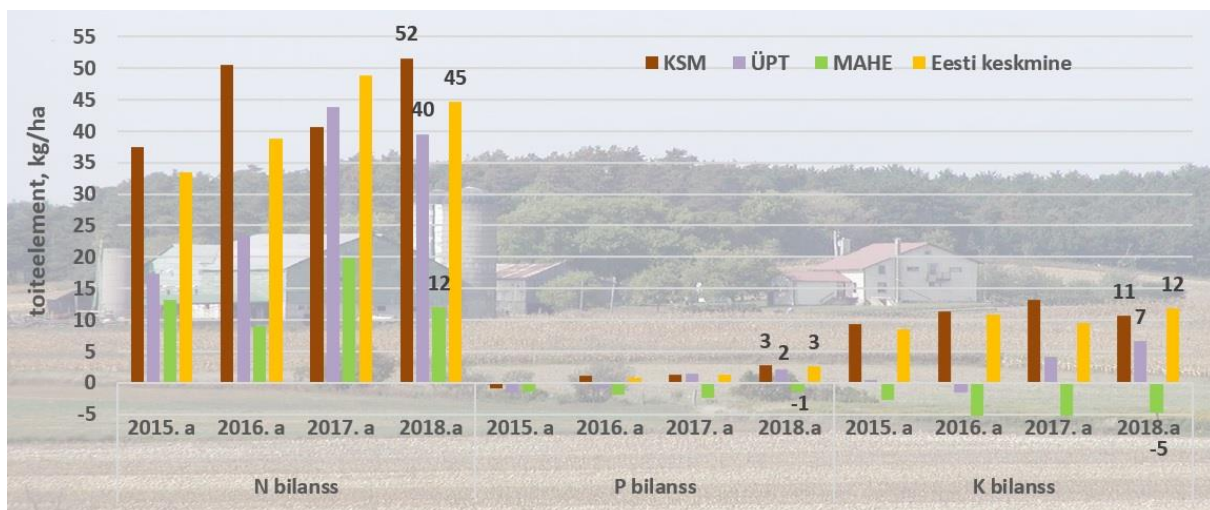
### 2021.a. tegevused

Riiklikul tasandil teostab pöllumajandusliku lämmastikubilansi üle osalist arvestust Pöllumajandusuuringute Keskus projekti „Taluvärava toiteelementide bilansi ja kasutuse uuringud“ raames. Aastate 2009-2020 aruanded on leitavad PMK kodulehel: <https://pmk.agri.ee/et/pollumajanduskeskkonna-uuringud/uurimisvaldkonnad/vesi>

Nimetatud kalkulatsioonis kasutatakse järgnevat põhimetoodikat: Lämmastiku (N), fosfori (P) ja kaaliumi (K) kohta arvutatud taluvärava toiteelementide bilansi uuringu tulemused (NPK sisend, väljund, bilanss, efektiivsus) annavad üldist informatsiooni pöllumajandusettevõtte majandamisest. Bilansi põhjal saab hinnata, mil määral võib erinevate keskkonna nõuete täitmise vähendada NPK leostumise riski pinna- ja põhjavette, kuivõrd efektiivselt ettevõtte tasandil toiteelemente kasutatakse, kui suure üle- või puudujäägiga majandataks. Bilansi tulemused kajastavad kaudselt ka võimalikke muutusi (positiivseid või negatiivseid) mullaviljakuses ja elurikkuses. Täpne metoodika ([https://pmk.agri.ee/sites/default/files/2021-03/Metoodika\\_bilanss.pdf](https://pmk.agri.ee/sites/default/files/2021-03/Metoodika_bilanss.pdf)).

Metoodikast nähtub, et lämmastiku kadusid emissioonidena (NH<sub>3</sub>, N<sub>2</sub>O, N<sub>2</sub>, NO<sub>x</sub>) kalkulatsioonides ei arvestata.

Alljärgneval joonisel on esitatud NPK bilansid aastatel 2015-2018 eespool nimetatud metoodikast lähtuvalt (<https://pmk.agri.ee/et/keskkonnaseire/taluvarava-toiteelementide-uuringust> )



**Joonis 84 Lämmastiku, fosfori, kaaliumi taluvärava bilanss toetustüübidi ja Eesti keskmisena aastatel 2015-2018**

2018. aastal varieerus lämmastiku bilanss toetustüübidi ja Eesti keskmisena vahemikus 12-52 kg/ha, fosfori bilanss 3-(-1) kg/ha, kaaliumi bilanss vahemikus 12-(-5) kg/ha (joonis 1).

NPK bilanss oli 2018. aastal positiivne ja kõrgem keskkonnasõbraliku majandamise toetuse (KSM), ühtset pindalatoetust (ÜPT) saavates ettevõtetes ja Eesti keskmisena ning madalaim mahetootmises (MAHE), kus P ja K bilanss olid negatiivsed.

Lisaks Põllumajandusuuringute Keskusele on projektipõhiselt NPK bilansse uuritud (arvutatud) Eesti Maaülikooli Põllumajanduse ja Keskkonna Instituudis, aga samuti kas ettevõtte põhiselt või ka ettevõtte siseselt näiteks konkreetsest pöllust lähtuvalt. Selleks on koostatud või koostamisel mitmeid arvutusvahendeid:

- 1) Eesti Maaülikool PKI, *NPK pöllupõhise kalkulaatori versiooni 1.0 alla laadimine siit (pakitud .zip failina).*
- 2) Eesti Maaülikool PKI, *NPK taluvärava bilansi kalkulaatori versioon 1.0. Momendil täiendatakse, ei ole hetkel kätesaadav.*

Lähtuvalt eelnevast nähtub, et praegu kasutusel olevad lämmastiku bilansi arvestuse metoodikad sobivad riiklikul tasandil arvestuse pidamiseks ainult osaliselt.

Riikliku süsteemi ülesehitamiseks on olulised eelkõige esinduslikud sisend- ja väljundandmed nii taime- ja loomakasvatuse kui ka toodangu kontekstis.

Riikliku (aastapõhise) lämmastikubilansi põhikomponendid.

- 1) Sisendandmed
  - Lämmastikväetiste jaotus ja kogus, väetiste N sisaldus vastavalt väetise tüübile. *Riiklikul tasemel andmed puudulikud ja suure määramatusega. Pikemas*



*perspektiivis omab potentsiaali Põllumajanduse suurandmete projekt (loodav mineraalvätiste kasutamise andmebaas)*

- Mullastiku näitajad (lõimis, N varu, jms). *Keskmised andmed on vastavates andmebaasides olemas.*
- Seemnete ja istikute summaarne kogus ning N-sisaldus. *Riiklikul tasemel praegu ei fikseerita*
- Söödakultuuride jaotus, kasvupind ja -kogus ning N-sisaldus. *Kasvupinnad põhiliste söödakultuuride lõikes on olemas SA andmebaasis. Keskmise N sisaldus söödakultuuride lõikes on leitav vastavatest juhendmaterjalidest (söötade tabelitest).*
- Taimekasvatusest põllumajandusmaadele jäädvate taimejäänuste kogus ja N-sisaldus. *Leitakse praegu kalkulatiivselt.*
- Ostusöötade (väljaspool Eestit toodetud) jaotus, summaarne kogus ja N-sisaldus. *Riiklikul tasandil andmed puuduvad*
- Põllumajandusloomade (lindude) koguariy toodangu- ja vanuserühmade lõikes. *Andmed on olemas SA andmebaasis*
- Põllumajandussaaduste import. *Andmed on arvatavasti olemas SA andmebaasis*

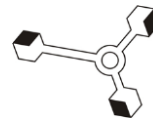
## 2) Väljundandmed

- Põllukultuuride jaotus, saagikus, kogutoodang ning keskmise N sisaldus. *Põllukultuuride jaotuse, saagikuse ja kogutoodangu andmed on olemas SA andmebaasis. Keskmised N-sisalduse andmed on leitavad vastavatest juhendmaterjalidest (tabelitest).*
- Loomakasvatussaaduste jaotus, kogutoodang ning keskmise N-sisaldus. *Andmed on olemas SA andmebaasis. N-sisalduse andmed on leitavad vastavatest juhendmaterjalidest (tabelitest).*
- Lämmastiku kaod (emissioon atmosfääri, leostumine) kõikidel tootmistsükli etappidel nii taime kui ka loomakasvatuses. *Vastavaid andmeid kalkuleeritakse riikliku kasvuhoonegaaside ja välisõhu saasteainete inventuuri käigus. Nimetatud andmed on kasutatavad ka riikliku lämmastikubilansi kalkuleerimisel.*
- Põllumajandussaaduste eksport. *Andmed on arvatavasti olemas SA andmebaasis*

### 2022.a. teostatud tööd

Riikliku lämmastikubilansi koostamiseks (arvutamiseks) on olemas Eurostat/OECD metoodika ja juhendmaterjal „Methodology and Handbook, Eurostat/OECD, Nutrient Budgets, EU-27, Norway, Switzerland“ (2013).

Vastavalt ülalnimetatud metoodikale on lämmastiku kogu- (summaarse) bilansi koostamiseks ja arvutamiseks vajalik minimaalselt allosevas tabelis toodud andmestik. Tabelis on esitatud ka olemasolevad riiklikud andmeallikad erinevate andmekategooriate lõikes.

**Tabel 97 Lämmastiku kogubilansi koostamiseks vajalik üldandmestik ja selle allikad**

<b>Lämmastiku sisendandmed</b>	<b>Ühik</b>	<b>Allikas</b>
1 Mineraalvätiste kasutamine	t/aasta	Riiklik KHG, õhusaasteainete inventuur, arvutuslik
2 Looma-, linnusõnniku produktsioon	t/aasta	Statistikaamet; riiklik KHG, õhusaasteainete inventuur, arvutuslik
3 Looma-, linnusõnniku import/eksport/varud	t/aasta	Arvutuslik
4 Muud orgaanilised väetised (kompost, reoveesete)	t/aasta	Riiklik KHG, õhusaasteainete inventuur, arvutuslik
5 Bioloogiline lämmastiku sidumine	t/aasta	Arvutuslik
6 Lämmastiku sidumine atmosfäärist	t/aasta	Arvutuslik
7 Seemned ja istikud	t/aasta	Statistikaamet; riiklik KHG, õhusaasteainete inventuur, arvutuslik
8 Pöllukultuuride jäälkide sisend mulda	t/aasta	Riiklik KHG, õhusaasteainete inventuur, arvutuslik
<b>Kogusisend</b>	<b>t/aasta</b>	<b>= 1+2+3+4+5+6+7+8</b>
Lämmastiku väljundandmed		
9 Taimekasvatusaaduste toodang	t/aasta	Statistikaamet; riiklik KHG, õhusaasteainete inventuur, arvutuslik
10 Söötade toodang	t/aasta	Statistikaamet; riiklik KHG, õhusaasteainete inventuur, arvutuslik
11 Pöllukultuuride jäälkide eemaldamine mullast	t/aasta	Arvutuslik
<b>Koguväljund</b>	<b>t/aasta</b>	<b>= 9+10+11</b>
Lämmastiku kogubilanss	<b>t/aasta</b>	<b>= kogusisend - koguväljund</b>

### Mineraalvätiste kasutamine

Mineraalse te lämmastikvätiste kogus ja summaarne lämmastiku sisaldus antud aastal. Statistikaamet (SA) kogub mineraal s.h lämmastikvätiste kasutamise andmeid riiklikul tasemel (PM 065). Näiteks 2020.aastal kujunes lämmastiku sisendiks mineraalsetest lämmastikvätistest 41 486 tonni.

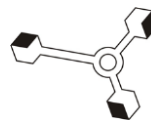
### Looma-, linnusõnniku produktsioon

Looma- ja linnusõnniku kogus ja summaarne lämmastiku sisaldus antud aastal. Pöllumajandusloomade ja -lindude arvu liikide, vanuse- ja tootmisrühmade lõikes kajastatakse ja uuendatakse SA andmebaasis (PM 09) pidevalt. Hobuste ja pöllumajanduslindude andmed Statistikaameti andmebaasis ei ole lämmastiku bilansi koostamiseks piisavad. Nimetatud alajaotuste lõikes tuleks arvutustes kasutada riiklikus KHG ja õhusaasteainete inventuuris modelleeritud andmeid. Sõnniku lämmastikusalduse keskmised näitajad looma liikide ja vanuserühmade lõikes on kajastatud samades inventuurides ( $N_{ex}$ , kg/aasta). Sõnniku lämmastikusalduse keskmised näitajad lähtuvad uuringu „Kariloomade söödaplaanide uuring 1990–2020“ tulemustest.

### Looma-, linnusõnniku import/eksport/varud

Eeldatavasti looma- ja linnusõnnikut Eestisse sisesse ei tooda ega välja ei viida (vajab täpsustamist). Tavapäraselt kasutatakse looma- ja linnusõnnik nii vedelal kui tahkel kujul samal/järgneval vegetatsiooniperioodil orgaanilise väetisenä. Mõningane sõnniku kui orgaanilise väetise varu (säilitatakse/kompostitakse maksimaalselt kahe aasta välitel) võib esineda sügavallapanu sõnniku puhul. Koguse selgitamine on pigem hinnanguline, kuna vastavaid andmeid andmebaasidesse ei koguta.

### Muud orgaanilised väetised (kompost, reoveesete)



Komposti ja reoveesette kogus ja summaarne lämmastiku sisaldus antud aastal. Nimetatud alajaotuste lõikes tuleks arvutustes kasutada riiklikus KHG ja õhusaasteainete inventuuris modelleeritud koguste ja keskmise lämmastiku sisalduse andmeid. Näiteks 2020.aastal kasutati pöllumajanduses 387,2 tonni reoveesette ning 1331,1 tonni orgaaniliste jäätmete komposti lämmastikku.

### **Bioloogiline lämmastiku sidumine**

Lämmastiku kogus, mis seotakse libliköielistesse (kaunviljad ja libliköielised söödataimed) antud aastal. Vastavate kultuuride kasvupinnad (ha) ja saagikus (kg/ha) on kajastatud SA andmebaasis (PM 281) ning neid andmeid uuendatakse pidevalt. Kultuuride keskmise lämmastikusisaldus on leitav kas ülalnimetatud juhendist (default väärtsused, väga üldine) või oluliselt täpsematest riigispetsiifilistest tabelitest. Näiteks: „Söötade keemilise koostise ja toiteväärtuse tabelid“ (2004).

### **Lämmastiku sidumine atmosfäärist**

Protsess, mille tulemusena atmosfääris leiduv erinevates keemilistes ühendites seotud lämmastik seotakse mulda, taimedesse, pinnavette jms, kas sademetega (vihm, lumi, udu), mida defineeritakse lämmastiku niiske sidumisenä, või settimise, adsorbsiooni vms tulemusel, mida nimetatakse ka lämmastiku kuivaks sidumiseks. Näiteks pöllumajandusest pärinev ammoniaak võib atmosfääris olla nii molekulaarses vormis ( $\text{NH}_3$ ) kui ka ammoniumionina ( $\text{NH}_4^+$ ). Nendest viimane seotakse atmosfäärist peamiselt sademete kaudu (lämmastiku niiske sidumine) ning molekulaarne ammoniaak adsorbsiooni teel (lämmastiku kuiv sidumine). Atmosfäärist seotud lämmastiku kogus lähtub kogu pöllumajanduses kasutatud maa pindalast (ha) ning vastava piirkonna lämmastiku sidumise koefitsiendist, valemina:  $N_{\text{sidumine}}(t) = \text{pöllumajandusmaa pindala (1000 ha)} \times N_{\text{sidumise koefitsient}} (\text{kg N/ha})$ . Kogu pöllumajandusmaa pindala on leitav SA andmebaasist (PM 0281).  $N_{\text{sidumise koefitsiendi}}$  arvutamise metoodika on kirjeldatud IPCC juhendites. Pöllumajanduse kontekstis sõltub see eelkõige mineraal- ja orgaaniliste väetiste kasutamisest ning loomade karjatamise tulemusena rohumaadele jäänud väljaheidete kogusest.

### **Seemned ja istikud**

Lämmastiku kogus, mis viiakse mulda seemnete ja istikutega. Külviks kasutatud seemne koguseid (teraviljad ja kartul) konkreetsel aastal kogu Eesti lõikes kajastatakse SA andmebaasis (PM 043). Seemnete (teraviljad, kartul jms) keskmise lämmastikusisalduse näitajad on leitavad vastavatest riigispetsiifilistest tabelitest, näiteks „Söötade keemilise koostise ja toiteväärtuse tabelid“ (2004).

### **Pöllukultuuride jäükide sisend mulda**



Lämmastiku kogus, mis jäääb pöllumajanduslikult kasutatavale maale pöllukultuuride jääldega (varred, kõrred jms). Jäägid (jäännused) võivad jäädä nii mulla pinnale kui ka mulda. Osaliselt kõrvalproduktid (jäägid) eemaldatakse, ning kasutatakse muuks otstarbeks, näiteks teraviljapõhk loomasöödaks või allapanuks. Samuti on võimalus, et kõrvalproduktid jõuavad pärast kasutamist pöllumaale tagasi. Sellest tulenevalt on pöllukultuuride jääldest mulda jõudva lämmastiku koguse kalkuleerimine komplitseeritud. Juhendmaterjalis on nimetatud, et pöllukultuuride jäälde alajaotuse võib lämmastikubilansi kalkulatsioonist välja jäätta. KHG inventuuris on pöllukultuuride jääldest pärinevat sisendlämmastikku siiski arvestatud (lähtuvalt pöllukultuuride kasvupinnast, saagikusest ning keskmisest jäälde lämmastiku sisaldusest), kuigi maksimaalsel võimalikul tasemel. KHG inventuuri kalkulatsioonis ei kajastu eemaldatud ja muuks otstarbeks kasutatud pöllukultuuride jäälde (eeskätt teraviljapõhu) kogus. Viimati nimetatud sisendandmete allikate leidmine ja rakendatavas vajab edasist analüüsia.

### Taimekasvatussaaduste toodang

Lämmastiku kogus, mis eemaldatakse teraviljade, rühvelkultuuride jms. liikidega. Arvutus lähtub taimekasvatussaaduste summaarsetest toodangunäitajatest antud aastal ning konkreetse saaduse keskmisest lämmastiku sisaldusest. Vastavad toodangunäitajad (t/aasta) on leitavad SA andmebaasis (PM0281) ning konkreetse saaduse keskmise lämmastikusaldus ülalnimetatud tabelitest.

### Söötade toodang

Lämmastiku kogus, mis eemaldatakse erinevate söödataimedede s.h libliköieliste koostises. Arvestatakse nii söötade (hein, silo) kui ka loomade poolt karjatamisel tarbitud taimiku kogusega. Vastavad lähteandmed, kasvupinnad (ha), toodang (t/aasta) on leitavad SA andmebaasist (PM 0281) või on need modelleeritud KHG inventuuris. Karjatamisel tarbitud söötade koguse arvutamiseks võib kasutada Eestis koostatud erialakirjanduses toodud metoodikaid (Veiste Söötmise; Ü. Oll, A. Muuga; 1978). Erinevate heintaimede (rohusöötade) lämmastikusaldus on kirjeldatud Söötade keemilise koostise ja toiteväärtsuse tabelites (2004).

### Pöllukultuuride jäälde eemaldamine mullast

Lämmastiku kogus, mis eemaldatakse mullast pöllukultuuride jääldega eemaldamise sh. pöletamisega. Kuna Eestis on pöllukultuuride jäälde (jäännuste) pöletamine pöllumaal keelatud, siis selle arvestamise vajadus puudub. Vt. p. 8.

### 2023 a. tegevused:

- Olemasolevate andmete ja andmeallikate edasine täpsustamine ja analüüs

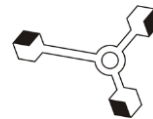


- Pöllumajandussaaduste (taimsed-, loomsed) ekspordi ja impordi arvestamine Eesti lämmastikubilansis. Andmeallikad, nende olemasolu ja kvaliteet.
- Arvutusmudeli loomine. Põhistruktuur sarnane KHG ja õhusaasteainete inventuuri arvutusvahenditega.
- Projekti lõpparuande koostamine.

Kasutatud kirjandus:

Methodology and Handbook, Eurostat/OECD, Nutrient Budgets, EU-27, Norway, Switzerland" (2013)

[https://ec.europa.eu/eurostat/documents/2393397/2518760/Nutrient\\_Budgets\\_Handbook\\_28CPSA\\_AE\\_109%29\\_corrected3.pdf/4a3647de-da73-4d23-b94b-e2b23844dc31](https://ec.europa.eu/eurostat/documents/2393397/2518760/Nutrient_Budgets_Handbook_28CPSA_AE_109%29_corrected3.pdf/4a3647de-da73-4d23-b94b-e2b23844dc31)



## 6.6 Põllumajandusliku maakasutuse muutuse analüüs sõltuvalt tulevikustsenaariumitest (lõpp 2022)

Vastutav täitja: Cris-Tiina Pärn

Kaastäitjad: Ants-Hannes Viira (EMÜ)

Vastavalt Maaülikooli lõpparuandele teostati projekti käigus järgnevad tööd.

Uuringu I etapis (2020. aastal) tehtud analüüs annab vastuse küsimusele: „millised on Eestis põllumajandusmaa kasutamise võimalikud tulevikustsenaariumid, võttes arvesse globaalseid trende ja mõjusid ning regionaalseid strateegilisi valikuid põllumajanduse arendamisel?“. Selleks loodi viis alternatiivset põllumajandusliku maakasutuse tulevikustsenaariumit aastani 2050. Stsenaariumite loomiseks kaardistati esmalt poliitikadokumentide ja teaduskirjanduse põhjal põllumajandusliku maakasutuse muutuse mõjutegurid. Seejärel korraldati kuus valdkonna asjatundjate fookusgruppi arutelu, mille eesmärk oli eksperthinnangute kogumine põllumajandusliku maakasutuse mõjutegurite ning sellega seotud võimalike positiivsete ja negatiivsete arengute kohta. Selgitamaks välja tegurite mõju suurust ja mõju avaldumisega seotud määramatust 2050. aasta perspektiivis, viidi läbi veebiküsitlus, millele vastasid fookusgruppi aruteludel kutsutud ja osalenud asjatundjad, uuringu juhtkomisjoni ja töörühma liikmed<sup>30</sup>.

Uuringu II etapis 2021. aastal loodi Eesti põllumajandusliku maakasutuse visualiseerimiseks ja uuringu I etapis välja töötatud viie alternatiivse põllumajandusliku maakasutuse tulevikustsenaarumi jaoks andmestik, kaardikiht ja illustreerivad kaandid, kus on esitatud põllumajandustootmiseks sobilikku seisukohast erineva väärtsusega põllumajandusmaade paiknemine ning alad, mis sobiksid maastrukturelementide rajamiseks või metsastamiseks. Samuti loodi kaandid kõigis stsenaariumites kirjeldatud võimalike maakasutuse muutuste illustreerimiseks. Põllumajandusmaa põllumajandusliku kasutuse potentsiaali hindamiseks koostati koondhinnang, mis võttis arvesse iga põllumajandusmaa massiivi mullaviljakust, pindala, põllukontuuri kuju (kompaktsust), kaugust lähimast teest, kaugust suurimast asulast, kaugust lähimast pöllust ja reljeefi iseloomustavat konarlikkuse koefitsienti. Koondhinnangu tegurite kaalude määramiseks viidi läbi põllumajandusmaa asjatundjate veebiküsitlus, millele vastasid põllumajandustootjad, põllumajandusmaa turu asjatundjad, ametnikud ja teadlased. I etapis loodud viies tulevikustsenaariumis kirjeldatud maakasutuse muutuste arvulised suurused määratati uuringu töörühma ja juhtkomisjoni arutelude tulemusena.<sup>31</sup>

Uuringu III etapis keskenduti põllumajanduslikku maakasutust soovitud suunas mõjutavate ja mittesoovitavate muutusi pidurdavate poliitikameetmete analüüsimeisele. Samuti anti hinnang põllumajandustoodangu mahule ja KHG heitkogusele põllumajandusliku maakasutuse

<sup>30</sup> Põllumajandusliku maakasutuse muutuse analüüs sõltuvalt tulevikustsenaariumitest- Uuringu I ja II etapi aruanne

<sup>31</sup> Põllumajandusliku maakasutuse muutuse analüüs sõltuvalt tulevikustsenaariumitest- Uuringu I ja II etapi aruanne



stsenaariumides ning täpsustati põllumajandusliku maakasutuse tulevikutsenaariume ja neid illustreerivaid kaarte.

KHG heitkoguste prognoosist ilmnes, et stsenaariumis S2 – vähem on rohkem, vähenes KHG heide kokku 55%, samal ajal kui põllumajanduse standardtoodangu väärthus vähenes 28%. Tagasilanguse stsenaariumis (S3) vähenes KHG heide 42% ning standardtoodangu väärthus 45%. Eestis on potentsiaali ka kasutatava põllumajandusmaa laiendamiseks ja põllumajandustoodangu suurendamiseks. Stsenaariumis S4 – intensiivne laienemine suurenedes põllumajanduse standardtoodangu väärthus 102% ning samavõrra suurenedes ka KHG heide. Praeguste arengutega enam kooskõlas olevate stsenaariumite S5 – BAU: kesktee ja S1 – kestlik biomajandus puhul suurenedes standardtoodang vastavalt 15% ja 21%, kuid stsenaariumis S5 suurenedes KHG heide 7% ning stsenaariumis S1 vähenes see 1%.

KHG heitkoguste prognooside võrdlus erinevate stsenaariumite puhul annab märku sellest, et maakasutusega seotud KHG heitkoguste ohjamine on kliimaneutraalsuse poole suundumisel olulise tähtsusega – stsenaariumis S2 on maakasutusega seotud KHG heitkogused tänu sügavatel turvasmuldadel asuva põllumaa püsirohumaa alla viimisele ning põllumajandusmaa metsastamisele negatiivsed. Põllumajandusmaa metsastamine mõjutas ka stsenaariumi S1 tulemust. Sellest järeltub, et põllumajandussektori kliimaeesmärkide saavutamise seisukohalt on turvasmuldade kaitse ja metsastamisega seotud otsused kriitilise tähtsusega. Samas, käesoleva analüüsi olulise piiranguna tuleb märkida, et tootmistehnoloogia muutuse mõju ei ole KHG heitkoguste prognoosimisel arvesse võetud. Tehnoloogiate muutmise mõju hindamine on aga väga oluline, sest ei kesktee (S5) ega kestlitsiku biomajanduse (S1) stsenaarium, mis on võrreldes praeguste tendentsidega kõige realistikumad, ei saavuta ainult põllumajandusliku maakasutuse muutuste abil KHG heitkoguse vähendamise eesmärki.



## 7. LULUCF valdkonna tegevused

### 7.1 Eesti pöllumajandusmuldade süsinikuvaru dünaamika täpsem hindamine riiklikus kasvuhoonegaaside inventuuris (lõpp 2023)

Vastutav täitja: Cris-Tiina Pärn,

Kaastäitjad: Karin Kauer, Alar Astover (EMÜ)

Vastavalt Maaülikooli uuringu lõpparuandele teostati II etapis järgnevad tööd:

Hetkel maakasutuse, maakasutuse muutuse ja metsanduse (LULUCF) sektori all raporteeritavad mulla orgaanilise süsiniku (Corg) varu muutused pöllumajandusmaadel arvutatakse kasutades Tier2 metoodikat, mis ei arvesta piisavalt piirkondlikke erisusi. Alternatiivne võimalus on LULUCF sektori CO<sub>2</sub> emissiooni hindamiseks rakendada Corg varu muutusi, mis on leitud kasutades vastavaid simulatsionimudeleid. Soome kasvuhoonegaaside inventuuri raames kasutatakse mulla Corg varu muutuste modelleerimisel mudelit Yasso07, mis on välja töötatud metsamuldadel, kuid rakendatav ka haritavatel muldadel. Kuid näiteks Šveitsis kasutatakse simulatsionimudelit RothC, mida rakendatakse ka FAO poolt väljatöötava globaalse mulla orgaanilise süsiniku sidumisvõime kaardi (Global Soil Organic Carbon Sequestration Potential Map (GSOCseq)) väljatöötamisel.<sup>32</sup> I etapi eesmärk oli testida eespool mainitud mudeleid Eesti pöllumuldael ja kohandada vajadusel neis kasutatavaid koefitsiente Eesti tingimustele vastavaks.

Uuringuvalideeriti kahte simulatsionimudelit (Yasso07 ja RothC) pöllumuldaade seirealade andmestiku alusel ning täpsutati vajaminevaid mudelite sisendparameetreid. Mudelit RothC rakendati pöllumuldaade Corg varu muutuste prognoosiks maakondlikul tasandil. Selleks koostati maakondade keskmiste sisendnäitajatega andmebaas, mis on vajalik simulatsionimudeli rakendamiseks. Modelleeriti maakondade keskmised mineraalmuldaade Corg varu muutused pöllumajandusmaadel perioodil 1990–2020. Pölli tasandil mulla Corg varu muutuse simulatsionimudeli rakendamist näitlikustatakse pilootpiirkonna pöllumajandusmaa näitel.

Eesti mineraalsete pöllumuldaade Corg varu muutust kogu perioodi 1990–2020 kohta ei olnud võimalik usaldusvärselt leida, sest selleks puuduvad ühtse metoodika ja valimiga andmestikud. Kui mulla Corg sisalduse määramise laborimetoodikast tulenevaid erisusi oli võimalik teisendada võrreldavamaks, siis töenäoliselt valimi erisused põhjustavad võrreldamatud Corg varu perioodi alguse (76,9 t/ha 1990. a.) ja 2015. a. (89,7 t/ha) vahel. Selline mulla Corg varude kasv ei loogiliselt põhjendata. Pöllumuldaade püsiseirealadel toimus samaaegselt Corg varu vähenemine muutus -0,15 t/ha aastas. See on ootuspärane muutus ning üldises kooskõlas ka RothC mudeli prognoosiga.

<sup>32</sup> Mineraalmuldaadel asuvatel pöllumajandusmaade mulla orgaanilise süsiniku varu muutuse hindamine simulatsionimudeliga- I etapi vahearuanne



Mudelipõhised prognoosid põllumuldade Corg varu muutuse hindamiseks on hoolimata mõnede sisendandmete määramatusest mõõduka täpsusastmega. Parema tulemuse andis RothC mudeli rakendamine. Seirealade keskmisena oli RothC mudeli hinnang mõõdetud Corg varu tulemusest ainult 2,3% erinev, kuid Yasso07 mudeli puhul oli erinevus 12,2%. Samas üksikute seirealade vahel esinesid siiski märkimisväärsed erinevused ka mudeli RothC kasutamisel.

Eesti mineraalsete põllumuldade mõõdetud Corg varu muutus oli Eestis keskmisena perioodil 2015 kuni 2020 -0,31 t/ha aastas. Uuringus kasutatud RothC mudeli prognoos (-0,43 t/ha aastas) oli samasuunaline ning võrreldavas suurusjärgus. Mudelprognoos mõnevõrra ülehindas Corg varu vähenemist. Mõõdetud ja modelleeritud Eesti keskmise mulla Corg varu hea omavaheline võrreldavus viitab sellele, et ehkki C sisendite kogustes võib esineda suur määramatus, siis maakondade keskmised C sisendid arvutatud maakondade keskmiste saagiandmete kaudu, võimaldasid maakondade keskmist Corg varu hinnata heal tasemel.

Maakondade kaalutud keskmisena oli mõõdetud Corg varu vähenemine veidi suurem (-0,45 t/ha aastas). Mudelprognoos maakondade kaalutud keskmise kohta ülehindas mulla Corg varu vähenemist (-0,61 t/ha a), mis osutab täpsematele asukohapõhistele sisendandmete vajadusele (nt. pöllupõhine C sisendi leidmine põllumajandustootjate pölluraamatute abil). Kuid maakondades toimunud muutuste erinevused mõõdetud ja modelleeritud tulemuste vahel osutavad vajadusele modelleerimiseks vajaminevate sisendandmete täpsustamiseks, et vältida mulla Corg varu üle- ja/või ülehindamist.

Eesti keskmise mineraalsete põllumuldade Corg varu muutuse hindamiseks ei ole vajadust leida seda maakondades toimunud muutuste kaudu, piisab kui on olemas mahukas andmebaas, mis sisaldab mulla Corg varu andmeid üle Eesti. Iga-aastane PANDA andmebaasi täiendamine võimaldab valideerida mudeliga RothC prognoositud mulla Corg varu tulemusi järgmiste aastate jooksul.

### **2023 a. tegevused:**

Mineraal- ja turvasmuldadel asuvate põllumajandusmaade ja looduslike rohumaade Corg varu muutuste hindamiseks on 2023. aastal tarvis hinnata põllumajanduslikus kasutuses olevate rohumaade muldade Corg sisalduse ja varu ajalist muutust looduslikel rohumaadel.

Metoodika väljatöötamiseks (jaguneb aastate 2022-2023 vahel):

- Kogutakse kordusproovid ja määriti mullast Corg varu 20-I 2014a looduslikele rohumaadele rajatud proovialal. Kahe proovivõtmisperioodi vahel tuvastatakse rohumaa muldades Corg varus toimunud muutused ja tulemuste baasil riigispetsiifilise eriheiteteguri tuletamine.
- Kogutakse kordusproovid ja määratatakse mullast Corg varu 30-I 2015 a turvasmuldadel pölli- ja püsirohumaadele rajatud proovialal. Kahe proovivõtmisperioodi vahel hinnatakse muldade Corg varus toimunud muutused ning tuletatakse riigispetsiifilised eriheitetegurid.



## 7.2 Eesti kuivendatud metsamaa turvasmuldade (drained organic forest soils) heite ja süsinikuvaru dünaamika täpsem hindamine riiklikus kasvuhoonegaaside inventuuris

Vastutav täitja: Cris-Tiina Pärn

Kaastäitjad: Kaido Soosaar (TÜ)

Vastavalt Tartu Ülikooli uuringu I etapi vahearuandele teostati I etapis järgnevad tööd.

Projekti esimesel aastal viidi läbi andmebaaside analüüs sobivate alade leidmiseks ning teostati uurimusalade valik vastavalt planeeritule. Mullastiku kaardi järgi leiti sobivad potentsiaalsed turvasmuldadega uurimusalad ning metsaregistri andmete alusel täpsustati puistu parameetreid. Alade kohapealse külastusega teostati alade lõplik valik.

Kokku tehakse mõõtmisi neljalt alalt:

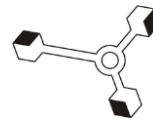
- siirdesoo baasil kujunenud kõdusoo kaasik (Kaasik I)
- siirdesoo baasil kujunenud kõdusoo kuusik (Kuusik I)
- raba baasil kujunenud kõdusoo männik (Männik I)
- siirdesoo baasil kujunenud kõdusoo männik (Männik II)

Lisaks viidi 2021. aastal läbi olemasolevate seadmete ( $\text{CO}_2$  analüsaator) hooldus/kalibratsioon, soetati puuduolevad seadmed ja materjalid/tarvikud ning tehti ettevalmistusi 2022 aastal algavateks välitöödeks.<sup>33</sup>

### 2022. aastal jätkati (eraldi tegevus teise lepingu raames) metodika väljatöötamiseks järgnevate tegevustega:

- Olemasolevate andmete ja uute mõõtmiste põhjal tuletatakse süsinikdioksiidid ( $\text{CO}_2$ ), metaani ( $\text{CH}_4$ ) ja dilämmastikoksiidi ( $\text{N}_2\text{O}$ ) hinnangud. Kokku on neli erineva kasvukohatüübiga mõõtmisala. Siirdesoo männikust mõõdetakse olemasolevatele  $\text{CH}_4$  ja  $\text{N}_2\text{O}$  andmetele juurde  $\text{CO}_2$  vood (heterotroofne hingamine). Siirdesoo kaasik ja kuusik ning raba baasil kujunenud kõdusoo männik on uued uurimusalad ning nendelt aladelt jätkatakse  $\text{CO}_2$  (heterotroofne hingamine),  $\text{CH}_4$  ja  $\text{N}_2\text{O}$ mõõtmisi üks kord kuus viielt mõõtepunktilt minimaalselt ühe aasta välitel.
- Siirdesoo kaasiku ja kuusiku ning rababaasil männiku proovitükkidelt kogutakse maapealse varise ja mulla proove ning mõõdetakse peenjuurte seisev biomass ja aastane produksioon ühe aasta välitel ning lisatakse varumuutuse hinnangutesse.

<sup>33</sup> Eesti kuivendatud metsamaa turvasmuldade (drained organic forest soils) heite ja süsinikuvaru dünaamika täpsem hindamine riiklikus kasvuhoonegaaside inventuuris- I etapi vahearuanne



## 8 KHG aruandluse arendustegevuste potentsiaalsed mõjud Eesti kasvuhoonegaaside heitkogustele 2022 a. seisuga

### 8.1 Energeetikasektori kodumajapidamiste ning suurte ja keskmiste põletusseadmete eriheitetegurite kontrollmõõtmised ja andmestike uuendamine KHG ja õhusaasteainete aruandluseks<sup>34</sup>

Projekti käigus teostatakse mõõtmised suurtes, keskmistes ja väikestes põletusseadmetes ning koduahjudes. Mõõtmistulemuste alusel arvutatud eriheitetegurid (PM2.5, BC, NH<sub>3</sub>, CH<sub>4</sub> ja N<sub>2</sub>O) võimaldavad teha parandusi ja täpsustusi kasvuhoonegaaside (KHG) ja õhusaasteainete inventuuris.

Enim mõjutab KHG inventuuri heitkoguseid kodumajapidamiste alamsektoris biomassi põletamisest eralduva CH<sub>4</sub> arvutamiseks vajaliku eriheiteteguri välja töötamine.

Kasvuhoonegaaside inventuuris kasutatakse hetkel energeetika sektori kodumajapidamiste alamsektoris biomassi põletamisest eralduva CH<sub>4</sub> arvutamiseks IPCC vaikväärust **300 kg/TJ** kohta.

**Tabel 98 2018. aasta CH<sub>4</sub> heitkogused kodumajapidamiste alamsektoris**

2018 kodumajapidamistes biomass põletamisest	
CH <sub>4</sub>	CO <sub>2</sub> ekv
4.9038	122.6

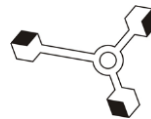
Mitmetes Euroopa Liidu riikides on välja töötatud riigispetsiifilised eriheitetegurid biomassi põletamisest eralduva CH<sub>4</sub> arvutamiseks (toodud alljärgnevas tabelis). Lisaks on tabeli viimasesse tulpa lisatud, kui palju oleks selliste eriheitetegurite puhul Eesti heitkogus.

**Tabel 99 Näiteid Euroopa Liidu riikide riigispetsiifilistest biomassi CH<sub>4</sub> eriheiteteguritest ning nende potentsiaalsest mõjust Eesti heitkogustele**

RIIK	Biomassi põletamise CH <sub>4</sub> eriheitetegur, kg/TJ	EESTI potentsiaalne heitkogus antud eriheiteteguri korral, kt CO <sub>2</sub> ekv
Austria	113-200	46.18-81.73
Soome	116-200	47.40-81.73
Läti	83-131	33.92-53.53
Saksamaa	97	39.64
<b>Keskmine</b>	<b>134.29</b>	<b>54.88</b>

Maksimaalne potentsiaalne KHG vähenemine kodumajapidamise alamsektoris oleks sellisel juhul (eriheite 83 kg/TJ korral) 88 kt CO<sub>2</sub> ekv ja keskmise potentsiaalne KHG vähenemine oleks (eriheite 134.29 kg/TJ korral) 67.72 kt CO<sub>2</sub> ekv. Kodumajapidamise sektori heitkogused kuuluvad jagatud kohustuse määruse (nn ESR) heitkoguste alla seega aitaks projekti tegevus

<sup>34</sup> Tegevuse tegemise aluseks on järgmiste tegevuste elluviimine: 1) Energeetikasektori KHG ja õhusaasteainete inventuuri kohtkütte sektori ruumilise paiknemise ja sektoris kasutatavate küttesseadmete inventuur ja 2) Kasvuhoonegaaside ja õhusaasteainete riigispetsiifiliste eriheitetegurite ajakohastamiseks kasutatavate mõõtesüsteemide täiendamine, sealhulgas mõõtevõimekuse suurendamine)



samas suuruses ka ESR heitkoguseid vähendada. Heitkoguste hind oleks olukorras kus  $\text{CO}_2$  hind=25 eur/t $\text{CO}_2$  seega  $67\ 720\ \text{t CO}_2 * 25\ \text{eur/t CO}_2 = 1\ 693\ 000\ \text{euri}$ .

Esialgsete mõõtmistulemuste põhjal on uute ahjude mediaan  $\text{CH}_4$  eriheide 10.91 kg/TJ ja  $\text{N}_2\text{O}$  2.04 kg/TJ ning vanade ahjude puhul  $\text{CH}_4$  eriheide 18.81 kg/TJ ja  $\text{N}_2\text{O}$  2.42 kg/TJ. Arvestades uute ahjude osakaaluks Eestis 20% ja vanu 80%, siis võrreldes 2006 IPCC Tier1 metoodikaga on säast ca 124.8 kt  $\text{CO}_2$  ekv (võttes aluseks 2021 NIR 2018.aasta kohta). Heitkoguste hind oleks olukorras, kus  $\text{CO}_2$  hind=25 eur/t $\text{CO}_2$  (tänaseks ca 50 eur/t  $\text{CO}_2$ ) seega  $124\ 803\ \text{t CO}_2 * 25\ \text{eur/t CO}_2 = 3\ 120\ 075\ \text{euri}$

Keskmise võimsusega põletusseadmete eriheidete uuendamisel oleks säast ca 6.5 kt  $\text{CO}_2$  ekv. Heitkoguste hind oleks olukorras, kus  $\text{CO}_2$  hind=25 eur/t  $\text{CO}_2$  (tänaseks ca 50 eur/t $\text{CO}_2$ ) seega  $6\ 500\ \text{t CO}_2 * 25\ \text{eur/t CO}_2 = 162\ 500\ \text{euri}$

## 2022 a. uuendused

Kodumajapidamistes põletatud kütustest tulenevad kasvuhoonegaaside heitkogused lähevad arvesse jöopingutuste jagamise määrase eesmärgi täitmisel. Muudatus viakse sisse 15.03.2023 inventuuri. Tulemusena väheneb KHG inventuuris kodumajapidamise kategooria KHG heitkogus 130.5 kt $\text{CO}_2$  ekv 2020.aastal (vt Tabel 100).

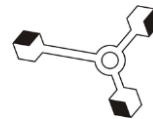
**Tabel 100 Kodumajapidamiste KHG heitkogus 2020.aastal, kt  $\text{CO}_2$  ekv**

	kt $\text{CO}_2$ ekv
<b>2020.aasta heitkogus IPCC eriheitega</b>	309.2
<b>2020.aasta heitkogus riigispetsiifiliste eriheidetega</b>	178.7
<b>Muutus</b>	<b>-130.5</b>

Projekti raames teostati 2020-2021 a. suurte (üle 50 MWth), keskmiste (1–50 MWth) ja kuni 1 MWth põletusseadme mõõtmised eesmärgiga energiatektika sektori KHG ja õhusaasteainete inventuuride ühtlustamiseks ning täpsuse parandamiseks  $\text{CH}_4$ ,  $\text{N}_2\text{O}$ ,  $\text{NH}_3$ , PM2.5, PM10, PMsum ja BC eriheidete osas. Keskmiste põletusseadmete (1-50 MWth) biomassi, maagaasi, põlevkiviõli ja turba eriheidete täpsustamisega vähenesid kasvuhoonegaasid 2019. aasta näitel suurusjärgus 164 kt  $\text{CO}_2$  ekvivalenti (vt Tabel 2). Uued eriheeted võetid kasutusele 2021. aasta KHG inventuuris.

**Tabel 101 Keskmiste põletusseadmete KHG heitkogus 2019 aastal, kt  $\text{CO}_2$  ekv**

	kt $\text{CO}_2$ ekv
<b>2019.aasta heitkogus IPCC eriheitega</b>	6619.38
<b>2019.aasta heitkogus riigispetsiifiliste eriheidetega</b>	6455.04
<b>Muutus</b>	<b>-164.34</b>



## 8.2 Teiste liikuvate heiteallikate heitkoguste arvutuspõhimõtete ülevaatamine

Projekti eesmärgiks on täpsustada ja üle vaadata Eesti KHG ja õhusaasteainete inventuurides kajastavate liikuvate heiteallikate (tööstus, põllumajandus, kalandus, siseveetransport, raudteetransport, äriktor ning kodumajapidamine, militaarsektor) arvutuspõhimõtted.

Antud sektorite heitkogused on arvutatud hetkeseisuga kõige lihtsamat metoodikat ehk Tier 1 kasutades.

Järgnevalt näide, kuidas antud tegevus mõjutaks KHG inventuuri sektori 1A4c ii. (Off-road vehicles and other machinery) heitkoguseid. Teiste liikuvate heiteallikate (sh näiteks ka põllumajandus- ja tööstussõidukid) kasvuhoonegaaside heitkoguste arvutamiseks kasutatakse hetkel IPCC vaikeväärtsi, mis on bensiini puhul  $\text{CH}_4=80 \text{ kg/TJ}$  ja  $\text{N}_2\text{O}=2 \text{ kg/TJ}$  ja diisli puhul  $\text{CH}_4=4.15 \text{ kg/TJ}$  ja  $\text{N}_2\text{O}=28.6 \text{ kg/TJ}$

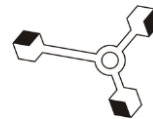
**Tabel 102 2018. aasta  $\text{CH}_4$  ja  $\text{N}_2\text{O}$  heitkogused liikuvatest heiteallikastest (va maanteetransport, siseriiklik lennundus ja laevandus ning raudteetransport)**

2018 $\text{CH}_4$ ja $\text{N}_2\text{O}$ heitkogused teistest liikuvatest heiteallikastest		
$\text{CH}_4$	$\text{N}_2\text{O}$	kt $\text{CO}_2$ ekv
0.0116	0.0799	24.09

**Tabel 103 Näiteid Euroopa Liidu riikide riigispetsifilistest bensiini ja diisli  $\text{CH}_4$  ja  $\text{N}_2\text{O}$  eriheiteteguritest ning nende potentsiaalsest mõjust Eesti heitkogustele**

RIIK	bensiini $\text{CH}_4$ eriheitetegur, kg/TJ	bensiini $\text{N}_2\text{O}$ eriheitetegur, kg/TJ	diisli $\text{CH}_4$ eriheitetegur, kg/TJ	diisli $\text{N}_2\text{O}$ eriheitetegur, kg/TJ	EESTI potentsiaalne heitkogus antud eriheitetegurite korral, kt $\text{CO}_2$ ekv
Austria	31.64	1.07	1.84	13.7	11.53
Taani	155.9	1.46	0.89	3.53	2.999
Saksamaa	415.49	0.38	6.33	2.68	2.67
Tšehhi	21.58	7.15	5.21	2.45	2.40
Keskmine	156.15	2.515	3.57	5.59	4.90

Maksimaalne potentsiaalne KHG vähenemine teistest liikuvatest heiteallikatest oleks sellisel juhul (Tšehhi näide) 21.69 kt  $\text{CO}_2$  ekv ja keskmine potentsiaalne KHG vähenemine oleks (eriheite 134.29 kg/TJ korral) 19.19 kt  $\text{CO}_2$  ekv. Teiste liikuvate heiteallikate heitkogused kuuluvad jagatud kohustuse määruse (nn ESR) heitkoguste alla seega aitaks projekti tegevus samas suuruses ka ESR heitkoguseid vähendada. Heitkoguste hind oleks olukorras kus  $\text{CO}_2$  hind=25 eur/t $\text{CO}_2$  seega  $19\ 190 \text{ t CO}_2 \times 25 \text{ eur/t CO}_2 = 479\ 750 \text{ euro}$ .



Esialgsete arvutustulemuste põhjal on 1A4c kategooria kaalutud keskmene CH<sub>4</sub> eriheide 2.41 kg/TJ ja N<sub>2</sub>O 2.98 kg/TJ ning 1A2 kategooria kaalutud keskmene CH<sub>4</sub> eriheide 0.88 kg/TJ ja N<sub>2</sub>O 3.17 kg/TJ. Võrreldes 2006IPCC Tier1 metoodikaga on sääst ca 29.35 kt CO<sub>2</sub> ekv (võttes aluseks 2021 NIR 2018.aasta kohta). Heitkoguste hind oleks olukorras, kus CO<sub>2</sub> hind=25 eur/tCO<sub>2</sub> (tänaseks ca 50 eur/t CO<sub>2</sub>) seega 29 300 t CO<sub>2</sub>\*25 eur/tCO<sub>2</sub> = 732 500 euro.

### 8.3 Kariloomade söödaplaanide uuring

Pöllumajanduse KHG ja õhusaasteainete inventuuri täpsustamiseks on vajalik kariloomade söödaplaanide uuring, et kaardistada hetkeolukorda ja sellest lähtuvalt välja töötada võimalusi sõnnikust pärinevate heitkogusete vähendamiseks, kasutades kvaliteetseid ja optimaalsel ajal valmistatud põhisöötasi ja tasakaalustatud proteiinisisaldusega söötmise strateegiaid, mille puhul on töestatud ammoniaagi ja KHG heitkoguseid vähendav mõju. Hetkel on KHG inventuuris pöllumajandusloomade söödaratsioonide (söötade) kuivaine seeduvuse näitajad töenäoliselt allahinnatud (piimalehmadel nt 67%). KHG inventuuride auditeerijad on toonud Eesti inventuuri puhul välja vastuolu, et Eestis on piima tootlikkus kõrge, mis aga ei kajastu söödaratsioonide ja söötade kuivaine seeduvuse näitajate muutuses, ning palunud sellele põhjendust. Üks viis pöllumajandussektorist pärit KHG heitkoguseid täpsemaks muuta on söötade (eeskätt põhisöötade) seeduvuse jms kvaliteedinäitajate täpsustamine tüüpilistes söödaratsioonides. Kui saab töestada, et söötade seeduvus ja kvaliteet on ajas paranenud, siis saab näidata vastavaid KHG heitkoguste ajaloolisi vähenemisi. Lisaks saaks sama täpsustuse sisse viia ka õhusaasteainete inventuuris ammoniaagi (NH<sub>3</sub>) heite osas, kuigi see sõltub rohkem tehnoloogilisest pooltest ja ratsioonide tasakaalustamisest.

#### Piimalehmade näitel

Soolesisese fermentatsiooni arvustuses kasutatav eriheitetegur sõltub järgnevatest teguritest:

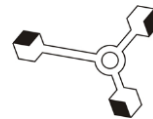
- Kuivaine söömus kg/aastas
- Söödaratsiooni kuivaine seeduvus, %
- Metaani konversioonifaktor, Ym %

**Tabel 104 Piimalehmade sööda kuivaine seeduvus Eestis**

2018 Eesti KHG inventuuri piimalehmade sööda kuivaine seeduvuse protsent	2018 KHG koguheide pöllumajandussektorist CO <sub>2</sub> ekv
67%	1435.63

**Tabel 105 Piimalehmade sööda kuivaine seeduvus teistes riikides**

Riik	Piimalehmade sööda kuivaine seeduvuse protsent	EESTI potentsiaalned KHG pöllumajandussektorist, kt CO <sub>2</sub> ekv
Soome	70%	1399.27
Iirimaa	75%	1348.01
IPCC juhised	Kontsentraadid 75-85%	1348.01- 1270.07 1650.97-1348.01



Riik	Piimalehmade sööda kuivaine seeduvuse protsent	EESTI potentsiaalned KHG pöllumajandussektorist, kt CO <sub>2</sub> ekv
	Heina, silo jms söödetavad loomad 55-75%	
Soome ja Iirimaa keskmine	72.5%	1372.35

Teiste riikide näitel oleks keskmise potentsiaalne KHG vähenemine (seeduvuse 72.5% korral) 63.31 kt CO<sub>2</sub> ekv. Pöllumajandus heitkogused kuuluvad jagatud kohustuse määruse (nn ESR) heitkoguste alla seega aitaks projekti tegevus samas suuruses ka ESR heitkoguseid vähendada. Heitkoguste hind oleks olukorras kus CO<sub>2</sub> hind=25 eur/tCO<sub>2</sub> seega 63 310 t CO<sub>2</sub>\*25 eur/tCO<sub>2</sub> = 1 582 750 euro.

Söödaplaanide uuringu tulemustest lähtuvalt on piimalehmade seedeprotsessidest pärieva KHG (metaani) emissioon aastate lõikes toodud alljärgnevas tabelis.

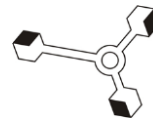
**Tabel 106 Piimalehmade seedeprotsessidest pärieva CH4 heide**

Vana arvutusskeem			
	2018	2019	2020
Ratsiooni kuivaine seeduvus, %	67	67	67
CH <sub>4</sub> , kt	13.5856	13.8455	14.0333
CO <sub>2</sub> ekv, kt	339.6418	346.1375	350.8330
Uus arvutusskeem*			
	2018	2019	2020
Ratsiooni kuivaine seeduvus, %	68.9	68.9	70.2
CH <sub>4</sub> , kt	13.0706	13.3206	13.1626
CO <sub>2</sub> ekv, kt	326.7668	333.0163	329.0658
CO <sub>2</sub> ekv vähenemine, kt	12.875	13.1212	21.7672
Kokkuhoid (25 €/tCO <sub>2</sub> ), €	321875	328 030	544 180

\*Parandatud lisaks loomade kehamassi näitajad, mis vanas arvutusskeemis olid allahinnatud. Kuivaine seeduvuse tõusust saadav efekt mõnevõrra väheneb.

Lähtuvalt söödaplaanide uuringust on võimalik näidata KHG emissiooni vähenemist ka noorveiste osas, tehes arvutused piima- ja lihaveiste noorloomade lõikes eraldi. Piimaveiste noorkarjale söödetakse tavapäraselt kõrgema kuivaine seeduvusega ratsioone. Probleemiks:

- Inventuuris kajastuvad noorloomade andmed (Statistikaamet) on summaarsed
- Inventuuri uues arvutusskeemis (Aether) lähtuvad kalkulatsioonid summaarestest noorloomade arvust



## 8.4 Biogaasi pöllumajanduslikest ressurssidest tootmise KHG heite hindamise mudeli arendamine, algandmete kogumine, riigispetsiifilise eriheite väljatöötamine

Eestis on üheks suurema potentsiaaliga pöllumajandusliku KHG heite vähendamise meetmeks hinnatud biogaasi tootmist. Sellest tulenevalt on vaja selle meetme vähendamismõju riiklikus KHG inventuuris võimalikult täpselt hinnata, milleks tuleks välja töötada biogaasi pöllumajanduslikest ressurssidest tootmise KHG heite hindamise arvutusmuudel, koguda vajalikud algandmed ning arendada välja riigispetsiifiline eriheide.

Riikide näitel, kes raporteerivad biogaasi tootmist pöllumajanduslikest ressurssidest saame tuua Taani, kus on näha, et riiklike uuringute tulemusel on neil Eestiga võrreldes kasutusel oluliselt väiksemad metaani konversioonifaktorid nii kääritatud kui kääritatamata sõnnikule, mis annab alust eeldada, et hetkel kasutusel olevad IPCC vaikeväärised on ülehinnatud. Üheks oluliseks Biogaasi arendustöö väljundiks oleks ka algandmete täpsustamine.

Taani eriheiteteguritega Eesti potentsiaalse KHG heitkoguse vähendamine on välja selgitatud kasutades Kliimapoliitikapoliitika põhialustes 2050 kasutatud aluseeldusi, mis tähendaks, et 26% sea- ja 28,8% veisesõnnikust biogaasistatakse.

**Tabel 107 Eesti potentsiaalne heitkogus Taani näitel**

RIIK	Metaani konversioonifaktor kääritatamata vedelsõnnik MCF (vähinemise potentsiaal)	Metaani konversioonifaktor biogaasistatud vedelsõnnik MCF (vähinemise potentsiaal)	EESTI potentsiaalne heitkogus antud eriheitetegurite korral, kt CO <sub>2</sub> ekv
Taani	Sead 13.72% /veised 4.59%	Sead 10.45% /veised 2.61%	1410.68
Eesti 2020.a inventuur	Sead 17% / veised 10%	Metoodika puudub	1435.63 (KHG 2018. aasta tegelik heitkogus)

Antud näitel oleks potentsiaalne KHG vähinemine 24.95 kt CO<sub>2</sub> ekv. Heitkoguste hind oleks olukorras kus CO<sub>2</sub> hind=25 eur/tCO<sub>2</sub> seega 24 950 t CO<sub>2</sub>\*25 eur/tCO<sub>2</sub> = 623 750 euro. Hetkel KHG inventuuri pöllumajandussektoris puudulike andmete tõttu KHG vähinemist sõnniku biogaasistamisest arvesse võetud ei ole.



## 9 Üldkoordineerimine

2022 a. tegevuste üldkoordineerimise eest vastutas EKUKi Õhu- ja kliimaosakonna kliima- ja andmeanalüüsü üksuse juht Marek Maasikmets. Iga tegevuse eest vastutas konkreetne spetsialist koos oma meeskonna või telliti teenus hanke korras sisse. Lisaks osalesid tegevustes EKUKi finantsjuht Aiki Alvet, raamatupidaja Ruth Saks ning hanete korraldamise eest vastutav Gina Metsla.

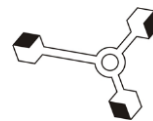


## 10 Kasutatud kirjandus

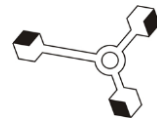
- Cavallari, J., Osborn, L., Snawder, J., Kriech, A., Olsen, L., Herrick, R., McClean, M. 2011. Predictors of Airborne Exposures to Polycyclic Aromatic Compounds and Total Organic Matter among Hot-Mix Asphalt Paving Workers and Influence of Work Conditions and Practices.
- Chong, D., Wang, Y.; Zhao, K., Wang, D., Oeser, M. 2018. Asphalt Fume Exposures by Pavement Construction Workers: Current Status and Project Cases.
- Denier van der Gon, H., Bergström, R., Fountoukis, C., Johansson, C., Pandis, S.N., Simpson, D., Visschedijk, A.J.H., 2015. Particulate emissions from residential wood combustion in Europe – revised estimates and an evaluation. *Atmos. Chem. Phys.* 15, 6503–6519.
- EEA, 2016. EMEP/EEA air pollutant emission inventory guidebook — 2016. Technical guidance to prepare national emission inventories., in: European Environment Agency (Ed.), Technical report No 21/2016. European Environment Agency, Luxembourg: Publications Office of the European Union, 2016.
- Eesti Asfaldiliit. 2020. Asfalt arvudes 2019.
- Eklund, B. 1992. Practical Guidance for Flux Chamber Measurements of Fugitive Volatile Organic Emission Rates.
- EMEP. 2019. EMEP/EEA air pollutant emission inventory guidebook 2019.
- Faber, P., Drewnick, F., Borrmann, S. 2015. Aerosol particle and trace gas emissions from earthworks, roadconstruction, and asphalt paving in Germany: Emission factors and influence on local air quality.
- Farshidi, F., Jones, D., Harvey, J. T. 2013. Warm-Mix Asphalt Study: Evaluation of Rubberized Hot- and Warm-Mix Asphalt with Respect to Emissions.
- Farshidi, F., Jones, D., Kumar, A., Green, P., Harvey, J. 2011. Direct Measurements of Volatile and Semivolatile Organic Compounds from Hot- and Warm-Mix Asphalt.
- Font, A., Baker, T., Mudway, I., Purdie, E., Dunster, C., Fuller, G. 2014. Degradation in urban air quality from construction activity and increased traffic arising from a road widening scheme. *The Science of the Total Environment* 497 - 498 (2014) 123 – 132
- Hugener, M., Zeyer, K., Mohn, J. 2019. Reduced emissions of warm mix asphalt during construction.
- IARC. IARC Monographs - 103. Bitumens and bitumen emissions.
- IPCC. 1996. Revised 1996 IPCC Guidelines for National Greenhouse Gas Inventories: Reference Manual.
- Jamriska, M. ja Morawska, L. 2000. A model for determination of motor vehicle emission factors from on-road measurements with a focus on submicrometer particles. *The Science of the Total Environment* 264 (2001) 241 – 255.
- Khare, P., Machesky. Y., Soto, R., He, M., Presto, A., Gentner, D. 2020. Asphalt-related emissions are a major missing nontraditional source of secondary organic aerosol precursors.



- Kriech, A., Kurek, J., Wissel, H., Osborn, L., Blackburn, G. 2002. Evaluation of Worker Exposure to Asphalt Paving Fumes Using Traditional and Nontraditional Techniques.
- Maanteeamet. 2014. Asfalist katendikihtide ehitamise juhis.
- Maanteeamet. 2017. Pindamisjuhis.
- Maasikmets, Marek (2019). Determination of emission factors from anthropogenic particle sources for air emission and health impact assessment. (Doktoritöö, Eesti Maaülikool). Tartu: Eesti Maaülikool. DOI: 10.15159/emu.37.
- Nilsson, P., Bergendorf, U., Tinnerberg, H., Nordin, E., Gustavsson, M., Strandberg, B., Albin, M., Gudmundsson, A. 2018. Emissions into the Air from Bitumen and Rubber Bitumen—Implications for Asphalt Workers' Exposure.
- Nussbaumer, T., Klippe, N., Johansson, L., 2008. Survey on measurements and emission factors on particulate matter from biomass combustion in IEA countries, 16th European Biomass Conference and Exhibition, Valencia, Spain.
- Ortolano, L. 1985. Estimating Air Quality Impacts. Environmental Impact Assessment Review, 5(1), 9-35.
- Peng, P., Tong, X., Cao, S., Li, W., Xu, G. 2020. Carbon Emission Calculation Method and Low-Carbon Technology for Use in Expressway Construction.
- Rubio, M., Moreno, F., Martínez-Echevarría, M., Martínez, G., Vázquez, J. 2013. Comparative analysis of emissions from the manufacture and use of hot and half-warm mix asphalt.
- Seljeskog, M., Sevault, A., Østnor, A., Skreiberg, Ø., 2017. Variables Affecting Emission Measurements from Domestic Wood Combustion. Energy Procedia 105, 596-603.
- Struschka, M., Kilgus, D., Springmann, M., Baumbach, G., 2008. Effiziente Bereitstellung aktueller Emissionsdaten für die Luftreinhaltung Umweltbundesamt.
- TTÜ. 2015. Uued viisid bituumensideainete kvaliteediomaduste määramiseks ja võimalused nende rakendamiseks, pidades silmas konkreetsele objektile vastavaid kriteeriume sideaine eeldatavast elueast ja kasutuskohast lähtuvalt.
- UK NAEI. 2020. Emission Factors Database.
- US EPA. 1986. Measurement of Gaseous Emission Rates From Land Surfaces Using an Emission Isolation Flux Chamber, Users Guide.
- US EPA. 2004. Emission Factor Documentation for AP-42 Section 11.1. Hot Mix Asphalt Plants Final Report.
- US EPA. 2020a. AP-42: Compilation of Air Emissions Factors. Chapter 11.1. Hot Mix Asphalt Plants.
- US EPA. 2020b. AP-42: Compilation of Air Emissions Factors. Chapter 4.5. Asphalt Paving Operations.
- Wanga, F., Lia Na, Hoff, I., Wua, S., Lic, J., Barbierib, D., Zhan, L. 2020. Characteristics of VOCs generated during production and construction of an asphalt pavement.
- VDI. 2007. VDI Guidelines VDI/DIN Reinhaltung der Luft, Band 3, VDI 2283 Emission reduction – Preparation plants for asphalt (asphalt mixing plants).
- WebFIRE. 2020. US EPA Emission Factors Database WebFIRE.



- 
- Weiss, F., Baloh, P., Pfaller, C., Cetintas, E., Kaspergiebl, A., Wonaschütz, A. Dimitrov, M., Hofko, H., Rechberger, H., Grothe, H. 2018. Reducing paving emissions and workers' exposure using novel mastic asphalt mixtures.
- Xiu, M., Wang, X., Morawska, L., Pass, D., Beecroft, A., Mueller, J., Thai, P. 2020. Emissions of particulate matters, volatile organic compounds and polycyclic aromatic hydrocarbons from warm and hot asphalt mixes.
- Xu, Y., Kåredal, M., Nielsen, J., Adlercreutz, M., Bergendorf, U., Strandberg, B., Antonsson, A-B., Tinnerberg, H., Albin, M. 2018. Exposure, respiratory symptoms, lung function and inflammation response of road-paving asphalt workers.



## 11 Lisad

### **Lisa 1 Käitiste üldandmed, sh mõõtmiste ajad ja põletusseadmete andmed mõõtmiste ajal 2020. aastal mõõdetud põletusseadmed**

SW Energia OÜ heiteallikas:

- 05.02.2020 – Justsen Argus Flex 25 Ceramic 4.0

Anne Soojus AS heiteallikas:

- 02.03.2020 – Anne katlamaja, veekatel WA02

Enefit Green AS heiteallikas:

- 06.08.2020 – Iru elektrijaama jäätmepõletusplokk

UPM-Kymmene Otepää OÜ heiteallikas:

- 11.08.2020 – Kihtkoldega katel

Tariston AS heiteallikad:

- 24.08.2020 – Raadi ABT kuivatustrummel
- 27.08.2020 – Harku ABT kuivatustrummel

Valio Eesti AS Laeva meierei heiteallikad:

- 09.10.2020 – Kerge kütteõlikatel, põletiga (TTK-70)
- 10.10.2020 – Kerge kütteõlikatel, põletiga (Bosch)

Toftan AS heiteallikad:

- 27.10.2020 – Puidukatel eelkoldega, katel 1
- 28.10.2020 – Puidukatel eelkoldega, katel 2

Elering AS, Kiili GRJ heiteallikad:

- 03.11.2020 – Vitoplex 200, katel A
- 04.11.2020 – Vitoplex 200, katel B

Mo-Puit Jõgeva AS heiteallikas:

- 17.10.2020 – Veekatel AK1000S

Utilitas Eesti AS Haapsalu katlamaja heiteallikad:

- 01.12.2020 – Vertikaalne leek-suitsutorukatel (VP 14.06)
- 02.12.2020 – Vapor, 5 MW
- 03.12.2020 – Vapor, 10 MW

Utilitas Eesti AS Keila katlamaja heiteallikad:

- 08.12.2020 – Veekatel Danstoker
- 09.12.2020 – Vitomax 200

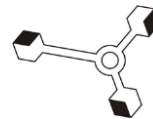
Viru-Nigula Saeveski AS heiteallikad:

- 10.12.2020 – K-2, Lin-Ka
- 11.12.2020 – K-1, Justsen

Adven Eesti AS, Kose katlamaja heiteallikad:

- 15.12.2020 – Pelletikatel K1
- 15.12.2020 – Pelletikatel K2

Mõõtmised Eesti Keskkonnauuringute Keskus OÜ ahjulabori heiteallikad:



- 18.12.2020 – Umbkoldega ahi

### 2021. aastal mõõdetud põletusseadmed

Tamsalu Kalor AS heiteallikas:

- 07.01.2021 – Biokatel BIO-2,5

Adven Eesti AS heiteallikad:

- 13.01.2021 – Viruvere. Aurukatel, K-1
- 28.01.2021 – Kose-Uuemõisa. VEEKATEL, K1
- 28.01.2021 – Kose-Uuemõisa. VEEKATEL, K2
- 27.01.2021 – Viljandi Ekseko seafarm. Biokatel
- 27.01.2021 – Viljandi Ekseko seafarm. Katel, Vitplex 200, SA-20
- 03.02.2021 – Viru-Nigula. VEEKATEL, nr 2

Anne Soojus AS heiteallikad:

- 15.02.2021 – Anne katlamaja. Katel W01, VEEKATEL, KB-M-35-150M/TF03
- 15.02.2021 – Anne katlamaja. Katel W02, VEEKATEL, KB-M-35-150M/TF03
- 16.02.2021 – Anne katlamaja. Katel W01 ja katel W02 peale pesurit
- 09.03.2021 – Puiestee katlamaja. Gaasikatel, Bosch UT-M 60 (100% koormusega)
- 09.03.2021 – Puiestee katlamaja. Gaasikatel, Bosch UT-M 60 (30% koormusega)
- 25.02.2021 – Aardla katlamaja. Katel K2, vEEKATEL Danstoker
- 15.01.2021 – Ropka katlamaja. Katel K1, Noviter WT W40
- 15.01.2021 – Ropka katlamaja. Katel K2, Noviter WT W40

Tootsi Turvas AS heiteallikad:

- 14.01.2021 – Turba restkoldega katel, JU-MMV-15
- 12.02.2021 – Mooste. Hakkepuidu katel

Utilitas Eesti AS Jõgeva katlamaja heiteallikas:

- 20.01.2021 – Biokütuse katel Danstoker VHS 25-900

Enefit Green AS Paide Elektrijaama heiteallikad:

- 08.01.2021 – Koostootmisjaam, HA-40
- 22.02.2021 – Katel Wärtsilä Biograde

Jeld-Wen Eesti AS heiteallikas:

- 02.02.2021 – Katel LAKA, PS4000

Utilitas Tallinna Elektrijaam OÜ heiteallikas:

- 23.03.2021 – Restkoldega katel

**Tabel 108 Muudatused võrreldes esialgse kooskõlastatud katelde nimekirjaga**

Võimsusvahemik	Esialgselt planeeritud	Tegelikult mõõdetud	Põhjendus
1-5 MW	Osaühing Weiss Aiand, Kivisöe katel restkoldega	Valio Laeva Meierei, Põlevkiviõli põletiga	Ettevõttelt Weiss Aiand ei saadud vastust projektis osalemise taatlusele



Võimsusvahemik	Esialgselt planeeritud	Tegelikult mõõdetud	Põhjendus
1-5 MW	Technomar & Adrem AS, puidu restkoldega	OÜ Nordwood, puidu restkoldega	Ettevõttega Technomar & Adrem ei saadud vastust projektis osalemise taotlusele
1-5 MW	OG Elektra Tootmine AS, Puidu põletiga (AK-1000)	Mo-Puit Jõgeva AS, puidukatel (AK-1000)	OG Elektra Tootmine AS poolt saadi info, et katel ei ole töökoras ja ei osatud anda infot kas ja millal saab katla töökorda
1-5 MW	AS Alexela Terminal, DKWT-320	Elering Kiisa GRJ, maagaasikatel põletiga	AS Alexela Terminal poolt saadud info kohaselt ei ole võimalik ettevõttel tagada projektis osalemiseks vajalikku koormust (maksimaalne 43%) ja tootjapoolne suitsugaaside mõõteava on 15 mm ning projekti mõõtmiseks vajaliku mõõteava tegemiseks on vaja rekonstruktsiooniprojekti, mis toob kaasa lisakulusid
5-20 MW	Fortum Eesti AS, hakkepuidu restkoldega	UPM Kymmene Otepää AS, hakkepuidu kihtkoldega	Fortum Eesti AS info kohaselt asub katel Pärnus ning on alates 7.03.2020 seisatud
5-20 MW	Stora Enso Eesti AS, hakkepuidu restkoldega	Toftan AS, hakkepuidu eelkoldega	Ettevõttelt Stora Enso Eesti AS ei saadud vastust projektis osalemise taotlusele
5-20 MW	"HORIZON" TSELLULOOSI JA PABERI AKTSIASELTS, raskekütteöli põletiga	Utilitas Eesti AS Haapsalu katlamaja, põlevkiviöli põletiga	Ettevõttelt "HORIZON" TSELLULOOSI JA PABERI AKTSIASELTS ei saadud vastust projektis osalemise taotlusele
5-20 MW	OÜ Baltic Forest, põlevkiviöli põletiga	Utilitas Eesti AS Haapsalu katlamaja, hakkepuidu vertikaalne leek-suitsutorukatel	Ettevõttelt Stora Enso Eesti AS OÜ Baltic Forest ei saadud vastust projektis osalemise taotlusele
5-20 MW	osaühing ESTOVER PIIMATÖÖSTUS, raskekütteöli põletiga	Utilitas Eesti AS Jõgeva katlamaja, hakkepuidu katel (2021 mõõtmine)	Ettevõtte OÜ ESTOVER PIIMATÖÖSTUS info kohaselt ei ole katlal mõõtmisteks vajalikke mõõteavasid



Võimsusvahemik	Esialgselt planeeritud	Tegelikult mõõdetud	Põhjendus
20-50 MW	AS Utilitas Tallinn, puidukatel põletiga	AS Utilitas Tallinna Elektrijaam, hakkepuidu katel (2021 mõõtmine)	Objekti ülevaatuse käigus selgus, et AS Utilitas Tallinn puidukatral on kahe katla peale ühine suitsukäik ja katlad töötavad tavaolukorras samaaegselt mistõttu ei ole võimalik eristada ühe katla põlemisgaaside koostist teise katla omadest
20-50 MW	AS LIWATHON E.O.S. Trendgate terminal	Anne Soojus AS gaasikatel	Objekti ülevaatuse käigus selgus, et puuduvad mõõtmisteks vajalikud mõõteavad
20-50 MW	AS LIWATHON E.O.S. Termoil termoil	Anne Soojus AS gaasikatel	Objekti ülevaatuse käigus selgus, et puuduvad mõõtmisteks vajalikud mõõteavad
1-5 MW	SW Energia OÜ	Adven Eesti AS Ekseko seafarmi hakkepuidu katel	Ettevõttelt SW Energia OÜ ei saadud vastust projektis osalemise taotlusele

**Tabel 109 Adven Eesti AS Kose katlamaja üldandmed**

Üldandmed	
Ärinimi/nimi	Adven Eesti AS
Registrikood	10066299
Telefon	5380 0080
E-post	<a href="mailto:kauri.koster@adven.com">kauri.koster@adven.com</a>
Mõõtmiste koht	Pikk 4b, Kose

**Tabel 110 Katel 1 parameetrid mõõtmiste ajal**

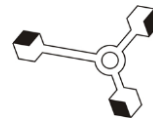
Andmed põletusseadme kohta	
Heiteallika nimetus	ARIMAX BIO 1500
Heiteallika tüüp	Veekatel, nr 1
Soojussisendile vastav nimisoojusvõimsus	ca 1666 kW (output on 1500 kW)
Lisainfo	



Andmed põletusseadme töörežiimi kohta mõõtmiste ajal	
Mõõtmiste ajal kasutatud kütuse liik	Puidupellet - tööstuslik
Kütuse kütteväärthus	4,6 kWh/kg
Seadme režiim mõõtmiste ajal	Ühtlane koormus
Soojusvõimsus mõõtmiste ajal	~825 kW
Rakendataavad heite vähendamise meetmed	tsüklon
Kas püüdeseade töötas mõõtmiste ajal	jah
Katlaseadme koormus*	~55%
Temperatuur koldes	Ei ole teada
Temperatuur pärast katelt	Suitsugaasid ~150 °C
Põlemisgaaside kondensaatori võimsus	
Lisainfo	

**Tabel 111      Katel 2 parameetrid mõõtmiste ajal**

Andmed põletusseadme kohta	
Heiteallika nimetus	ARIMAX BIO 1500
Heiteallika tüüp	Veekatel, nr 2
Soojussisendile vastav nimisoojusvõimsus	ca 1666 kW (output on 1500 kW)
Lisainfo	
Andmed põletusseadme töörežiimi kohta mõõtmiste ajal	
Mõõtmiste ajal kasutatud kütuse liik	Puidupellet - tööstuslik
Kütuse kütteväärthus	4,6 kWh/kg
Seadme režiim mõõtmiste ajal	Ühtlane koormus
Soojusvõimsus mõõtmiste ajal	~870 kW
Rakendataavad heite vähendamise meetmed	tsüklon
Kas püüdeseade töötas mõõtmiste ajal	jah
Katlaseadme koormus*	~58%
Temperatuur koldes	Ei ole teada
Temperatuur pärast katelt	Suitsugaasid ~150 °C
Põlemisgaaside kondensaatori võimsus	
Lisainfo	

**Tabel 112 AS Viru-Nigula Saeveski üldandmed**

Üldandmed	
Ärinimi/nimi	AS viru-Nigula Saeveski
Registrikood	12325144
Telefon	53304828
E-post	Jyri.Nigul@nordwood.ee
Mõõtmiste koht	Viru-Nigula

**Tabel 113 Katel Lin-Ka parameetrid mõõtmiste ajal**

Andmed põletusseadme kohta	
Heiteallika nimetus	Liikuvate restidega katel Linka
Heiteallika tüüp	Multimiser 21
Soojussisendile vastav nimisoojusvõimsus	2,5MW
Lisainfo	Max. Võimsus 2,775MW
Andmed põletusseadme töorežiimi kohta mõõtmiste ajal	
Mõõtmiste ajal kasutatud kütuse liik	hakkepuit
Kütuse küttevärtus	Ei tea
Seadme režiim mõõtmiste ajal	Keskmise koormus
Soojusvõimsus mõõtmiste ajal	1,125-1,875 MW
Rakendataavad heite vähendamise meetmed	Tsüklon
Kas püüdeseade töötas mõõtmiste ajal	Jah
Katlaseadme koormus*	45-75%
Temperatuur koldes	Ei saa mõõta
Temperatuur pärast katelt	Suits 200, Vesi 112
Põlemisgaaside kondensaatori võimsus	-
Lisainfo	

**Tabel 114 Katel Justsen parameetrid mõõtmiste ajal**

Andmed põletusseadme kohta	
Heiteallika nimetus	Liikuvate restidega katel Justsen
Heiteallika tüüp	Multimiser 19
Soojussisendile vastav nimisoojusvõimsus	1,7MW



Lisainfo	
<b>Andmed põletusseadme töørežiimi kohta mõõtmiste ajal</b>	
Mõõtmiste ajal kasutatud kütuse liik	hakkepuit
Kütuse küttevääratus	Ei tea
Seadme režiim mõõtmiste ajal	Keskmise koormus
Soojusvõimsus mõõtmiste ajal	0,851 MW
Rakendataavad heite vähendamise meetmed	Tsüklon
Kas püüdeseade töötas mõõtmiste ajal	Jah
Katlaseadme koormus*	50%
Temperatuur koldes	Ei saa mõõta
Temperatuur pärast katelt	167
Põlemisgaaside kondensaatori võimsus	-
Lisainfo	

**Tabel 115 Utilitas Eesti AS Keila katlamaja üldandmed**

<b>Üldandmed</b>	
Ärinimi/nimi	AS Utilitas Eesti
Registrikood	10419088
Telefon	6107107
E-post	<a href="mailto:info@utilitas.ee">info@utilitas.ee</a>
Mõõtmiste koht	Keila Põhja 27

**Tabel 116 Hakkepuidu katla parameetrid mõõtmiste ajal**

<b>Andmed põletusseadme kohta</b>	
Heiteallika nimeitus	Danstoker
Heiteallika tüüp	Veekatel
Soojussisendile vastav nimisoojusvõimsus	7MW
Lisainfo	
<b>Andmed põletusseadme töorrežiimi kohta mõõtmiste ajal</b>	
Mõõtmiste ajal kasutatud kütuse liik	Putkutus/hakke
Kütuse küttevääratus	
Seadme režiim mõõtmiste ajal	
Soojusvõimsus mõõtmiste ajal	



Rakendatavad heite vähendamise meetmed	Multitsüklon + suitsugaaside kondensaator
Kas püüdeseade töötas mõõtmiste ajal	töötas
Katlaseadme koormus*	
Temperatuur koldes	960
Temperatuur pärast katelt	160
Põlemisgaaside kondensaatori võimsus	
Lisainfo	

**Tabel 117 11,2 MW Põlevkiviõlikatla parameetrid mõõtmiste ajal**

Andmed põletusseadme kohta	
Heiteallika nimetus	Viessmann
Heiteallika tüüp	Veekatel Vitamax200
Soojussisendile vastav nimisoojusvõimsus	11,2
Lisainfo	
Andmed põletusseadme töørežiimi kohta mõõtmiste ajal	
Mõõtmiste ajal kasutatud kütuse liik	põlevkiviõli
Kütuse küttevärtus	39,25
Seadme režiim mõõtmiste ajal	-
Soojusvõimsus mõõtmiste ajal	8,08
Rakendatavad heite vähendamise meetmed	-
Kas püüdeseade töötas mõõtmiste ajal	-
Katlaseadme koormus*	72%
Temperatuur koldes	-
Temperatuur pärast katelt	-
Kütusekulu (vedel- ja gaasiline kütus)**	-
Põlemisgaaside kondensaatori võimsus	-
Lisainfo	

**Tabel 118 Utilitas Eesti AS Haapsalu katlamaja üldandmed**

Üldandmed	
Ärinimi/nimi	Utilitas Eesti AS Haapsalu osakond
Registrikood	10419088
Telefon	5032724



E-post	rein.paju@utilitas.ee
Mõõtmiste koht	Niine 34 Haapsalu

**Tabel 119 5,68 MWth põlevkiviõli katla parameetrid mõõtmiste ajal**

Andmed põletusseadme kohta	
Heiteallika nimetus	Horisontaalne leek-suitsutorukatel
Heiteallika tüüp	Vapor
Soojussisendile vastav nimisoojusvõimsus MWth	5,68
Lisainfo	-
Andmed põletusseadme töörežiimi kohta mõõtmiste ajal	
Mõõtmiste ajal kasutatud kütuse liik	Põlevkiviõli
Kütuse küttevääratus MJ/kg	38,76
Seadme režiim mõõtmiste ajal	-
Soojusvõimsus mõõtmiste ajal	-
Rakendataavad heite vähendamise meetmed	Puuduvad
Kas püüdeseade töötas mõõtmiste ajal	Ei
Katlaseadme koormus* MW	2,9
Temperatuur koldes	-
Temperatuur pärast katelt C	94
Kütusekulu (vedel- ja gaasiline kütus)**	-
Põlemisgaaside kondensaatori võimsus	-
Lisainfo	-

**Tabel 120 11,36 MWth põlevkiviõli katla parameetrid mõõtmiste ajal**

Andmed põletusseadme kohta	
Heiteallika nimetus	Horisontaalne leek-suitsutoru katel
Heiteallika tüüp	VAPOR
Soojussisendile vastav nimisoojusvõimsus MWth	11,36
Lisainfo	-
Andmed põletusseadme töörežiimi kohta mõõtmiste ajal	
Mõõtmiste ajal kasutatud kütuse liik	Põlevkiviõli
Kütuse küttevääratus MJ/kg	38,76
Seadme režiim mõõtmiste ajal	-



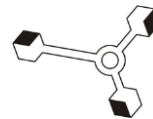
Soojusvõimsus mõõtmiste ajal	-
Rakendataavad heite vähendamise meetmed	Puuduvad
Kas püüdeseade töötas mõõtmiste ajal	Ei
Katlaseadme koormus* MW	3,8
Temperatuur koldes	-
Temperatuur päraast katelt C	100
Kütusekulu (vedel- ja gaasiline kütus)**	-
Põlemisgaaside kondensaatori võimsus	-
Lisainfo	-

**Tabel 121 MO-Puit Jõgeva AS üldandmed**

Üldandmed	
Ärinimi/nimi	Mo-Puit Jõgeva AS
Registrikood	10471829
Telefon	7762820
E-post	Janar(at)meklar.ee
Mõõtmiste koht	Kurista tootmise katlamaja

**Tabel 122 Katel AK1000S parameetrid mõõtmiste ajal**

Andmed põletusseadme kohta	
Heiteallika nimetus	Katel (veekatel)
Heiteallika tüüp	Veekatel
Soojussisendile vastav nimisoojusvõimsus	1000kw (1mw)
Lisainfo	
Andmed põletusseadme töörežiimi kohta mõõtmiste ajal	
Mõõtmiste ajal kasutatud kütuse liik	Kase höövelaast
Kütuse kütteväärus	-
Seadme režiim mõõtmiste ajal	Käevitus režiim
Soojusvõimsus mõõtmiste ajal	Max 1000kw
Rakendataavad heite vähendamise meetmed	Multitsüklon
Kas püüdeseade töötas mõõtmiste ajal	Jah
Katlaseadme koormus*	Max
Temperatuur koldes	-



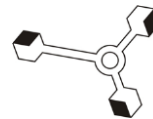
Temperatuur pärast katelt	-
Põlemisgaaside kondensaatori võimsus	-
Lisainfo	

**Tabel 123 Elering Kiili GRJ üldandmed**

Üldandmed	
Ärinimi/nimi	Elering AS
Registrikood	11022625
Telefon	71 51 222
E-post	info@elering.ee
Mõõtmiste koht	Kiili GRJ

**Tabel 124 Gaasiküttekatel A parameetrid mõõtmiste ajal**

Andmed põletusseadme kohta	
Heiteallika nimetus	Gaasiküttekatel A
Heiteallika tüüp	Vitoplex 200
Soojussisendile vastav nimisoojusvõimsus	1100 KW
Lisainfo	
Andmed põletusseadme töörežiimi kohta mõõtmiste ajal	
Mõõtmiste ajal kasutatud kütuse liik	Maagaas
Kütuse kütteväärthus	9,978 KWh/m3
Seadme režiim mõõtmiste ajal	Suvine
Soojusvõimsus mõõtmiste ajal	330KW
Rakendataavad heite vähendamise meetmed	Ei ole
Kas püüdeseade töötas mõõtmiste ajal	Ei
Katlaseadme koormus*	30%
Temperatuur koldes	87 C
Temperatuur pärast katelt	
Kütusekulu (vedel- ja gaasiline kütus)**	
Põlemisgaaside kondensaatori võimsus	
Lisainfo	

**Tabel 125 Gaasiküttekatel B parameetrid mõõtmiste ajal**

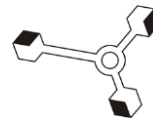
Andmed põletusseadme kohta	
Heiteallika nimetus	Gaasiküttekatel B
Heiteallika tüüp	Vitoplex 200
Soojussisendile vastav nimisoojusvõimsus	1100 KW
Lisainfo	
Andmed põletusseadme töörežiimi kohta mõõtmiste ajal	
Mõõtmiste ajal kasutatud kütuse liik	Maagaas
Kütuse küttevääratus	9,978 KWh/m3
Seadme režiim mõõtmiste ajal	Suvine
Soojusvõimsus mõõtmiste ajal	330KW
Rakendataavad heite vähendamise meetmed	Ei ole
Kas püüdeseade töötas mõõtmiste ajal	Ei
Katlaseadme koormus*	30%
Temperatuur koldes	87 C
Temperatuur pärast katelt	
Kütusekulu (vedel- ja gaasiline kütus)**	
Põlemisgaaside kondensaatori võimsus	
Lisainfo	

**Tabel 126 Toftan AS üldandmed**

Üldandmed	
Ärinimi/nimi	AS Toftan
Registrikood	10135758
Telefon	7827800
E-post	toftan@toftan.ee
Mõõtmiste koht	Varese küla, Võru vald, Võru maakond

**Tabel 127 8 MW eelkoldega puidukatla parameetrid mõõtmiste ajal**

Andmed põletusseadme kohta	
Heiteallika nimetus	Toftan 8MW
Heiteallika tüüp	Puidukatla, eelkoldega



Soojussisendile vastav nimisoojusvõimsus	8
Lisainfo	
<b>Andmed põletusseadme töörežiimi kohta mõõtmiste ajal</b>	
Mõõtmiste ajal kasutatud kütuse liik	puidukoor+hake
Kütuse kütteväärthus	-
Seadme režiim mõõtmiste ajal	stabiilne
Soojusvõimsus mõõtmiste ajal	8MW
Rakendataavad heite vähendamise meetmed	multitsüklon
Kas püüdeseade töötas mõõtmiste ajal	jah
Katlaseadme koormus*	8MW
Temperatuur koldes	1050
Temperatuur pärast katelt	164
Põlemisgaaside kondensaatori võimsus	-
Lisainfo	-

**Tabel 128 5MW eelkoldega puidukatla parameetrid mõõtmiste ajal**

<b>Andmed põletusseadme kohta</b>	
Heiteallika nimetus	Toftan 5MW
Heiteallika tüüp	Puidukatel, eelkoldega
Soojussisendile vastav nimisoojusvõimsus	5
Lisainfo	
<b>Andmed põletusseadme töörežiimi kohta mõõtmiste ajal</b>	
Mõõtmiste ajal kasutatud kütuse liik	hake
Kütuse kütteväärthus	-
Seadme režiim mõõtmiste ajal	stabiilne
Soojusvõimsus mõõtmiste ajal	4,7MW
Rakendataavad heite vähendamise meetmed	multitsüklon
Kas püüdeseade töötas mõõtmiste ajal	jah
Katlaseadme koormus*	4,7 MW (+/- 0,3)
Temperatuur koldes	1000
Temperatuur pärast katelt	150
Põlemisgaaside kondensaatori võimsus	-
Lisainfo	-

**Tabel 129 Valio Eesti AS üldandmed**

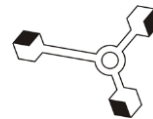
Üldandmed	
Ärinimi/nimi	Valio Eesti AS
Registrikood	10261303
Telefon	+372 628 5700
E-post	valio@valio.ee
Mõõtmiste koht	Tartumaa, Tartu vald, Valmaotsa küla

**Tabel 130 Katel TTK-70 parameetrid mõõtmiste ajal**

Andmed põletusseadme kohta	
<b>TTK-70 (09.09.20, kell 11:10-17:41)</b>	
Heiteallika nimetus	
Heiteallika tüüp	Kerge kütteõlikatel, põletiga
Soojussisendile vastav nimisoojusvõimsus	1,9 MW
Lisainfo	
Andmed põletusseadme töörežiimi kohta mõõtmiste ajal	
Mõõtmiste ajal kasutatud kütuse liik	Põlevkiviõli VKG C
Kütuse küttevääratus	41,5 MJ/kg
Seadme režiim mõõtmiste ajal	töörežiim
Soojusvõimsus mõõtmiste ajal	-
Rakendataavad heite vähendamise meetmed	Ei ole
Kas püüdeseade töötas mõõtmiste ajal	ei
Katlaseadme koormus*	>80%
Temperatuur koldes	-
Temperatuur pärast katelt	184,6
Kütusekulu (vedel- ja gaasiline kütus)**	640,5 liitrit (mõõtmise aja kulu)
Põlemisgaaside kondensaatori võimsus	-
Lisainfo	-

**Tabel 131 Katel BOSCH parameetrid mõõtmiste ajal**

Andmed põletusseadme kohta	
<b>BOSCH (10.09.20, kell 11:24-17:53)</b>	



Heiteallika nimetus	
Heiteallika tüüp	Kerge kütteõlikatel, põletiga
Soojussisendile vastav nimisoojusvõimsus	2,1 MW
Lisainfo	
<b>Andmed põletusseadme töorežiimi kohta mõõtmiste ajal</b>	
Mõõtmiste ajal kasutatud kütuse liik	Põlevkiviõli VKG C
Kütuse kütteväärthus	41,5 MJ/kg
Seadme režiim mõõtmiste ajal	töorežiim
Soojusvõimsus mõõtmiste ajal	-
Rakendataavad heite vähendamise meetmed	Ei ole
Kas püüdeseade töötas mõõtmiste ajal	ei
Katlaseadme koormus*	30-100 %
Temperatuur koldes	-
Temperatuur pärast katelt	
Kütusekulu (vedel- ja gaasiline kütus)**	509,5 liitrit (mõõtmise aja kogukulu)
Põlemisgaaside kondensaatori võimsus	-
Lisainfo	-

**Tabel 132 Tariston Harku ABT üldandmed**

Üldandmed	
Ärinimi/nimi	Tariston AS
Registrikood	1088 7843
Telefon	+372 650 1000
E-post	tariston@tariston.ee
Mõõtmiste koht	Tammi tee 53, Vatsla küla, Saue vald, Harjumaa

**Tabel 133 Harku ABT parameetrid mõõtmiste ajal**

Andmed põletusseadme kohta	
Heiteallika nimetus	Asfalditehas
Heiteallika tüüp	Kuivatustrummel
Soojussisendile vastav nimisoojusvõimsus	18,4MW
Lisainfo	
<b>Andmed põletusseadme töorežiimi kohta mõõtmiste ajal</b>	



Mõõtmiste ajal kasutatud kütuse liik	Gaas
Kütuse küttevääratus	10,01(kWh/m3) keskmise
Seadme režiim mõõtmiste ajal	85% tehase max võimsusest
Soojusvõimsus mõõtmiste ajal	80%
Rakendataavad heite vähendamise meetmed	puuduvad
Kas püüdeseade töötas mõõtmiste ajal	Kottfilter
Katlaseadme koormus*	70-85%
Lisainfo	
Temperatuur koldes	
Temperatuur pärast katelt	88C
Kütusekulu (vedel- ja gaasiline kütus)	5702,68m <sup>3</sup> mõõtmise tööpäeval
Põlemisgaaside kondensaatori võimsus	

**Tabel 134 Tariston Raadi ABT üldandmed**

Üldandmed	
Ärinimi/nimi	Tariston AS
Registrikood	1088 7843
Telefon	53038059
E-post	Tiit.aaslepp@tariston.ee
Mõõtmiste koht	Tila küla, Tartu vald,Tartumaa

**Tabel 135 Tariston Raadi ABT parameetrid mõõtmiste ajal**

Andmed põletusseadme kohta	
Heiteallika nimetus	Asfalditehas
Heiteallika tüüp	Kuivatus trummel
Soojussisendile vastav nimisoojusvõimsus	15MW
Lisainfo	-
Andmed põletusseadme töørežiimi kohta mõõtmiste ajal	
Mõõtmiste ajal kasutatud kütuse liik	Põlevkiviõli
Kütuse küttevääratus	11,2kw/kg
Seadme režiim mõõtmiste ajal	92%
Soojusvõimsus mõõtmiste ajal	-
Rakendataavad heite vähendamise meetmed	Kottfilter



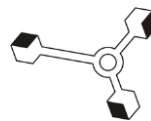
Kas püüdeseade töötas mõõtmiste ajal	Jah
Katlaseadme koormus*	-
Lisainfo	-
Temperatuur koldes	-
Temperatuur pärast katelt	103
Kütusekulu (vedel- ja gaasiline kütus)	8,2
Põlemisgaaside kondensaatori võimsus	-

**Tabel 136 UPM-Kymmene Otepää OÜ üldandmed**

Üldandmed	
Ärinimi/nimi	UPM-Kymmene Otepää OÜ
Registrikood	10664333
Telefon	59190002
E-post	arti.unt@upm.com
Mõõtmiste koht	Biokatlamaja

**Tabel 137 Kihtkoldega katla parameetrid mõõtmiste ajal**

Andmed pöletusseadme kohta	
<b>11.08.2020 (kell 13:09-13:15)</b>	
Heiteallika nimetus	Aurukatel
Heiteallika tüüp	Kihtkoldega katel
Soojussisendile vastav nimisoojusvõimsus	10MW
Lisainfo	
Andmed pöletusseadme töörežiimi kohta mõõtmiste ajal	
Mõõtmiste ajal kasutatud kütuse liik	Kase puukoer, vineeri jäagid
Kütuse kütteväärthus	16,3MJ/kg
Seadme režiim mõõtmiste ajal	Automaatrežiim
Soojusvõimsus mõõtmiste ajal	9,5MW
Rakendataavad heite vähendamise meetmed	Multitsüklon
Kas püüdeseade töötas mõõtmiste ajal	Jah
Katlaseadme koormus*	95-100%
Temperatuur koldes	995 °C
Temperatuur pärast katelt	307°C



Põlemisgaaside kondensaatori võimsus	-
Lisainfo	

**Tabel 138 Enefit Green AS Iru elektrijaama üldandmed**

Üldandmed	
Ärinimi/nimi	AS Enefit Green Iru elektrijaam
Registrikood	11184032
Telefon	5037066
E-post	<a href="mailto:dmitri.sirokov@enefitgreen.ee">dmitri.sirokov@enefitgreen.ee</a>
Mõõtmiste koht	Peterburi tee 105, 74114 Maardu

**Tabel 139 Jäätmepõletusploki parameetrid mõõtmiste ajal**

Andmed põletusseadme kohta	
Heiteallika nimetus	koldetuhk
Heiteallika tüüp	koldetuhk
Soojussisendile vastav nimisoojusvõimsus	80 MW
Lisainfo	jäätmepõletusplokk
Andmed põletusseadme töörežiimi kohta mõõtmiste ajal	
Mõõtmiste ajal kasutatud kütuse liik	segaolmejäätmned
Kütuse kütteväärthus	8-14,5 MJ/kg
Seadme režiim mõõtmiste ajal	nominaalne
Soojusvõimsus mõõtmiste ajal	ca 50 MW
Rakendataavad heite vähendamise meetmed	Iru JEP-s kasutatakse suitsugaaside puhastamiseks aktiveeritud söe lisamist, lubjapiimaga suitsugaaside pesemist, kustutatud lubja lisamist ning viimase astmena toimub kottfiltrites lendtuha püüdmine.
Kas püüdeseade töötas mõõtmiste ajal	töötab pidevalt
Katlaseadme koormus*	ca 80 MW
Temperatuur koldes	ca 950 C°



Temperatuur pärast katelt	ca 140 C°
Põlemisgaaside kondensaatori võimsus	-/-
Lisainfo	Vt. lisatud aruanne

**Tabel 140 Anne Soojus AS üldandmed**

Üldandmed	
Ärinimi/nimi	AS Anne Soojus
Registrikood	10051872
Telefon	7337100
E-post	mail@fortumtartu.ee
Mõõtmiste koht	Soojuse tee 13, 62207 Lohkva, Luunja vald Aardla tänav 113, 50415 Tartu

**Tabel 141 Katel WA02 parameetrid mõõtmiste ajal**

V-1, peale pesurit – 02.03.2020 (12:00-14:30)	
Andmed põletusseadme kohta	
Heiteallika nimetus	Anne katlamaja veekatlad WA02 ja WA01
Heiteallika tüüp	KB-M-35-150M/TF03 (2 tk)
Soojussisendile vastav nimisoojusvõimsus	2x 20,9 MW
Lisainfo	kasutegur 86 %
Andmed põletusseadme töörežiimi kohta mõõtmiste ajal	
Mõõtmiste ajal kasutatud kütuse liik	freesturvas
Kütuse küttevärtus	19,0 MJ/kg, kuivaine alumine.
Seadme režiim mõõtmiste ajal	Normaalne
Soojusvõimsus mõõtmiste ajal	0 MW WA01 / 14,79 MW WA02
Rakendataavad heite vähendamise meetmed	töötasid elektrifilter ja suitsugaaside pesur
Kas püüdeseade töötas mõõtmiste ajal	jah
Katlaseadme koormus	0 % 82 % %
Lisainfo	töötas üks katel WA02

**Tabel 142 SW Energia leektorukatla parameetrid mõõtmiste ajal**

Andmed põletusseadme kohta
----------------------------



Nimetus	Justsen Argus Flex 25 Ceramic 4,0	
Katla tüüp	Leektorukatel	
Põleti tüüp	-	
Valmistaja	Danstokker	
Väljalaske- või tarnimise aeg	2018	
Nominaalvõimsus (MW)	4 MW	
Kasutegur	85%	
Muud		
<b>Andmed põletusseadme töörežiimi kohta</b>		
	projekt	tegelikult
Kütusekulu, kg/s		0,319 kg/s
Kütuse liik		hakkepuit
Kütuse röhk enne põletit, bar		-
Kütuse temperatuur, °C		24
Auru/õhu röhk kütuse pihustamisel, bar		-
Aurutootlikkus, kg/s		-
Röhk koldes, kPa		Hõrendus 0,03 kPa
Suitsugaaside temperatuur, °C		145-150
Primaarõhu röhk, kPa		ei mõõdeta
Üldrõhu röhk, kPa		Ei mõõdeta
Katlaseadme koormus, %		65-75%
Häired seadme töös		-
Muud:		-

**Tabel 143 Tamsalu kalor AS üldandmed**

Üldandmed	
Ärinimi/nimi	Tamsalu Kalor AS
Registrikood	10246506
Telefon	5053151
E-post	tamsalu.kalor@neti.ee
Mõõtmiste koht	Ääsi 9, Tamsalu, Tapa vald

**Tabel 144 Tamsalu kalor AS biokatla parameetrid mõõtmiste ajal**

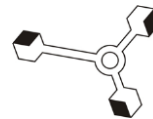
Andmed põletusseadme kohta	
Heiteallika nimetus	Tamsalu katlamaja
Heiteallika tüüp	Biokatel BIO-2,5
Soojussisendile vastav nimisoojusvõimsus	2,5 MW
Lisainfo	
Andmed põletusseadme töörežiimi kohta mõõtmiste ajal	
Mõõtmiste ajal kasutatud kütuse liik	Hakkepuit
Kütuse kütteväärtus	
Seadme režiim mõõtmiste ajal	
Soojusvõimsus mõõtmiste ajal	2,3 MW
Rakendataavad heite vähendamise meetmed	Multitsüklon ja suitsugaaside pesur
Kas püüdeseade töötas mõõtmiste ajal	jah
Katlaseadme koormus*	2,3 MW
Temperatuur koldes	800°C
Temperatuur pärast katelt	150°C
Põlemisgaaside kondensaatori võimsus	0,4 MW
Lisainfo	

**Tabel 145 Adven Eesti AS Viruvere katlamaja üldandmed**

Üldandmed	
Ärinimi/nimi	Adven Eesti AS
Registrikood	10066299
Telefon	5380 0080
E-post	kauri.koster@adven.com
Mõõtmiste koht	Kase, Viruvere, 48435, Jõgeva vald

**Tabel 146 Adven Eesti AS Viruvere aurukatla parameetrid mõõtmiste ajal**

Andmed põletusseadme kohta	
13.01.2021, kell 11.55–16.53	
Heiteallika nimetus	Agro Forst und Energietechnk GmbH, AVR- LD- KS
Heiteallika tüüp	Aurukatel, K-1



Soojussisendile nimisoojusvõimsus	vastav	17,65 MW <sub>th</sub>
Lisainfo		
<b>Andmed pöletusseadme töörežiimi kohta mõõtmiste ajal</b>		
Mõõtmiste ajal kasutatud kütuse liik		Segu – puukoor, vineerihake, metsahake
Kütuse küttevääratus		Ca 8,75 MJ/kg
Seadme režiim mõõtmiste ajal		töös
Soojusvõimsus mõõtmiste ajal		2,0 - 7,0 MW, keskmene 3,5 MW
Rakendataavad heite vähendamise meetmed		Multitsüklon, elektrifilter
Kas püüdeseade töötas mõõtmiste ajal		jah
Katlaseadme koormus*		2,0 - 7,0 MW, keskmene 3,5 MW
Temperatuur koldes		Ca 850 °C
Temperatuur pärast katelt		Ca 250 °C
Põlemisgaaside kondensaatori võimsus		
Lisainfo		Lisatud graafikud võisuse, kolde- ja suitsugaaside temp. kohta.

**Tabel 147 Adven Eesti AS Kose-Uuemõisa katlamaja üldandmed**

Üldandmed	
Ärinimi/nimi	Adven Eesti AS
Registrikood	10066299
Telefon	5380 0080
E-post	kauri.koster@adven.com
Mõõtmiste koht	Kesk tn 27a, Kose-Uuemõisa alevik, Kose vald, Harju maakond

**Tabel 148 Veekatla K-1 parameetrid mõõtmiste ajal**

Andmed pöletusseadme kohta	
Heiteallika nimetus	ARIMAX BIO 1000
Heiteallika tüüp	Veekatel, nr 1
Soojussisendile vastav nimisoojusvõimsus	ca 1111 kW (output on 1000 kW)
Lisainfo	



Andmed põletusseadme töörežiimi kohta mõõtmiste ajal	
Mõõtmiste ajal kasutatud kütuse liik	Puidupellet - tööstuslik
Kütuse kütteväärthus	4,6 kWh/kg
Seadme režiim mõõtmiste ajal	Ühtlane koormus
Soojusvõimsus mõõtmiste ajal	~500 kW
Rakendataavad heite vähendamise meetmed	tsüklon
Kas püüdeseade töötas mõõtmiste ajal	jah
Katlaseadme koormus*	~50%
Temperatuur koldes	Ei ole teada
Temperatuur pärast katelt	Suitsugaasid ~140 °C
Põlemisgaaside kondensaatori võimsus	
Lisainfo	

**Tabel 149 Veekatla K-2 parameetrid mõõtmiste ajal**

Andmed põletusseadme kohta	
Heiteallika nimetus	ARIMAX BIO 1000
Heiteallika tüüp	Veekatel, nr 2
Soojussisendile vastav nimisoojusvõimsus	ca 1111 kW (output on 1000 kW)
Lisainfo	
Andmed põletusseadme töörežiimi kohta mõõtmiste ajal	
Mõõtmiste ajal kasutatud kütuse liik	Puidupellet - tööstuslik
Kütuse kütteväärthus	4,6 kWh/kg
Seadme režiim mõõtmiste ajal	Ühtlane koormus
Soojusvõimsus mõõtmiste ajal	~460 kW
Rakendataavad heite vähendamise meetmed	tsüklon
Kas püüdeseade töötas mõõtmiste ajal	jah
Katlaseadme koormus*	~46%
Temperatuur koldes	Ei ole teada
Temperatuur pärast katelt	Suitsugaasid ~140 °C
Põlemisgaaside kondensaatori võimsus	
Lisainfo	

**Tabel 150 Adven Eesti AS Viljandi Ekseko seafarmi üldandmed**

Üldandmed	
Ärinimi/nimi	Adven Eesti AS
Registrikood	10066299
Telefon	5380 0080
E-post	kauri.koster@adven.com
Mõõtmiste koht	Ekseko seafarm, Mäelküla, Viljandi vald

**Tabel 151 Biokatla parameetrid mõõtmiste ajal**

Andmed põletusseadme kohta	
<b>27.01.2021 kell 13:05-14:54</b>	
Heiteallika nimetus	O-3H3 + Multitsüklon MC-16, SA-30
Heiteallika tüüp	biokatel
Soojussisendile vastav nimisoojusvõimsus	2,5 MW <sub>th</sub>
Lisainfo	
Andmed põletusseadme töörežiimi kohta mõõtmiste ajal	
Mõõtmiste ajal kasutatud kütuse liik	hakkepuit
Kütuse küttevärtus	Alumine: 2,37MWh/tonn
Seadme režiim mõõtmiste ajal	töös
Soojusvõimsus mõõtmiste ajal	Ca 2000 kw
Rakendataavad heite vähendamise meetmed	multitsüklon
Kas püüdeseade töötas mõõtmiste ajal	jah
Katlaseadme koormus*	1800- 2000kw
Temperatuur koldes	Ca 700
Temperatuur pärast katelt	Ca 165
Põlemisgaaside kondensaatori võimsus	
Lisainfo	

**Tabel 152 Katel Vitoplex 200, SA-20 parameetrid mõõtmiste ajal**

Andmed põletusseadme kohta	
<b>27.01.2021 kell 16:00-17:05</b>	
Heiteallika nimetus	Vitplex 200, SA-20



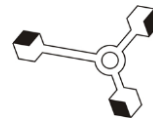
Heiteallika tüüp	katel
Soojussisendile vastav nimisoojusvõimsus	1,7 MW <sub>th</sub>
Lisainfo	
<b>Andmed põletusseadme töörežiimi kohta mõõtmiste ajal</b>	
Mõõtmiste ajal kasutatud kütuse liik	Maa- gaas
Kütuse kütteväärthus	9,45MWh/1000m <sup>3</sup>
Seadme režiim mõõtmiste ajal	töös
Soojusvõimsus mõõtmiste ajal	Ca 800- 900 kw
Rakendataavad heite vähendamise meetmed	Ei ole
Kas püüdeseade töötas mõõtmiste ajal	ei
Katlaseadme koormus*	Ca 800- 900kw
Temperatuur koldes	Ei ole mõõdetav
Temperatuur pärast katelt	140
Kütusekulu (vedel- ja gaasiline kütus)**	Mõõtmise ajal 133 m <sup>3</sup> , keskmene 70m <sup>3</sup> /h
Põlemisgaaside kondensaatori võimsus	
Lisainfo	

**Tabel 153 Adven Eesti AS Viru-Nigula katlamaja üldandmed**

Üldandmed	
Ärinimi/nimi	Adven Eesti AS
Registrikood	10066299
Telefon	5380 0080
E-post	kauri.koster@adven.com
Mõõtmiste koht	Maarja tn 7, Viru-Nigula alevik, Viru-Nigula vald, Lääne -Viru maakond

**Tabel 154 Veekatel nr.2 parameetrid mõõtmiste ajal**

Andmed põletusseadme kohta	
Heiteallika nimetus	Danstoker Multimiser-17
Heiteallika tüüp	Veekatel, nr 2
Soojussisendile vastav nimisoojusvõimsus	ca 1230 kW (output on 1090 kW)
Lisainfo	
Andmed põletusseadme töörežiimi kohta mõõtmiste ajal	
Mõõtmiste ajal kasutatud kütuse liik	höövlilaast



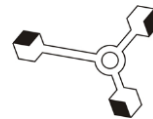
Kütuse küttevärtus	4,41 kWh/kg
Seadme režiim mõõtmiste ajal	Ühtlane koormus
Soojusvõimsus mõõtmiste ajal	~850 kW
Rakendataavad heite vähendamise meetmed	tsüklon
Kas püüdeseade töötas mõõtmiste ajal	jah
Katlaseadme koormus*	~80%
Temperatuur koldes	Ei ole teada
Temperatuur pärast katelt	Suitsugaasid ~180 °C
Põlemisgaaside kondensaatori võimsus	
Lisainfo	

**Tabel 155 Anne Soojus AS Anne katlamaja üldandmed**

Üldandmed	
Ärinimi/nimi	AS Anne Soojus
Registrikood	10051872
Telefon	7337100
E-post	mail@fortumtartu.ee
Mõõtmiste koht	Soojuse tee 13, 62207 Lohkva, Luunja vald Aardla tänav 113, 50415 Tartu

**Tabel 156 Veekatel W01 parameetrid mõõtmiste ajal**

V-1, katel WA01 – 15.02.2021 (14:03-15:03)	
Andmed põletusseadme kohta	
Heiteallika nimetus	Anne katlamaja veekatel WA01
Heiteallika tüüp	KB-M-35-150M/TF03
Soojussisendile vastav nimisoojusvõimsus	20,9 MW
Lisainfo	kasutegur 86 %
Andmed põletusseadme töörežiimi kohta mõõtmiste ajal	
Mõõtmiste ajal kasutatud kütuse liik	freesturvas
Kütuse küttevärtus	19,0 MJ/kg, kuivaine alumine.
Seadme režiim mõõtmiste ajal	normaalne
Soojusvõimsus mõõtmiste ajal	14,62
Rakendataavad heite vähendamise meetmed	töötasid elektrifilter ja suitsugaaside pesur



Kas püüdeseade töötas mõõtmiste ajal	jah
Katlaseadme koormus	81 %
Temperatuur koldes	653°C
Temperatuur pärast katelt	132°C
Põlemisgaaside kondensaatori võimsus	1,6 MW
Lisainfo	Kütuse niiskus 44,5 %

**Tabel 157 Veekatel W02 parameetrid mõõtmiste ajal**

V-1, katel WA02 – 15.02.2021 (11:50-13:36)	
<b>Andmed põletusseadme kohta</b>	
Heiteallika nimetus	Anne katlamaja veekatel WA02
Heiteallika tüüp	KB-M-35-150M/TF03
Soojussisendile vastav nimisoojusvõimsus	20,9 MW
Lisainfo	kasutegur 86 %
<b>Andmed põletusseadme töörežiimi kohta mõõtmiste ajal</b>	
Mõõtmiste ajal kasutatud kütuse liik	freesturvas
Kütuse kütteväartus	19,0 MJ/kg, kuivaine alumine.
Seadme režiim mõõtmiste ajal	normaalne
Soojusvõimsus mõõtmiste ajal	14,47 MW
Rakendataavad heite vähendamise meetmed	töötasid elektrifilter ja suitsugaaside pesur
Kas püüdeseade töötas mõõtmiste ajal	jah
Katlaseadme koormus	80%
Temperatuur koldes	633°C
Temperatuur pärast katelt	124°C
Põlemisgaaside kondensaatori võimsus	1,5 MW
Lisainfo	Kütuse niiskus 44,5 %

**Tabel 158 Veekatelde W01 ja W02 peale pesurit parameetrid mõõtmiste ajal**

V-1, peale pesurit – 16.02.2021 (11:54-13:45)	
<b>Andmed põletusseadme kohta</b>	
Heiteallika nimetus	Anne katlamaja veekatlad WA02 ja WA01
Heiteallika tüüp	KB-M-35-150M/TF03 (2 tk)
Soojussisendile vastav nimisoojusvõimsus	2x 20,9 MW



Lisainfo	kasutegur 86 %
<b>Andmed põletusseadme töörežiimi kohta mõõtmiste ajal</b>	
Mõõtmiste ajal kasutatud kütuse liik	freesturvas
Kütuse küttevääratus	19,0 MJ/kg, kuivaine alumine.
Seadme režiim mõõtmiste ajal	Normaalne
Soojusvõimsus mõõtmiste ajal	16,12 MW WA01 / 15,43 MW WA02
Rakendataavad heite vähendamise meetmed	töötasid elektrifilter ja suitsugaaside pesur
Kas püüdeseade töötas mõõtmiste ajal	jah
Katlaseadme koormus	90 % / 86 %
Temperatuur koldes	699°C WA01 / 670°C WA02
Temperatuur pärast katelt	135°C WA01 / 129°C WA02
Põlemisgaaside kondensaatori võimsus	2,3 MW
Lisainfo	45,6 %

**Tabel 159 Anne Soojus AS Puiestee katlamaja üldandmed**

<b>Üldandmed</b>	
Ärinimi/nimi	AS Anne Soojus
Registrikood	10051872
Telefon	7337100
E-post	mail@fortumtartu.ee
Mõõtmiste koht	Puiestee tänav 2g, 50303 Tartu

**Tabel 160 100% koormusega gaasikatla parameetrid mõõtmiste ajal**

<b>Andmed põletusseadme kohta</b>	
<b>09.03.2021 (10:35-11:35)</b>	
Heiteallika nimetus	Gaasikatel
Heiteallika tüüp	Bosch UT-M 60
Soojussisendile vastav nimisoojusvõimsus	16 MW
Lisainfo	
<b>Andmed põletusseadme töörežiimi kohta mõõtmiste ajal</b>	
Mõõtmiste ajal kasutatud kütuse liik	maagaas
Kütuse küttevääratus	9,5 kWh/m <sup>3</sup>
Seadme režiim mõõtmiste ajal	normaalne



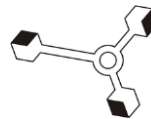
Soojusvõimsus mõõtmiste ajal	14,5MW
Rakendataavad heite vähendamise meetmed	suitsugaaside retsirkulatsioon
Kas püüdeseade töötas mõõtmiste ajal	-
Katlaseadme koormus*	100%
Temperatuur koldes	-
Temperatuur pärast katelt	Suitsugaas 82,7°C; vesi 110,9°C
Kütusekulu (vedel- ja gaasiline kütus)**	1610 Nm3/h
Põlemisgaaside kondensaatori võimsus	-
Lisainfo	

**Tabel 161 30% koormusega gaasikatla parameetrid mõõtmiste ajal**

Andmed põletusseadme kohta	
<b>09.03.2021 (11:56-13:03)</b>	
Heiteallika nimetus	Gaasikatel
Heiteallika tüüp	Bosch UT-M 60
Soojussisendile vastav nimisoojusvõimsus	16 MW
Lisainfo	
Andmed põletusseadme töorežiimi kohta mõõtmiste ajal	
Mõõtmiste ajal kasutatud kütuse liik	maagaas
Kütuse küttevärtus	9,5 kWh/m <sup>3</sup>
Seadme režiim mõõtmiste ajal	normaalne
Soojusvõimsus mõõtmiste ajal	4,8MW
Rakendataavad heite vähendamise meetmed	suitsugaaside retsirkulatsioon
Kas püüdeseade töötas mõõtmiste ajal	-
Katlaseadme koormus*	30%
Temperatuur koldes	-
Temperatuur pärast katelt	suitsugaas 70,3°C; vesi 103,1°C
Kütusekulu (vedel- ja gaasiline kütus)**	565 Nm3/h
Põlemisgaaside kondensaatori võimsus	-
Lisainfo	

**Tabel 162 Anne Soojus AS Aardla katlamaja üldandmed**

Üldandmed
-----------



Ärinimi/nimi	AS Anne Soojus
Registrikood	10051872
Telefon	7337100
E-post	mail@fortumtartu.ee
Mõõtmiste koht	Soojuse tee 13, 62207 Lohkva, Luunja vald Aardla tänav 113, 50415 Tartu

**Tabel 163 Veekatla parameetrid mõõtmiste ajal**

K2 (Aardla katlamaja) – 25.02.2021 (13:18-14:25)	
Andmed põletusseadme kohta	
Heiteallika nimeitus	Aardla katlamaja katel nr.1
Heiteallika tüüp	veekatel Danstoker
Soojussisendile vastav nimisoojusvõimsus	8,2 MW
Lisainfo	kasutegur 85 %
Andmed põletusseadme töörežiimi kohta mõõtmiste ajal	
Mõõtmiste ajal kasutatud kütuse liik	puiduhake
Kütuse kütteväärthus	18,6 MJ/kg, kuivaine alumine.
Seadme režiim mõõtmiste ajal	normaalne
Soojusvõimsus mõõtmiste ajal	6,0 MW
Rakendataavad heite vähendamise meetmed	töötasid suitsugaasidepesur ja multitsüklon
Katlaseadme koormus	jah
Katlaseadme koormus	86%
Temperatuur koldes	890°C
Temperatuur pärast katelt	188°C
Põlemisgaaside kondensaatori võimsus	1,5 MW
Lisainfo	

**Tabel 164 Anne Soojus AS Ropka katlamaja üldandmed**

Üldandmed	
Ärinimi/nimi	AS Anne Soojus
Registrikood	10051872
Telefon	7337100
E-post	mail@fortumtartu.ee



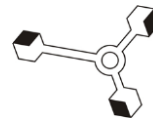
Mõõtmiste koht	Lõõtsa 1, Tartu
----------------	-----------------

**Tabel 165      Katel K-1 parameetrid mõõtmiste ajal**

Andmed põletusseadme kohta	
Heiteallika nimetus	Katel K1
Heiteallika tüüp	Noviter WT W40
Soojussisendile vastav nimisoojusvõimsus	39,36
Lisainfo	-
Andmed põletusseadme töörežiimi kohta mõõtmiste ajal	
Mõõtmiste ajal kasutatud kütuse liik	maagaas
Kütuse küttevääratus (alumine)	9,529 kWh/m <sup>3</sup>
Seadme režiim mõõtmiste ajal	normaalne
Soojusvõimsus mõõtmiste ajal	32,1 MW
Rakendataavad heite vähendamise meetmed	-
Kas püüdeseade töötas mõõtmiste ajal	-
Katlaseadme koormus*	81,6 %
Temperatuur koldes	-
Temperatuur pärast katelt	101 °C
Kütusekulu (vedel- ja gaasiline kütus)**	3258 Nm3/h, 945 m3/h
Põlemisgaaside kondensaatori võimsus	-
Lisainfo	-

**Tabel 166      Katel K-2 parameetrid mõõtmiste ajal**

Andmed põletusseadme kohta	
Heiteallika nimetus	Katel K2
Heiteallika tüüp	Noviter WT W40
Soojussisendile vastav nimisoojusvõimsus	39,36
Lisainfo	-
Andmed põletusseadme töörežiimi kohta mõõtmiste ajal	
Mõõtmiste ajal kasutatud kütuse liik	maagaas
Kütuse küttevääratus (alumine)	9,529 kWh/m <sup>3</sup>
Seadme režiim mõõtmiste ajal	normaalne



Soojusvõimsus mõõtmiste ajal	33,3 MW
Rakendataavad heite vähendamise meetmed	-
Kas püüdeseade töötas mõõtmiste ajal	-
Katlaseadme koormus*	84,6 %
Temperatuur koldes	-
Temperatuur päraast katelt	103 °C
Kütusekulu (vedel- ja gaasiline kütus)**	3397 Nm3/h, 999 m3/h
Põlemisgaaside kondensaatori võimsus	-
Lisainfo	-

**Tabel 167 Tootsi Turvas AS Lavassaare katlamaja üldandmed**

Üldandmed	
Ärinimi/nimi	Nevel Eesti OÜ
Registrikood	14866648
Telefon	5145597
E-post	ylo.stokkeby@nevel.com
Mõõtmiste koht	Lavassaare katlamaja

**Tabel 168 Tootsi Turvas AS Lavassaare katlamaja andmed mõõtmiste ajal**

Andmed pöletusseadme kohta	
Heiteallika nimetus	Danstoker/Justsen
Heiteallika tüüp	korsten
Soojussisendile vastav nimisoojusvõimsus	1,765
Lisainfo	
Andmed pöletusseadme töörežiimi kohta mõõtmiste ajal	
Mõõtmiste ajal kasutatud kütuse liik	tükkturvas
Kütuse kütteväärus	3,4 MWh/t
Kütuse niiskus	35 ... 40%
Seadme režiim mõõtmiste ajal	
Soojusvõimsus mõõtmiste ajal	
Rakendataavad heite vähendamise meetmed	Multitsüklon
Kas püüdeseade töötas mõõtmiste ajal	jah
Katlaseadme koormus*	



Temperatuur koldes	
Temperatuur pärast katelt	
Põlemisgaaside kondensaatori võimsus	
Lisainfo	

**Tabel 169 Tootsi Turvas AS Mooste katlamaja üldandmed**

Üldandmed	
Ärinimi/nimi	Nevel Eesti OÜ
Registrikood	14866648
Telefon	5145597
E-post	ylo.stokkeby@nevel.com
Mõõtmiste koht	Mooste katlamaja

**Tabel 170 Hakkepuidu katla parameetrid mõõtmiste ajal**

Andmed pöletusseadme kohta	
Heiteallika nimetus	Katel Orions -2H2
Heiteallika tüüp	korsten
Soojussisendile vastav nimisoojusvõimsus	1,18
Lisainfo	
Andmed pöletusseadme töörežiimi kohta mõõtmiste ajal	
Mõõtmiste ajal kasutatud kütuse liik	hakkepuit
Kütuse küttevärtus	0,82 MWh/m3
Kütuse niiskus	35 ... 40%
Seadme režiim mõõtmiste ajal	
Soojusvõimsus mõõtmiste ajal	
Rakendatavad heite vähendamise meetmed	Multitsüklon MC6
Kas püüdeseade töötas mõõtmiste ajal	jah
Katlaseadme koormus*	
Temperatuur koldes	
Temperatuur pärast katelt	
Põlemisgaaside kondensaatori võimsus	
Lisainfo	

**Tabel 171 Utilitas Eesti AS Jõgeva katlamaja üldandmed**

Üldandmed	
Ärinimi/nimi	AS Utilitas Eesti
Registrikood	10419088
Telefon	+372 610 7100
E-post	info@utilitas.ee
Mõõtmiste koht	Aia tn 50, Jõgeva linn

**Tabel 172 Biokütuse katla parameetrid mõõtmiste ajal**

Andmed põletusseadme kohta	
Heiteallika nimetus	Biokütuse katel Danstoker VHS 25-900
Heiteallika tüüp	Muu põletusseade
Soojussisendile vastav nimisoojusvõimsus	7,06 MW <sub>th</sub>
Lisainfo	Multitsüklon MC-42, elektrifilter Scheuch sef 2,2/6,2-c, suitsugaasi pesur Scheuch ERCS
Andmed põletusseadme töörežiimi kohta mõõtmiste ajal	
Mõõtmiste ajal kasutatud kütuse liik	Hakkpuit
Kütuse küttevärtus	Kohapeal jooksvalt ei mõõdetä
Seadme režiim mõõtmiste ajal	Automaatjuhtimine katlast väljuva vee väljundtemperatuuri järgi
Soojusvõimsus mõõtmiste ajal	Min 5,9MW; Max 7,3MW; Avg 6,5MW
Rakendataavad heite vähendamise meetmed	Multitsüklon MC-42 + elektrifilter Scheuch sef 2,2/6,2-c suitsugaaside pesur Scheuch ERCS
Kas püüdeseade töötas mõõtmiste ajal	Jah töötasid
Katlaseadme koormus*	Min 4,1MW; Max 5,6MW; Avg 5,0MW
Temperatuur koldes	940oC
Temperatuur pärast katelt	Min 206oC; Max 227oC; Avg 215oC
Põlemisgaaside kondensaatori võimsus	0,80MW
Lisainfo	Heiteallika nr plaanil HA-10

**Tabel 173 Enefit Green AS Paide Elektrijaama üldandmed**

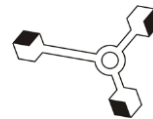
Üldandmed	
Ärinimi/nimi	Enefit Green AS Paide Elektrijaam
Registrikood	11184032
Telefon	53034676
E-post	Vello.puulmann@enefitgreen.ee
Mõõtmiste koht	Paide, Ruubassaare tee 3

**Tabel 174 HA-40 parameetrid mõõtmiste ajal**

Andmed põletusseadme kohta	
Heiteallika nimetus	Koostootmisjaama korsten
Heiteallika tüüp	HA-40
Soojussisendile vastav nimisoojusvõimsus	8,0MW
Lisainfo	
Andmed põletusseadme töorežiimi kohta mõõtmiste ajal	
Mõõtmiste ajal kasutatud kütuse liik	Puiduhake
Kütuse kütteväärthus	Mõõdetakse laboris
Seadme režiim mõõtmiste ajal	Normaalrežiim
Soojusvõimsus mõõtmiste ajal	7,98MW
Rakendataavad heite vähendamise meetmed	ESP filter
Kas püüdeseade töötas mõõtmiste ajal	Töötas ESP
Katlaseadme koormus*	7,98
Temperatuur koldes	835°C
Temperatuur pärast katelt	195°C
Põlemisgaaside kondensaatori võimsus	Ei kasutata
Lisainfo	

**Tabel 175 Katel Wärtsila Biograde parameetrid mõõtmiste ajal**

Andmed põletusseadme kohta	
Heiteallika nimetus	Pesuri korsten
Heiteallika tüüp	104
Soojussisendile vastav nimisoojusvõimsus	8,0MW



Lisainfo	
Andmed põletusseadme töörežiimi kohta mõõtmiste ajal	
Mõõtmiste ajal kasutatud kütuse liik	Puiduhake
Kütuse kütteväärthus	Mõõdetakse laboris <sup>35</sup>
Seadme režiim mõõtmiste ajal	Normaalrežiim
Soojusvõimsus mõõtmiste ajal	Katel 5,2 MW+pesur 1,7 MW
Rakendataavad heite vähendamise meetmed	Multitsüklon
Kas püüdeseade töötas mõõtmiste ajal	Töötas multitsüklon
Katlaseadme koormus*	7,0
Temperatuur koldes	870°C
Temperatuur pärast katelt	175°C
Põlemisgaaside kondensaatori võimsus	2,0 MW
Lisainfo	

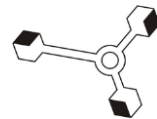
**Tabel 176 Jeld-Wen Eesti AS üldandmed**

Üldandmed	
Ärinimi/nimi	JELD-WEN EESTI AS
Registrikood	10247977
Telefon	+37253058542
E-post	MVAIN@JELDWEN.COM
Mõõtmiste koht	TOOTMISE 8, RAKVERE

**Tabel 177 Katel LAKA parameetrid mõõtmiste ajal**

Andmed põletusseadme kohta	
02.02.2021, 12:25 – 15:25	
Heiteallika nimetus	LAKA
Heiteallika tüüp	PS4000
Soojussisendile vastav nimisoojusvõimsus	4KWh
Lisainfo	
Andmed põletusseadme töörežiimi kohta mõõtmiste ajal	
Mõõtmiste ajal kasutatud kütuse liik	PUIDUHAKE

<sup>35</sup> Tallinna Tehnikaülikooli laboris mõõdetud parameetrid - Kuivaine ülemine kütteväärthus – 28.83 MJ/kg; kuivaine alumine kütteväärthus – 19.51 MJ/kg, tarbimisaine alumine kütteväärthus – 7.26 MJ/kg



Kütuse kütteväärthus	
Seadme režiim mõõtmiste ajal	Automaatrežiim (100 kraadi)
Soojusvõimsus mõõtmiste ajal	
Rakendataavad heite vähendamise meetmed	Multitsüklon
Kas püüdeseade töötas mõõtmiste ajal	JAH
Katlaseadme koormus*	2,7-3,0 MWh
Temperatuur koldes	-
Temperatuur pärast katelt	145-150 kraadi
Põlemisgaaside kondensaatori võimsus	
Lisainfo	